

МОСКОВСКИЙ ГОСУДАРСТВЕННЫЙ УНИВЕРСИТЕТ

имени М.В. ЛОМОНОСОВА

Биологический факультет

*На правах рукописи*

**Сидоренко Светлана Вадимовна**

**ИЗУЧЕНИЕ МЕХАНИЗМА ВЫСВОБОЖДЕНИЯ АТФ И НАРУШЕНИЯ  
СТРУКТУРНОЙ ЦЕЛОСТНОСТИ ЭРИТРОЦИТОВ В УСЛОВИЯХ ГИПОКСИИ**

Специальности: 03.03.01 – физиология, 03.01.02 – биофизика

**ДИССЕРТАЦИЯ**

на соискание учёной степени

кандидата биологических наук

Научный руководитель:

д.б.н., профессор

Сергей Николаевич Орлов

Москва - 2019

## ОГЛАВЛЕНИЕ

СПИСОК СОКРАЩЕНИЙ.....	4
ВВЕДЕНИЕ.....	6
Глава 1. Обзор литературы.....	10
1.1 Механизмы вовлечения эритроцитов в регуляцию сосудистого тонуса .....	11
1.1.1 Газотрансммиттеры .....	14
1.1.2 Пуринэргическая сигнальная система .....	15
1.2 Механизм высвобождения АТР из эритроцитов .....	18
1.2.1 Поиск транспортёров, участвующих в выбросе АТР .....	19
1.2.2 Выброс АТР, вызванный нарушением структурной целостности эритроцитов .....	23
1.2.2.1 Гемолиз эритроцитов.....	23
1.2.2.2 Везикуляция плазматической мембраны .....	26
1.3 Механизмы поддержания структурной целостности мембраны эритроцитов.....	27
1.4 Гипоксия как фактор регуляции деформируемости эритроцитов .....	29
1.5 Поиск сенсора, вовлеченного в генерацию рО <sub>2</sub> -зависимых сигналов эритроцитов	31
1.6 Особенности, выявленные в ядерных эритроцитах .....	33
1.7 Физиологическое и патофизиологическое значение.....	35
1.7.1 Физическая нагрузка .....	35
1.7.2 Идиопатическая легочная гипертензия (ИЛГ) .....	36
1.7.3 Диабет второго типа .....	37
1.8 Нерешенные вопросы .....	38
Глава 2. Материалы и методы.....	39
2.1 Объект и материалы исследования .....	39
2.2 Спектроскопия комбинационного рассеяния (КР).....	39
2.3 Вытеснение кислорода из суспензии эритроцитов .....	39
2.4 Гемолиз эритроцитов.....	40
2.5 Измерение содержания АТР .....	41
2.6 Активность экто-АТРазы .....	42
2.7 Получение теней эритроцитов.....	42
2.8 Измерение содержания белка .....	44
2.9 Электрофорез в полиакриламидном геле (ПААГ) .....	44
2.10 Вестерн-блот анализ .....	45

2.11 ЭПР-спектроскопия .....	45
2.12 Исследование белкового состава теней эритроцитов .....	47
2.12.1 Гидролиз белков трипсином и обессоливание полученных фрагментов .....	47
2.12.2 Хромато-масс-спектрометрический анализ .....	48
2.12.3 Анализ полученных результатов .....	48
2.12.3.1 Качественный анализ состава белков .....	48
2.12.3.2 Безметочный количественный анализ белков .....	49
2.12.4 Выявление кластеров взаимодействующих генов .....	49
2.13 Методы математической обработки .....	50
2.14 Реактивы .....	50
Глава 3. Результаты и обсуждение .....	51
3.1 Сравнительный анализ действия гипоксии на высвобождение АТФ и гемоглобина из эритроцитов человека и крысы .....	51
3.2 Роль экто-АТФазы .....	54
3.3 Роль каналов, сформированных паннексинами .....	57
3.4 Влияние гипоксии на вязкость липидного бислоя мембраны эритроцитов .....	58
3.5 Влияние гипоксии на белковый состав мембраны эритроцитов .....	59
ЗАКЛЮЧЕНИЕ .....	68
Выводы .....	73
Благодарности .....	74
СПИСОК ПУБЛИКАЦИЙ ПО ТЕМЕ ДИССЕРТАЦИИ .....	75
Список литературы .....	77
<b>Приложение 1</b> .....	96
<b>Приложение 2</b> .....	132
<b>Приложение 3</b> .....	133
<b>Приложение 4</b> .....	141

## СПИСОК СОКРАЩЕНИЙ

- [Ca<sup>2+</sup>]<sub>i</sub> – внутриклеточная концентрация Ca<sup>2+</sup>
- АС – аденилилизциклаза
- Ado – аденозин
- ADP – аденозиндифосфат
- AE1, SLC4A1 – анионный обменник 1 типа
- AMP – аденозинмонофосфат
- АТР – аденозинтрифосфат
- cAMP – циклический аденозинмонофосфат
- cdb3 – цитоплазматический домен белка полосы 3
- CFTR – регулятор трансмембранной проводимости при муковисцидозе
- cGMP – циклический гуанозинмонофосфат
- СО – окись углерода
- deoxyHb – деоксигенированный гемоглобин
- EDTA - этилендиаминтетрауксусная кислота
- EGTA – этиленгликоль тетрауксусной кислоты
- eNOS – эндотелиальная синтетаза
- ENTPD1 – экто-нуклеозидтрифосфат дифосфогидролаза
- Gi – гетеротримерный G-белок
- H<sub>2</sub>S – сероводород
- HbS – эритроциты с мутированным гемоглобином
- HEG – тени эритроцитов, полученные в условиях гипоксии
- K<sub>АТР</sub> – АТР-чувствительные K<sup>+</sup> каналы
- MAC – анионные каналы высокой проводимости
- NaHS – гидросульфата натрия
- NEG – тени эритроцитов, полученные в контрольных условиях
- NO – оксид азота
- NT5E – 5'-нуклеотидаза,
- oxyHb – оксигенированный гемоглобин
- Panx1 – Паннексин-1
- PFK – фосфофруктокиназа
- PKA – протеинкиназа А

$P_{O_2}$  – парциальное давление кислорода

R-Hb – тетрамер гемоглобина, в оксигенированной расслабленной (relax) форме

S1P – сфингозин-1-фосфат

SDS – Додecilсульфат натрия

SNO-Hb – S-нитрозогемоглобин

T-Hb – тетрамер гемоглобина, в деоксигенированной напряженной (tense) форме

TPRC6 – катионных каналов транзиторного рецепторного потенциала

VDAC – потенциалозависимый ионный канал

BCA – Бычий сывороточный альбумин

ГМК – гладкомышечные клетки

ДС – доксилстеариновая кислота

КР – комбинационное рассеяние

ЛЛ – люциферин-люцифераза

ПААГ – полиакриламидный гель

ПФШ – пентозофосфатный шунт

ЭПР – электронно-парамагнитный резонанс

## ВВЕДЕНИЕ

*Актуальность проблемы и степень её разработанности.* Регуляция сосудистого тонуса обеспечивает сбалансированное в соответствии с энергетическими затратами снабжение тканей кислородом, глюкозой и другими веществами, необходимыми для синтеза макроэргических соединений. Частичная нормализация снабжения тканей кислородом в условиях гипоксии за счет увеличения притока крови – одна из основных особенностей сосудов большого круга кровообращения. В самом деле, данные, полученные в последние два десятилетия, указывают на ключевую роль эритроцитов в регуляции кровоснабжения органов и тканей, претерпевающих резкие изменения их энергетического статуса как при физиологических нагрузках, так и при ряде патофизиологических состояний. Так, например, в скелетной мускулатуре по мере увеличения физической нагрузки резко возрастает потребление кислорода. Было установлено, что в этих условиях происходит увеличение содержания АТФ в плазме венозной крови за счет высвобождения из эритроцитов (Forrester & Lind, 1969; Mairbaurl, 2013). Увеличение кровоснабжения мозга в условиях повышенной активности нейронов является необходимым условием нормального функционирования центральной системы, а нарушения в этой регуляторной системе вовлечены в патогенез болезней, характеризующихся гипоксическими состояниями, включая мозговые кровоизлияния (Girouard & Iadecola, 2006). Известно, что нормализация кровоснабжения головного мозга в условиях гипоксии обеспечивается как за счет увеличения диаметра артериол, опосредованного выбросом АТФ из эритроцитов, так и за счет повышения деформируемости эритроцитов, что обеспечивает более высокую скорость прохождения крови через капилляры, размер которых сопоставим с диаметром эритроцитов (Ellsworth et al., 2009; Wei et al., 2016). Гипоксия тканей отмечена также при идиопатической легочной гипертензии (Sprague et al., 2001), инсулин-независимом сахарном диабете второго типа (Sprague et al., 2012), болезни Альцгеймера (Girouard & Iadecola, 2006). Молекулярные механизмы, обеспечивающие вовлечение эритроцитов в регуляцию кровоснабжения органов в условиях гипоксии, остаются малоизученными. Сравнительно недавно в нашей лаборатории было обнаружено, что выход АТФ из эритроцитов в ответ на понижение парциального давления кислорода коррелирует с высвобождением гемоглобина (Sikora et al., 2014), что указывает на нарушение структурной целостности

плазматической мембраны. Настоящее исследование было посвящено проверке этой гипотезы.

**Цели работы:** Целью нашей работы являлось исследование механизмов высвобождения АТФ и нарушения структурной целостности эритроцитов в условиях гипоксии.

**Задачи исследования:**

- 1) Сопоставить влияние гипоксии на выброс АТФ из эритроцитов и их гемолиз, как маркер целостности плазматической мембраны.
- 2) Исследовать влияние экто-АТФазы на прирост концентрации внеклеточного АТФ в условиях гипоксии.
- 3) Исследовать роль низкоселективного канала паннексина в высвобождении АТФ из эритроцитов в условиях гипоксии.
- 4) Исследовать влияние гипоксии на упорядоченность липидного матрикса мембраны эритроцитов.
- 5) Исследовать влияние гипоксии на состав белков мембраны эритроцитов.

**Научная новизна.** Установлено, что нарушение структурной целостности плазматической мембраны вносит существенный вклад в высвобождении АТФ из эритроцитов человека и крысы в условиях гипоксии. Прирост внеклеточной концентрации АТФ в ответ на гипоксию возрастает в присутствии ингибиторов экто-АТФазы и не изменяется при ингибировании низкоселективного канала Panx1. Нарушение структурной целостности плазматической мембраны эритроцитов при гипоксии сопровождается увеличением содержания мембранносвязанного гемоглобина, супероксиддисмутазы и высвобождением из мембраны мультиферментного комплекса, контролирующего убиквитинилирование и последующую деградацию белков.

**Теоретическая и практическая значимость.** Результаты настоящей работы развивают современные представления о механизмах поддержания структурной целостности эритроцитов в условиях гипоксии. Выявлена ключевая роль экто-АТФазы в накоплении внеклеточного АТФ в ответ на снижение парциального давления кислорода. Полученные результаты могут быть использованы для разработки новых подходов лечения болезней, характеризующихся гипоксическими состояниями, включая мозговые кровоизлияния, идиопатическую легочную гипертензию, инсулин-независимый сахарный диабет второго типа.

**Методология и методы исследования.** Набор используемых методов является оптимальным для решения поставленных задач. В работе применялись физиологические, биофизические и биохимические методы. Изменения конформации гемопорфирина гемоглобина исследовали методом спектроскопии комбинационного рассеяния. Содержание АТР определяли по люминесценции комплекса люциферин-люциферазы. Для оценки изменений микровязкости липидного матрикса использовали метод ЭПР спектроскопии. Исследование белкового состава тений эритроцитов проводили методом протеомного анализа. Изменения некоторых белков также были показаны методом электрофореза в ПААГ и Вестерн блот.

***Основные положения, выносимые на защиту.***

1. Нарушение целостности плазматической мембраны вносит существенный вклад в высвобождение АТР из эритроцитов в условиях гипоксии.
2. Экто-АТРазы эритроцитов уменьшают прирост внеклеточной концентрации АТР в ответ на гипоксию.
3. Гипоксия не вызывает необратимого изменения структуры липидного бислоя мембраны эритроцитов.
4. Гипоксия приводит к увеличению содержания в мембране эритроцитов гемоглобина, супероксиддисмутазы и снижению содержания мультиферментного комплекса, контролирующего убиквитинилирование белков и их последующую деградацию.

***Степень достоверности данных.*** Задачи работы сформулированы исходя из тщательного и критического анализа работ российских и зарубежных авторов по теме диссертационной работы. Выводы диссертационного исследования обоснованы, вытекают из полученных результатов, подтверждённых использованием современных общепринятых экспериментальных методик, достаточным объёмом выборок и актуальными методами статистического анализа, и содержат решения поставленных задач.

***Апробация результатов.*** Результаты были представлены на следующих научных мероприятиях: на Международной научной конференции «Рецепторы и внутриклеточная сигнализация» (Пушино, Россия, 2015); на Международной научной конференции «Ломоносов-2016» (Москва, Россия, 2016); на V Съезде физиологов СНГ и V Съезде Биохимиков России (Дагомыз, Россия, 2016); на Международной научной конференции

«Рецепторы и внутриклеточная сигнализация» (Пушино, Россия, 2017); на 43 конгрессе FEBS (Прага, Чехия, 2018). Также результаты работы обсуждались на семинарах лаборатории физико-химии биологических мембран и кафедры биофизики и физиологии животных и человека в 2016-2019 гг.

Диссертация апробирована на заседании кафедры биофизики биологического факультета МГУ имени М.В. Ломоносова (протокол 3 от 11.02.2019 г.).

Работа выполнена при поддержке гранта РНФ #16-15-10026 и гранта РФФИ #18-04-00063. При проведении исследований использовалось оборудование, приобретенное за счет средств Программы развития Московского университета.

**Публикации.** По теме диссертации опубликовано 9 печатные работ: 4 статьи в периодических изданиях из перечня рецензируемых научных журналов ВАК, индексируемых в международных системах цитирования Web of Science и Scopus, рекомендованных для защиты в диссертационном совете и 5 тезисов в сборниках докладов Всероссийских и Международных научных конференций.

**Личный вклад автора.** Автор принимала непосредственное участие в планировании экспериментов; анализе, статистической обработке и обобщении результатов; подготовке статей и тезисов; представлении результатов работы на всероссийских и международных конференциях.

## Глава 1. Обзор литературы

Регуляция сосудистого тонуса обеспечивает сбалансированное в соответствии с энергетическими затратами снабжение тканей кислородом, глюкозой и другими веществами, необходимыми для синтеза макроэргических соединений. На уровне организма сосудистый тонус контролируется системами, вовлеченными в регуляцию давления в большом и малом кругах кровообращения. Кроме того, в ряде отделов сосудистого русла выявлены системы регуляции локального внутрисосудистого давления. Среди них в наиболее полной мере изучена система миогенного тонуса.

Под миогенным тонусом понимается свойство сосудов с диаметром менее 100-200 мкм уменьшать свой диаметр в ответ на увеличение давления заполняющей их жидкости. Миогенный ответ, выявленный в сосудистом русле скелетных мышц, а также брыжеечных, мозговых, почечных и коронарных сосудах, играет центральную роль в поддержании постоянства движения крови в пределах микроциркуляторного русла вне зависимости от колебаний системного артериального давления. Так как локальный поток крови является определяющим фактором регуляции метаболизма тканей, а сопротивление потоку крови  $R_{bf} \sim 1/d^4$ , где  $d$  – диаметр просвета сосуда (Folkow, 2010), роль миогенного тонуса как созданного природой инструмента защиты органов-мишеней от перепадов системного артериального давления изучалась изучалась многими исследователями (Loutzenhiser *et al.*, 2006). В рамках нашей работы важно отметить, что миогенный ответ является свойством собственно гладкомышечных клеток (ГМК) сосудов и не требует участия клеток эндотелия или клеток крови (Davis & Hill, 1999; Hill *et al.*, 2006; Koltsova *et al.*, 2009; Schubert & Mulvany, 1999).

Другим фактором регуляции локального кровоснабжения, т.е. реакции функциональной (рабочей, активной) гиперемии, которая представляет собой увеличение кровотока в органе при повышении его функциональной активности, обусловлена множеством механизмов, среди которых центральное место занимает увеличение диаметра просвета мелких сосудов в ответ на снижение парциального давления кислорода ( $P_{O_2}$ ) (Jensen, 2009). Следует особо отметить, что  $P_{O_2}$ -зависимая регуляция кровотока в различных отделах системы кровообращения существенно различается, что во многом обусловлено специфическим набором ион-транспортирующих систем ГМК сосудов (Reho *et al.*, 2014). Так, например, в отличие от сосудов большого круга кровообращения, сосуды малого круга кровообращения уменьшают диаметр в ответ на

снижение локального  $P_{O_2}$ , тем самым увеличивая эффективность кровоснабжения тех отделов легких, которые в меньшей степени испытывают нехватку кислорода (Sylvester *et al.*, 2012). Используя данные по измерению ионных токов, некоторые исследователи предположили, что вазоконстрикторное действие гипоксии на сосуды малого круга кровообращения связано с ингибированием  $P_{O_2}$ -чувствительных потенциал-зависимых  $K^+$ -каналов, обнаруженных в присутствии  $Ca^{2+}$ -хелатора ЭГТА (Post *et al.*, 1992; Yuan *et al.*, 1993). Следует, однако, отметить, что  $Ca^{2+}$ -хелаторы оказывают множественные побочные эффекты, связанные с резким увеличением проницаемости сарколеммы для одновалентных катионов (Koltsova *et al.*, 2015; Orlov *et al.*, 2005). Сравнительно недавно было обнаружено, что сжатие ГМК мелких сосудов малого круга кровообращения опосредовано активацией одного из представителей неселективных катионных каналов, классифицируемого как transient potential receptor channel TPRC6 (Malczyk *et al.*, 2017).

Обзор литературы посвящен молекулярным механизмам сосудорасширяющего действия гипоксии на мелкие сосуды большого круга кровообращения, с особым вниманием к роли эритроцитов и пуриnergической сигнальной системы.

### **1.1 Механизмы вовлечения эритроцитов в регуляцию сосудистого тонуса**

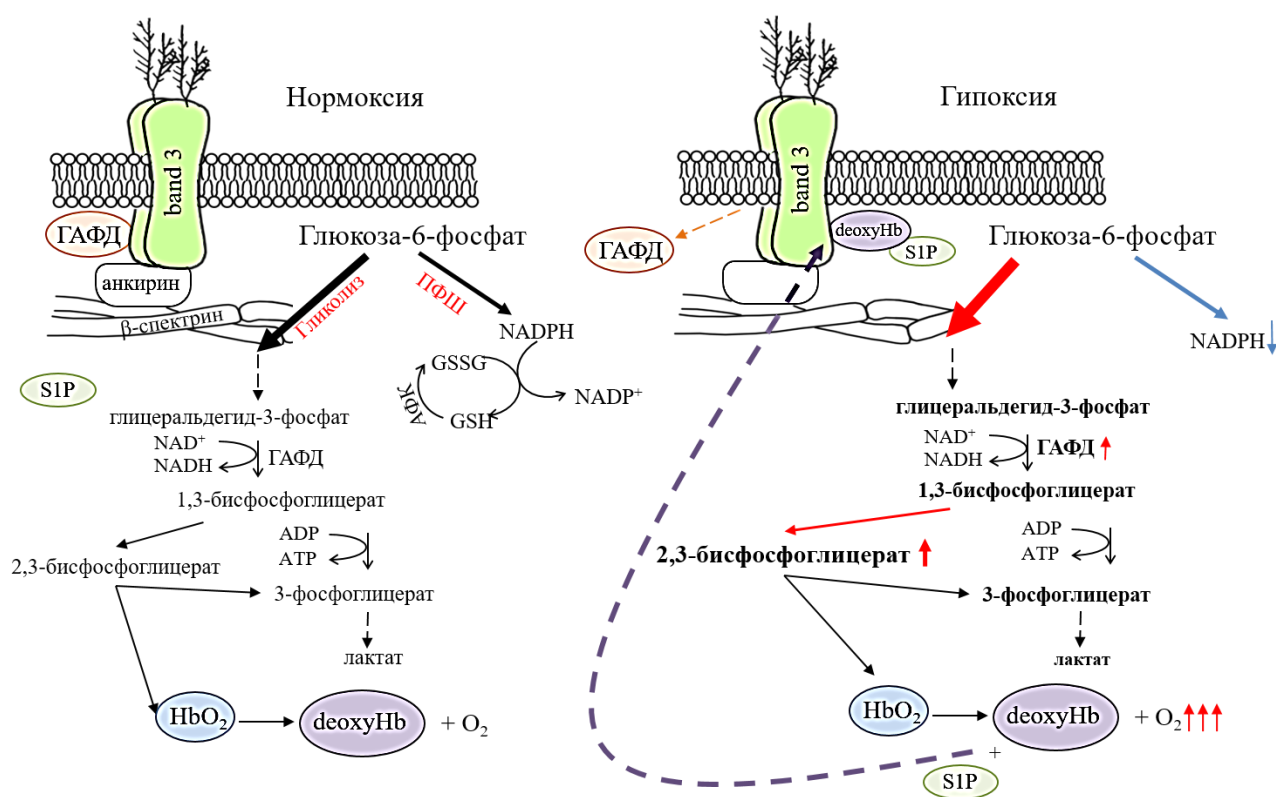
Исследования, проведенные в течение последних трёх десятилетий, показали, что наряду с переносом кислорода и газов метаболического происхождения (NO, CO,  $H_2S$ ), эритроциты обеспечивают разнообразные кислород-чувствительные ответы, связанные с регуляцией их собственных функций и функций соседних клеток.

Метаболизм глюкозы в эритроцитах идет по двум основным путям: гликолиз (в него включается 80-90% глюкозы) и пентозофосфатный шунт (ПФС) (Cimen, 2008). Кроме того, в ходе гликолиза в эритроцитах протекает еще один путь – 2,3-бисфосфоглицератный. 2,3-Бисфосфоглицерат образуется из 1,3-бисфосфоглицерата в реакции, катализируемой бисфосфоглицератмутазой. Продукт реакции, связываясь с гемоглобином, аллостерически уменьшает его сродство к кислороду.

В процессе пентозофосфатного окисления глюкозы образуется восстановленная форма кофермента НАДФ, используемая для восстановления глутатиона – основного компонента антиоксидантной системы эритроцита. Главной функциональной группой глутатиона является сульфгидрильная (SH-) группа, водород которой обеспечивает нейтрализацию органических и неорганических окислителей, действующих на мембрану

эритроцита, и защищает липиды мембраны и SH-группы гемоглобина от свободнорадикального окисления,

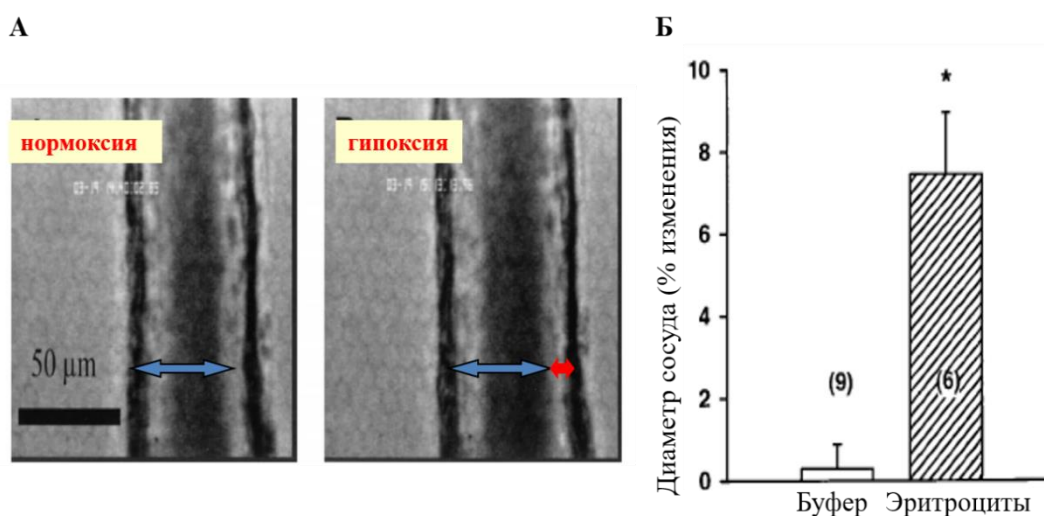
Цитоплазма эритроцитов содержит большое количество сфингозин-1-фосфата – липида, обладающего сигнальной функцией. Было показано, что его концентрация увеличивается в условиях гипоксии. Он способствует усилению гликолиза в эритроцитах и обеспечивает высвобождение кислорода (Sun *et al.*, 2016). Сфингозин-1-фосфат напрямую связывается с дезоксигемоглобином, способствуя его закориванию в мембране посредством белка полосы 3, что, в свою очередь, приводит к выходу гликолитических ферментов (например, ГАФД) в цитоплазму. Эти события отражаются в увеличении гликолиза и продукции 2,3-бисфосфоглицерата (Рис. 1).



**Рисунок 1.** Схема, отражающая изменение метаболизма эритроцитов в условиях гипоксии за счёт сфингозин-1-фосфата (S1P), обеспечивающего закоривание deoxyHb в мембране и усиливающего высвобождение глицеральдегидфосфатдегидрогеназы (ГАФД) в цитоплазму. Band 3 – белок полосы 3.

Было также установлено, что в условиях деоксигенации уменьшаются активность Ca<sup>2+</sup>-насоса и Ca<sup>2+</sup> буферная емкость эритроцитов (Tiffert *et al.*, 1993). В эритроцитах человека с мутированным гемоглобином (HbS) K<sup>+</sup>,Cl<sup>-</sup>-котранспорт имеет аномальную зависимость от P<sub>O2</sub>, которая, вероятно, вносит свой вклад в патогенез серповидно-клеточной анемии (Brugnara *et al.*, 1996).

В 2000 г. Dietrich с соавторами обнаружили, что увеличение диаметра артериол мозга крысы в ответ на снижение  $P_{O_2}$  наблюдается только в том случае, если во внутрисосудистой жидкости присутствуют эритроциты (Рис. 2). Так как добавление декстрана не вызывало такого же действия, было высказано предположение, что уменьшение сосудистого тонуса в условиях гипоксии связано с наличием в эритроцитах вазодилататора, а не с неспецифическим увеличением вязкости перфузата, внутрисосудистого давления (Dietrich *et al.*, 2000). Впоследствии это явление было воспроизведено в целом ряде лабораторий (для обзора см. (Ellsworth *et al.*, 2009; Sprague & Ellsworth, 2012)).



**Рисунок 2.** (А) Фотографии артериолы мозга крысы, показывающие увеличение диаметра при переносе из нормоксии ( $P_{O_2} = 120$  мм рт.ст.) в условия гипоксии ( $P_{O_2} = 34$  мм рт.ст.) только в том случае, когда во внутрисосудистой жидкости присутствуют эритроциты. (Б) Изменения диаметра артериолы мозга крысы в ответ на гипоксию в отсутствии и присутствии в перфузирующем растворе эритроцитов (Dietrich *et al.*, 2000).

Необходимо отметить, что в условиях глубокой гипоксии и ишемии расслабление сосудов, обладающих миогенным ответом, может происходить и в отсутствие эритроцитов. Этот феномен, как правило, связан с резким снижением содержания АТФ в ГМК, что приводит к открытию АТФ-чувствительных  $K^+$ -каналов ( $K_{ATP}$ ) и гиперполяризации сарколеммы (Freedman *et al.*, 2012). В случае коронарных артерий крысы расслабление в ответ на резкое снижение  $P_{O_2}$  не зависело от присутствия ингибиторов  $K_{ATP}$ , но полностью подавлялось ингибиторами NO-синтазы (Lynch *et al.*, 2006). Факторы, обуславливающие сосудоспецифичность этого явления, остаются неизвестными. Ниже мы рассмотрим возможные механизмы вовлечения эритроцитов в регуляцию тонуса сосудов.

### 1.1.1 Газотрансмиттеры

Оксид азота (NO), оксид углерода (CO) и сероводород (H<sub>2</sub>S) рассматриваются как природные газотрансмиттеры, образующиеся при катаболизме аргинина, небелкового компонента гемм-модержащих белков и цистеина, соответственно. В отличие от канонических гормонов и нейротрансмиттеров, газотрансмиттеры легко проникают в клетку и, минуя этап связывания со специфическими рецепторами плазматической мембраны, запускают сигнальные каскады, вовлеченные в регуляцию ее функциональной активности (Bannenberg & Vierra, 2009; Li *et al.*, 2009).

В кардиоваскулярной системе главным источником NO и CO является эндотелий (Гусакова *et al.*, 2015; Leffler *et al.*, 2006; Li *et al.*, 2009), в то время как H<sub>2</sub>S в основном продуцируется ГМК, адипоцитами и эритроцитами (Fang *et al.*, 2009; Wang, 2011). NO, продуцируемый эндотелиальной синтетазой (eNOS), связывается в ГМК с гемсодержащей группой растворимой гуанилатциклазы, в результате чего происходит активация фермента, накопление циклического гуанозинмонофосфата (cGMP), что и является причиной расслабления сосудов. Подобное действие оказывает и CO, но эффективность этого газотрансмиттера существенно ниже (Leffler *et al.*, 2006; Leffler *et al.*, 2011).

Установлено, что в эритроцитах вырабатываемый эндотелием NO связывается с гемоглобином, который высвобождает его в условиях гипоксии (Stamler *et al.*, 1997). Следует, однако, отметить, что из-за ограниченного времени жизни NO этот механизм может реализовываться только в сосудах с диаметром менее 25 мкм (Vaughn *et al.*, 1998). Было высказано предположение, что эритроциты могут поставлять NO за счет высвобождения его из S-нитрозогемоглобина (SNO-Hb), который образуется при связывании NO с остатком Cys-93 β-цепи оксигенированного белка (Rifkind & Nagababu, 2013; Singel & Stamler, 2005). Эта гипотеза, однако, не согласуется с данными об отсутствии существенного различия в содержании SNO-Hb в артериальной и венозной крови человека (Gladwin *et al.*, 2003). Кроме того, Isbell с соавторами показали, что замена у мышей остатка цистеина (Cys-93) на не связывающий NO аланин не влияет на гемодинамику большого и малого кругов кровообращения, а увеличение диаметра легочной артерии кролика в ответ на гипоксию одинаков при ее перфузии эритроцитами контрольных и генетически модифицированных мышей (Isbell *et al.*, 2008).

Эритроциты также могут поставлять NO за счет его образования из нитритов ( $\text{NO}_2^-$ ) в реакции



Реакция происходит только в присутствии деоксигенированной формы гемоглобина (Cosby *et al.*, 2003; McMahon *et al.*, 2002). В самом деле, как в экспериментах *in vivo*, так и *in vitro* было обнаружено вазорелаксирующее действие нитритов (Cosby *et al.*, 2003). Следует, однако, отметить, что это действие нитритов, по-видимому, не связано с гемоглобином, так как оно сохранялось как в условиях нормоксии, так и в отсутствие эритроцитов (Dalsgaard *et al.*, 2007).

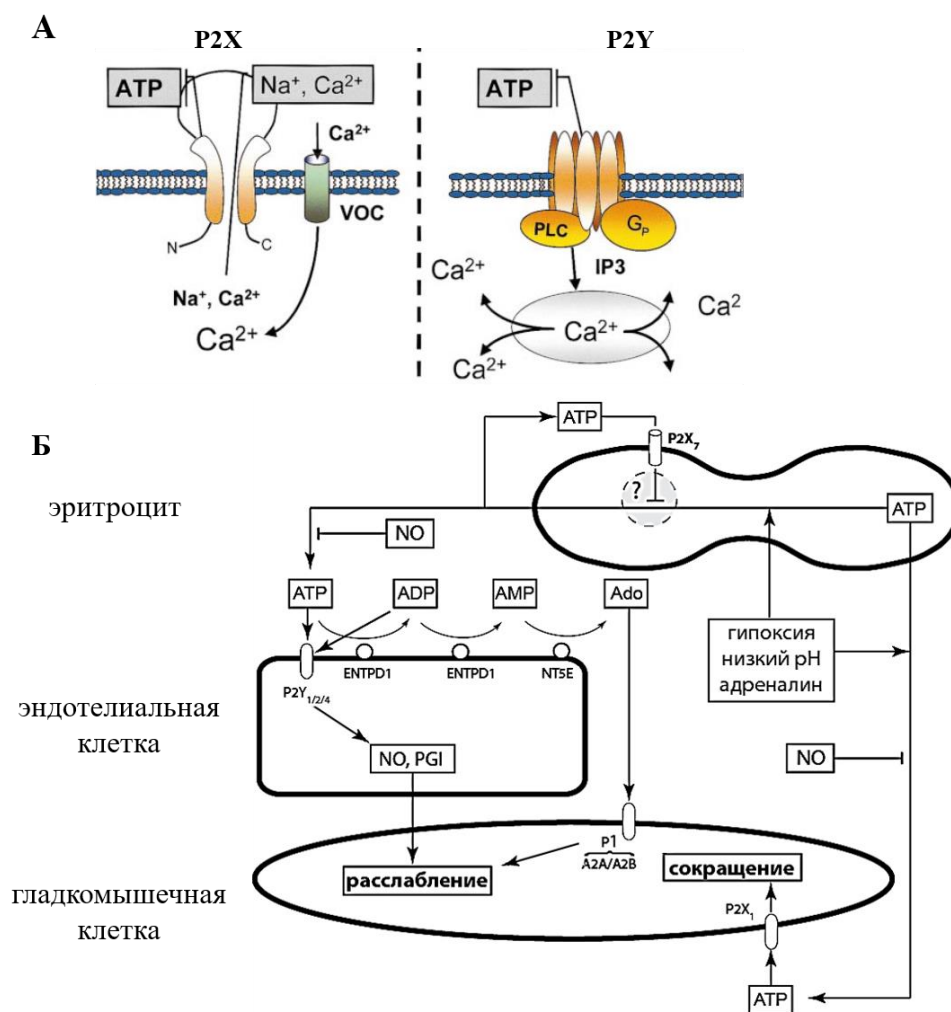
Полисульфиды, в большом количестве содержащиеся в чесноке, считаются основным поставщиком экзогенного  $\text{H}_2\text{S}$ , генерируемого при участии эритроцитов (Benavides *et al.*, 2007). Именно это, по-видимому, лежит в основе антиатеросклеротического действия чесночных экстрактов. В отличие от NO и CO, достоверного влияния  $\text{H}_2\text{S}$  и его донора гидросульфата натрия (NaHS) на систему синтеза cGMP не обнаружено (Cheang *et al.*, 2010; Mancardi *et al.*, 2009). В этой связи было высказано предположение, что вазорелаксирующее действие  $\text{H}_2\text{S}$  опосредовано активацией  $\text{K}_{\text{ATP}}$  через его взаимодействие с остатками цистеина. Следует отметить, что этот вывод базируется на том основании, что действие NaHS устраняется глибенкламидом и другими ингибиторами  $\text{K}_{\text{ATP}}$  каналов (Leffler *et al.*, 2006; Lowicka & Beltowski, 2007). Однако прямые данные о стимуляции этих каналов, полученные методом локальной фиксации потенциала (patch-clamp), ограничены единичными публикациями (Cheng *et al.*, 2004; Tang *et al.*, 2005).

### **1.1.2 Пуринэргическая сигнальная система**

Начиная с пионерской работы Burnstock и Kennedy (Burnstock & Kennedy, 1986), в целом ряде лабораторий было показано, что внутрисосудистое введение АТР вызывает расслабление сосудов различных отделов кровеносного русла, (для обзора см. (Ellsworth *et al.*, 2008)). Было установлено, что расслабляющее действие АТР обусловлено его взаимодействием с пуринэргическими  $\text{P}_2\text{Y}$ -рецепторами эндотелия, сопряженными с G-белками, которые вызывают последующую активацию NO-синтазы (**Рис. 3**).

Важно отметить, что в силу развитой сети межклеточных контактов локальное возбуждение эндотелия в ответ на активацию  $\text{P}_2\text{Y}$ -рецепторов распространяется вдоль сосудистого русла со скоростью 50 мкм/с, что способствует пролонгированию

сосудорасширяющего действия агонистов P2Y-рецепторов (McCullough *et al.*, 1997). активация P2Y-рецепторов в клетках эндотелия сопровождается образованием из арахидоновой кислоты простаглицлинов PGI<sub>1</sub> и PGI<sub>2</sub>, что приводит к дополнительному (по отношению к действию NO) расслаблению ГМК за счет активации этими соединениями системы циклического аденозинмонофосфата (сAMP) и K<sup>+</sup>-каналов ГМК (Sprague & Ellsworth, 2012). В отличие от интактных сосудов, в сосудах с нарушенным монослоем эндотелиальных клеток АТР взаимодействует с P2X-рецепторами ГМК, которые функционируют как неселективные катионные каналы и активация которых приводит к сокращению сосудов (Burnstock, 2007) (Рис. 3).



**Рисунок 3.** (А) Схема, иллюстрирующая принцип работы пуринергических P2X и P2Y рецепторов. (Б) Взаимодействие эритроцитов, эндотелиальных и гладкомышечных клеток в регуляции тонуса кровеносных сосудов посредством пуринергической сигнальной системы и NO (→ активация, —| ингибирование) (Лунева *et al.*, 2015). ENTDP1 и NT5E – экто-нуклеотидазы, вовлеченные в катаболизм АТР; P2X<sub>1</sub>, P2Y<sub>1/2/4</sub>, A2A и A2B – основные типы пуринергических рецепторов, вовлеченных в регуляцию гладкомышечных клеток сосудов и эндотелия (Лунева *et al.*, 2015).

Как и в случае других гормонов и нейротрансмиттеров, функционирование пуриnergической сигнальной системы предполагает наличие систем, которые обеспечивают быструю нормализацию внеклеточной концентрации АТФ по окончании действия систем, приводящих к его высвобождению из внутриклеточных компартментов. Наличие высокоактивных 5'-нуклеотидаз (NT5E) было впервые продемонстрировано в лаборатории В.А. Энгельгардта при исследовании АТФразной активности эритроцитов голубя (Venkstern & Engel'gardt, 1955). Именно В.А. Энгельгардтом был предложен термин экто-АТФазы, подчеркивающий внеклеточную локализацию этого фермента (Orlov, 2007). Наибольшая роль в катаболизме внеклеточного АТФ принадлежит эктонуклеозидтрифосфат дифосфогидролазе (ENTPD1), осуществляющей деградацию АТФ до ADP и AMP, и NT5E, осуществляющей катаболизм AMP до аденозина (Ado) (Рис. 3). Подробно молекулярная структура и кинетические параметры этих и других минорных экто-АТФаз рассмотрены в обзоре (Yegutkin, 2014). Для нашей работы существенным является тот факт, что экто-АТФазная активность может приводить к деградации внеклеточного АТФ, что может затруднять изучение влияния  $P_{O_2}$  на высвобождение АТФ из эритроцитов (см. раздел 3.1).

При поиске основного источника внутрисосудистого АТФ Bergfeld и Forrester обнаружили, что в условиях гипоксии происходит выброс АТФ из изолированных эритроцитов человека (Bergfeld & Forrester, 1992). Позднее это явление было обнаружено и в эритроцитах других млекопитающих (Dietrich *et al.*, 2000; Ellsworth *et al.*, 1995). В этих работах содержание внеклеточного АТФ определяли по интенсивности излучаемого света в ходе реакции, катализируемой люциферазой. Так, например, с помощью этого метода было установлено, что при перфузии артериол головного мозга крысы концентрация внеклеточного АТФ в ответ на 5-10-кратное снижение  $P_{O_2}$  увеличивалась от 8 до 14  $\mu\text{M}$  (Dietrich *et al.*, 2000). Это согласуется с данными о том, что в отсутствие дополнительных стимулов, приводящих к локальной гипоксии, наблюдается увеличение концентрации АТФ в венозной крови по отношению к артериальной на 20-40% (Jagger *et al.*, 2015).

На основании приведенных выше данных была сформулирована гипотеза о том, что эритроцит является не только переносчиком кислорода, но и регулятором его доставки к тканям в условиях гипоксии (Ellsworth *et al.*, 1995). В этой связи интересно отметить, что наряду с гипоксией выброс АТФ из эритроцитов может быть вызван их механической деформацией при прохождении через капилляры, диаметр которых сравним с размерами эритроцитов (Sprague *et al.*, 1996); центрифугированием (Mancuso *et*

*al.*, 2018), закислением среды (Ellsworth *et al.*, 1995); избыточным количеством CO<sub>2</sub> в крови (Bergfeld & Forrester, 1992); турбулентностью потока крови (Wan *et al.*, 2008); умеренным повышением температуры (Kalsi & Gonzalez-Alonso, 2012). Все эти факторы могут существенно модифицировать содержание внеклеточного АТФ в условиях гипоксии.

В 1972 году Parker и Snow обнаружили, что 40-минутная инкубация эритроцитов собаки, лишенных Na,K-АТФазы, в присутствии 0,5 мМ АТФ приводит к нивелированию трансмембранных градиентов Na<sup>+</sup> и K<sup>+</sup> (Parker & Snow, 1972). Действие АТФ уменьшалось при добавлении Mg<sup>2+</sup>, что указывало на существование неселективных каналов, активируемых АТФ<sup>4</sup>. В самом деле, позднее в эритроцитах человека были обнаружены P<sub>2</sub>X<sub>7</sub>-рецепторы, активация которых приводит к 5-10-кратному увеличению скорости трансмембранного переноса Na<sup>+</sup> и K<sup>+</sup> (Sluyter *et al.*, 2004). Многочисленные наблюдения указывают на то, что активация P<sub>2</sub>X<sub>7</sub>-рецепторов в лейкоцитах и макрофагах сопровождается смертью этих клеток по механизму апоптоза (Di Virgilio *et al.*, 1998). Sluyter с соавторами показали, что длительная инкубация эритроцитов человека в присутствии АТФ приводит к увеличению содержания фосфатидилсерина на внешней стороне мембраны (Sluyter *et al.*, 2007), что также считается маркером этого типа клеточной смерти. В случае ядерных клеток активация P<sub>2</sub>X<sub>7</sub>-рецепторов может влиять на их функциональное состояние посредством активации Na<sup>+</sup>/K<sup>+</sup>-чувствительного Ca<sup>2+</sup>-независимого механизма регуляции экспрессии генов, обнаруженного в нашей лаборатории (Koltsova *et al.*, 2012). Механизм вовлечения P<sub>2</sub>X<sub>7</sub>-рецепторов в функционирование безъядерных эритроцитов остается пока не исследованным.

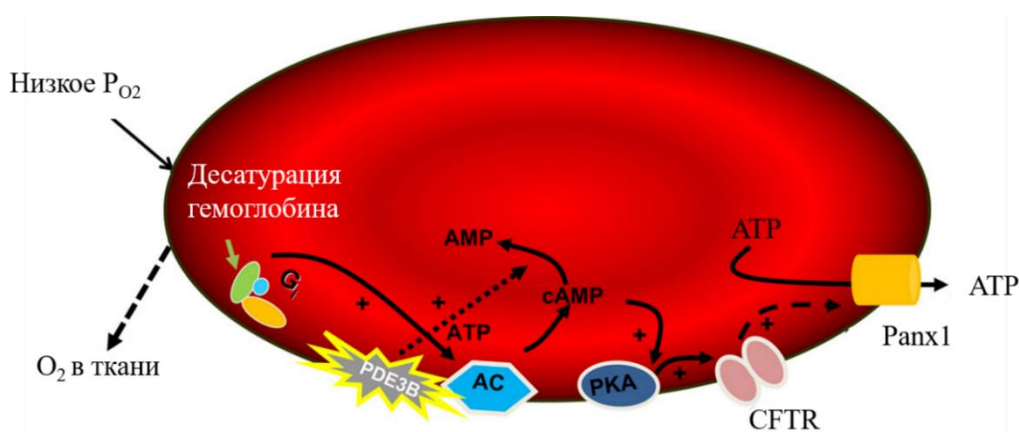
## **1.2 Механизм высвобождения АТФ из эритроцитов**

Несмотря на большое количество работ о выбросе АТФ из эритроцитов, молекулярные механизмы этого явления остаются малоизученными. В безъядерных эритроцитах млекопитающих отсутствует эндоплазматический ретикулум, осуществляющий экзоцитоз – основной механизм выброса АТФ в ядерных клетках (Grygorczyk & Hanrahan, 1997a; Tatur *et al.*, 2007). В этой связи было высказано предположение, что выброс АТФ осуществляется за счет активации каналов, проницаемых для АТФ, или других АТФ-селективных транспортеров (Praetorius & Leipziger, 2009). Среди таких транспортных систем рассматриваются регулятор трансмембранной проводимости, мутирующий при муковисцидозе (cystic fibrosis

transmembrane regulator, CFTR), паннексин-1 (Panx1), потенциал-зависимый анионный канал (voltage-dependent anion channel, VDAC) и ряд других АТФ-проводящих анионных каналов (Card *et al.*, 2007; Shridharan *et al.*, 2012; Sridharan *et al.*, 2010). В качестве альтернативной гипотезы можно предположить, что выброс АТФ в условиях гипоксии связан с нарушением целостности мембраны эритроцитов.

### 1.2.1 Поиск транспортёров, участвующих в выбросе АТФ

В ранних сообщениях было высказано предположение о том, что CFTR и другие члены суперсемейства АТФ-связывающих транспортных белков служат в качестве проводников выброса АТФ и/или регуляторов ассоциированных с этим белком каналов, в нескольких типах клеток, включая эритроциты (Reisin *et al.*, 1994; Sugita *et al.*, 1998). Поскольку активность CFTR регулируется сАМР-зависимой протеинкиназой А (РКА) (Рис. 4), было высказано предположение, что выброс АТФ, индуцированный механическим раздражением и гипоксией, включает активацию сАМР-опосредованного сигнального пути (Sprague *et al.*, 2007). В соответствии с этой гипотезой этот же механизм выброса АТФ должен реализоваться при действии таких повышающих содержание внутриклеточного сАМР стимулов, как агонисты рецепторов простаглицина (Montalbetti *et al.*, 2011b; Shridharan *et al.*, 2012) или  $\beta$ -адренергических рецепторов (Olearczyk *et al.*, 2001), активаторы аденилатциклазы и ингибиторы фосфодиэстеразы (Ellsworth & Sprague, 2012).



**Рисунок 4.** Возможный механизм выброса АТФ из эритроцитов в ответ на гипоксию, опосредованный сАМР-зависимой сигнальной системой. Воздействие гипоксии на эритроциты сопровождается накоплением деоксигемоглобина и активацией гетеротримерного G-белка (G<sub>i</sub>), что приводит к увеличению концентрации сАМР, регулируемой аденилатциклазой (AC) и фосфодиэстеразой (PDE3B). Увеличение уровня сАМР активирует протеинкиназу А (РКА) и РКА-чувствительный CFTR. Высвобождение АТФ происходит через канал Panx1 (Sprague & Ellsworth, 2012).

Однако дальнейшие исследования, проведенные на ряде эпителиальных и неэпителиальных клеток, а также с использованием методов моделирования плоского липидного бислоя, patch-clamp и люминометрии не выявили никаких CFTR-опосредованных или CFTR-регулируемых выбросов АТФ (Grygorczyk *et al.*, 1996; Grygorczyk & Hanrahan, 1997a; Grygorczyk & Hanrahan, 1997b; Hazama *et al.*, 1998; Li *et al.*, 1996; Reddy *et al.*, 1996; Watt *et al.*, 1998). Более того, Keller с соавторами не обнаружили белок CFTR в эритроцитах млекопитающих (Keller *et al.*, 2017). В нашей лаборатории совместно с лабораторией доктора Григорчик (университет г. Монреаль, Канада) было установлено, что обнаруженный ранее выброс АТФ из эритроцитов человека в ответ на добавление форсколина связан не с приростом содержания внутриклеточного сАМР, а с нарушением целостности эритроцитов под действием диметилсульфоксида, используемого в качестве растворителя этого активатора РКА и других веществ амфипатической природы (Sikora *et al.*, 2014).

Потенциал-зависимые анионные каналы (voltage-dependent anion channel, VDAC), изначально обнаруженные во внешней мембране митохондрий (Rostovtseva & Colombini, 1997), долгое время считались молекулами, обеспечивающими активность анионных каналов высокой проводимости (maxi-anion channels, MAC) плазматической мембраны, по которым осуществляется движение АТФ по градиенту концентраций (Bathori *et al.*, 2000). В самом деле, селективность пор VDAC способствует преобладанию потока адениновых нуклеотидов (АТФ, АДФ) по сравнению с другими молекулами того же размера и заряда. Сравнительно недавно было показано, что выброс АТФ в ответ на активацию рецептора простагландинов I<sub>1</sub> (PGI<sub>1</sub>) блокируется ингибиторами потенциал-зависимых анионных каналов VDAC1 (Sridharan *et al.*, 2012). Электрофизиологические эксперименты, посвященные проверке этой гипотезы, не проводились. В этой связи Sabirov с соавторами провели эксперимент с нокаутом каждого из трех генов, кодирующих изоформы VDAC, поочередно и вместе, и продемонстрировали, что единичная проводимость MAC (примерно 400 пСм) в фибробластах мыши с дефицитом VDAC не изменяется. Проводимость каналов оказалось такой же, как в клетках, лишенных VDAC1/VDAC3 или VDAC2. Тем не менее уменьшение содержания VDAC приводило лишь к небольшому снижению выброса АТФ, индуцированного набуханием клеток. Таким образом, отсутствие корреляции между экспрессией белка VDAC и активностью MAC категорически противоречит гипотезе о плазматическом VDAC как о системе, обеспечивающей высвобождение АТФ из клеток

(Sabirov *et al.*, 2006). Следует особо отметить, что поток малых катионов, включая  $\text{Ca}^{2+}$ , протекает со значительными скоростями даже в состоянии закрытого канала (Colombini, 2012). Это наблюдение означает, что активация таких малоселективных каналов в плазматической мембране будет значительно нарушать клеточный гомеостаз и способствовать смерти клеток, опосредованной увеличением концентрации внутриклеточного  $\text{Ca}^{2+}$ .

С использованием электрофизиологических подходов в астроцитах, клетках дистального отдела нефрона почек, кардиомиоцитах,  $\beta$ -клетках поджелудочной железы, клетках эндотелия аорты и ряда других тканей была обнаружена небольшая проницаемость плазматической мембраны для анионов  $\text{ATP}^{4-}$  и  $\text{MgATP}^{2-}$  по отношению к неорганическим анионам. Это явление связывается с функционированием MAC, единичная проводимость которых достигает 200-500 пСм, что на 3-4 порядка выше проводимости других анионных каналов (для обзора см. (Sabirov *et al.*, 2016)). Совсем недавно Sabirov с соавторами показали, что ключевым компонентом MAC является транспортер органических анионов *SLCO2A1*, который до этого был известен как трансмембранный переносчик простагландинов (Sabirov *et al.*, 2017). В этой же работе было установлено, что трансфекция с мутантным *SLCO2A1* подавляла выброс  $\text{ATP}$ , индуцированный набуханием клеток линии C127. Насколько нам известно, данные об электрофизиологической идентификации MAC в эритроцитах человека ограничены одиночным сообщением (Glogowska *et al.*, 2010), а присутствие белка *SLCO2A1* в эритроцитах до сих пор не показано. Отсутствие селективных ингибиторов МАК затрудняет исследование их роли в увеличении выхода  $\text{ATP}$  из эритроцитов в условиях гипоксии.

Коннексины и паннексин *Panx1*, в настоящее время являются наиболее хорошо изученными семействами белков, которые, функционируют как  $\text{ATP}$ -каналы в широком диапазоне типов клеток (D'hondt *et al.*, 2011; Dando & Roper, 2009; Lazarowski *et al.*, 2011; Ma *et al.*, 2009; Ransford *et al.*, 2009; Romanello *et al.*, 2001), включая эритроциты (Chu *et al.*, 2016; Qiu *et al.*, 2011; Sridharan *et al.*, 2010). Тем не менее, несколько основных свойств *Panx1* каналов, включая одноканальную проводимость, избирательность и механизмы регуляции, по-прежнему остаются неясными (Chiu *et al.*, 2014). Систематические электрофизиологические исследования показали, что *Panx1* являются анионными каналами с относительно низкой проводимостью (единичная проводимость от 68 пСм до 75 пСм) и малой проницаемостью для больших анионов (аспартат, глутамат,

глюконат) (Chiu *et al.*, 2014; Ma *et al.*, 2012). В частности, никакой существенной проницаемости для АТФ не было зарегистрировано во вкусовых рецепторах и в клетках НЕК-293, CHO и SK-N-SH, экспрессирующих Panx1 (Romanov *et al.*, 2012). Эксперименты с использованием метода patch-clamp для определения селективности Panx1 до сих пор не представили убедительных данных об участии этих каналов в выбросе АТФ (Chiu *et al.*, 2014).

Montalbetti с соавторами было установлено, что выход АТФ из эритроцитов человека уменьшается при добавлении карбеноксолона и других ингибиторов Panx1, а также пептида <sup>10</sup>Panx1, блокирующего этот канал, проницаемый для соединений с M<sub>r</sub><900 кДа, (Montalbetti *et al.*, 2011a). Кроме того, было показано, что Panx1 присутствует в эритроцитах человека, и выброс АТФ сопровождается накоплением красителей, проникающих в клетку через этот канал (Locovei *et al.*, 2006). Следует, однако, отметить, что выброс АТФ из эритроцитов хотя и был уменьшен, но сохранялся у мышей, лишенных этого гена (мыши *Panx1*<sup>-/-</sup>) (Qiu *et al.*, 2011). Keller и соавторами показали, что у мышей *Panx1*<sup>-/-</sup> не наблюдается изменений в выносливости по отношению к физической нагрузке по сравнению с мышами дикого типа (Keller *et al.*, 2017), что ставит под сомнение предположительную роль Panx1 в АТФ-зависимой регуляции кровотока в работающих скелетных мышцах.

Независимо от молекулярной природы каналов основной концептуальной трудностью такого механизма высвобождения АТФ является то, что для этого требуются поры больших размеров (от 0.6 до 1.1 нм) (Sabirov & Okada, 2005), что в свою очередь приводит к низкой селективности и высокой проводимости (сотни пСм) для таких ионов, как K<sup>+</sup>, Na<sup>+</sup>, Cl<sup>-</sup> и Ca<sup>2+</sup>, что было продемонстрировано на примере хорошо изученных каналов VDAC. Селективность VDAC для АТФ, ADP основана на распределении заряда и стерических ограничениях, позволяющих различать крупные анионы, но не мешающих проникновению небольших катионов. Открытие таких больших неселективных пор в плазматической мембране приведёт к значительному притоку в цитоплазму Na<sup>+</sup> и Ca<sup>2+</sup> против их электрохимического градиента, что в свою очередь нарушит нормальное функционирование клетки (Акурова *et al.*, 2012). В настоящее время нет примера канала, который, с одной стороны, обеспечил бы высокую проницаемость для анионов размером с АТФ, а с другой – предотвратил бы значительные потоки небольших катионов. Ни один из предполагаемых в настоящее время АТФ-каналов плазматической мембраны, по-видимому, не обеспечит сохранение клеточного гомеостаза. Таким образом, к концепции

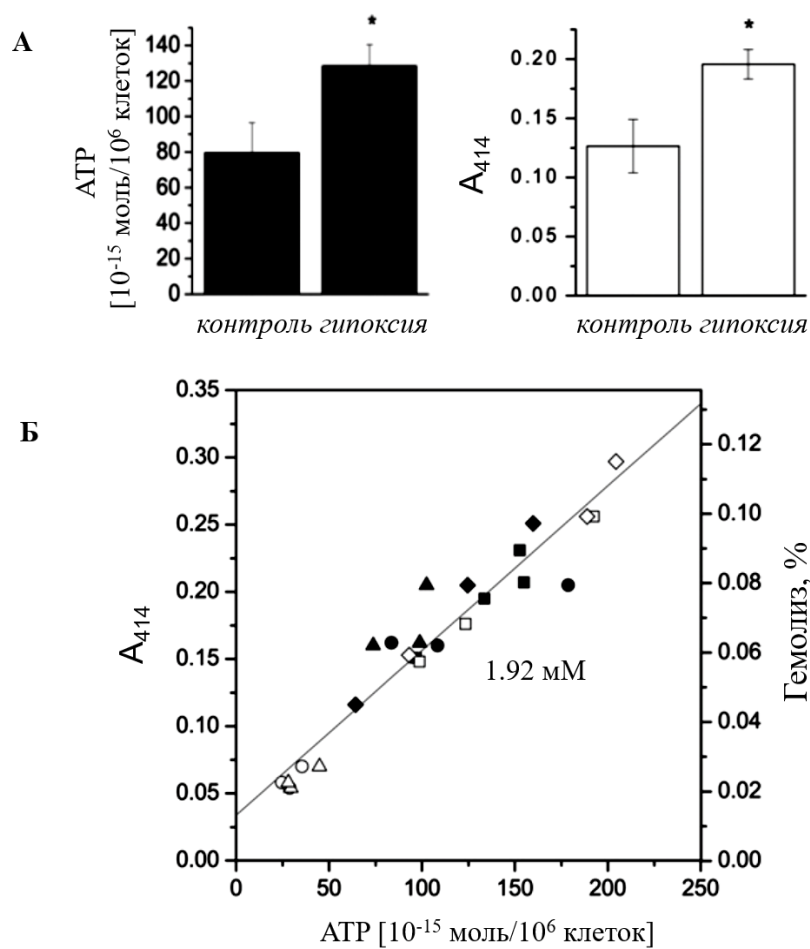
выброса АТР за счет активации специализированного канала следует относиться с большой осторожностью.

## ***1.2.2 Выброс АТР, вызванный нарушением структурной целостности эритроцитов***

### **1.2.2.1 Гемолиз эритроцитов**

Очевидно, что наряду с трансмембранным переносом, увеличение внеклеточной концентрации АТР может быть результатом гибели одиночных эритроцитов – процесс, получивший название гемолиза от греческих слов αἷμα (кровь) и λύσις (высвобождение). После обнаружения у гибнущих эритроцитов маркеров программируемой клеточной смерти (апоптоза), таких как потеря асимметрии фосфолипидного бислоя и экспозиция фосфатидилсерина на наружной стороне плазматической мембраны, этот процесс, который, по-видимому, предшествует гемолизу, получил название эриптоза (eryptosis) (Lang *et al.*, 2010). На момент написания обзора, библиотека Национального института здоровья США насчитывала 1874 работы, посвященных внутрисосудистому гемолизу, который активируется в условиях гипоксии и при длительной физической нагрузке. Эти исследования позволили сформулировать гипотезу о том, что гемолиз, который происходит *in vivo* в результате гипоксии и механических повреждений эритроцитов, связанных с турбулентностью потока крови и прохождением через капилляры, размер которых сопоставим с размером эритроцитов, является важным источником внеклеточного АТР (Mairbaurl, 2013; Mairbaurl *et al.*, 2013; Mao *et al.*, 2011; Shaskey & Green, 2000a; Shaskey & Green, 2000b).

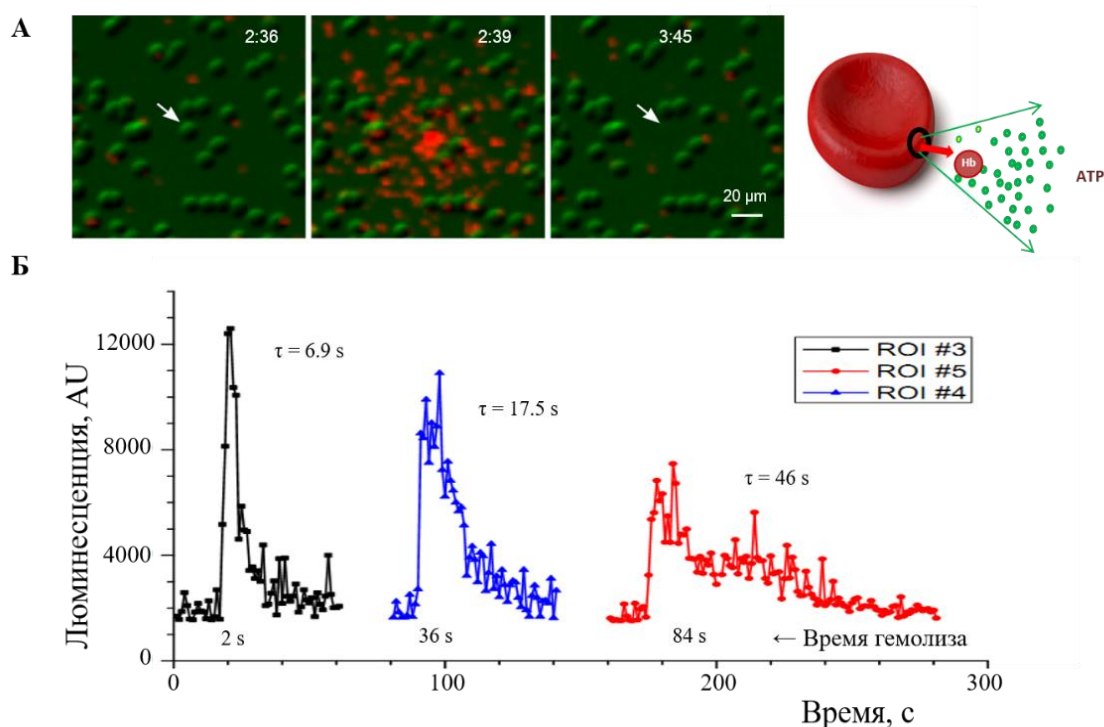
Несмотря на то, что гемолиз считается потенциальным фактором выброса АТР, его относительное участие в этом процессе в опытах *in vitro* систематически не оценивалось. В этой связи Sikora с соавторами провели парные измерения содержания АТР и гемоглобина в образцах супернатантов эритроцитов человека. Было обнаружено, что как базальный выброс АТР, так и его высвобождение из эритроцитов человека под действием гипоксии не только коррелирует с содержанием внеклеточного гемоглобина, но и соответствует ожидаемому уровню АТР при лизисе клеток (Sikora *et al.*, 2014) (**Рис. 5**). Наряду с гипоксией такого рода корреляция была обнаружена и при воздействии на эритроциты человека других стимулов, включая гипотоническую среду и механический стресс, обусловленный интенсивным перемешиванием суспензии эритроцитов (Sikora *et al.*, 2014; Sikora *et al.*, 2015).



**Рисунок 5.** Сравнительный анализ действия гипоксии на выброс АТФ и гемоглобина из эритроцитов человека. **(А)** Среднее значение выброса АТФ и гемоглобина после инкубации эритроцитов на воздухе (контроль) или в газовой смеси, в которой кислород был замещен азотом (гипоксия). Каждый столбец представляет собой среднеарифметическое 13 образцов  $\pm$  SEM, полученные в 4 независимых экспериментах, выполненных с той же группой крови. \*  $p < 0.05$ . **(Б)** Корреляция между приростом высвобождения гемоглобина и АТФ, индуцированных гипоксией в 4 независимых экспериментах. Чёрные маркеры – гипоксия, белые – контроль (Sikora *et al.*, 2014).

Ключевая роль гемолиза в выбросе АТФ, индуцированном гипотоническим шоком, была подтверждена путём одновременного измерения уровня АТФ по интенсивности свечения АТФ-чувствительной системы люциферин-люциферазы и визуализации прикрепленных к подложке эритроцитов с помощью инфракрасной микроскопии (Sikora *et al.*, 2014). Комбинация этих двух методов позволила идентифицировать единичные клетки, высвобождающие АТФ, и показать, что выброс АТФ в ответ на гипоосмотический шок происходит только из лизированных клеток (**Рис. 6 А**). Отдельные клетки показали переменную длительность выброса АТФ, что и следовало ожидать при различном количестве и/или размере литических пор в мембране. Следует особо отметить, что

высвобождение гемоглобина происходило с небольшой задержкой после выброса АТФ (Рис. 6 Б). Это наблюдение согласуется с 3-4-кратным различием в их скорости диффузии в воде, что в свою очередь свидетельствует об общем механизме выброса гемоглобина и АТФ из эритроцитов. Таким образом, было установлено, что, по крайней мере, в случае гипотонического шока гемолиз является единственным механизмом выброса АТФ из эритроцитов, и процессы, регулирующие резистентность эритроцитов к лизису, принимают участие в регуляции прироста содержания внеклеточного АТФ (Sikora *et al.*, 2014).



**Рисунок 6.** Выброс АТФ как следствие лизиса отдельных эритроцитов. (А) Последовательные инфракрасные изображения эритроцитов. Вспышки люминесценции люциферин-люциферазы, взаимодействующей с внеклеточным АТФ, изображены красным. Время указано в правом верхнем углу (мин:сек). 20% гипотонический раствор вводили в момент времени 0. Выброс АТФ, вызванный гипотоническим шоком, представлен на центральном изображении. Исчезновение эритроцита (обозначено стрелкой) из-за выброса Hb произошло с задержкой около 66 сек. (Б) Примеры временной зависимости высвобождения АТФ. Продолжительность выброса АТФ -  $\tau$  (сек) рассчитывается от пика выброса АТФ до полного исчезновения эритроцита. (Sikora *et al.*, 2014).

Следует отметить, что описанные эксперименты были проведены при комнатной температуре, т.е. в нефизиологических условиях. В этой связи перед нашей работой была поставлена задача сопоставить влияние гипоксии на высвобождение АТФ и гемоглобина из эритроцитов при 37°C. Результаты этих исследований приведены во второй главе диссертации.

### 1.2.2.2 Везикуляция плазматической мембраны

Можно предположить, что наряду с лизисом одиночных эритроцитов выброс АТР может быть обусловлен везикуляцией плазматической мембраны, впервые описанной при изучении процессов старения этих клеток. В норме эритроциты человека циркулируют в кровяном русле 100-120 дней, после чего происходит кластеризация белка полосы 3 с компонентом С3 и их захват и переработка специализированной системой макрофагов селезенки, печени и костного мозга (Knutson & Wessling-Resink, 2003). «Старые» клетки характеризуются уменьшением площади поверхности, изменением морфологии клетки, повышением жёсткости и агрегируемости, снижением уровня стоматина (белок полосы 7) в клеточной мембране и перемещением фосфатидилсеринов на поверхности клеток. Старение эритроцитов также характеризуется образованием микродефектов в мембране, что делает их восприимчивыми к различным раздражителям. Действительно, Orbach и соавторы обнаружили, что клетки, разрушенные слабым механическим воздействием, характеризовались низкой деформируемостью, высоким поверхностным электрическим сопротивлением и низким содержанием стоматина в мембране, всеми свойствами старых клеток, увеличивающими образование микровезикул, которое предшествует лизису эритроцитов (Orbach *et al.*, 2017). Было высказано предположение, что у здоровых доноров старые клетки будут составлять определенное пул эритроцитов, «готовых» для гемолитического выброса АТР и к пуринаргической регуляции диаметра сосудов (Thomas, 2014).

Молекулярные механизмы, лежащие в основе образования микровезикул плазматической мембраны, остаются плохо изученными. Изменение метаболического статуса и снижение внутриклеточного уровня АТР при длительном действии деоксигенирования приводят к изменению формы эритроцитов и увеличению мембранных флуктуаций. Мембранные флуктуации обусловлены взаимодействием мембранного бислоя с сетью спектрина, непосредственно регулируемой АТР (Diez-Silva *et al.*, 2010; Park *et al.*, 2010). Морфологические изменения, вызванные низким содержанием АТР, обратимы при восстановлении нормального уровня клеточного АТР. Таким образом, метаболический статус эритроцитов может быть важным фактором, влияющим на их восприимчивость к мембранной везикуляции и лизису. Кроме того, было описано, что везикуляция эритроцитов резко усиливается за счёт увеличения

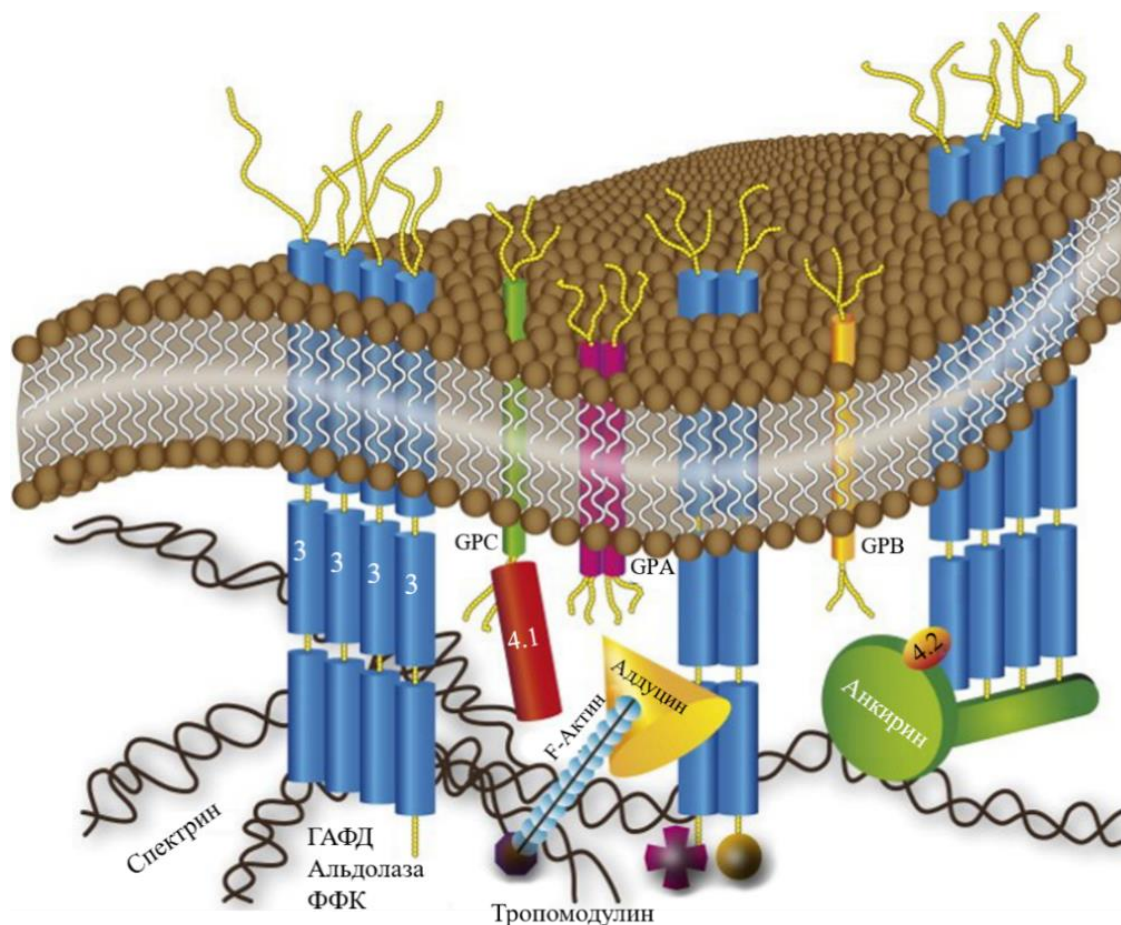
внутриклеточной концентрации  $\text{Ca}^{2+}$  ( $[\text{Ca}^{2+}]_i$ ) посредством активации скрамблазы (фермента, переносящего отрицательно заряженные фосфолипиды с одной стороны мембраны клетки на другую) и ингибирования флиппаз (ферментов, переносящих молекулы фосфолипидов между двумя сторонами липидного бислоя клеточных мембран). Эти  $[\text{Ca}^{2+}]_i$ -опосредованные события приводят к нарушению фосфолипидной асимметрии мембраны и отделению от неё цитоскелета (Alaarg *et al.*, 2013; Greenwalt, 2006). В ранних исследованиях Tiffert и коллеги отмечали, что кратковременное деоксигенирование приводит к повышению  $[\text{Ca}^{2+}]_i$  что, вероятно, связано с ингибированием  $\text{Ca}^{2+}$ -АТФазы (Tiffert *et al.*, 1993). Роль везикуляции мембраны в нарушении целостности эритроцитов в условиях гипоксии остается неизученной.

### **1.3 Механизмы поддержания структурной целостности мембраны эритроцитов**

Данные, представленные в предыдущем разделе, показывают, что изучение систем, вовлеченных в поддержание структурной целостности мембраны эритроцитов, является необходимым условием идентификации механизма высвобождения АТФ в условиях гипоксии. Мембрана эритроцитов сформирована на основе бислоя фосфолипидов, включающего интегральные белки мембраны, и прилегающему к нему двумерного цитоскелета, состоящего из сети актина и спектрина, которые удерживаются вместе анкирином (**Рис. 7**). Эта структура стабилизируется взаимодействием анкирина с белком полосы 3, основным интегральным белком мембраны эритроцитов. Композиционные свойства фосфолипидного бислоя и двумерного цитоскелета отвечают за морфологию эритроцитов как двояковогнутых дискоцитов, эластичность мембраны и реологические свойства крови. Нарушения взаимодействия между компонентами цитоскелета и/или интегральными мембранными белками изменяют плотность сети спектрина, вызывая морфологические изменения клеток и мембранные флуктуации, влияющие на деформируемость и хрупкость эритроцитов (Diez-Silva *et al.*, 2010).

Когда эритроциты подвергаются механическому воздействию, клеточная мембрана деформируется до тех пор, пока она не достигнет «предела текучести». За пределами этой пороговой точки дополнительная нагрузка приводит к необратимой пластической деформации мембраны, что ускоряется накоплением микродефектов в мембране, приводящим к разрушению клетки. Li с соавторами (Li *et al.*, 2013) показали, что после кратковременного механического воздействия, вызванного кавитацией (т.е. во

время образования пузырей и их схлопывания), лизис эритроцитов представляет собой двухэтапный процесс. Это связано с образованием нанопор с последующим осмотическим коллоидным набуханием клетки до тех пор, пока она не разорвётся. Для этого нанопоры в мембране должны оставаться открытыми в течение длительного времени. Обнаруженные в мембране эритроцитов ворсистые молекулы гликокаликса могут способствовать стабилизации нанопор через стерические взаимодействия. В исследовании на месте разрыва образовывались поры с эффективным размером по 1.6 мкм. Лизис происходит в диапазоне от нескольких секунд до сотен миллисекунд. Интересно отметить, что в этих экспериментах клетки, которые разрывались, имели неправильную форму, свидетельствуя о том, что изменения в двумерной сети спектрина и/или в опорной точке плазматической мембраны являются важным фактором, обеспечивающим образование литических пор (Li *et al.*, 2013).



**Рисунок 7.** Схема расположения интегральных белков и примембранного цитоскелета в бислойе мембраны эритроцита человека. Гликофорин А, В и С – трансмембранные гликопротеины GPA, GPB, и GPC; 3 – белок полосы 3 с которым со стороны цитозоля ассоциирован белок полосы 4.2 (4.2); спектрин и актин формируют двумерный примембранный цитоскелет на внутренней стороне; анкирин связывает белок полосы 3 с цитоскелетом. Глицеральдегид-3-фосфатдегидрогеназа (ГАФД), альдолаза и фосфофруктокиназа (ФФК) – ферменты гликолиза (Pasini *et al.*, 2010).

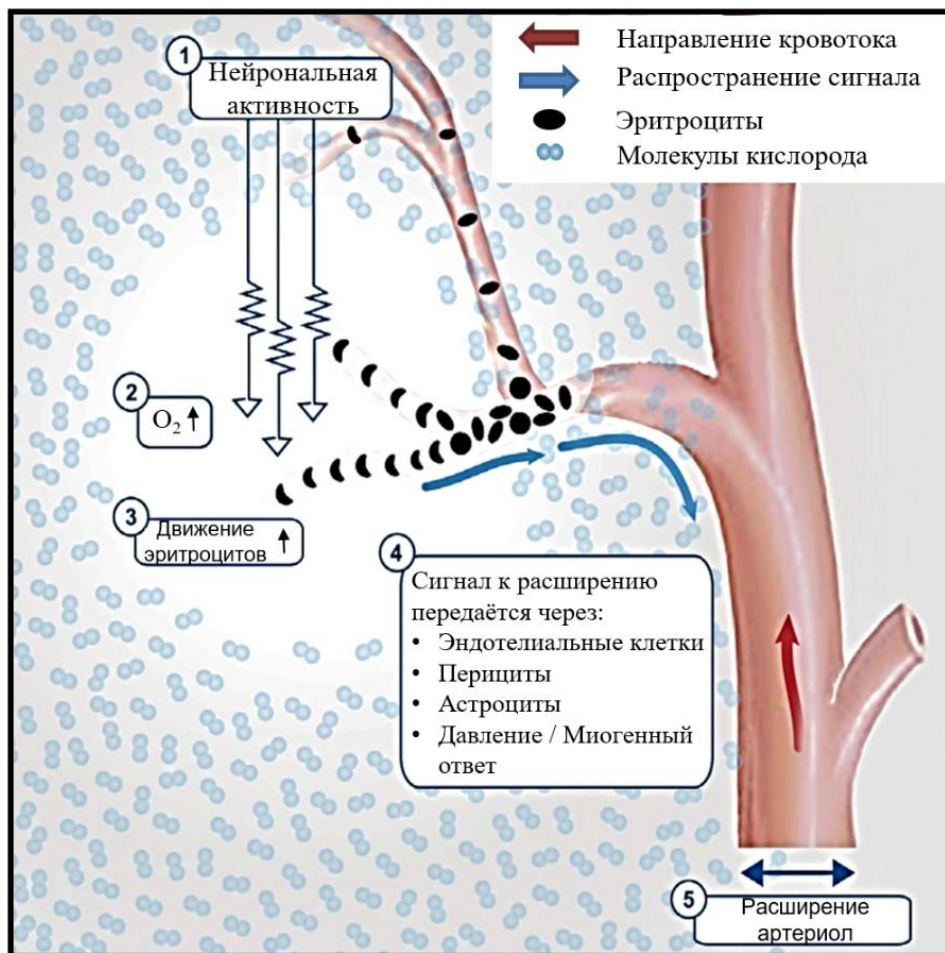
Два десятилетия назад Sprague с соавторами (Sprague *et al.*, 1996) обнаружили, что выброс АТФ из эритроцитов кролика и человека происходит в ответ на механическую деформацию, происходящую в результате пропускания эритроцитов через фильтровальную бумагу с размерами пор, сравнимыми с диаметром клеток. Позднее это наблюдение было подтверждено в экспериментах, проведённых с использованием микропористых капилляров (Fischer *et al.*, 2003) и каналов, переносящих микропотоки жидкостей (Forsyth *et al.*, 2011; Price *et al.*, 2004). Эти данные позволили исследователям заключить, что механическое воздействие само по себе является достаточным для того, чтобы спровоцировать выброс АТФ из эритроцитов (Wan *et al.*, 2011). Позднее Sikora с соавторами (Sikora *et al.*, 2014) показали, что гемолиз является основным механизмом выброса АТФ из эритроцитов, подвергающихся стрессу. Насколько известно, сравнительный анализ выброса АТФ при действии гипоксии в контрольных условиях и в эритроцитах, подверженных механическому воздействию, проведен не был.

#### **1.4 Гипоксия как фактор регуляции деформируемости эритроцитов**

Вязкость крови определяется свойствами потока эритроцитов, которые включают в себя адгезию, агрегацию и деформируемость, то есть способность изменять форму без гемолиза при действии стресса (напряжения). Деформируемость эритроцитов влияет на кровоток в крупных кровеносных сосудах из-за повышенной устойчивости к трению между слоями жидкости в условиях ламинарного течения. Это также существенно влияет на микроциркуляторный кровоток, когда эритроциты вынуждены проходить через кровеносные сосуды с диаметрами, меньше их размера. Уменьшение деформируемости эритроцитов отмечено при ряде патологических состояний. Так, например, повышенная вязкость крови при серповидноклеточной анемии вызвана снижением деформируемости эритроцитов из-за образования геля деоксигенированного HbS и его взаимодействия с белками клеточных мембран, определяющими эластичность мембраны (Diez-Silva *et al.*, 2010; Viallat & Abkarian, 2017; Yedgar *et al.*, 2002).

Сравнительно недавно Wei и его коллеги обнаружили, что микроинъекция соединений, захватывающих O<sub>2</sub>, приводила к гиперемии (усилению кровотока) церебральной микроциркуляции у мышей независимо от механизма, опосредованного известными вазоактивными соединениями (Wei *et al.*, 2016). В дополнительных экспериментах они изучали влияние оксигенации на поток эритроцитов через искусственный капилляр. Эти эксперименты показали, что снижение P<sub>O<sub>2</sub></sub> увеличивает

скорость прохождения эритроцитов через каналы, диаметр которых сопоставим с размером эритроцита, указывая на то, что кратковременное дезоксигенирование увеличивает деформируемость мембраны эритроцитов. Эти данные указывают на то, что в дополнение к увеличению диаметра сосуда повышение кровотока в микроциркуляторном русле при гипоксических состояниях может быть достигнуто посредством  $P_{O_2}$ -зависимой регуляции деформируемости эритроцитов как ключевого фактора, определяющего вязкость крови (Рис. 8).



**Рисунок 8.** Модель капиллярной гиперемии. Вследствие нейрональной активности (1) увеличивается расход АТФ за счет активации  $Na^+/K^+$ - и  $Ca^{2+}$ -АТФазы, в результате чего происходит повышенное потребление кислорода тканями, и как следствие уменьшается внеклеточная концентрация кислорода (2). Вследствие падения  $P_{O_2}$  изменяются механические свойства эритроцитов, в результате чего увеличивается их скорость движения (3). Повышение скорости движения эритроцитов в капиллярах и артериолах, опосредованное сосудорасширяющим действием высвободившегося из эритроцитов АТФ, способствует увеличению доставки ими кислорода (4 и 5) (Wei *et al.*, 2016).

## 1.5 Поиск сенсора, вовлеченного в генерацию рО<sub>2</sub>-зависимых сигналов эритроцитов

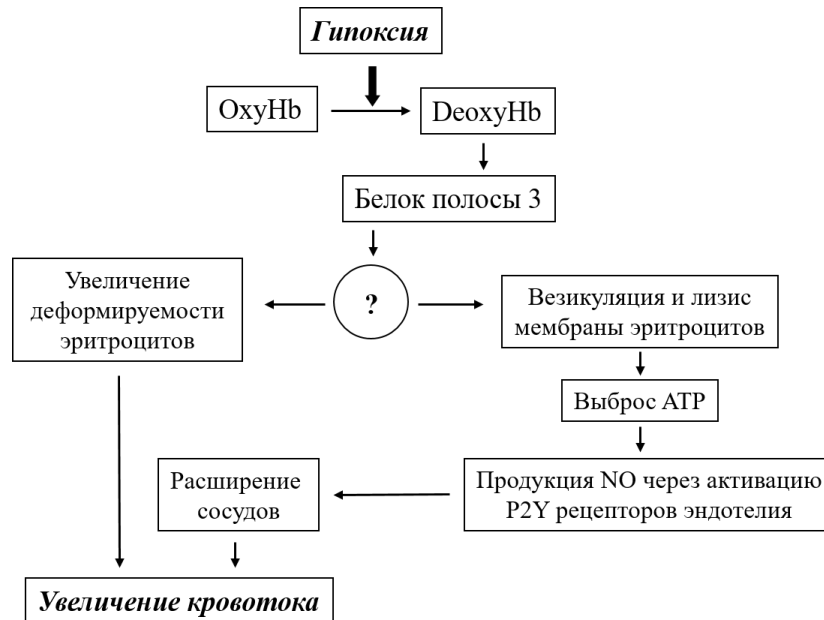
Изначально предполагалась, что сенсор O<sub>2</sub>, ответственный за регуляцию сосудистого тонуса, локализован либо в самих сосудах, либо в прилегающей к ним паренхиматозной ткани (Harder *et al.*, 1996; Jackson, 1987). Однако, данные, представленные в предыдущем разделе, указывают на то, что сенсор O<sub>2</sub>, вовлеченный в регуляцию сосудистого тонуса, локализован в эритроцитах. В этой связи разумно предположить, что сенсором O<sub>2</sub> является непосредственно его же переносчик - тетрамер гемоглобина, который в его деоксигенированной напряженной (tense) форме (T-Hb) взаимодействует с адапторным белком и запускает каскад сигналов, приводящих к высвобождению АТФ. Эта гипотеза согласуется с негативной корреляцией между высвобождением АТФ и содержанием гемоглобина в оксигенированной расслабленной (relax) форме (R-Hb), а также с данными о блокаде выброса АТФ в условиях гипоксии в присутствии СО (Jagger *et al.*, 2015), сродство которого к гемоглобину на 2-3 порядка выше, чем к O<sub>2</sub> и который полностью блокирует образование T-Hb.

Гемоглобин является единственным известным кислород-связывающим белком в эритроцитах. Имея это в виду, обратимую ассоциацию оксигенированного (oxyHb) и/или дезоксигенированного (deoxyHb) гемоглобина с промежуточными продуктами внутриклеточной сигнализации можно рассматривать как механизм запуска рО<sub>2</sub>-зависимых ответов эритроцитов. Действительно, в бесклеточных экспериментах было показано, что гемоглобин связывается с цитоплазматическим доменом белка полосы 3 (cdb3) (Cassoly, 1983; Low *et al.*, 1984), также известного как анионообменник (AE1, SLC4A1), основного интегрального белка мембраны эритроцитов, играющего ключевую роль как в транспорте анионов, так и в организации цитоскелета мембраны (Reithmeier *et al.*, 2016). Важно отметить, что и у человека, и у мышей сродство изолированного cdb3 для deoxyHb намного выше, чем для oxyHb (Sega *et al.*, 2012; Sega *et al.*, 2015; Walder *et al.*, 1984). Было установлено, что этот же домен cdb3 взаимодействует с глицеральдегид-3-фосфатдегидрогеназой, альдолазой, пируваткиназой и другими ключевыми ферментами гликолиза и пентозофосфатного пути (Matayoshi *et al.*, 1991; Puchulu-Campanella *et al.*, 2013). Обнаружено, что связывание cdb3 с деоксигемоглобином приводит к высвобождению этих ферментов и активации гликолиза (Lewis *et al.*, 2009), т.е. лежит в основе обнаруженного ранее рО<sub>2</sub>-зависимого механизма регуляции этих биохимических реакций (**Рис. 1**).

Следует отметить, что рассмотренные выше исследования были проведены либо с использованием высокоочищенных белков и их фрагментов, либо при изучении связывания гемоглобина и ферментов гликолиза с пермеабилizованными тениями эритроцитов, обедненными слабосвязанными мембранными белками. Учитывая это обстоятельство, мы изучили связывание гемоглобина с мембраной в контрольных условиях и при деоксигенации интактных эритроцитов. Результаты этих экспериментов приведены в разделе 3.5.

Stefanovic и коллеги продемонстрировали, что оксигенация способствует усилению взаимодействия между белком полосы 3 и анкирином, что в свою очередь стабилизирует мембрану эритроцитов во время турбулентного потока из легких в капиллярное русло. Деоксигенация вызывает вытеснение анкирина из белка полосы 3 и отщепление спектрин-актинового цитоскелета от мембраны. Это ослабление мембранно-цитоскелетных взаимодействий может быть способствовать увеличению кровотока за счет увеличения деформируемости эритроцитов, обеспечивающей эффективное прохождения дезоксигенированных эритроцитов через узкие капилляры. Однако длительное дезоксигенирование может способствовать везикуляции мембраны (Stefanovic *et al.*, 2013), а также увеличить склонность мембраны к разрыву из-за уменьшения механической поддержки цитоскелетом. Действительно, теоретическое рассмотрение механизмов, обеспечивающих целостность мембран и формирования пор в липидном бислое, показало важность сети цитоскелета в стабилизации мембраны в ответ на образование пор за счет уменьшения поверхностного натяжения (Sung & Park, 1997).

Рассмотренные выше данные позволили нам предложить следующую модель вовлечения эритроцитов в регуляцию кровоснабжения тканей в условиях гипоксии (**Рис. 9**). Гипоксия приводит к взаимодействию дезоксигемоглобина с одним из основных белков мембраны (например, белком полосы 3). Это взаимодействие является сигналом для последующего изменения содержания или реорганизации других мембранных белков и/или липидного бислоя мембраны, что приводит к повышенной деформируемости эритроцитов и высвобождению АТФ через везикуляцию мембраны и/или лизис эритроцитов.



**Рисунок 9.** Механизмы участия эритроцитов в регуляции кровоснабжения тканей (рабочая гипотеза). Гипоксия приводит к накоплению дезоксигемоглобина (ДеохуНб) и его взаимодействию с цитоплазматическим доменом анионного обменника (белок полосы 3). Это взаимодействие является сигналом для изменения содержания или реорганизации других мембранных белков и/или липидного бислоя мембраны (?), что приводит к повышенной деформируемости эритроцитов и высвобождению АТФ через везикуляцию мембраны и/или лизис эритроцитов.

### 1.6 Особенности, выявленные в ядерных эритроцитах

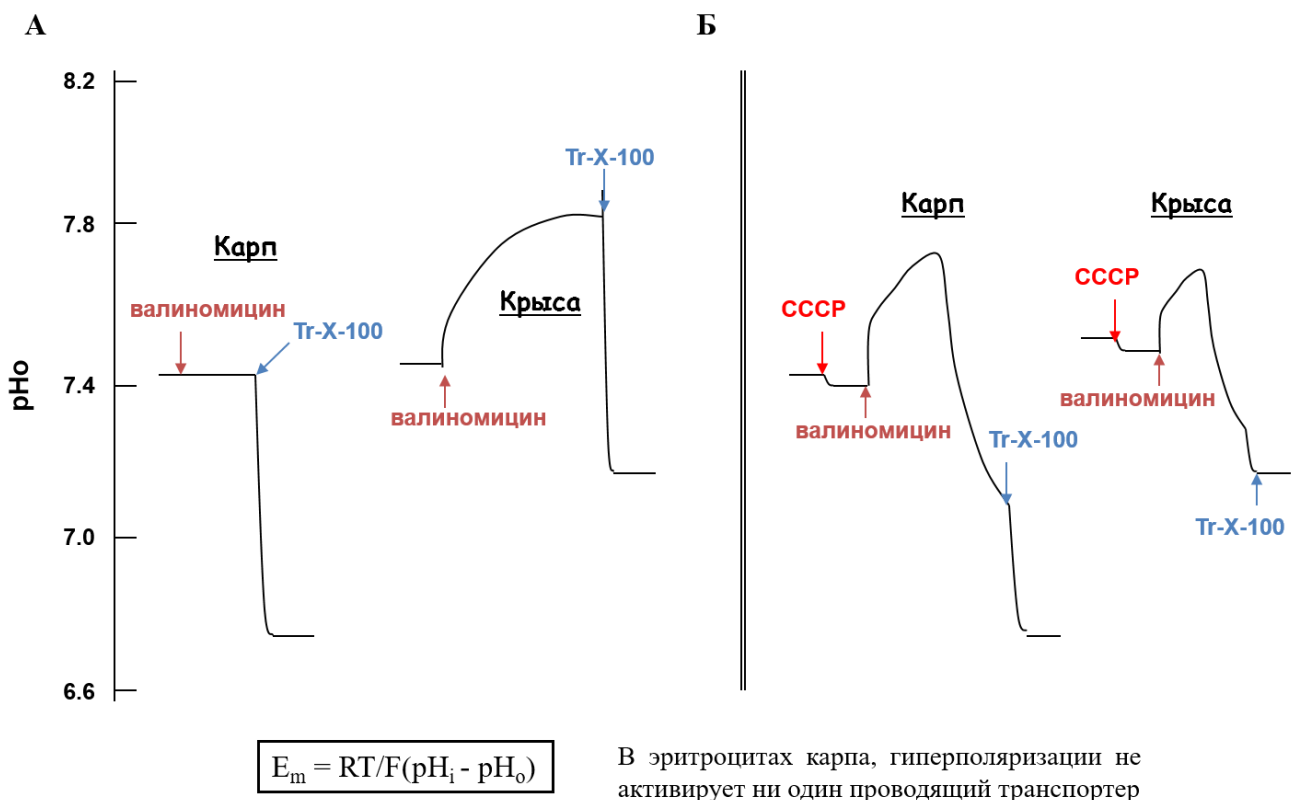
У всех исследованных на этот предмет позвоночных средство гемоглобина к кислороду резко снижается по мере подкисления цитоплазмы (т.н. эффект Бора) (Jensen, 2004). Кроме того, этот параметр уменьшается по мере увеличения концентрации гемоглобина, что связывается с потерей внутриклеточной воды и уменьшения объема клетки (Nikinmaa, 1992). Следует, однако отметить, что, ввиду крайне высокой анионной проницаемости безъядерных эритроцитов млекопитающих для  $\text{Na}^+$  и  $\text{K}^+$ , внутриклеточная концентрация протонов ( $\text{pH}_i$ ) зависит только от внеклеточной концентрации протонов и трансмембранного распределения основного аниона хлора и не зависит от остальных транспортеров, активность которых существенно меньше скорости переноса анионов белком полосы 3.

$$[\text{H}^+]_o/[\text{H}^+]_i = [\text{HCO}_3^-]_i/[\text{HCO}_3^-]_o = [\text{Cl}^-]_i/[\text{Cl}^-]_o = r \quad (2)$$

Исключение составляют  $\text{Ca}^{2+}$ -чувствительные  $\text{K}^+$ -каналы умеренной проводимости ( $\text{IK}_{\text{Ca}}$ ), активация которых в ответ на увеличение  $[\text{Ca}^{2+}]_i$  приводит к резкой гиперполяризации мембраны, утечки  $\text{K}^+$  и  $\text{Cl}^-$ , сжатию эритроцитов и закислению цитоплазмы. Это положение проиллюстрировано в экспериментах с применением  $\text{K}^+$ -

ионофора валиномицина, добавление которого к эритроцитам крысы приводит к высвобождению протонов и, как следствие, к изменению мембранного потенциала (**Рис. 10 А**). В отличие от безъядерных эритроцитов млекопитающих, вклад анионной проводимости в формирование нетто-потоков через плазматическую мембрану ядерных эритроцитов существенно ниже, а потому в эритроцитах карпа даже резкая деполяризация в присутствии  $K^+$ -ионофора валиномицина не генерирует трансмембранных потоков гидроксид-аниона  $OH^-$  (Orlov & Skryabin, 1993). Как и следовало ожидать, эти различия устранялись в присутствии протонофора СССР (**Рис. 10 Б**), т.е. в условиях, когда вне зависимости от анионной проницаемости протоны распределяются в соответствии с электрическим потенциалом мембраны

$$E_m = RT/F(pH_i - pH_o) \quad (3).$$



**Рисунок 10.** Кинетика изменения внеклеточного pH ( $pH_o$ ) в ответ на добавления  $K^+$ -ионофора валиномицина в эритроцитах карпа и крысы в отсутствии (А) и в присутствии (Б) протонофора СССР. Tr-X-100 – тритон X100 (Orlov et al., 1994).

Указанная выше особенность предполагает, что в отличие от млекопитающих в ядерных эритроцитах транспортеры одновалентных катионов принимают участие в регуляции  $pH_i$  и объема ядерных эритроцитов. Наиболее полно это положение изучено на примере эритроцитов костистых рыб (*Teleostei*). У этих рыб увеличение подвижности сопровождается накоплением молочной кислоты и, в силу отсутствия эффективной

системы щелочно-кислотного баланса в почках, закислением плазмы крови и как следствие этого цитоплазмы эритроцитов. По неизвестному механизму закисление плазмы сопровождается выбросом катехоламинов и активацией системы сАМР и особой сАМР-зависимой изоформы  $\text{Na}^+/\text{H}^+$ -обменника, обнаруженного в этих клетках. В свою очередь это приводит к нормализации  $\text{pH}_i$  и увеличению сродства гемоглобина к кислороду (для обзора см. (Bogdanova *et al.*, 2009;Nikinmaa, 1992;Nikinmaa, 2002)).

В эритроцитах птиц катехоламины активируют универсальную изоформу  $\text{Na}^+/\text{K}^+/\text{2Cl}^-$ -котранспортера (NKCC1) (Muzyamba *et al.*, 1999;Palfrey & Greengard, 1981). Активность этого переносчика также возрастает в условиях гипоксии, причем действие гипоксии и системы сАМР не аддитивно (Muzyamba *et al.*, 1999). Предполагается, что это явление приводит к увеличению объема клеток и сродства гемоглобина к кислороду в условиях длительного перелета птиц. У рыб деоксигенация гемоглобина наряду с активацией  $\text{Na}^+/\text{K}^+/\text{2Cl}^-$ -котранспортера приводит к увеличению скорости  $\text{Na}^+/\text{H}^+$ -обмена и ингибированию  $\text{K}^+/\text{Cl}^-$ -котранспорта (Berenbrink *et al.*, 2006;Bogdanova *et al.*, 2009). Кислород-чувствительные ионные транспортеры также обнаружены у некоторых земноводных (Bogdanova *et al.*, 2009;Kristensen *et al.*, 2007). Предполагается, что в случае ядерных эритроцитов сенсором кислорода является не только гемоглобин, но и фактор регуляции транскрипции генов hypoxia-inducible factor (HIF-1a) (Bogdanova *et al.*, 2009;Nikinmaa, 2002). Эта гипотеза нуждается в дальнейшей экспериментальной проверке. Jensen с соавторами показали, что гипоксия не вызывает выброса АТФ из эритроцитов рыб, в отличие от млекопитающих (Jensen *et al.*, 2009). Данные о регуляции кислородом выброса АТФ из эритроцитов других позвоночных отсутствуют.

## **1.7 Физиологическое и патофизиологическое значение**

Представленные выше данные позволяют предположить, что роль эритроцитов как регулятора сосудистого тонуса связана, прежде всего, с кровоснабжением органов, претерпевающих резкие изменения энергетического статуса. Очевидно, что нарушения в этой регуляторной системе могут быть вовлечены в патогенез болезней, характеризующихся гипоксическими состояниями. В этом разделе мы приведем несколько примеров, иллюстрирующих данное положение.

### **1.7.1 Физическая нагрузка**

Скелетная мускулатура испытывает резкие перепады потребления кислорода по мере изменения физической нагрузки (Gonzalez-Alonso, 2012;Rowel *et al.*, 1986). Было

обнаружено, что кровоснабжение скелетной мускулатуры контролируется как ферментами, регулирующими продукцию NO, так и циклооксигеназой (cyclooxygenase, COX) (Boushel *et al.*, 2002). Было установлено, что физическая нагрузка сопровождается увеличением содержания АТФ в плазме венозной крови (Forrester & Lind, 1969). При наличии интактного эндотелия внутриартериальное введение АТФ приводит к расслаблению сосудов скелетной мускулатуры (Gonzalez-Alonso *et al.*, 2002); (Duza & Sarelius, 2003), которое сопровождается увеличенной продукцией NO (Collins *et al.*, 1998) и метаболитов арахидоновой кислоты (Hammer *et al.*, 2001) и блокируется как ингибиторами синтетазы NO, так и ингибиторами COX (Mortensen *et al.*, 2009). Роль увеличения локальной температуры (Kalsi & Gonzalez-Alonso, 2012) и других факторов, сопровождающих физическую нагрузку, в высвобождении АТФ из эритроцитов окончательно не установлена.

В меньшей степени исследован механизм увеличенной продукции вазорелаксирующих производных арахидоновой кислоты в условиях физической нагрузки. Мы предполагаем, что это явление связано с диссипацией трансмембранных градиентов одновалентных ионов, происходящей при возбуждении мышц. В самом деле, как у человека, так и у экспериментальных животных длительная физическая нагрузка в силу перманентной активации потенциал-зависимых  $K^+$ - и  $Na^+$ -каналов и сопровождается 3-4-кратным увеличением  $[Na^+]_i$  в клетках скелетной мускулатуры и уменьшением  $[K^+]_i$  на 15-25% (McKenna *et al.*, 2008; Murphy *et al.*, 2008). В нашей лаборатории было установлено, что как в случае клеток гладкой мускулатуры, так и клеток эндотелия увеличение соотношения  $[Na^+]_i/[K^+]_i$ , вызванное гипоксией на фоне энергетического голодания, приводит к резкому увеличению экспрессии циклооксигеназы 2-го типа (COX-2) – одного из ключевого фермента метаболизма арахидоновой кислоты (Koltsova *et al.*, 2012; Koltsova *et al.*, 2014). Роль увеличения соотношения  $[Na^+]_i/[K^+]_i$  в регуляции экспрессии COX-2 скелетной мускулатуры остается не изученной.

### ***1.7.2 Идиопатическая легочная гипертензия (ИЛГ)***

ИЛГ характеризуется увеличением сопротивления малого круга кровообращения, что связывается с нарушениями в сигнальной системе, опосредованной NO. Sprague с соавторами, показали снижение выброса АТФ из эритроцитов больных ИЛГ в ответ на механическую деформацию, возникающую при прохождении ими пор с диаметром 5 мкм (Sprague *et al.*, 2001). Этот дефект не был связан с уменьшением содержания

внутриклеточного АТФ и был, по-видимому, обусловлен снижением деформируемости эритроцитов. Авторы полагают, что отмеченные особенности эритроцитов лежат в основе уменьшенной продукции NO клетками эндотелия у больных ИЛГ.

### **1.7.3 Диабет второго типа**

Инсулин-независимый сахарный диабет второго типа характеризуется ухудшением снабжения кислородом кожи и скелетной мускулатуры, что считается основной причиной резкого замедления заживления ран и преждевременной усталости в ответ на физические нагрузки (Melher *et al.*, 1997). Было обнаружено, что эритроциты больных этой формой диабета высвобождают меньше АТФ в ответ на умеренную гипоксию (Sprague *et al.*, 2006). Имеет ли отношение данное явление к нарушению снабжения тканей кислородом? Для ответа на этот вопрос сравнивались изменения диаметра сосудов скелетной мускулатуры при их перфузии кровью пациентов контрольной группы и больных диабетом. Оказалось, что, в отличие от контрольной группы, при перфузии кровью больных диабетом артериолы недостоверно увеличивают диаметр в ответ на гипоксию (Sprague *et al.*, 2010). Было также обнаружено, что выброс АТФ из эритроцитов больных диабетом нормализовался в присутствии ингибиторов фосфодиэстеразы (Sprague *et al.*, 2012), а также в среде, содержащей пептид С и инсулин в молярном соотношении, соответствующем их концентрации в крови здоровых людей (1:1), но не в условиях 6-кратного увеличения содержания пептида С, выявленного у ряда больных диабетом (Lee & Yang, 2013). В связи с полученными в этих работах данными рассматриваются новые подходы лечения диабетических осложнений, связанных с нарушением регуляции эритроцитами тонуса сосудов (Sprague & Ellsworth, 2012).

Дисфункция эндотелия, обусловленная нарушением целостности монослоя эндотелиальных клеток, обнаружена практически при всех заболеваниях сердечно-сосудистой системы. Основные причины этой патологии: высокое кровяное давление, курение, высокий уровень холестерина, диабет, ожирение. Дисфункция эндотелия приводит к уменьшению продукции NO в ответ на действие вазорелаксирующих стимулов и делает клетки гладкой мускулатуры доступными для циркулирующих в крови гормонов и нейротрансмиттеров. В случае АТФ это сопровождается активацией P2X-рецепторов ГМК и уменьшением диаметра сосудов (**Рис. 3 Б**). Иными словами, при дисфункции эндотелия в условиях гипоксии и внутрисосудистого механического стресса выброс АТФ из эритроцитов будет проводить не к увеличению, а, напротив, к снижению

скорости кровотока (Ellsworth *et al.*, 2008), т.е. усугублять течение болезни. Выброс АТФ из эритроцитов человека подавляется NO (Olearczyk *et al.*, 2004), что отчасти компенсирует описанные выше негативные последствия дисфункции эндотелия. В какой мере эта патология влияет на функционирование систем, обеспечивающих высвобождение АТФ из эритроцитов, до сих пор не исследовано.

При рассмотрении роли гемолиза как механизма высвобождения АТФ из эритроцитов в условиях гипоксии следует отметить, что внеклеточный гемоглобин, функционирующий как губка для оксида азота (см. раздел 1.1), может существенно влиять на доступность продуцируемого эндотелием NO для клеток гладкой мускулатуры. Роль этого явления в патогенезе болезней, связанных с дисфункцией эндотелия, остается мало изученной (Rother *et al.*, 2005).

### **1.8 Нерешенные вопросы**

Рассмотренные здесь данные показывают, что наряду с доставкой кислорода эритроциты принимают участие в регуляции сосудистого тонуса. Эта регуляторная система подразумевает, что эритроциты являются не только кислород-зависимыми донорами и акцепторами NO, но и основным источником АТФ для активации пуринэргических рецепторов эндотелия. Накапливаются также данные о вовлечении этой регуляторной системы в патогенез легочной гипертензии и диабета, и других болезней, сопровождающихся дисфункцией эндотелия. Есть серьезные основания полагать, что первичным сенсором кислорода, принимающим участие как в регуляции транспорта NO, так и выброса АТФ, является сам гемоглобин, который в деоксигенированном состоянии взаимодействует с белком полосы 3. Какие другие белки принимают участие в проведении сигнального каскада, инициированного деоксигенацией гемоглобина? Какова роль липидного бислоя в генерации сигналов, генерируемых в условиях гипоксии? Принимает ли участие экто-АТРаза эритроцитов в изменениях внеклеточной концентрации АТФ в условиях гипоксии? Решению этих вопросов была посвящена наша работа.

## **Глава 2. Материалы и методы**

### **2.1 Объект и материалы исследования**

В ходе проведения исследования использовали кровь, полученную из локтевой вены доноров (10 мужчин и 10 женщин, 40±6 лет) и венозного синуса самцов крыс линии Вистар (15 – 20 недель). В экспериментах с животными соблюдали Правила лабораторной практики, определённые Приказом Министерства здравоохранения и социального развития Российской Федерации от 23 августа 2010г. № 708н г. Москвы. Эксперименты с кровью людей проведены в соответствии с принципами биомедицинской этики, сформулированными в Хельсинкской декларации 1964 г. и ее последующих обновлениях, и одобрены локальным биоэтическим комитетом Федерального государственного бюджетного образовательного учреждения высшего образования «Московский государственный университет имени М.В.Ломоносова». В качестве антикоагулянта использовали гепарин (5 Ед/мл крови). Выделенную кровь центрифугировали в течение 10 минут (1500 g, 10 мин, 4°C), после чего плазму и клетки белой крови удаляли, а полученную суспензию эритроцитов трижды промывали при тех же условиях центрифугирования средой А, следующего состава: 145 мМ NaCl, 5 мМ KCl, 4 мМ Na<sub>2</sub>HPO<sub>4</sub>, 1 мМ NaH<sub>2</sub>PO<sub>4</sub>, 1 мМ MgSO<sub>4</sub>, 1 мМ CaCl<sub>2</sub>, 5 мМ глюкозы (рН 7.4). Суспензия эритроцитов, используемая в экспериментах, хранилась на льду не более 3 ч.

### **2.2 Спектроскопия комбинационного рассеяния (КР)**

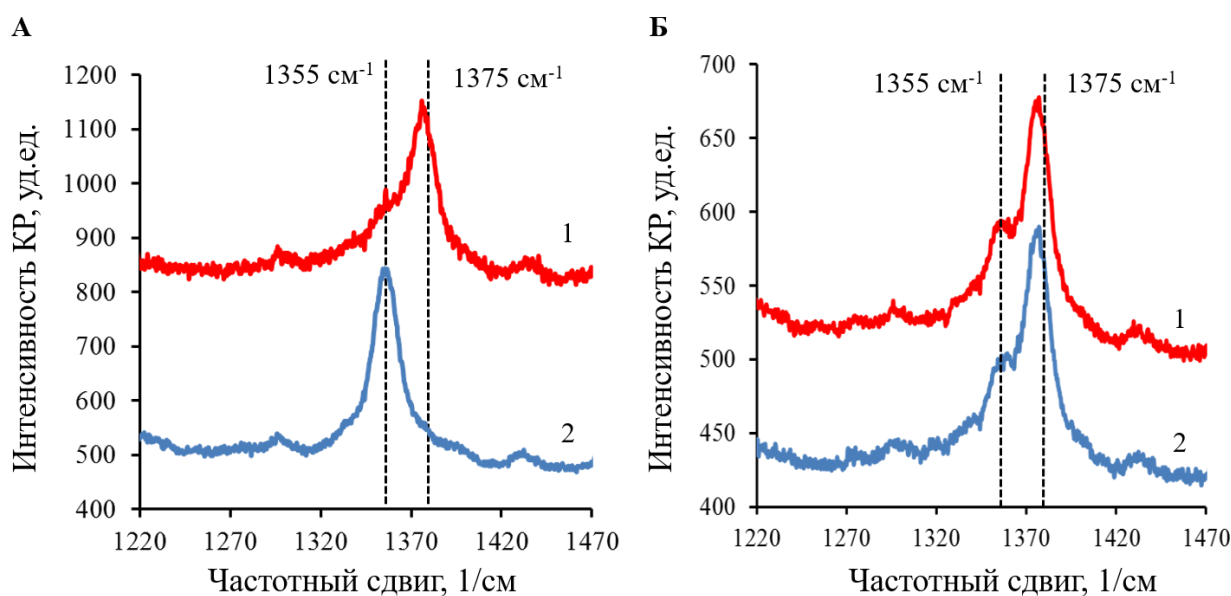
Для регистрации спектров комбинационного рассеяния суспензию эритроцитов помещали в герметично закрытые стеклянные капилляры диаметром 1 мм и размещали в держателе КР-спектрометра (Wood *et al.*, 2007). В работе использовали КР-спектрометр с лазером 473 нм (Ciel, Eurolase), с системой регистрации МОРС 1/3648 (Троицк, Россия), сделанной на базе ПЗС TCD1304DG (Toshiba, Япония) с отсекающим фильтром LPO2-473RS-50 (Shemrock, USA). Мощность лазера на образце составляла 17 мВт.

### **2.3 Вытеснение кислорода из суспензии эритроцитов**

Для вытеснения кислорода из суспензии эритроцитов использовали газовую смесь, содержащую азот и 0.04% CO<sub>2</sub> (ПГС-сервис, РФ). Вытеснение кислорода из суспензии эритроцитов проводилось при комнатной температуре или при 37°C в термостатируемых кюветах при постоянно перемешивании на орбитальном шейкере (65 об/мин) при скорости потока 0.1 л/мин. Эритроцитарная масса в контрольной пробирке

контактировала с воздухом при таких же условиях скорости потока и перемешивания. Объем эритроцитарной массы для получения теней в процессе вытеснения кислорода составлял 2 мл (Ht = 40%), а в экспериментах для измерения уровня гемолиза и внеклеточного АТР — 1 мл (Ht = 20%).

Контроль за содержанием кислорода в суспензии эритроцитов и времени, необходимого для полного вытеснения кислорода, осуществляли методом спектроскопии комбинационного рассеяния (см. раздел 2.2). В предварительных экспериментах было установлено, что полное вытеснение кислорода из гемоглобина происходит за 20 минут, о чем свидетельствует отсутствие полосы  $1375\text{ см}^{-1}$ , соответствующей оху-Нб, и появление полосы на  $1355\text{ см}^{-1}$ , соответствующей деохи-Нб, в спектрах КР (**Рис. 11 А**). Исходя из этого, во всех экспериментах вытеснение кислорода из суспензии эритроцитов проводили в течение 20 минут.



**Рисунок 11.** Спектры комбинационного рассеяния суспензии эритроцитов крысы (Ht = 20%): (А) после 20 мин инкубации на воздухе (1) или в газовой смеси, в которой кислород был замещен азотом (2). (Б) После реоксигенации того же образца в течение 15 минут.

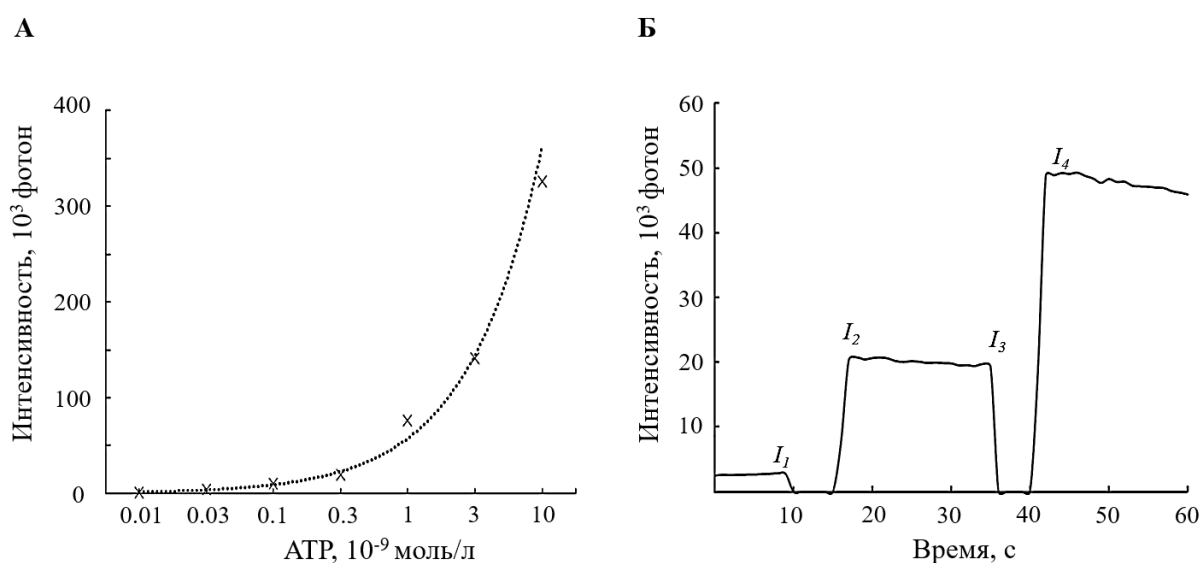
#### 2.4 Гемолиз эритроцитов

Уровень гемолиза эритроцитов был рассчитан как отношение количества внеклеточного гемоглобина к полному содержанию гемоглобина в суспензии эритроцитов. О содержании внеклеточного гемоглобина судили по оптической плотности белка, измеренной на спектрофотометре SmartSpec plus Bio-Rad (США) на длине волны 415 нм в супернатанте, полученном после осаждения эритроцитов при 500 g в течение 10 минут при комнатной температуре. Для определения общего содержания гемоглобина

эритроциты лизировали путем добавления 50  $\mu$ л суспензии эритроцитов в 1 мл деионизованной воды.

## 2.5 Измерение содержания АТФ

Содержание АТФ определяли в тех же образцах, в которых определяли содержание гемоглобина, по люминесценции комплекса люциферин-люциферазы (ЛЛ), используя коммерческий набор ATP Assay Mix и ATP Assay Mix Dilution Buffer поставляемый компанией Sigma-Aldrich Canada (Oakville, ON, Canada). Люминесценция измерялась на люменометре Turner TD-20/20 (Turner Designs, Sunnyvale, CA). Калибровочная кривая представлена на **рисунке 12 А**.



**Рисунок 12.** (А) Зависимость интенсивности люминесценции системы люциферин-люцифераза от концентрации АТФ. (Б) Типичная кинетика изменения люминесценции системы люциферин-люцифераза при добавлении аликвоты гемолизата эритроцитов и раствора АТФ, с концентрацией 10<sup>-9</sup>.

Следует отметить, что присутствие гемоглобина мешает измерению люминесценции комплекса ЛЛ. В самом деле, пик свечения в ходе ЛЛ реакции находится при 560 нм. Максимум абсорбции гемоглобина соответствует длине волны 408 нм, но поскольку гемоглобин существует в нескольких формах, имеется дополнительное поглощение при пиковых значениях 575 нм и 540 нм. С целью коррекции эффекта реабсорбции люминесценции гемоглобином в кювету с измеряемым образцом добавляли аликвоту стандартного раствора АТФ с концентрацией 10<sup>-9</sup> М. Типичная кинетика сигнала при регистрации люминесценции представлена на **рисунке 12 Б**. Расчет содержания АТФ в тестируемой пробе проводили по формуле:

$$[\text{ATP}] = \frac{(I_2 - I_1) \cdot 10^{-9}}{I_4 - I_3} \quad (4)$$

где  $I_1$  – уровень фонового сигнала,  $I_2$  – значение интенсивности в момент внесения образца в измерительную камеру,  $I_3$  – значение интенсивности, регистрируемое через 20 секунд после внесения образца,  $I_4$  – значение интенсивности после добавления аликвоты стандартного раствора АТР с концентрацией  $10^{-9}$  М к образцу в измерительную камеру (Рис. 12 Б).

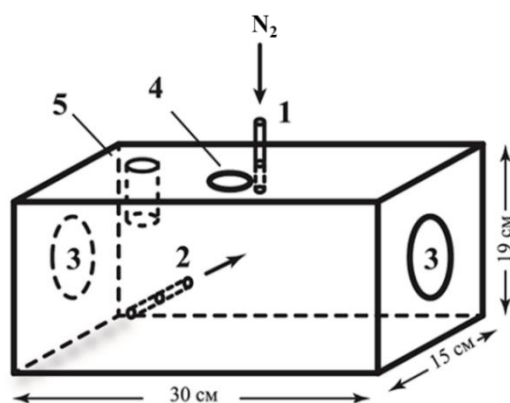
## 2.6 Активность экто-АТРазы

В ходе АТРазной реакции при гидролизе АТР наряду с анионами неорганического фосфата образуются протоны, что позволяет регистрировать активность этого фермента по закислению среды инкубации с низкой буферной емкостью. С этой целью суспензию эритроцитов (1 мл) осаждали центрифугированием (1500 g, 10 мин), полученный осадок смешивали с 1.8 мл среды, содержащей 140 мМ NaCl, 5 мМ KCl, 1 мМ MgCl<sub>2</sub>, 5 мМ глюкозы, 2 мМ HEPES-Трис-буфер (pH 7.4, 37°C), 50 мкМ EGTA и 1 мМ убаин. Суспензию эритроцитов инкубировали (10 мин при 37°C) при постоянном перемешивании в присутствии и в отсутствие тестируемых соединений, после чего добавляли АТР в конечной концентрации 0.25 мМ. Активность экто-АТРазы определяли по скорости АТР-зависимого закисления среды с использованием электрода Orion S1-15 и PHM-64 Radiometer (Denmark). Для расчета скорости генерации протонов (нмоль/мл клеток/мин) определяли буферную емкость системы путем титрования раствором 0.2 N NaOH. Активность экто-АТРазы (нмоль/мл клеток/мин) рассчитывали по скорости закисления среды (V) как  $V = \Delta pH_b / (t \cdot n)$ , где  $\Delta pH$  – величина изменения pH среды,  $b$  – буферная емкость среды (количество NaOH (нмоль), необходимых для изменения pH на одну единицу),  $t$  – время инкубации (мин) и  $n$  – содержание эритроцитов (мл).

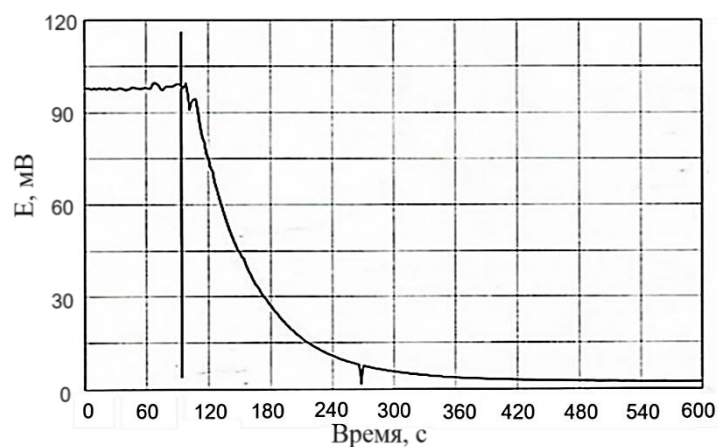
## 2.7 Получение теней эритроцитов

Тени эритроцитов получали по методу Wyse и соавторов (Wyse *et al.*, 1989) путем гипотонического гемолиза в 20 объемах ледяного фосфатного буфера (4.7 мМ Na<sub>2</sub>HPO<sub>4</sub>, 0.3 мМ NaH<sub>2</sub>PO<sub>4</sub>, pH = 7.4), а затем трижды промывали и центрифугировали при 3500 g в течение 40 мин при + 4°C. Далее суспензию теней эритроцитов концентрировали центрифугированием в фосфатном буфере при 13000 g в течение 40 мин при +4°C. Учитывая быстрое насыщение кислородом гемоглобина при переносе деоксигенированных эритроцитов на воздух (см. ниже), все процедуры, требуемые для подготовки теней эритроцитов в среде с низким содержанием кислорода, были

выполнены в воздухонепроницаемой камере с непрерывной подачей газовой смеси (**Рис. 13**). Содержание кислорода в манипуляционной камере, измеренное с помощью кислородного датчика KE25 (Фигаро, Япония), не превышало 1%. Кислород из фосфатного буфера вытесняли путем барботирования. Время вытеснения кислорода из буфера объемом 40 мл определяли полярографическим методом с использованием полярографа ПУ-1. Для поддержания постоянного градиента кислорода на мембране кислородного электрода перемешивали раствор при помощи магнитного мешалки со скоростью около 500 об/мин. Из временной зависимости изменения диффузионного тока кислородного электрода Кларка (**Рис. 14**) следует, что время, необходимое для полного вытеснения кислорода из лизирующего буфера объемом 40 мл, составляло около 8 мин. Таким образом, для полного вытеснения кислорода из буфера было выбрано время барботирования фосфатного буфера 10 мин.



**Рисунок 13.** Схема герметичной камеры для получения теней эритроцитов в газовой среде с низким содержанием кислорода. **1** – входной штуцер для газовой смеси; **2** – выходной штуцер; **3** – отверстия для рук, с герметично соединёнными с камерой резиновыми перчатками; **4** – рабочее отверстие с пробкой; **5** – кислородный электрод внутри камеры.



**Рисунок 14.** Изменение диффузионного тока кислородного электрода Кларка (поляризующее напряжение  $-0.65$  В) при продувке раствора лизирующего буфера (40 мл) газовой смесью, содержащей азот и 0.04 %  $\text{CO}_2$ .

Тени эритроцитов были заморожены при  $-80^{\circ}\text{C}$  для дальнейшего определения концентрации белка, проведения электрофореза в полиакриламидном геле и протеомных исследований.

## 2.8 Измерение содержания белка

Содержание белка в полученных образцах теней эритроцитов определяли модифицированным методом Лоури (Lowry *et al.*, 1951). Для этого в пробирку добавили 15  $\mu\text{л}$  теней, 385  $\mu\text{л}$  1% додецилсульфат натрия (SDS) и 2 мл рабочего раствора (50 частей 2-х % раствора  $\text{Na}_2\text{CO}_3$  на 1 часть 0.5%  $\text{CuSO}_4$ ). После чего перемешивали и инкубировали 15 минут при комнатной температуре. Затем добавили 200  $\mu\text{л}$  реактива Фолина-Чиокальтеу (1 М), перемешивали и инкубировали 30 минут при комнатной температуре. Оптическую плотность проб измеряли при длине волны 750 нм на спектрофотометре SmartSpec (BioRad). Для построения калибровочного графика использовали стандартный раствор бычьего сывороточного альбумина (БСА) с концентрацией 1 мг/мл.

## 2.9 Электрофорез в полиакриламидном геле (ПААГ)

Электрофорез в полиакриламидном геле (ПААГ) в денатурирующих условиях проводили по методу, описанному ранее (Laemmli, 1970) с использованием 6% концентрирующего геля, 10% и 15% разделяющих гелей. Камеру для электрофореза заполняли буфером, содержащим 1.92 М глицин, 250 мМ Tris-HCl (pH 8.6) и 1% SDS. Маточный раствор полиакриламида содержал 30% акриламид и 0.8% N,N-метилен-бис-акриламид. Образцы белка для электрофореза готовили в 4-кратном буфере (250 мМ Tris-HCl, pH 6.8, 8% SDS, 40% сахарозы, 0.05% бромфенолового синего, 5% - меркаптоэтанола) и инкубировали в течение 5 мин при  $95^{\circ}\text{C}$ . Для контроля молекулярной массы белка использовались маркеры молекулярной массы. Электрофорез проводили в камере Mini-Protean III (Bio-Rad, США). После выхода бромфенолового синего из геля, гель инкубировался в течение 1 часа при комнатной температуре в растворе, содержащем 25% изопропанола и 10% уксусной кислоты. Затем белки на геле окрашивали в течение 1 часа с помощью раствора Coomassie R-250 (0.5% Coomassie blue R-250, 30% изопропанола, 10% уксусной кислоты) и инкубировали в течение ночи с раствором, содержащим 25% этанола и 7.5% уксусной кислоты. Электрофореграммы анализировали с использованием программного обеспечения TotalLab TL120. Интенсивность плотности белковых полос нормировали на плотность белка полосы 5 (актин).

## 2.10 Вестерн-блот анализ

Разделение белков проводили по методу электрофореза в ПААГ в денатурирующих условиях (см. раздел 2.9) с последующим переносом на нитроцеллюлозную мембрану (“Mini Trans-Blot”, Bio-Rad) в буфере для переноса (25 мМ трис - 192 мМ глицин (pH 8.3), 20% этанол) в течение 1.5 часов при силе тока 400 мА. Блокировку проводили 5% обезжиренным молоком, приготовленным на растворе 0.01% Tween 20 (TBS-Tween), при комнатной температуре в течение часа при постоянном перемешивании, а затем инкубировали с первичными поликлональными антителами (0.1 мкг антител на 1 мл раствора TBS-Tween, содержащего 5% БСА) в течение ночи при 4°C на качалке. После трехкратного промывания по 15 минут раствором Tween-PBS к нитроцеллюлозной мембране добавляли вторичные антитела (титр 1:5000) и инкубировали 1 час при комнатной температуре при перемешивании. Нитроцеллюлозу промывали 3 раза раствором Tween-PBS в течение 15 мин, после чего белки визуализировали с помощью набора хемилюминесценции (SuperSignal west femto maximum sensitivity substrate, Thermo Scientific) на приборе ChemiDoc XRS + Molecular Imager (BioRad, USA). Полученные данные анализировали с использованием программного обеспечения ImageLab.

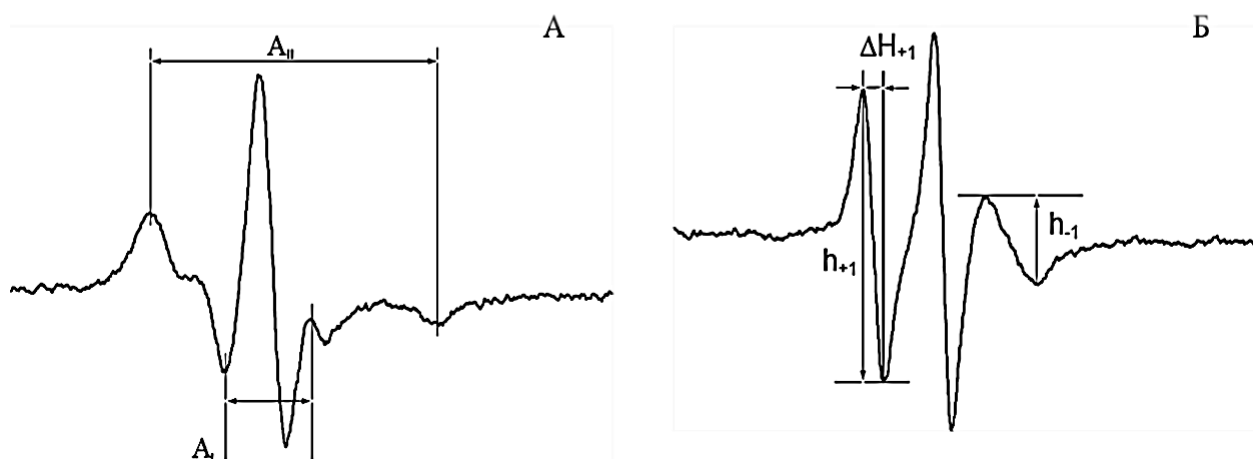
## 2.11 ЭПР-спектроскопия

Изменение структуры липидного матрикса мембраны эритроцитов оценивали с помощью спектроскопии электронно-парамагнитного резонанса (ЭПР). В качестве спиновых зондов использовали 2 спин-меченых аналога стеариновой кислоты: 5-доксилстеариновую кислоту (5-ДС) и 16-доксилстеариновую кислоту (16-ДС) (**Рис. 15**). Нитроксильный радикал 5-ДС находится на глубине 0.6 – 0.8 нм от поверхности мембраны, тогда как нитроксильный радикал 16-ДС проникает вглубь мембраны не менее чем на 2.2 – 2.4 нм (Schreier-Muccillo & Marsh, 1976). Эти особенности локализации спин-меченых производных жирной кислоты позволяют оценить изменения структуры липидного матрикса в областях, близких к поверхности (5-ДС) или в глубине (16-ДС) плазматической мембраны (**Рис. 15**).

Спиновые зонды растворяли в этаноле с конечной концентрацией менее 1% (данная концентрация этанола не оказывает влияния на свойства мембраны) при концентрации 25 мМ и добавляли к теньям эритроцитов до конечной концентрации 0.1 мМ. Так как присутствие кислорода влияет на параметры ЭПР спектров, перед

приготовлением проб проводили реоксигенацию бескислородной пробы в течение 15 минут и выравнивание содержания кислорода с контрольной пробой. Регистрацию ЭПР спектров проводили на ЭПР-спектрометре РЭ-1307 при 21-22° С в режиме работы: постоянная напряженность магнитного поля 3.338 Гс, мощность СВЧ поля 22 мВт, постоянная времени – 0.1 сек. Все измерения проводили в трех повторах для каждой пробы. Типичные ЭПР- спектры этих зондов в телях эритроцитов представлены в нижней части **рисунка 15**.

Химическое название	Структурная формула	Локализация в липидном бислое
5-доксилстеариновая кислота		
16-доксилстеариновая кислота		



**Рисунок 15.** Структурные формулы, локализация в мембране и репрезентативные спектры ЭПР спиновых зондов 5-доксилстеариновой кислоты (5-ДС) (А) и 16-доксилстеариновой кислоты (16-ДС) (Б) в телях эритроцитов крысы.

Для оценки изменений микровязкости липидного матрикса вблизи поверхности мембраны рассчитывали параметр упорядоченности  $S$  (Gaffney & McConnell, 1974) по формуле (5).

$$S = \left( 2A_{||} - (2A_{\perp} + C) \right) * 1.66 / \left( 2A_{||} + 2 * (2A_{\perp} + C) \right), \quad (5)$$

где параметры  $A_{||}$  и  $A_{\perp}$  - расстояния между внутренними и внешними экстремумами спектра зонда 5-ДС (**Рис. 15 А**), выраженные в гауссах,  $C$  — поправочный коэффициент, рассчитываемый по формуле:

$$C = (4.06 - 0.053 * (2A_{||} - 2A_{\perp})) * 0.358. \quad (6)$$

По спектрам ЭПР спинового зонда 16-ДС рассчитывают параметр времени корреляции вращательных движений нитроксильного радикала  $\tau$  по формуле (7). На основании полученных данных характеризуют изменения микровязкости мембраны в глубине бислоя (Wyse & Butterfield, 1988).

$$\tau = 6.65 \Delta H_{+1} \left( \sqrt{\frac{h_{+1}}{h_{-1}}} - 1 \right) * 10^{-10} \quad (7)$$

где  $h_{+1}$  и  $h_{-1}$  – интенсивности крайних компонент спектра в слабом и сильном полях, соответственно,  $\Delta H_{+1}$  – ширина низкопольной компоненты спектра ЭПР, выраженная в гауссах (Рис. 15 Б).

## 2.12 Исследование белкового состава теней эритроцитов

### 2.12.1 Гидролиз белков трипсином и обессоливание полученных фрагментов

Образец теней эритроцитов, содержащий 25 мкг белка, разбавляли в 50 мкл буферного раствора, содержащего 100 мМ Tris (pH 8.5), 1% дезоксихолата натрия, 10 мМ tris(2-carboxyethyl)phosphine (TCEP) и 40 мМ 2-хлор- ацетамида, прогревали в течение 5 мин при 95°C. По окончании процедуры восстановления и алкилирования раствор белка разбавляли в два раза водой с получением пробы для хромато-масс-спектрометрии, содержащей 0.5 мкг трипсина для масс-спектрометрии (Trypsin, Mass Spec Grade, Promega). Реакцию проводили при 37°C в течение ночи. Гидролиз останавливали добавлением трифторуксусной кислоты до конечной концентрации в растворе 1%. Выпавшую в осадок дезоксихолевую кислоту удаляли промыванием этилацетатом. С этой целью к раствору триптического гидролизата добавляли равный объем этилацетата, бурно перемешивали, центрифугировали при 15000 g в течение 5 мин, отбирали и отбрасывали верхний этилацетатный слой, процедуру повторяли трижды. Оставшийся водный раствор пептидов обессоливали на обращено-фазовых микроколонках. Микроколонку для обессоливания изготавливали из наконечника для автоматических пипеток (200 мкл) и двух кусочков мембраны Empore SDB-RPS (3M), вырезанных иглой 14 калибра. Для обессоливания одного образца использовали 2 микроколонки. Пептиды наносили на микроколонку центрифугированием при 300 g в течение ~6 мин, промывали 100 мкл 0.2% TFA и элюировали 30 мкл раствора, содержащего 5% гидроксида аммония и 80% ацетонитрила. Элюат высушивали на центрифужном вакуумном испарителе досуха и хранили до хромато-масс-спектрометрического анализа при -85°C.

### **2.12.2 Хромато-масс-спектрометрический анализ**

Хромато-масс-спектрометрический анализ проводили с использованием системы состоящей из хроматографа UltiMate™ 3000 RSLCnano System (Thermo Scientific) сопряженного через нано-электроспрейный ионный источник (Thermo Fisher Scientific) с масс-спектрометром Q Exactive HF Orbitrap (Thermo Fisher Scientific). Пептиды разделяли на 25 см колонке Acclaim™ PepMap™ 100 C18 LC Column с размером частиц сорбента 3 мкм и внутренним диаметром 75 мкм. Пептиды для нанесения на предколонку растворяли в буфере А (0.1% FA) и элюировали 120 мин градиентом 4-40% буфера Б (0.1% FA, 80% ацетонитрила) при скорости потока 350 нл/мин. Данные аккумулировали методом DDA (data-dependent analysis) MS/MS сканирования Top15. Целевые значения для MS спектра полного сканирования были  $3 \times 10^6$  зарядов в диапазоне значений 200-2000 m/z с максимальным временем инъекции 30 мсек и разрешением 60000 при значении m/z 200. Окно изолирования ионов было 1.4 m/z при фиксированной первой массе 100 m/z для MS/MS сканирования. Фрагментацию ионов-прекурсоров осуществляли методом высокоэнергетической диссоциации путем столкновения при нормализованной энергии столкновения 28%. MS/MS сканирование осуществляли с разрешением 15000 при m/z 200 при целевом значении ионов  $1 \times 10^5$  и максимальном времени инъекции 100 мсек. Для исключения возможности повторного секвенирования идентичных пептидов использовали динамическое исключение идентичных ионов в течение 30 сек.

### **2.12.3 Анализ полученных результатов**

#### **2.12.3.1 Качественный анализ состава белков**

Анализ качественного состава белков образцов теней эритроцитов проводили при помощи компьютерной программы PEAKS Studio 8.0 build 20160908 (Ma *et al.*, 2003). Первичные структуры пептидов, генерируемые программой PEAKS Studio, анализировали против базы данных белковых последовательностей UNIPROT KB (37425 белков, версия декабрь 2016 г) для вида *Rattus norvegicus*, со следующими настройками: карбамидометилирование Cys – фиксированная модификация; N-концевое ацетилирование белков, окисление Met и дезамидирование Asn/Gln - переменные модификации; специфичность протеазы не указывалась. Допустимый уровень ложноположительных идентификаций (FDR) пептидов был установлен на уровне 0.01 и определялся путем корреляции массива MS/MS-данных с реверсной базой данных белковых последовательностей, которая генерировалась программой PEAKS Studio.

Идентификацию пептидов осуществляли при допустимом начальном отклонении массы иона-прекурсора до 10 м.д. и допустимом отклонении массы фрагментов 0.05 Да.

#### 2.12.3.2 Безметочный количественный анализ белков

Для безметочной квантификации белков использовали программное обеспечение MaxQuant (версия 1.5.3.30) (Cox & Mann, 2008). Идентификацию пептидов проводили с использованием поисковой машины Andromeda (Cox & Mann, 2011) и базы данных UNIPROT KB (37425 белков, версия декабрь 2016 г) для вида *Rattus norvegicus*. Для идентификации пептидов использовали следующие параметры настройки поисковой машины Андромеда: карбамидометилирование Cys – фиксированная модификация; N-концевое ацетилирование белков, окисление Met и дезамидирование Asn/Gln – переменные модификации. Уровень ложноположительных результатов (FDR) допускался не более 0.01, как для пептидов, так и для белков, при минимальной длине пептида в 7 аминокислотных остатков, и определяли его с использованием реверсной базы данных. Белки, соответствовавшие реверсной базе данных, отфильтровывали. Идентификацию пептидов осуществляли при допустимом начальном уровне отклонения массы иона-прекурсора 20 м.д. и массы фрагментов – 20 м.д. При идентификации белков в каждом образце использовали библиотеку соотнесения MS и MS/MS спектров (match library), в качестве которой использовали хромато-масс-спектрометрические данные анализа триптических гидролизатов всех анализировавшихся образцов теней эритроцитов. Для оценки количественного содержания белков использовали встроенный в программу MaxQuant алгоритм iBAQ (intensity based absolute quantification), который складывает интенсивности пиков всех идентифицированных для конкретного белка триптических пептидов и делит полученную сумму на количество теоретически возможных триптических фрагментов этого белка. Для определения содержания идентифицированных белков в каждом образце в мольных процентах использовалась нормализация величины iBAQ для каждого белка на сумму величин iBAQ всех идентифицированных белков.

#### **2.12.4 Выявление кластеров взаимодействующих генов**

Картирование списков идентифицированных белков на базы данных взаимодействующих генов осуществляли с использованием биоинформатических инструментов онлайн сервиса DAVID (<https://david.ncifcrf.gov/home.jsp>).

## 2.13 Методы математической обработки

Статистическая обработка данных проводилась с использованием пакета статистических программ Statistica 8.0. Для оценки значимости использовался U-критерий Манна — Уитни. Данные представлялись как среднее  $\pm$  стандартная ошибка среднего.

## 2.14 Реактивы

В работе использовались следующие реактивы: ATP Assay Mix Kit, ATP Assay Mix Dilution Buffer (**Sigma-Aldrich Canada** (Oakville, ON, Canada)); 6-N,N'-diethyl- $\beta,\gamma$ -dibromomethylene-D-adenosine-5-triphosphate (ARL 67156), carbenoxolon, probenecid, Ammonium Persulfate, ouabain, Folin&Ciocalteu's phenol reagent, Adenosine 5'-triphosphate disodium salt, 16-DOXYL-stearic acid, free radical, 5-DOXYL-stearic acid, free radical (**Sigma-Aldrich** (USA)); HPLC-grade water (**Merck** (Germany)); SuperSignal west femto maximum sensitivity substrate, Coomassie Brilliant Blue R-250 (**Thermo Scientific** (USA)); Albumin, Bovine (BSA), Bis-Acrylamide (**Amresco** (USA)); NaCl, KCl, Na<sub>2</sub>HPO<sub>4</sub>, NaH<sub>2</sub>PO<sub>4</sub>, MgSO<sub>4</sub>, CaCl<sub>2</sub>, D-Glucose, MgCl<sub>2</sub>, HEPES, EGTA, SDS, Glicine, Sucrose, TEMED, Tween 20, Acrylamide 2K, 2-Mercaptoethanol, Bromophenol Blue Sodium Salt, Tris(Hydroxymethyl) Aminomethane, NaOH, Na<sub>2</sub>CO<sub>3</sub>, CuSO<sub>4</sub> (**Helicon** (Russia)); Изопропанол, уксусная кислота (**Reachem** (Russia)); Sequencing-grade modified trypsin (**Promega** (Madison, WI)); ammonium acetate (**Fluka** (Germany)); hypergrade-quality acetonitrile, acetone, gradient-grade methanol for liquid chromatography (**LiChrosolv**®). Антитела на Irb2 и  $\beta$ -актин были получены от ThermoFisher Scientific (USA) и Cell Signaling (USA), соответственно.

## Глава 3. Результаты и обсуждение

### 3.1 Сравнительный анализ действия гипоксии на высвобождение АТФ и гемоглобина из эритроцитов человека и крысы

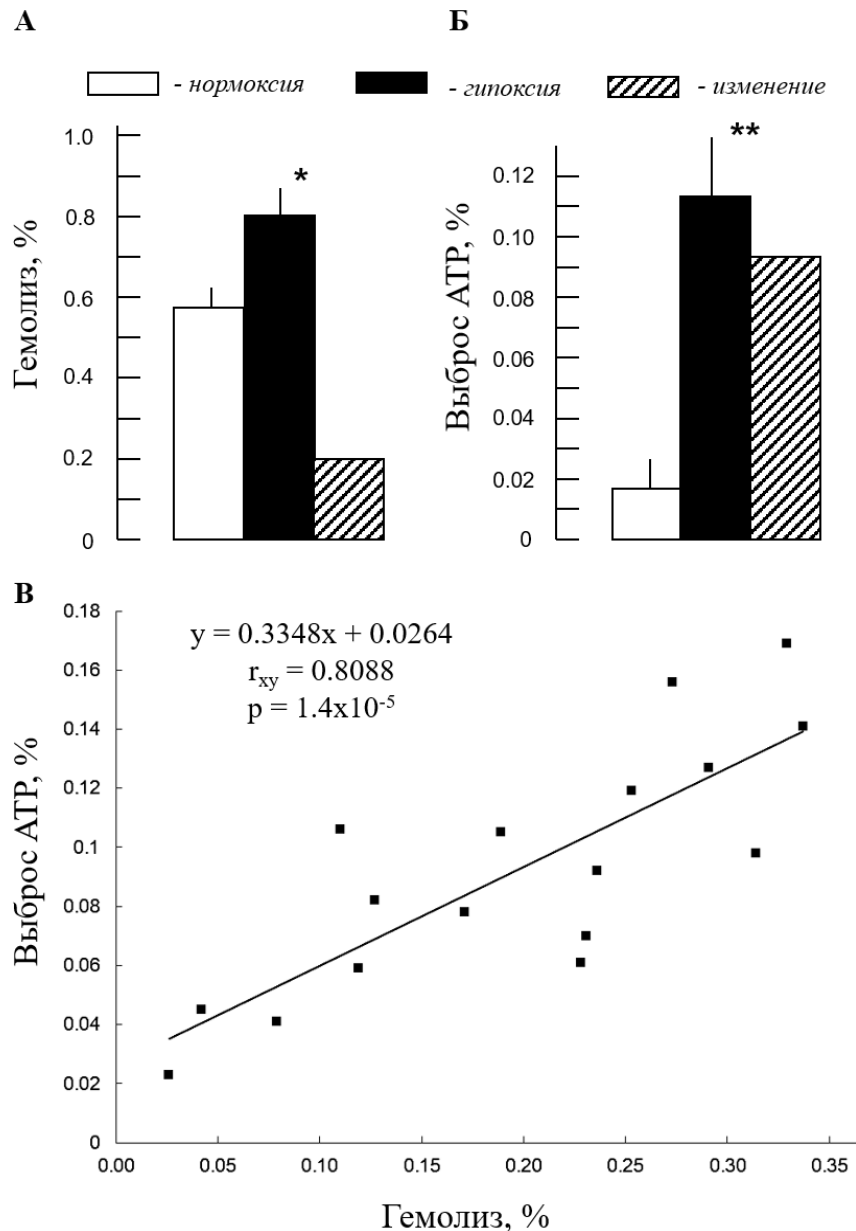
В предварительных экспериментах, проведенных при комнатной температуре, нами было установлено, что 20-минутная инкубация суспензии эритроцитов в газовой смеси, лишенной кислорода, сопровождается полным вытеснением кислорода из гемоглобина, о чем свидетельствует отсутствие полосы  $1375\text{ см}^{-1}$  в спектре комбинационного рассеяния (Рис. 11 А). В этой связи мы сопоставили влияние 20-минутной инкубации при комнатной температуре в отсутствие и присутствии кислорода на выброс АТФ и гемолиз эритроцитов человека.

На рисунках 16 А и Б показано, что 20 минутная гипоксия привела к повышению содержания внеклеточного гемоглобина и АТФ в  $\sim 1.4$  и 6 раз соответственно. Важно отметить, что мы обнаружили положительную корреляцию между приростом содержания внеклеточного гемоглобина АТФ, вызванных гипоксией, с коэффициентом корреляции Пирсона  $r_{xy} = 0.8088$  и  $p = 1.4 \times 10^{-5}$  (Рис. 16 В).

Приведенные выше результаты согласуются с данными, полученными на эритроцитах человека, которые инкубировали в течение 30 минут в условиях с низким уровнем кислорода (Sikora *et al.*, 2014), но противоречат отрицательным результатам, полученным на эритроцитах человека, подвергшихся воздействию 50-секундной гипоксии/гиперкапнии (Bergfeld & Forrester, 1992) и 20-минутной гипоксии в присутствии 20% декстрана 40 (Mairbaur *et al.*, 2013). В этой связи мы обратили внимание на то, что происходит резкое уменьшение выброса АТФ из эритроцитов в ответ на гипоксию у пациентов с сахарным диабетом 2 типа (Sprague *et al.*, 2006; Sprague *et al.*, 2010), муковисцидозом (Sprague *et al.*, 1998) и идиопатической легочной гипертензией (Sprague *et al.*, 2001). Совсем недавно Kirby и соавторами не было обнаружено какого-либо действия снижения  $P_{O_2}$  на выброс АТФ из эритроцитов пожилых людей (Kirby *et al.*, 2012).

Учитывая эти данные, мы включили в наш корреляционный анализ гемолиза и выброса АТФ только данные, полученные на эритроцитах людей моложе 30 лет и не страдающих указанными выше заболеваниями. Следует также отметить, что наши эксперименты по влиянию гипоксии проводились при комнатной температуре, тогда как в других исследованиях эритроциты инкубировали при  $37^\circ\text{C}$  (Bergfeld & Forrester, 1992; Ellsworth *et al.*, 1995; Ellsworth *et al.*, 2008; Kirby *et al.*, 2012; Sprague *et al.*, 2001). Этот

комментарий становится важным, поскольку повышение температуры в диапазоне от 33 до 39°C увеличивает базальный выброс АТР из эритроцитов человека в 3 раза (Kalsi & Gonzalez-Alonso, 2012). В этой связи мы усовершенствовали нашу установку и провели последующие эксперименты при 37°C.



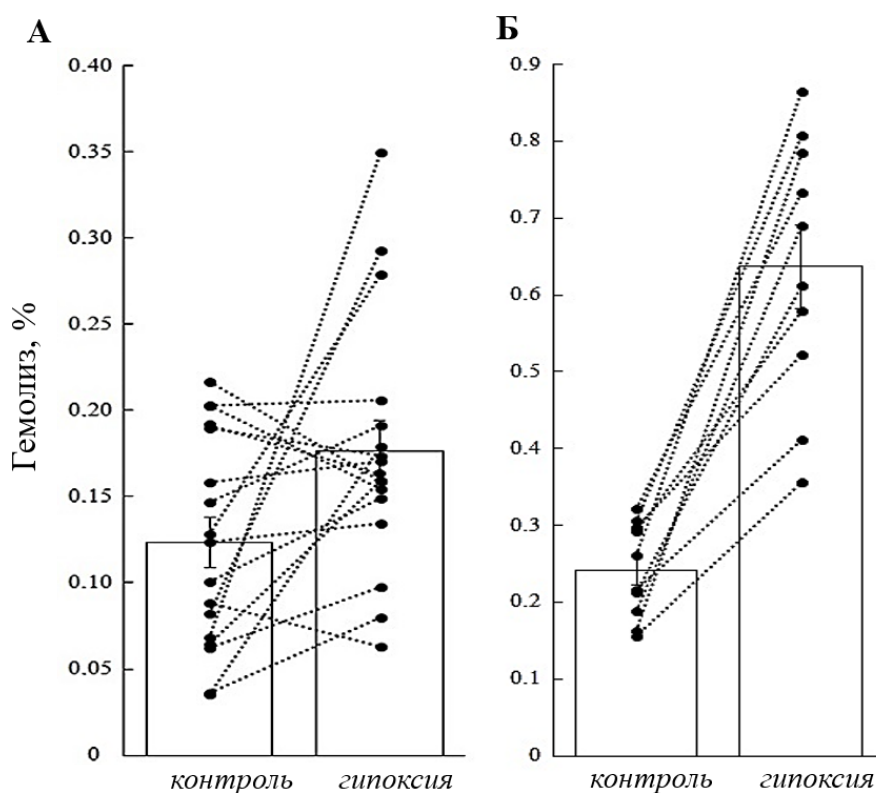
**Рисунок 16.** Влияние гипоксии на высвобождение гемоглобина и АТР из эритроцитов человека. Среднее значение выброса гемоглобина (А) и АТР (Б) после 20 мин инкубации на воздухе (*контроль*) или в газовой смеси, в которой кислород был замещен азотом (*гипоксия*) эритроцитов человека при комнатной температуре. Каждый столбец представляет собой среднеарифметическое значение  $\pm$  SEM, полученные в 17 экспериментах с кровью от разных доноров. Общее содержание гемоглобина и АТР принималось за 100%. \*, \*\*  $p < 0.02$  и  $0.001$  соответственно. Средние значения прироста высвобождение гемоглобина и АТР в ответ на гипоксию ( $\Delta$ ) приведены в заштрихованных столбцах. (В) Линейный регрессионный анализ увеличения гемолиза и выброса АТР, вызванных гипоксией.  $r_{xy}$  - коэффициент корреляции Пирсона,  $p$  - уровень значимости корреляции, оцененный t-критерием Стьюдента.

**Таблица 1.** Таблица 1. Гемолиз эритроцитов человека и крысы после 20-мин инкубации при 37°C на воздухе (*контроль*) или в газовой смеси, в которой кислород был замещен азотом (*гипоксия*).

	n	Гемолиз (%)	
		<i>контроль</i>	<i>гипоксия</i>
Человек	20	0.124 ± 0.015	0.177 ± 0.017*
Крыса	10	0.242 ± 0.020	0.637 ± 0.054**

Общее содержание гемоглобина в суспензии эритроцитов принято за 100%. \*  $p < 0.05$  и \*\* $p < 0.0001$  по отношению к контролю. n – число наблюдений.

Как видно из **Таблицы 1**, 20-минутная гипоксия вызывала увеличение гемолиза эритроцитов человека на 40%, в то время как в эритроцитах крысы этот параметр увеличивался в 2-3 раза. Для нашего дальнейшего исследования важен был то факт, что в отличие от эритроцитов крысы в эритроцитах человека отмечена существенная индивидуальная вариабельность действия гипоксии. В самом деле, из 20 обследованных образцов крови увеличение гемолиза в условиях гипоксии обнаружено у 9 волонтеров (**Рис. 17 А**), что контрастировало с однонаправленным увеличением гемолиза в условиях гипоксии в эритроцитах всех крыс (**Рис. 17 Б**).



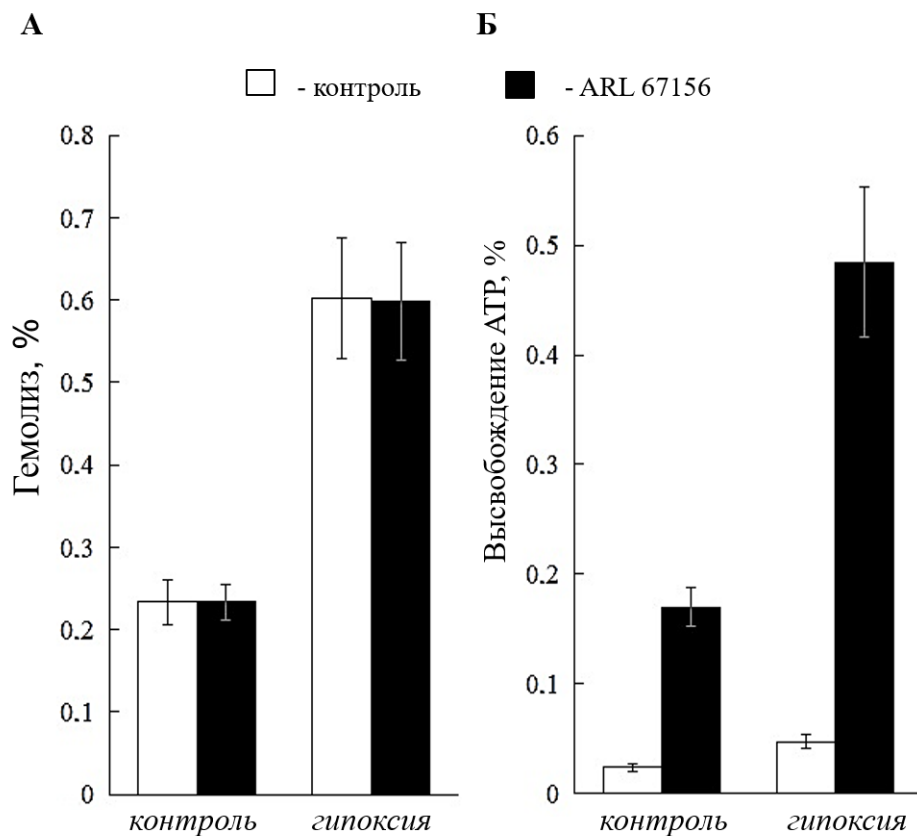
**Рисунок 17.** Гемолиз эритроцитов человека (А) и крысы (Б) после 20-мин инкубации при 37°C на воздухе (*контроль*) или в газовой смеси, в которой кислород был замещен азотом (*гипоксия*). Общее содержание гемоглобина в суспензии эритроцитов принято за 100%. Столбцы соответствуют среднеарифметическим значениям.

После завершения нашей работы такого же рода индивидуальная вариабельность была обнаружена при исследовании высвобождения АТФ из эритроцитов человека при их прохождении через капилляры, диаметр которых сопоставим с размером эритроцитов (Mancuso & Risternpart, 2018). Возможные причины такой вариабельности рассмотрены нами ранее (Kirby *et al.*, 2012; Sprague *et al.*, 1998; Sprague *et al.*, 2001; Sprague *et al.*, 2006). В этой связи в дальнейших исследованиях для изучения участия гемолиза в высвобождении АТФ мы сфокусировались на эритроцитах крыс линии Вистар.

### 3.2 Роль экто-АТФазы

В отличие от данных, полученных нами ранее при комнатной температуре, 20-минутная гипоксия приводила к незначительному статистически недостоверному ( $p=0.2$ ) приросту содержания внеклеточного АТФ ( $0.024 \pm 0.009$  и  $0.047 \pm 0.015\%$  от общего содержания АТФ в суспензии эритроцитов крысы (**Рис. 18 Б**). В этой связи мы предположили, что негативный результат обусловлен высокой активностью экто-АТФазы, первоначально обнаруженной в лаборатории В.А. Энгельгардта при изучении общей АТФ-азной активности эритроцитов птиц (Venkstern & Engel'gardt, 1955).

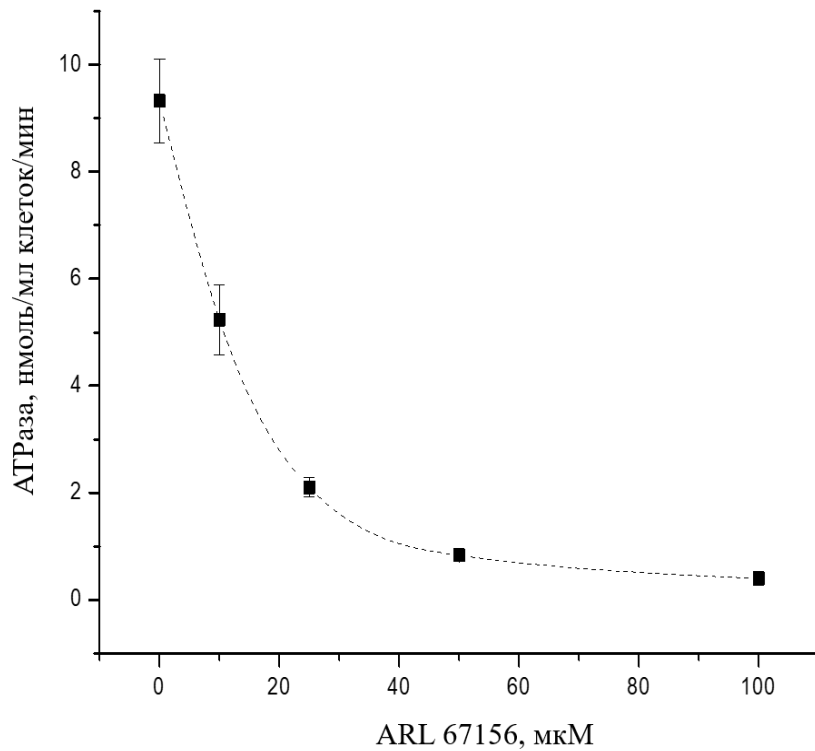
В самом деле, нами установлено, что при увеличении температуры скорость гидролиза АТФ в суспензии эритроцитов крысы, измеренная по продукции протонов в ответ на добавление АТФ в присутствии ингибиторов Na,K-АТФазы и Ca-АТФазы (уабаин и ЭГТА, соответственно), возрастала от  $0.32 \pm 0.09$  нмоль/мл клеток/мин ( $18^{\circ}\text{C}$ ) до  $11.20 \pm 0.89$  нмоль/мл клеток/мин ( $37^{\circ}\text{C}$ ,  $n=4$ ). Это значение было примерно на порядок выше, чем активность экто-АТФазы эритроцитов человека, измеренной в лаборатории Щварцбаума (Alvarez *et al.*, 2014; Montalbetti *et al.*, 2011a), и соответствуют данным более ранних исследований, продемонстрировавших наименьшую активность экто-АТФазы в эритроцитах человека по сравнению с другими исследованными на этот предмет млекопитающими (Bencic *et al.*, 1997).



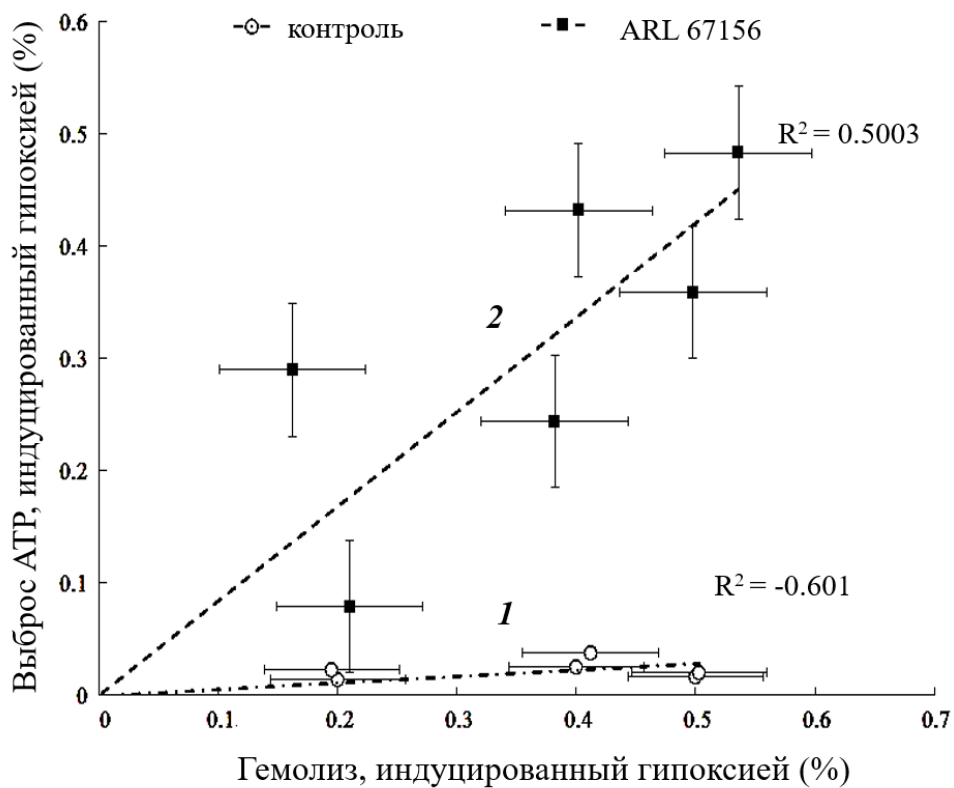
**Рисунок 18.** Гемолиз (А) и высвобождение АТР (Б) из эритроцитов крысы после 20-мин инкубации при 37°C на воздухе (*контроль*) или в газовой смеси, в которой кислород был замещен азотом (*гипоксия*). В части экспериментов среда инкубации содержала 100 мкМ ARL67156. Представлены среднеарифметические значения и значения стандартной ошибки, полученные в 6 независимых экспериментах. Общее содержание гемоглобина и АТР в суспензии эритроцитов принято за 100%.

Так как резкое увеличение активности экто-АТРазы эритроцитов крысы, отмеченное нами при переходе к физиологическому значению температур, может повлиять на оценку влияния гипоксии на выброс внутриклеточного АТР, мы использовали соединение ARL 67156, которое широко используется в качестве ингибитора этого фермента (Akimova *et al.*, 2006; Berra-Romani *et al.*, 2004; Drakulich *et al.*, 2004).

Как видно из **Рисунка 19**, добавление ARL 67156 приводило к дозозависимому ингибированию экто-АТРазы эритроцитов крысы. В концентрации 100 мкМ это соединение уменьшало активность экто-АТРазы от  $9.32 \pm 0.78$  до  $0.40 \pm 0.05$  нмоль/мл клеток/мин, не оказывая достоверного влияния на уровень гемолиза как в контрольных условиях, так и в условиях гипоксии (**Рис. 18 А**).



**Рисунок 19.** Зависимость активности экто-АТРаза в эритроцитах крысы от концентрации ARL67156. Представлены среднеарифметические значения и значения стандартной ошибки, полученные в 3 независимых экспериментах.



**Рисунок 20.** Корреляция между приростом высвобождения гемоглобина и АТР, вызванным гипоксией в отсутствие (1) и присутствии (2) ингибитора экто-АТРаза (100 мкМ ARL67156). Представлены среднеарифметические значения и значения стандартной ошибки для 6 независимых экспериментов.

Основываясь на этих данных, мы сопоставили уровень гемолиза и выброса АТФ при 37°C в эритроцитах 6 животных в присутствии ARL 67156. Как видно из **Рисунка 18 Б**, при добавлении 100 мкМ ARL 67156 содержание внеклеточного АТФ возрастает в 8-10 раз и составляет  $0.170 \pm 0.017$  и  $0.484 \pm 0.069\%$  ( $p < 0.05$ ) от общего содержания АТФ при нормоксии и гипоксии, соответственно. Мы также обнаружили, что в присутствии ингибитора экто-АТФазы наблюдается достоверная положительная корреляция между приростом содержания внеклеточного АТФ и гемоглобина в ответ на гипоксию ( $R^2 = 0.5003$ ; **Рис. 20**). Полученные в этой части работы данные свидетельствуют о том, что активность экто-АТФазы следует учитывать при изучении роли пуриnergической регуляции сосудистого тонуса в условиях гипоксии.

### **3.3 Роль каналов, сформированных паннексинами**

Как отмечалось в разделе 1.2.1, паннексины, белки, обеспечивающие проницаемость для низкомолекулярных органических соединений, рассматриваются как возможный механизм трансмембранного переноса АТФ в условиях гипоксии. Гипотеза о вовлечении этих каналов в трансмембранный перенос АТФ в условиях гипоксии базируется на следующих наблюдениях. *(i)* С помощью антител Panx1 обнаружен в эритроцитах человека (Locovei *et al.*, 2006). *(ii)* Выброс АТФ в ответ на гипотонический шок и активацию рецепторов простагландинов был снижен в эритроцитах мышей Panx1<sup>-/-</sup> (Qiu *et al.*, 2011). *(iii)* В ооцитах ток, опосредованный экспрессированным Panx1, увеличивался при деполяризации (Бао *et al.*, 2004). *(iv)* Ингибиторы тока, опосредованного паннексином, включая карбеноксолон и пробенецид, уменьшали выброс АТФ из эритроцитов человека (Montalbetti *et al.*, 2011a; Sridharan *et al.*, 2010) и мыши (Qiu *et al.*, 2011), вызванный набором агентов, повышающих внутриклеточное содержание сАМР (Montalbetti *et al.*, 2011a), гипоосмотическим шоком (Qiu *et al.*, 2011), и при снижении парциального давления кислорода (Sridharan *et al.*, 2010). Нам не удалось обнаружить достоверного влияния карбеноксолона на выброс АТФ из эритроцитов крысы в условиях гипоксии, в то время как незначительное снижение этого параметра в присутствии пробенецида сопровождалось уменьшением гемолиза эритроцитов (**Таблица 2**).

**Таблица 2.** Влияние карбеноксолона и пробенецида на гемолиз и высвобождение АТФ из эритроцитов крысы в условиях гипоксии.

Добавки, мкМ	Гемолиз, %		Высвобождение АТФ, %	
	<i>Контроль</i>	<i>Гипоксия</i>	<i>Контроль</i>	<i>Гипоксия</i>
Контроль	0.197 ± 0.025	0.587 ± 0.066	0.167 ± 0.020	0.507 ± 0.044
Карбеноксолон, 100	0.211 ± 0.023	0.611 ± 0.051	0.159 ± 0.022	0.477 ± 0.031
Пробенецид, 1000	0.222 ± 0.029	0.487 ± 0.033	0.217 ± 0.027	0.409 ± 0.040

Представлены среднеарифметические значения и значения стандартной ошибки, полученные в 4 независимых экспериментах. Общее содержание гемоглобина и АТФ в суспензии эритроцитов принято за 100%. Во всех случаях среда инкубации содержала 100 мкМ ARL 67156.

Полученные результаты свидетельствуют о доминирующей роли нарушения структурной целостности гемолиза в выбросе АТФ из эритроцитов в условиях гипоксии. В этой связи мы посвятили последующие эксперименты выяснение относительной роли изменения физико-химических свойств липидного бислоя и белкового состава мембраны в нарушении структурной целостности эритроцитов в ответ на снижение парциального давления кислорода. Результаты этих исследований представлены в заключительных двух разделах этой главы.

### **3.4 Влияние гипоксии на вязкость липидного бислоя мембраны эритроцитов**

Для изучения структуры липидного бислоя в областях, близких к поверхности (5-ДС) или в глубине (16-ДС) плазматической мембраны, мы использовали 2 спин-меченых аналога стеариновой кислоты: 5-доксилстеариновую кислоту (5-ДС) и 16-доксилстеариновую кислоту (16-ДС), нитроксильный радикал которых находится на глубине 0,6-0,8 нм и не менее чем на 2,2 нм от поверхности мембраны (**Рис. 15**).

В **таблице 3** приведены данные по влиянию гипоксии на параметр упорядоченности (S) и на параметр времени корреляции ( $\tau$ ).

Как видно из представленных данных гипоксия не вызывала статистически значимых изменений определяемых параметров. Эти результаты свидетельствуют о том, что транзиторная гипоксия не вызывает необратимых изменений вязкости липидного бислоя мембраны эритроцитов. В этой связи, в последующих экспериментах мы сосредоточили внимание на изучение изменения белкового состава мембраны эритроцитов крысы, как возможную причину нарушения её целостности в условиях гипоксии.

**Таблица 3.** Влияние гипоксии на параметры упорядоченности ( $S$ ) и времени корреляции ( $\tau$ ), полученных из спектров ЭПР 5-ДС и 16-ДС соответственно.

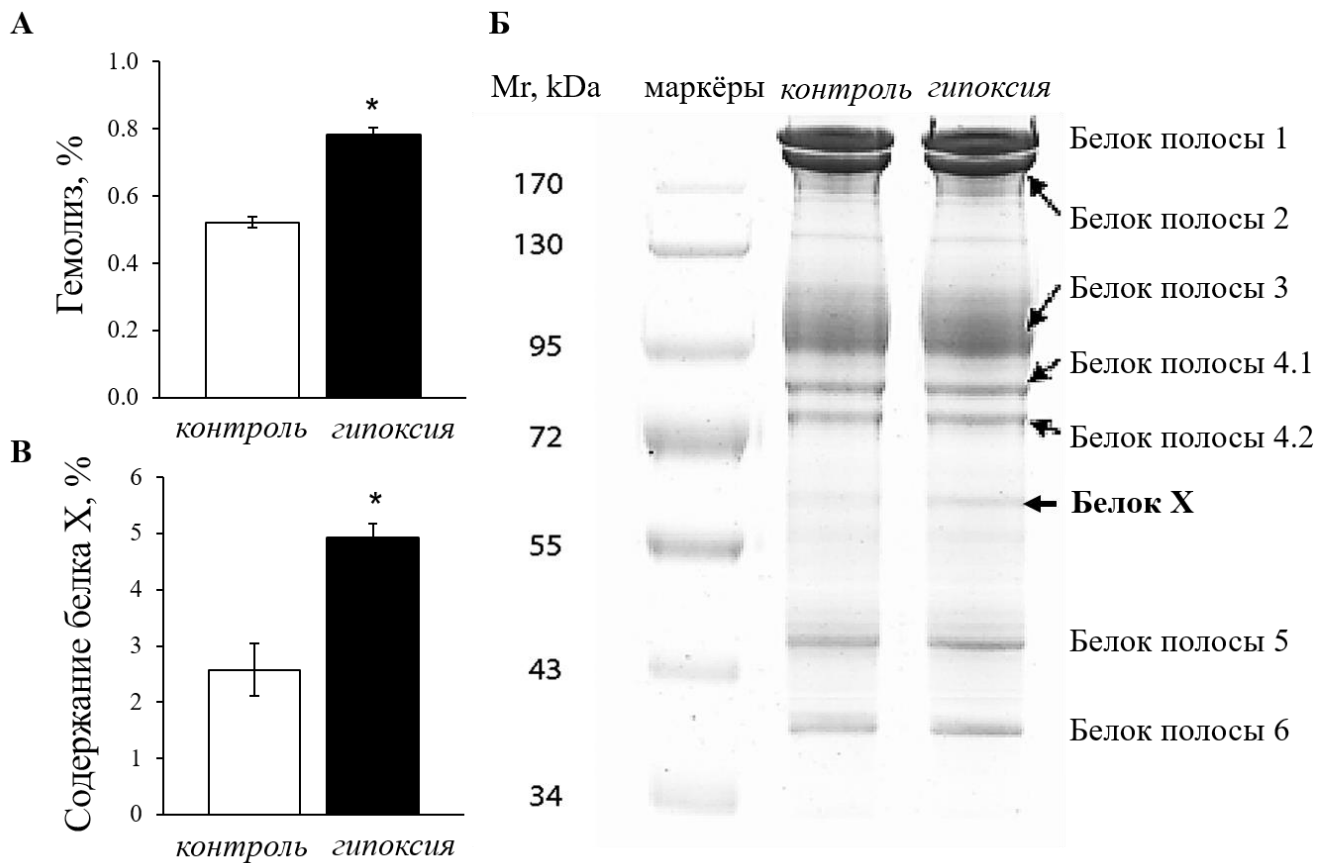
<i>Параметр</i>	<i>Контроль</i>	<i>Гипоксия</i>
$S$	$0.604 \pm 0.007$	$0.606 \pm 0.004$
$\tau \cdot 10^9, s$	$2.342 \pm 0.088$	$2.251 \pm 0.143$

Спиновые зонды вводили в тени эритроцитов, полученные в контрольных условиях (*контроль*) и в газовой смеси, в которой кислород был замещен азотом (*гипоксия*). Представлены среднеарифметические значения и значения стандартной ошибки, полученные в 4 независимых экспериментах.

### 3.5 Влияние гипоксии на белковый состав мембраны эритроцитов

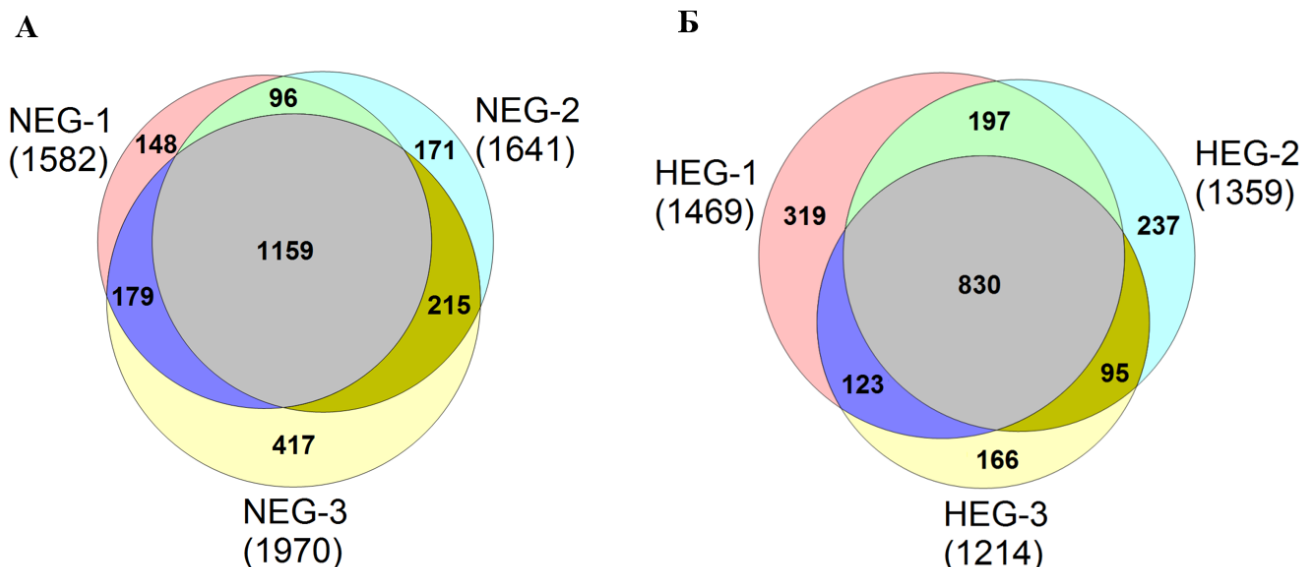
В первой серии экспериментов мы изучили влияние гипоксии на белковый состав теней эритроцитов, используя одномерный электрофорез в полиакриламидном геле. Было обнаружено, что 20-минутная деоксигенация эритроцитов, проведенная при комнатной температуре, приводит к  $\sim 2$ -кратному увеличению содержанию мембрано-связанного белка с  $M_r \sim 60$  кДа, названному нами в дальнейшем белком X (**Рис. 21**). Эти результаты мы рассматривали как свидетельство влияния гипоксии на белковый состав мембраны эритроцитов и обоснование для продолжения такого рода исследований с помощью дорогостоящего полномасштабного протеомного анализа. Так как в отличие от эритроцитов крысы уровень гемолиза эритроцитов человека после 20-мин инкубации при  $37^\circ\text{C}$  характеризовался существенными индивидуальными различиями (**Рис. 17**), протеомические исследования были проведены на эритроцитах, изолированных из самцов крыс линии Вистар в возрасте от 15 до 20 недель.

Как видно из **рисунка 11 А**, 20 минутная инкубация эритроцитов крысы с газовой смесью приводит к полному вытеснению кислорода из гемоглобина, о чём свидетельствует отсутствие полосы  $1375 \text{ см}^{-1}$  в спектре комбинационного рассеяния. Необходимо отметить, что хранение дезоксигенированных эритроцитов на воздухе в течение 15 минут приводит к исчезновению  $\text{deoxyHb}$  и насыщению гемоглобина кислородом (**рис. 11В**). Помня об этом, все процедуры, требуемые для подготовки теней эритроцитов в среде с низким содержанием кислорода, были выполнены в воздухонепроницаемой камере с непрерывной подачей газовой смеси (**Рис. 13**).



**Рисунок 21.** Влияние гипоксии на уровень гемолиза и содержание мембрано-связанных белков эритроцитов человека. **(А)** Гемолиз эритроцитов после 20-мин инкубации при комнатной температуре на воздухе (контроль) или в газовой смеси, в которой кислород был замещен азотом (гипоксия). Общее содержание гемоглобина в суспензии эритроцитов принято за 100%. \*  $p < 0.01$ . **(Б)** Разделение белков методом электрофореза в ПААГ теней эритроцитов, полученных после 20-минутной инкубации при комнатной температуре на воздухе (контроль) или в газовой смеси, в которой кислород был замещен азотом (гипоксия). **(В)** Процентное содержание белка X в тенях эритроцитов человека в контроле и при гипоксии при его нормировании на количество белка полосы 3. Каждый столбец представляет собой среднеарифметическое  $\pm$  SEM, полученные в 4 независимых экспериментах (\*  $p < 0.01$ ). Общее содержание белка полосы 3 принято за 100%.

Качественный анализ состава белков теней эритроцитов, полученных в 3 независимых экспериментах, позволил нам идентифицировать 2385 белков в 3 контрольных (нормоксических) образцах (тени эритроцитов, полученные в контрольных условиях, NEG) и 1968 белков в 3 гипоксических образцах (тени эритроцитов, полученные в условиях гипоксии, NEG). Сравнительный анализ показал, что среди всего числа идентифицированных белков общими для 3 образцов NEG были 1159 белка, тогда как для 3 образцов NEG - 830 белка (**Приложение 1, Рис. 22**).



**Рисунок 22.** Диаграммы Венна, представляющие распределение белков, идентифицированных в тенях эритроцитов крысы. Распределение идентифицированных белков в 3 независимых образцах, полученных в контрольных условиях (NEG1-NEG3) (А) и в условиях гипоксии (HEG1-HEG3) (Б)

Следует подчеркнуть, что количество белков, выявленных в наших экспериментах, в 2-3 раза выше, чем в предыдущих исследованиях, направленных на идентификацию белкового состава мембраны эритроцитов (Bosman *et al.*, 2008; D'Alessandro *et al.*, 2010; Hegedus *et al.*, 2015; Pasini *et al.*, 2010) и сравнимо с количеством белков (2650), обнаруженных в лизированных эритроцитах человека (Bryk & Wisniewski, 2017). Большое количество мембранно-связанных белков, выявленных в нашем исследовании, может быть объяснено, по крайней мере, двумя особенностями постановки эксперимента. **Во-первых**, мы не применяли никаких дополнительных мер для очистки эритроцитов от лейкоцитов. Таким образом, нельзя исключать увеличение количества белков из-за белков, полученных из лейкоцитов. **Во-вторых**, чтобы избежать потери слабосвязанных мембранных белков, мы проводили гемолиз эритроцитов в отсутствие хелаторов  $Ca^{2+}$  и  $Mg^{2+}$ , таких как EDTA и EGTA, и промывали тени эритроцитов раствором с низкой ионной силой.

Как и ожидалось, наряду с гемоглобином тени эритроцитов крысы содержали большое количество белков цитоскелета (белок полосы 3, 4.1 и 4.2,  $\alpha$ - и  $\beta$ -спектрин, актин, гликофорин-С, тропомодулин, анкирин 1,  $\alpha$ - и  $\beta$ -аддуцин, дематин, аннексин, тропомиозин, белок p55) (Таблица 4).

**Таблица 4.** Белки тений эритроцитов крысы, содержание которых превышает 0.11

моль%

Название белка	Mw, [kDa]	riBAQ (mol %)					
		HEG1	NEG1	HEG2	NEG2	HEG3	NEG3
β1-Гемоглобин	15.96	14.017	8.699	13.747	8.011	25.419	12.135
α2-Гемоглобин	15.32	12.574	8.435	12.982	8.453	17.436	10.657
Пероксиродоксин-2	21.79	8.217	9.276	7.381	6.872	5.593	5.967
Белок полосы 3	103.17	6.074	7.193	6.639	6.576	7.209	6.341
α-Спектрин	280.07	3.472	4.363	3.664	3.957	2.690	3.750
β-Спектрин	268.02	3.016	3.649	2.867	3.111	2.237	2.949
β-Актин	41.73	2.888	3.214	2.983	2.984	3.138	2.913
Анкирин 1	187.12	2.064	2.225	2.321	2.360	1.733	2.361
β2-Гемоглобин	15.98	1.878	1.324	1.986	1.297	2.669	1.297
Белок полосы 4.2	76.50	1.642	2.167	1.695	1.817	1.317	2.115
Ембигин	37.00	1.455	1.589	1.166	1.327	0.775	1.410
Транспортер аммония Rh	49.10	1.560	1.550	1.600	2.066	0.933	2.154
β2-Гемоглобин	16.02	1.427	0.786	1.173	0.819	1.572	1.131
α3-Тропомиозин	29.00	1.414	1.617	1.343	1.605	0.895	1.070
Гликофорин-С	10.44	1.254	1.020	1.944	1.952	1.972	1.696
Белок полосы 4.1	95.66	1.263	1.489	1.658	1.948	1.049	1.538
Каталаза	59.75	1.225	1.356	0.816	0.876	0.544	0.822
Пероксиродоксин-2	22.16	1.118	1.356	0.932	1.159	0.572	0.821
Белок p55	50.89	1.130	1.013	1.612	1.726	1.045	1.696
α-Протеосома	26.41	0.479	0.725	0.385	0.520	0.244	0.475
ГАФД	35.82	0.435	0.366	0.292	0.388	0.194	0.347
Тропомодулин-1	40.45	0.385	0.387	0.569	0.728	0.305	0.558
Аннексин	50.07	0.350	0.400	0.333	0.425	0.192	0.381
β-Аддуцин	80.57	0.332	0.412	0.551	0.622	0.236	0.451
α-Актин	42.01	0.362	0.416	0.394	0.375	0.320	0.285
SLC43A1	67.16	0.316	0.304	0.468	0.484	0.390	0.512
1s комплекса активатора протеасом	28.63	0.296	0.429	0.229	0.371	0.223	0.401
β-Протеосома	27.85	0.278	0.345	0.193	0.313	0.151	0.273
Тропомиозин	28.69	0.240	0.266	0.262	0.294	0.205	0.232
α-Аддуцин	74.78	0.198	0.204	0.333	0.385	0.177	0.288
Дематин	35.69	0.172	0.178	0.529	0.671	0.234	0.357
РНК-связывающий белок 1	23.59	0.138	0.116	0.110	0.169	0.075	0.148
Супероксиддисмутаза	15.70	0.122	0.088	0.061	0.052	0.118	0.187

riBAQ (mol %) – relative iBAQ – относительное значение iBAQ (мольный процент - процентное содержание белка, нормированное на его молекулярный вес) к сумме всех значений iBAQ, соответствующее мольной доле каждого белка.

В соответствии с предыдущими исследованиями (Bosman *et al.*, 2008; D'Alessandro *et al.*, 2010; Pasini *et al.*, 2010), мы также обнаружили относительно высокое содержание ферментов (пероксиредоксины, каталаза, супероксиддисмутаза) контролирующей продукцию активных форм кислорода, и белков, формирующих протеосомы ( $\alpha$  и  $\beta$  субъединицы протеосом, субъединица 1 комплекса активатора протеасом, РНК-связывающий белок 1), транспортера аммония Rh типа А и переносчика больших нейтральных аминокислот SLC43A1.

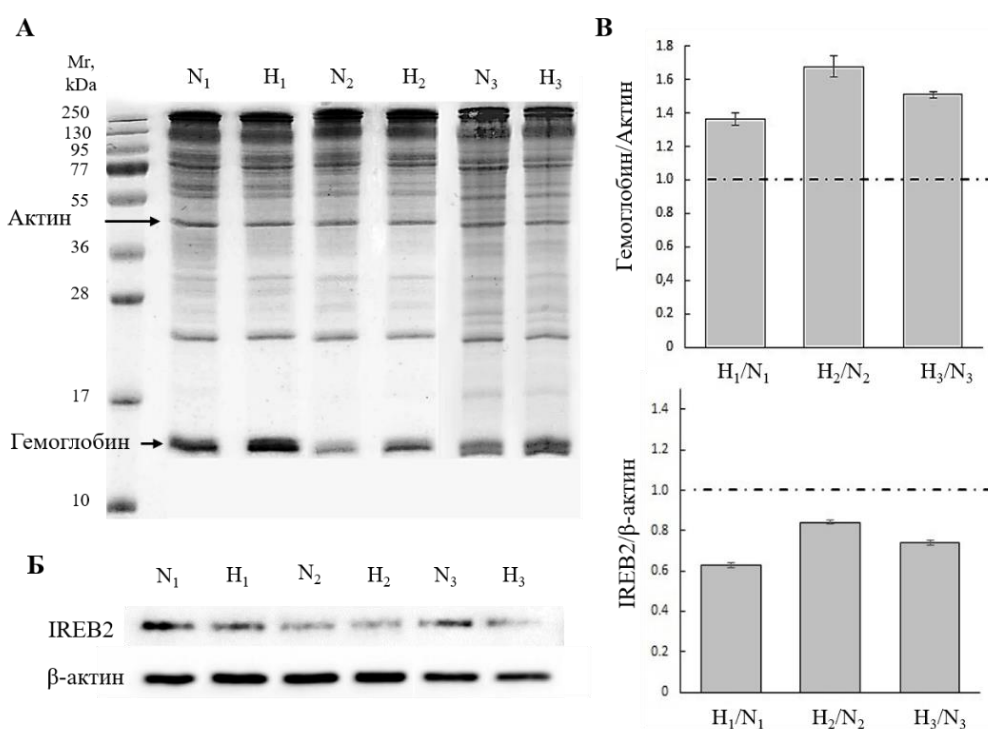
На **рисунке 23** приведена диаграмма Венна, показывающее распределение белков, определенных во всех образцах теней эритроцитов, полученных в условиях гипоксии, по сравнению с белками, определенными во всех образцах теней эритроцитов общими, полученных в контрольных условиях. Анализируя список белков, идентифицированных в тенях, полученных из контрольных эритроцитов и эритроцитов, подвергнутых 20-мин гипоксии, с использованием баз данных Kyoto Encyclopedia of Genes and Genomes (KEGG) pathway (**Приложение 2**) и Gene Ontology (GO) (**Приложение 3**), мы обнаружили большое число достоверно отличающихся ( $p < 0.05$ ) кластеров генов. Так, например, мы обнаружили 6 KEGG кластеров генов, которые представлены только в HEG, и 14 KEGG кластеров, включая кластер “Ubiquitin-mediated proteolysis”, который обнаружен в HEG и отсутствует в протеоме мембранно-связанных белков NEG.



**Рисунок 23.** Диаграмма Венна, представляющая распределение общих белков, идентифицированных в 3 независимых образцах теней эритроцитов крысы, полученных в условиях гипоксии (HEG) по сравнению с белками, идентифицированными в 3 независимых образцах теней эритроцитов крысы, полученных в контрольных условиях (NEG).

Безметочный количественный анализ белков (label-free quantification analysis) позволил нам сравнить относительное содержание белков в тенях эритроцитов, полученных в 3 независимых экспериментах, проведённых в контрольных условиях и

условиях гипоксии эритроцитов (**Приложение 4**). После сравнительного анализа этих белков, был получен конечный список белков, в который вошли 18 белков, содержание которых статистически достоверно изменялось под влиянием 20-минутной гипоксии во всех трех парах образцов (HEG1 vs NEG1, HEG2 vs NEG2, и HEG3 vs NEG3) (**Таблица 5**). Среди белков, чье содержание в образцах, полученных в условиях гипоксии, увеличивается в 2-3 раза, мы обнаружили все идентифицированные гемоглобина. В HEG образцах наблюдалось также двукратное увеличение содержания повторяющегося домена тетрапептида 39D (Ttc39d) и синаптоагмина E-SYT1 (Esy1) тогда как содержание аминопептидаз-подобного 1 белка (Nperp1), возможного цитозольного белка сборки железосерных белков (Ciao1) и белка, образующего железосвязывающий элемент 2 (Ireb2) уменьшалось в 2 – 3 раза. Мы также отметили ~50% увеличение содержания 60S рибосомального белка L4 (Rpl4) и супероксиддисмутазы (Sod1), а также незначительное, но существенное увеличение содержания цитохрома b5 (Cyb5a), лизоцима (Lyz2; Lyz1), гомолога белка синаптических везикул VAT-1 (Vat1) и RuvB-подобного 1 белка (Ruvb1) (**Таблица 5**). Изменение содержания гемоглобина и Ireb2 также было показано методом электрофореза в ПААГ и Вестерн-блот, соответственно (**Рис. 24**).



**Рисунок 24.** Разделение белков теней эритроцитов крысы с помощью электрофореза в полиакриламидном геле (**А**) и окрашивание антителами против IREB2 методом Вестерн-блот (**Б**), полученных в 3 независимых экспериментах после 20-мин инкубации при 37°C на воздухе (N<sub>1</sub>-N<sub>3</sub>) или в газовой смеси, в которой кислород был замещен азотом (H<sub>1</sub>-H<sub>3</sub>). (**В**) Изменение , отношения гемоглобина/актин и IREB2/β-актин при гипоксии. За 1.00 принято отношение в условиях нормоксии.

**Таблица 5.** Мембранно-связанные белки эритроцитов, содержание которых изменяется под действием гипоксии

Название белка	Ген	riBAQ в NEG (%)*	Изменение в NEG**	p-value	Функции
Глобин α4	Hbb	9.61	2.57±0.4	4.7E-06	Связывание и транспорт O <sub>2</sub>
α1/2-Гемоглобин	Hba1	9.18	1.96±0.17	1.7E-05	Связывание и транспорт O <sub>2</sub>
β2-Гемоглобин	N/A	1.31	2.86±0.7	1.2E-06	Связывание и транспорт O <sub>2</sub>
Глобин α1	Hbb-b1	9.12E-01	2.39±0.03	2.6E-05	Связывание и транспорт O <sub>2</sub>
Повторяющийся домен тетратрикопептид 39D	Ttc39d	4.11E-01	1.72±1.01	5.8E-06	Не известна
α-Глобин	Hba-a3	1.78E-01	2.21±0.44	9.2E-05	Связывание и транспорт O <sub>2</sub>
Супероксиддисмутаза	Sod1	1.09E-01	1.46±0.17	2.3E-04	Защита от АФК
Ig gamma-2C chain C region	N/A	1.01E-01	0.74±0.03	3.2E-03	Связывание антигена
β-Глобин	Hbb-b1	8.55E-02	2.05±0.36	5.2E-04	Связывание и транспорт O <sub>2</sub>
Цитохром b5	Cyb5a	3.83E-02	1.35±0.06	2.8E-03	Транспорт электронов
Лизоцим	Lyz2; Lyz1	1.72E-02	0.66±0.15	3.7E-02	Связывается с моноцито-макрофаговой системой и усиливает активность иммунного агента
Синаптоагмин E-SYT1	Esyt1	1.42E-02	2.00±0.34	3.2E-04	Связывание глицерофосфолипидов и клеточный перенос липидов
Гомолог белка синаптических везикул VAT-1	Vat1	6.73E-03	1.31±0.06	4.2E-03	Активация кератиноцитов, регулируемых кальцием, в механизмах эпидермального восстановления
60S рибосомальный белок L4	Rpl4	3.65E-03	1.7±0.26	2.4E-03	Структурная составляющая рибосомы
Аминопептидаз-подобный 1	Npep1	3.46E-03	0.35±0.31	4.0E-03	Вероятно, катализирует удаление незамещенных N-концевых аминокислот из различных пептидов
RuvB-подобный 1	Ruvb1	1.84E-03	0.61±0.3	1.8E-02	Обладает АТФазной активностью.
Возможный цитозольный белок сборки железосерных белков CIAO1	Ciao1	1.72E-03	0.53±0.22	1.5E-02	Основной компонент железосерного кластера, который опосредует включение кластера железа-серы в экстрамитохондриальные Fe/S белки
Чувствительный к Fe регулятор транскрипции (аконитаза)	Ireb2	4.88E-04	0.56±0.11	1.8E-02	РНК-связывающий белок, который связывается с элементами, чувствительными к железу

\* Относительное содержание белка, нормированное на молекулярную массу. Средние ± SD полученные в 4 независимых экспериментах. Общее содержание всех идентифицированных белков принималось за 100%. \*\* Содержание белка в нормоксии принималось за 1.00

Как уже отмечалось выше, действие гипоксии сопровождалось 1.5-кратным увеличением содержания супероксидизмутазы (**Таблица 5**). Влияет ли это на предотвращение повреждения мембраны эритроцитов активными формами кислорода (АФК), выявленные в предыдущих исследованиях (Tzounakas *et al.*, 2016)? Анализ пост-трансляционных модификаций всех мембраносвязанных белков показал, что окислительным модификациям в большей мере подвержены белки в контрольных образцах (NEG) по сравнению с тенями эритроцитов, подвергнутых гипоксии (HEG) (**Таблица 6**).

**Таблица 6.** Основные типы окислительной модификации белков теней, полученных из эритроцитов в контрольных условиях (NEG) и в условиях гипоксии (HEG)

Типы окислительных модификаций триптофана	Mw, kDa	Положение	Количество спектральных соответствий пептидов					
			HEG1	NEG1	HEG2	NEG2	HEG3	NEG3
Окисление	15.99	M	3608	8693	1877	2615	1884	4652
Дигидроксилирование	31.99	FKPRWY	608	1359	415	587	342	748
Окисление	15.99	HW	739	970	413	550	331	782
До кинурина	3.99	W	64	151	19	62	4	80
До оксолактона	13.98	W	56	80	36	53	41	58
До гидроксикинурина	19.99	W	10	26	8	9	0	0

Следует отметить, что в отличие от общего протеомного анализа, процент окисленных пептидов гемоглобина был выше в гипоксических образцах ( $4.94 \pm 1.36\%$  против  $0.72 \pm 0.32\%$  в HEG и NEG, соответственно). Эти различия могут быть как следствием увеличенного содержания супероксидизмутазы, так и меньшей доступности мембрано-связанного гемоглобина к антиоксидантным ферментам, продемонстрированной ранее (Cao *et al.*, 2009).

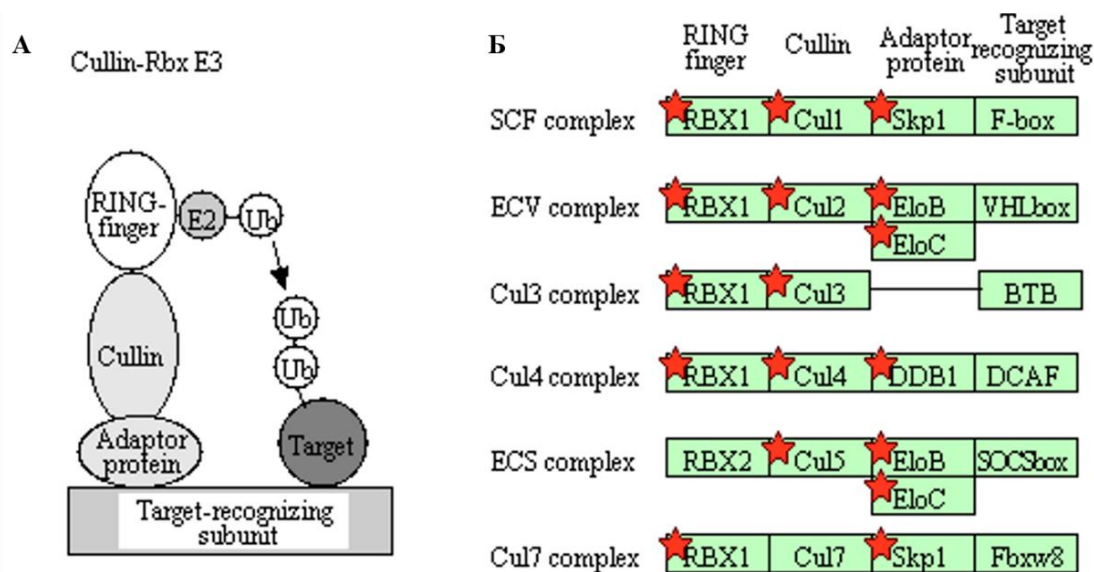
Мы не обнаружили достоверного влияния гипоксии на содержание в тенях эритроцитов ферментов гликолиза (**Таблица 7**).

**Таблица 7.** Относительное содержание гликолитических ферментов в тенях эритроцитов после их 20-мин инкубации в контрольных условиях и при гипоксии

Название белка	Ген	Mw, kDa	riBAQ в NEG (%)*	Изменение в NEG**
АТФ-зависимая 6-фосфофруктокиназа печени	<i>PFK1</i>	85	0.16	0.86±0.05
АТФ-зависимая мышечная 6-фосфофруктокиназа	<i>PFKM</i>	85	0.02	0.95±0.08
Глицеральдегид-3-фосфатдегидрогеназа	<i>Gapdh</i>	36	0.35	1.15±0.12
Фруктозо-бисфосфат альдолаза А	<i>Aldoa</i>	39	0.12	1.02±0.09
L-лактатдегидрогеназа А	<i>Ldha</i>	36	0.02	0.87±0.16
Пируваткиназа	<i>Pklr</i>	62	0.06	0.98±0.04

\* Относительное содержание белка, нормированное на молекулярную массу. Средние ± SD получены в 4 независимых экспериментах. Общее содержание всех идентифицированных белков принималось за 100%. \*\* Содержание белка в нормоксии принималось за 1.00

Анализ полученных данных (**Приложение 4**) с помощью базы данных KEGG, относящихся к генам кластера “Ubiquitin-mediated proteolysis” показывает, что большинство белков мультисубъединичного комплекса Cullin-Rbx E3 ubiquitin ligase complex присутствуют в контрольных образцах и отсутствуют в тенях, полученных из эритроцитов, подвергнутых 20-мин гипоксии (**Рис. 25 Б**). Эти данные позволяют предположить, что в условиях нормоксии этот комплекс ассоциирован с мембраной эритроцитов, осуществляя убиквитинилирование мембранных белков, нарушенных в результате продукции АФК.



**Рисунок 25.** (А) Белки, вовлеченные в формирование комплекса, осуществляющего убиквитинилирование белков. (Б) Белки, идентифицированные только в условиях нормоксии, отмечены красными звездочками. Анализ идентифицированных белков (**Приложение 4**), проведен с помощью базы данных KEGG.

## ЗАКЛЮЧЕНИЕ

Данные, приведенные в Разделе 1.1, свидетельствуют о том, что сосудорасширяющий эффект, отмеченный в большом круге кровообращения в условиях гипоксии в значительной мере обусловлен активацией P2Y рецепторов эндотелия за счет выброса АТФ и эритроцитов. Механизмы выброса АТФ из эритроцитов в ответ на понижение  $P_{O_2}$  остаются малоизученными. В ранних сообщениях было высказано предположение, что выброс АТФ опосредован CFTR, трансмембранный перенос которыми низкомолекулярных соединений резко увеличивается при активации системы (Sprague *et al.*, 2007). Однако, Keller с соавторами не удалось обнаружить белка CFTR в эритроцитах млекопитающих (Keller *et al.*, 2017). Сравнительно недавно было показано, что выброс АТФ в ответ на активацию рецептора простагландинов  $I_1$  ( $PGI_1$ ) блокируется ингибиторами потенциал-зависимых анионных каналов VDAC1 (Sridharan *et al.*, 2012). Электрофизиологические эксперименты, посвященные проверке этой гипотезы, не проводились. Паннексин Panx1, в настоящее время является наиболее хорошо изученным представителем семейства белков, которые функционируют как АТФ-проницаемые каналы в широком диапазоне типов клеток, включая эритроциты (Chu *et al.*, 2016; Qiu *et al.*, 2011; Sridharan *et al.*, 2010). Montalbetti с соавторами было установлено, что выход АТФ из эритроцитов человека в ответ на активацию системы cAMP уменьшается при добавлении карбеноксолона и других ингибиторов Panx1 (Montalbetti *et al.*, 2011a). Следует, однако, отметить, что выброс АТФ из эритроцитов был также обнаружен у мышей, лишенных этого гена (мыши *Panx1<sup>-/-</sup>*) (Qiu *et al.*, 2011). Нам не удалось обнаружить достоверного влияния карбеноксолона на выброс АТФ из эритроцитов крысы в условиях гипоксии, в то время как незначительное снижение этого параметра в присутствии пробенецида коррелировало с уменьшением гемолиза эритроцитов (**Таблица 2**). В отличие от гипоксии, выброс АТФ из эритроцитов крысы, вызванный механическим воздействием (shear stress) блокировался карбеноксолоном (Hu *et al.*, 2017). Следует, однако отметить, что в этой работе не проводилась одновременная оценка влияния механического воздействия на гемолиз эритроцитов. Последнее обстоятельство оказывается весьма существенным в свете данных о корреляции выброса АТФ и гемоглобина из эритроцитов человека в ответ на механическое воздействие, гипотонический шок и добавку диметилсульфоксида, используемого в качестве растворителя гидрофобных соединений (Sikora *et al.*, 2014).

В этой связи мы провели сравнительный анализ действия гипоксии на выброс АТФ из эритроцитов человека и крысы. Уже в первых экспериментах, проведенных при комнатной температуре, мы обнаружили положительную и высоко достоверную ( $p=0.000014$ ) корреляцию между приростом высвобождения АТФ и гемоглобина, вызванным 20-мин инкубацией эритроцитов человека в условиях гипоксии (**Рис. 16**). При переходе к физиологическим условиям ( $t_0=37^\circ\text{C}$ ), мы обнаружили, что в эритроцитах человека гипоксия вызывало увеличение гемолиза на 40%, в то время как в эритроцитах крысы этот параметр увеличивался в 2-3 раза (**Рис. 17**). Для нашего дальнейшего исследования важен был тот факт, что в отличие от эритроцитов крысы в эритроцитах человека отмечена существенная индивидуальная вариабельность действия гипоксии. В самом деле, из 20 обследованных образцов крови увеличение гемолиза в условиях гипоксии обнаружено у 9 волонтеров (**Рис. 17 А**), что контрастировало с однонаправленным увеличением гемолиза в условиях гипоксии эритроцитов всех исследованных крыс (**Рис. 17 Б**). При анализе причин такой индивидуальной вариабельности, было отмечено, что резкое уменьшение высвобождения АТФ из эритроцитов человека коррелирует с увеличением возраста (Kirby *et al.*, 2012), а также при ряде патологических состояний, таких как сахарный диабет 2 типа (Sprague *et al.*, 2006; Sprague *et al.*, 2010), муковисцидоз (Sprague *et al.*, 1998) и идиопатическая легочная гипертензия (Sprague *et al.*, 2001). Совсем недавно Kirby и соавторами не было обнаружено какого-либо действия снижения  $P_{O_2}$  на выброс АТФ из эритроцитов пожилых людей. Учитывая это обстоятельство, дальнейшие эксперименты были проведены на эритроцитах крыс линии Вистар.

Мы обратили внимание на то, что 2-3-х кратное увеличение высвобождения гемоглобина в ответ на 20-мин гипоксию эритроцитов крысы (**Рис. 18 А**) сопровождалось лишь незначительным и статистически недостоверным приростом содержания внеклеточного АТФ (**Рис. 18 Б**), что обусловлено 35-ти кратным увеличением при переходе от комнатной температуры к  $37^\circ\text{C}$  активности экто-АТФазы. В самом деле, добавление ингибитора этого фермента (соединение ARL 67156, **Рис. 19**) приводило к резкому приросту содержания внеклеточного АТФ, не влияя при этом на высвобождение гемоглобина (**Рис. 18 А**). В присутствии ARL 67156 нам также удалось зарегистрировать положительную корреляцию прироста высвобождения АТФ и гемоглобина из эритроцитов крысы, подвергнутых 20-мин гипоксии при  $37^\circ\text{C}$  (**Рис. 20**).

На основании этих результатов мы сделали вывод о том, что нарушение структурной целостности плазматической мембраны вносит решающий вклад в высвобождение АТФ из эритроцитов в условиях гипоксии и приступили к изучению механизма этого явления. С использованием спиновых зондов методом ЭПР не было обнаружено никакого эффекта 20-минутной деоксигенации на изменение вязкости липидного бислоя теней эритроцитов, подвергнутых гипоксии, как в его внутренней части, так и вблизи поверхности мембраны (**Таблица 3**).

Учитывая отрицательные результаты, полученные при изучении структурного состояния липидного бислоя, мы исследовали влияние гипоксии на состав мембранных белков с помощью протеомной технологии. Используя метод безметочного определения содержания белков (label-free protein quantification), мы сравнили относительное содержание 1159 белков теней эритроцитов, полученных при нормоксии и гипоксии в 3 независимых экспериментах (**Приложение 4**). Среди белков, чье содержание в условиях гипоксии увеличивалось более чем в 2 раза, мы обнаружили 6 субъединиц гемоглобина (**Таблица 5**). Эти данные, полученные при деоксигенации интактных эритроцитов, согласуются с результатами предыдущих исследований связывания окисгенированного и дезоксигенированного гемоглобина с тенями эритроцитов человека (Tsuneshige *et al.*, 1987). Этот феномен очевидно обусловлен взаимодействием деоксигемоглобина с белком полосы 3, продемонстрированным в опытах по связыванию деоксигемоглобина с цитоплазматическим доменом белка полосы 3 (Chetrite & Cassoly, 1985; Sega *et al.*, 2012; Sega *et al.*, 2015; Walder *et al.*, 1984). В последнее время роль взаимодействия deoxy-Hb с белком полосы 3 в регуляции цитоскелета эритроцитов была подтверждена также в исследовании эритроцитов мышей, содержащих нативный белок полосы 3 человека (w-human Hb site) или белок полосы 3, лишённый сайта связывания deoxy-Hb (w/o Hb site). Эти эксперименты показали, что в отличие от мышей дикого типа и мышей w-human Hb site, дезоксигенирование не оказывает никакого влияния на взаимодействие белка полосы 3 с цитоскелетом и высвобождение АТФ из эритроцитов мышей w/o Hb site (Chu *et al.*, 2016).

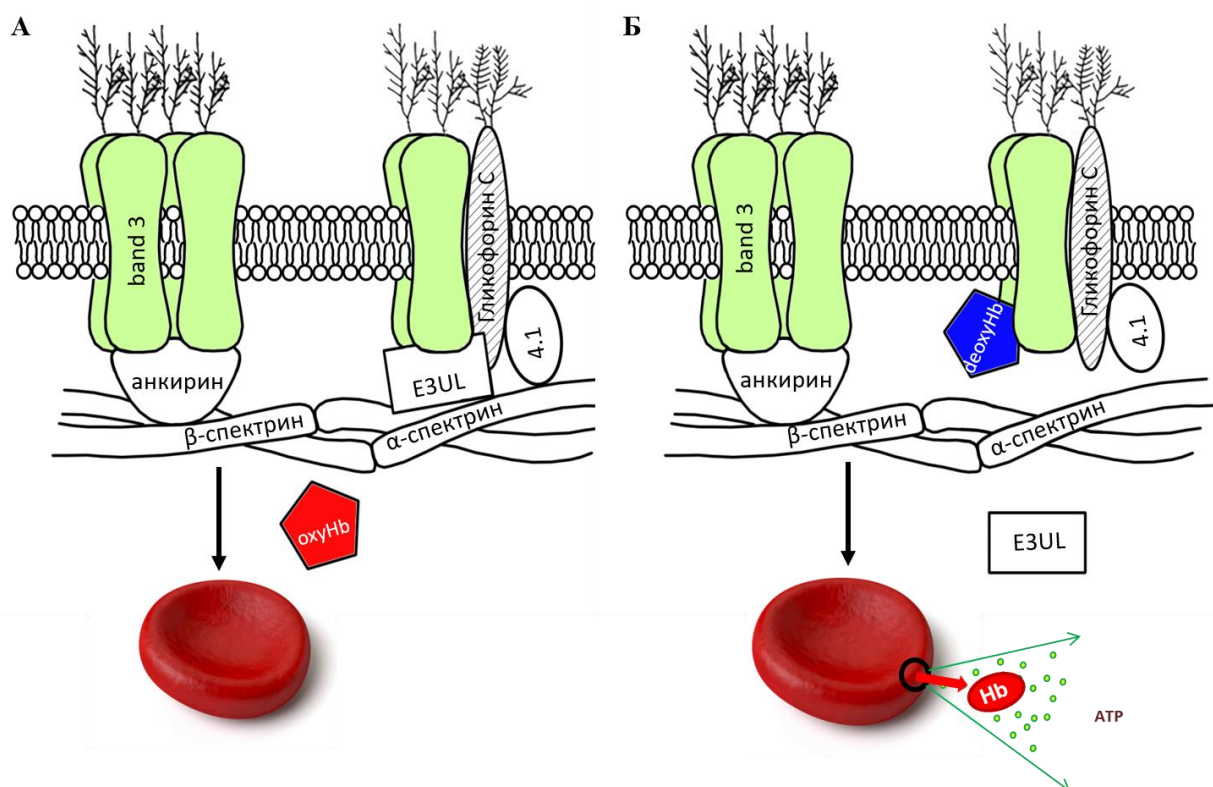
В ранних работах было показано, что тени эритроцитов человека обогащены белками мультиферментного комплекса, играющими ключевую роль в регуляции гликолиза (Higashi *et al.*, 1979; Murthy *et al.*, 1981; Tanner & Gray, 1971; Tsai *et al.*, 1982). Сравнительно недавно с использованием пермеабелизованных эритроцитов и фермент-специфических антител, было обнаружено, что в условиях гипоксии глицеральдегид-3-

фосфат дегидрогеназа, альдолаза, фосфофруктокиназа, лактат дегидрогеназа и пируваткиназа диссоциируют с внутренней поверхности мембраны (Campanella *et al.*, 2005; Campanella *et al.*, 2008). Предполагается, что это явление лежит в основе увеличения метаболизма глюкозы в гликолизе в условиях гипоксии (**Рис. 1**), контролируя тем самым продукцию NADPH и инактивацию АФК (Messana *et al.*, 1996). Нам не удалось обнаружить достоверного влияния гипоксии на содержание этих ферментов в телях эритроцитов крысы (**Таблица 7**). В этой связи можно предположить, что в отличие от белков, перечисленных в **Таблице 5**, взаимодействие гликолитических ферментов с мембраной обусловлено крайне слабыми взаимодействиями, и различия в их содержании, зарегистрированные в интактных эритроцитах, исчезают в процессе многократной промывки мембран.

Исследования последних лет показали, что белки группы Cullin образуют молекулярный каркас, который выполняет решающую роль в посттрансляционной модификации белков посредством их убиквитинирования. У млекопитающих семейство куллины образовано 8 белками (CUL1-CUL7 и PARC), которые характеризуются наличием одноименного домена. В свою очередь, белки CUL1-CUL7 образуют субъединичные комплексы с группой E3 лигазы, состоящей более чем из 200 белков (Cullin-RING E3 ubiquitin ligase complexes, CRL). Эти комплексы переносят убиквитин на белки как метку для их последующей деградации на протеосомах (**Рис. 25 А**) (Petroski & Deshaies, 2005; Sarikas *et al.*, 2011). Анализ данных, полученных с помощью базы данных KEGG (**Приложение 4**), показывает, что большинство белков этого комплекса присутствуют в контрольных образцах и отсутствуют в телях, полученных из эритроцитов, подвергнутых 20-мин гипоксии (**Рис. 25 Б**). Эти данные позволяют предположить, что в условиях нормоксии этот комплекс ассоциирован с мембраной эритроцитов, осуществляя убиквитинирование мембранных белков, нарушенных в результате продукции АФК.

Другим участником этого процесса могут быть кислород-чувствительные протеазы, вовлеченные в деградацию белков мембранного цитоскелета, включая белок полосы 3, белок 4.1 и гликофорин-С (D'Amici *et al.*, 2007). В условиях гипоксии деоксигемоглобин связывается с цитоплазматическим доменом белка полосы 3, что приводит к высвобождению из мембраны комплекса Cullin-Rbx E3 и нарушению деградации мембранных белков, подвергнутых посттрансляционной модификации. Результатом всех этих изменений структурной организации мембраносвязанных белков

является нарушение структурной целостности эритроцитов, приводящие к синхронному высвобождению АТФ и гемоглобина, зарегистрированном в наших экспериментах (**Рис. 26**). В дальнейших экспериментах мы планируем проверить эту гипотезу, изучая функциональные последствия изменения содержания других мембраносвязанных белков, зарегистрированных в наших экспериментах (**Таблица 5**), в регуляции функционального состояния эритроцитов в условиях гипоксии.



**Рисунок 26.** Механизмы перегруппировки мембранных белков, вызванной гипоксией: рабочая гипотеза. В условиях нормоксии (**А**) убиквитинлигазный комплекс Cubin-Rbx E3 (E3UL) связан с сетью цитоскелета, осуществляя детекцию и удаление белков, нарушенных активными формами кислорода. В условиях гипоксии (**Б**) deoxy-Hb связывается с белком полосы 3, что приводит к реорганизации связанных с ним белков примембранного цитоскелета, диссоциации комплекса Cullin-Rbx E3 из мембраны эритроцитов и накоплению мембранных белков, с нарушенной структурой. Результатом этих процессов является нарушение структурной целостности мембраны эритроцитов, регистрируемое по высвобождению гемоглобина.

## Выводы

1. Гипоксия приводит к увеличению гемолиза эритроцитов человека и крысы.
2. В присутствии ингибитора экто-АТФазы прирост выхода АТФ из эритроцитов, вызванный гипоксией, коррелирует с высвобождением гемоглобина.
3. Ингибиторы неселективного канала паннексина не влияют на выброс АТФ и гемоглобина из эритроцитов в условиях гипоксии.
4. С помощью ЭПР спектроскопии не обнаружено влияния гипоксии на параметр упорядоченности ( $S$ ) и время корреляции ( $\tau$ ) спиновых зондов, что свидетельствует об отсутствии необратимых изменений структуры липидного бислоя мембраны эритроцитов.
5. С помощью протеомного анализа в составе мембраны эритроцитов крысы идентифицировано 1159 белков. Гипоксия приводит к увеличению содержания в мембране эритроцитов гемоглобина, супероксиддисмутазы и высвобождению мультиферментного комплекса, контролирующего убиквитинилирование белков и их последующую деградацию, что позволяет предположить, что эти изменения лежат в основе нарушения структурной целостности мембраны эритроцитов и выброса АТФ и гемоглобина в условиях гипоксии.

## Благодарности

Выражаю искреннюю признательность и благодарность моему научному руководителю профессору Орлову Сергею Николаевичу за помощь на всех этапах выполнения научно-квалификационной работы, а также за терпение и поддержку. Благодарю Лунёву Оксану Георгиевну и Максимова Георгия Владимировича за помощь в освоении различных методов, в постановке дизайна экспериментов и обсуждение результатов. Благодарю Алексееву Наталью Владимировну, Деева Леонида Ивановича и всех сотрудников кафедры биофизики и лаборатории физико-химии биологических мембран, которые помогали мне в проведении ряда экспериментов.

Отдельную благодарность выражаю Зиганшину Рустаму Хусмановичу, за помощь в получении и анализе данных протеомического анализа. Огромное спасибо за замечания к работе хочу сказать Климановой Елизавете Андреевне, профессору Лопиной Ольге Дмитриевне и профессору Тарасовой Ольге Сергеевне.

## СПИСОК ПУБЛИКАЦИЙ ПО ТЕМЕ ДИССЕРТАЦИИ

*Статьи, опубликованные в журналах Web of Science, Scopus, RSCI и в изданиях рекомендованных для защиты в диссертационном совете:*

1. **Sidorenko S.V.**, Ziganshin R.H., Luneva O.G., Deev L.I., Alekseeva N.V., Maksimov G.V., Grygorczyk R., Orlov S.N. Proteomics-based identification of hypoxia-sensitive membrane-bound proteins in rat erythrocytes // Journal of Proteomics 2018. № 184. P. 25-33. *IF: 3.867*

2. **Сидоренко С.В.**, Лунева О.Г., Новожилова Т.С., Алексеева Н.В., Родненков О.В., Деев Л.И., Максимов Г.В., Григорчик Р., Орлов С.Н. Гемолиз и высвобождение АТФ из эритроцитов человека и крысы в условиях гипоксии: сравнительный анализ // Биологические мембраны 2018. V. 35 № 1. P. 27-33. *IF: 0.673*

3. Luneva O.G., **Sidorenko S.V.**, Ponomarchuk O.O., Tverskoy A.M., Cherkashin A.A., Rodnenkov O.V., Alekseeva N.V., Deev L.I., Maksimov G.V., Grygorczyk R., Orlov S.N. Deoxygenation Affects Composition of Membrane-Bound Proteins in Human Erythrocytes // Cellular Physiology and Biochemistry 2016. V. 39 № 1. P. 81-88. *IF: 5.500*

4. Лунева О.Г., **Сидоренко С.В.**, Максимов Г.В., Григорчик Р., Орлов С.Н. Эритроциты как регуляторы сосудистого тонуса // Биологические мембраны 2015. V.32 № 4. P. 223-235. *IF: 0.673*

Тезисы докладов международных и всероссийских конференций в сборниках:

1. **Sidorenko S.V.**, Ziganshin R.H., Luneva O.G., Orlov S.N. Effect of hypoxia on the proteins composition of rat erythrocyte membrane // FEBS Open Bio. 2018. Supplement 1. V. 8. P. 367-367.

2. **Сидоренко С.В.**, Лунева О.Г., Зиганшин Р.Х., Новожилова Т.С., Алексеева Н.В., Деев Л.И., Максимов Г.В., Орлов С.Н. Протеомическая идентификация чувствительных к гипоксии мембранных белков эритроцитов крысы // Рецепторы и внутриклеточная сигнализация. – Т. 1 – Пушкино, 2017. – С. 80-84.

3. **Сидоренко С.В.**, Лунева О.Г., Пономарчук О.О., Тверской А.М., Черкашин А.А., Родненков О.В., Алексеева Н.А., Деев Л.И., Максимов Г.В., Григорчик Р., Орлов С.Н. Влияние гипоксии на состав белков мембраны эритроцитов человека. // Научные труды V Съезда физиологов СНГ, V Съезда биохимиков России, Конференции ADFLIM. ASTA NATURAE. СПЕЦВЫПУСК. – Т. 2. – Сочи, 2016. – С. 70-70.

4. **Сидоренко С.В.**, Лунева О.Г., Пономарчук О.О., Тверской А.М., Алексеева Н.В., Деев Л.И., Григорчик Р. Влияние гипоксии на состав мембранно-связанных белков в человеческих эритроцитах // XXIII Международная конференция студентов, аспирантов и молодых учёных Ломоносов. Секция "Биология". – Т. 1 – Москва, 2016. – С. 68–68.

5. **Сидоренко С.В.**, Лунева О.Г., Деев Л.И., Пономарчук О.О., Максимов Г.В., Орлов С.Н. Влияние гипоксии на активность  $K^+$ -каналов и связывание белков с мембраной эритроцитов крысы // Рецепторы и внутриклеточная сигнализация. – Т. 1. – Пущино, 2015. – С. 70-73.

## Список литературы

- Akimova OA, Grygorczyk A, Bunday RA, Bourcier N, Gekle M, Insel PA, & Orlov SN (2006). Transient activation and delayed inhibition of Na<sup>+</sup>,K<sup>+</sup>,Cl<sup>-</sup> cotransport in ATP-treated C11-MDCK cells involve distinct P2Y receptor subtypes and signaling mechanisms. *J Biol Chem* **281**, 31317-31325.
- Akopova I, Tatur S, Grygorczyk M, Luchowski R, Gryczynski I, Gryczynski Z, Borejdo J, & Grygorczyk R (2012). Imaging exocytosis of ATP-containing vesicles with TIRF microscopy in lung epithelial A549 cells. *Purinergic Signaling* **8**, 59-70.
- Alaarg A, Schiffelers RM, van Solinge WW, & van Wijk R (2013). Red blood cell vesiculation in hereditary hemolytic anemia. *Front Physiol* **4**, 365.
- Alvarez CL, Schachter J, de Sa Pinheiro AA, de Souza Silva L, Verstraeten SV, Persechini PM, & Schwarzbbaum PJ (2014). Regulation of extracellular ATP in human erythrocytes infected with *Plasmodium falciparum*. *PLoS One* **9**, e96216.
- Гусакова СВ, Ковалев ИВ, Смаглий ЛВ, Бирулина ЮГ, Носарев АВ, Петрова ИВ, Медведев МА, Орлов СН, & Реутов ВП (2015). Газовая сигнализация в клетках млекопитающих. *Успехи физиологических наук* **46**, 53-73.
- Bannenberg GL & Vierra HLA (2009). Therapeutic applications of the gaseous mediators carbon monoxide and hydrogen sulfide. *Expert Opin Ther Patents* **19**, 663-682.
- Bao L, Locovei S, & Dahl G (2004). Pannexin membrane channels are mechanosensitive conduits for ATP. *FEBS Lett* **572**, 65-68.
- Bathori G, Parolini I, Szabo I, Tombola F, Messina A, Oliva M, Sargiacomo M, De Pinto V, & Zoratti M (2000). Extramitochondrial porin: facts and hypotheses. *J Bioenerg Biomemb* **32**, 79-89.
- Benavides GA, Squadrito GL, Mills RW, Patel HD, Isbell TS, Patel RP, Darley-Usmar VM, Doeller JE, & Kraus DW (2007). Hydrogen sulfide mediates the vasoactivity of garlic. *Proc Natl Acad Sci USA* **104**, 17977-17982.
- Bencic DC, Yates TJ, & Ingermann RL (1997). Ecto-ATPase activity of vertebrate blood cells. *Physiol Zool* **70**, 621-630.

- Berenbrink M, Volkel S, Koldkjar P, Heisler N, & Nikinmaa M (2006). Two different oxygen sensors regulate oxygen-sensitive K<sup>+</sup> transport in crucian carp red blood cells. *J Physiol* **575**, 37-48.
- Bergfeld GR & Forrester T (1992). Release of ATP from human erythrocytes in response to brief period of hypoxia and hypercapnia. *Cardiovasc Res* **26**, 40-47.
- Berra-Romani R, Rinaldi C, Rageeb A, Castelli L, Magistretti J, Taglietti V, & Tanzi F (2004). The duration and amplitude of the plateau phase of ATP- and ADP-evoked Ca<sup>2+</sup> signals are modulated by ectonucleotidase in in situ endothelial cells of rat aorta. *J Vasc Res* **41**, 166-173.
- Bogdanova A, Berenbrink M, & Nikinmaa M (2009). Oxygen-dependent ion transport in erythrocytes. *Acta Physiol (Oxf)* **195**, 305-319.
- Bosman GJCGM, Lasonder E, Luten M, Roerdinkholder-Stoelwinder B, Novotny VMJ, & De Grip WJ (2008). The proteome of red cell membranes and vesicles during storage in blood bank conditions. *Transfusion* **48**, 827-835.
- Boushel R, Landberg H, Gemmer C, Olesen J, Crameri R, Scheede C, Sander M, & Kjaer M (2002). Combined inhibition of nitric oxide and prostaglandins reduces human skeletal blood flow during exercise. *J Physiol* **543**, 691-698.
- Brugnara C, Gee B, Armsby CC, Kurth S, Sakamoto M, Rifai N, Alper SL, & Platt OS (1996). Therapy with oral clotrimazole induces inhibition of the Gardos channel and reduction of erythrocytes dehydration in patients with sickle cell disease. *J Clin Invest* **97**, 1227-1234.
- Bryk AH & Wisniewski JR (2017). Quantitative analysis of human red blood cell proteome. *J Proteome Res* **16**, 2752-2761.
- Burnstock G (2007). Physiology and pathophysiology of purinergic neurotransmission. *Physiol Rev* **87**, 659-797.
- Burnstock G & Kennedy C (1986). A dual function for adenosine 5'-triphosphate in the regulation of vascular tone. Excitatory cotransmitter with noradrenaline from perivascular nerves and locally released inhibitory intravascular agent. *Circ Res* **58**, 319-330.
- Campanella ME, Chu H, & Low PS (2005). Assembly and regulation of a glycolytic enzyme complex of the human erythrocyte membrane. *Proc Natl Acad Sci USA* **102**, 2402-2407.

- Campanella ME, Chu H, Wandersee NJ, Peters LL, Mohandas N, Gilligan DM, & Low PS (2008). Characterization of glycolytic enzyme interactions with murine erythrocyte membranes in wild-type and membrane protein knockout mice. *Blood* **112**, 3900-3906.
- Cao Z, Bell JB, Mohanty JG, Nagababu E, & Rifkind JM (2009). Nitrite enhances RBC hypoxic ATP-synthesis and the release in vasculature: a new mechanism for nitrite-induced vasodilation. *Am J Physiol Heart Circ Physiol* **297**, H1491-H1503.
- Card JW, Voltz JW, Carey MA, Bradbury a, DeGraff LM, Lih FB, Bonner JC, Morgan DL, Flake GP, & Zeldin DC (2007). Cyclooxygenase-2 deficiency exacerbates bleomycin-induced lung dysfunction but not fibrosis. *Am J Respir Crit Care Med* **37**, 300-308.
- Cassoly R (1983). Quantitative analysis of the association of human hemoglobin with the cytoplasmic fragment of band 3 protein. *J Biol Chem* **258**, 3859-3864.
- Cheang WS, Wong WT, Shen B, Lau CW, Tian XY, Tsang SY, Yao X, Chen ZY, & Huang Y (2010). 4-Aminopyridine-sensitive K<sup>+</sup> channels contribute to NaHS-induced membrane hyperpolarization and relaxation in the rat coronary artery. *Vascular Pharmacol* **53**, 94-98.
- Cheng Y, Ndisang JF, Tang G, Cao K, & Wang R (2004). Hydrogen sulfide-induced relaxation of resistance mesenteric artery of rats. *Am J Physiol Heart Circ Physiol* **287**, H2316-H2323.
- Chetrite G & Cassoly R (1985). Affinity of hemoglobin for the cytoplasmic fragment of human erythrocyte membrane band 3. Equilibrium measurements at physiological pH using matrix-bound proteins: the effects of ionic strength, deoxygenation and of 2,3-diphosphoglycerate. *J Mol Biol* **185**, 639-644.
- Chiu YH, Ravichandran KS, & Bayliss DA (2014). Intrinsic properties and regulation of pannexin 1 channels. *Channels* **8**, 103-109.
- Chu H, McKenna MM, Krump NA, Zheng S, Mendelsohn L, Thein SL, Garrett LJ, Bodine DM, & Low PS (2016). Reversible binding of hemoglobin to band 3 constitutes the molecular switch that mediates O<sub>2</sub> regulation of erythrocyte properties. *Blood* **128**, 2708-2716.
- Cimen MY (2008). Free radical metabolism in human erythrocytes. *Clin Chim Acta* **390**, 1-11.
- Collins DM, McCullough WT, & Ellsworth ML (1998). Conducted vascular responses: communication across the capillary bed. *Microvasc Res* **56**, 43-53.

- Colombini M (2012). VDAC structure, selectivity, and dynamics. *Biochim Biophys Acta* **289**, 1275-1281.
- Cosby K, Partovi KS, Crawford JH, Patel RP, Reiter CD, Martyr S, Yang BK, Waclawiw MA, Zalos G, Xu X, Huang KT, Shields H, Kim-Shapiro DB, Schechter AN, Cannon III RO, & Gladwin MT (2003). Nitrite reduction to nitric oxide by deoxyhemoglobin vasodilates the human circulation. *Nature Med* **9**, 1498-1505.
- Cox J & Mann M (2008). MaxQuant enables high peptide identification rates, individualized p.p.b.-range mass accuracies and proteome-wide protein quantification. *Nature Biotechnol* **26**, 1367-1372.
- Cox J & Mann M (2011). Quantitative, high-resolution proteomics for data-driven systems biology. *Ann Rev Biochem* **80**, 273-299.
- D'Alessandro A, Righetti PG, & Zolla L (2010). The red blood cell proteome and interactome: an update. *J Proteome Res* **9**, 144-163.
- D'Amici GM, Rinalducci S, & Zolla L (2007). Proteomic analysis of RBC membrane protein degradation during blood storage. *J Proteome Res* **6**, 3242-3255.
- D'hondt C, Ponsaerts R, De Smedt H, Vinken M, De Vuyst E, De Bock M, Wang N, Rogiers V, Leybaert L, Himpens B, & Bultynck G (2011). Pannexin channels in ATP release and beyond: an unexpected rendezvous at the endoplasmic reticulum. *Cell Signal* **23**, 305-316.
- Dalsgaard T, Simonsen U, & Fago A (2007). Nitrite-dependent vasodilation is facilitated by hypoxia and is independent of known NO-generating nitrite reductase activities. *Am J Physiol Heart Circ Physiol* **292**, H3072-H3078.
- Dando R & Roper SD (2009). Cell-to-cell communication in intact buds through ATP signalling from pannexin 1 gap junction hemichannels. *J Physiol* **587**, 5899-5906.
- Davis MJ & Hill MA (1999). Signaling mechanisms underlying the vascular myogenic response. *Physiol Rev* **79**, 387-423.
- Di Virgilio F, Chiozzi P, Falzoni S, Ferrari D, Sanz JM, Venketaraman V, & Baricordi OR (1998). Cytolytic P2X purinoceptors. *Cell Growth & Differentiation* **5**, 191-199.

- Dietrich HH, Ellsworth ML, Sprague RS, & Dacey RG (2000). Red blood cell regulation of microvascular tone through adenosine triphosphate. *Am J Physiol Heart Circ Physiol* **278**, H1294-H1298.
- Diez-Silva M, Dao M, Han J, Lim CT, & Suresh S (2010). Shape and biomechanical characteristics of human red blood cells in health and disease. *MRS Bull* **35**, 382-388.
- Drakulich DA, Spellmon C, & Hexum TD (2004). Effect of ecto-ATPase inhibitor, ARL 67156, on the bovine chromatin cell response to ATP. *Eur J Pharmacol* **485**, 137-140.
- Duza T & Sarelius IH (2003). Conducted dilations initiated by purines in arterioles are endothelium dependent and require endothelial calcium. *Am J Physiol Heart Circ Physiol* **285**, H26-H37.
- Ellsworth ML, Ellis CG, Goldman D, Stephenson AH, Dietrich HH, & Sprague RS (2008). Erythrocytes: oxygen sensors and modulators of vascular tone. *Physiology* **24**, 107-116.
- Ellsworth ML, Ellis CG, Goldman D, Stephenson AH, Dietrich HH, & Sprague RS (2009). Erythrocytes: oxygen sensors and modulators of vascular tone. *Physiology* **24**, 107-116.
- Ellsworth ML, Forrester T, Ellis CG, & Dietrich HH (1995). The erythrocyte as a regulator of vascular tone. *Am J Physiol* **269**, H2155-H2161.
- Ellsworth ML & Sprague RS (2012). Regulation of blood flow distribution in skeletal muscle: role of erythrocyte-released ATP. *J Physiol* **590**, 4985-4991.
- Лунева ОГ, Сидоренко СВ, Максимов ГВ, Григорчик Р, & Орлов СН (2015). Эритроциты как регуляторы сосудистого тонуса. *Биологические мембраны* **32**, 223-234.
- Fang L, Zhao J, Chen Y, Ma T, Xu G, Tang C, Liu X, & Geng B (2009). Hydrogen sulfide derived from periadventitial adipose tissue is a vasodilator. *J Hypertens* **27**, 2174-2185.
- Fischer DJ, Torrence NJ, Sprung RJ, & Spence DM (2003). Determination of erythrocyte deformability and its correlation to cellular ATP release using microprobe tubing with diameter that approximate resistance vessels in vivo. *Analyst* **128**, 1163-1168.
- Folkow B (2010). Cardiovascular "remodeling" in rat and human: time axis, extent, and in vivo relevance. *Physiology* **25**, 264-265.

Forrester T & Lind AR (1969). Identification of adenosine triphosphate in human plasma and the concentration in the venous effluent of forearm muscles before, during and after sustained contractions. *J Physiol* **204**, 347-364.

Forsyth AM, Wan J, Owrutsky PD, Abkarian M, & Stone HA (2011). Multiscale approach to link red blood cell dynamics, shear viscosity, and ATP release. *Proc Natl Acad Sci USA* **108**, 10986-10991.

Freedman DS, Liu Y, Rusch NJ, & Lombard JH (2012). Role of endothelium and arterial K<sup>+</sup> channels in mediating hypoxic dilation of middle cerebral arteries. *Am J Physiol* **267**, H580-H586.

Gaffney B & McConnell N (1974). Paramagnetic resonance spectra of spin labels in phospholipid membranes. *J Magnetic Resonance* **16**, 1-28.

Girouard H & Iadecola C (2006). Neurovascular coupling in the normal brain and in hypertension, stroke, and Alzheimer disease. *J Appl Phys* **100**, 328-335.

Gladwin MT, Lancaster JR, Freeman BA, & Schechter AN (2003). Nitric oxide's reactions with hemoglobin: a view through the SNO-storm. *Nat Med* **9**, 496-500.

Glogowska E, Dyrda A, Cuffe A, Bouyer G, Egee S, Bennekou P, & Thomas SLY (2010). Anion conductance of the human red cell is carried by a maxi-anion channel. *Blood cells, Molecules, and Diseases* **44**, 243-251.

Gonzalez-Alonso J (2012). ATP as a mediator of erythrocyte-dependent regulation of skeletal muscle blood flow and oxygen delivery in humans. *J Physiol* **590**, 5001-5013.

Gonzalez-Alonso J, Olsen DB, & Saltin B (2002). Erythrocyte and regulation of human skeletal muscle blood flow and oxygen delivery. Role of circulating ATP. *Circ Res* **91**, 1046-1055.

Greenwalt TJ (2006). The how and why of exocytic vesicles. *Transfusion* **46**, 143-152.

Grygorczyk R & Hanrahan JW (1997a). CFTR-independent ATP release from epithelial cell triggered by mechanical stimuli. *Am J Physiol* **272**, C1058-C1066.

Grygorczyk R & Hanrahan JW (1997b). Cystic fibrosis transmembrane conductance regulator and adenosine triphosphate. *Science* **275**, 1325-1326.

Grygorczyk R, Tabcharani JA, & Hanrahan JW (1996). CFTR channels expressed in CHO cells do not have detectable ATP conductance. *J Membr Biol* **151**, 139-148.

Hammer LW, Ligon AL, & Hester RL (2001). ATP-mediated release of arachidonic acid metabolites from venular endothelium causes arteriolar dilation. *Am J Physiol Heart Circ Physiol* **280**, H2616-H2622.

Harder DR, Narayanan J, Birks EK, Liard JF, Imig JD, Lombard JH, Lange AR, & Roman RJ (1996). Identification of a putative microvascular oxygen sensor. *Circ Res* **79**, 54-61.

Hazama A, Miwa A, Miyoshi T, & Okada Y (1998). ATP release from swollen or CFTR-expressing epithelial cells. In *Cell volume regulation: the molecular mechanism and volume sensing machinery*, ed. Okada Y, pp. 93-98. Elsevier Science, Amsterdam.

Hegedus T, Chaubey PM, Varady G, Szabo E, Saranko H, Hofstetter L, Roschitzki B, Stieger B, & Sarkadi B (2015). Inconsistencies in red blood cell membrane proteome analysis: generation of a database for research and diagnostic applications. *Database* doi:10.1093/database/bav056.

Higashi T, Richards CS, & Uyeda K (1979). The interaction of phosphofructokinase with erythrocyte membranes. *J Biol Chem* **254**, 9542-9550.

Hill MA, Davis MJ, Meininger GA, Potocnik SJ, & Murphy TV (2006). Arteriolar myogenic signaling mechanisms: implications for local vascular functions. *Clin Hemorheol Microcirc* **34**, 67-79.

Hu S, Li X, LaPenna KB, Yokota SD, Huke S, & He P (2017). New insights into shear stress-induced endothelial signaling and barrier function: cell-free fluid versus blood flow. *Cardiovasc Res* **113**, 508-518.

Isbell TS, Sun CW, Wu LC, Teng X, Vitturi DA, Branch BG, Kevil CG, Peng N, Wyss JM, Ambalavanan N, Schwiebert L, Ren J, Pawlik KM, Renfrow MB, Patel RP, & Townes TM (2008). SNO-hemoglobin not essential for red blood cell dependent hypoxic vasodilation. *Nat Med* **14**, 773-777.

Орлов СН & Кравцов ГМ (1983). Участие кальмодулина в регуляции электрического потенциала плазматической мембраны внутриклеточным кальцием. *Биохимия* **48**, 1447-1455.

Jackson WF (1987). Arteriolar oxygen reactivity: where is the sensor? *Am J Physiol Heart Circ Physiol* **253**, H1120-H1126.

Jagger JE, Bateman RM, Ellsworth ML, & Ellis CG (2015). Role of erythrocyte in regulating local O<sub>2</sub> delivery mediated by hemoglobin oxygenation. *Am J Physiol Heart Circ Physiol* **280**, H2833-22839.

Jensen FB (2004). Red blood cell pH, the Bohr effect, and other oxygenation-linked phenomena in blood O<sub>2</sub> and CO<sub>2</sub> transport. *Acta Physiol Scand* **182**, 215-227.

Jensen FB (2009). The dual roles of red blood cells in tissue oxygen delivery: oxygen carriers and regulator of local blood flow. *J Exp Biol* **212**, 3387-3393.

Jensen FB, Agnisola C, & Novak I (2009). ATP release and extracellular nucleotidase activity in erythrocytes and coronary circulation of rainbow trout. *Comp Biochem Physiol A Mol Integr Physiol* **152**, 351-356.

Kalsi KK & Gonzalez-Alonso J (2012). Temperature-dependent release of ATP from human erythrocytes: mechanism for the control of local tissue perfusion. *Exp Physiol* **97**, 419-432.

Keller AS, Diederich L, Panknin C, DeLalio LJ, Drake JC, Sherman R, Jackson EK, Yan Z, Kelm M, Cortese-Krott MM, & Isakson BE (2017). Possible roles for ATP release from RBCs exclude the cAMP-mediated and Panx1 pathway. *Am J Physiol Cell Physiol* **313**, C593-C603.

Kirby BS, Crecelius AR, Voyles WF, & Dinunno FA (2012). Impaired skeletal muscle blood flow control with advancing age in humans. Attenuated ATP release and local vasodilatation during erythrocyte deoxygenation. *Circ Res* **111**, 220-230.

Knutson M & Wessling-Resink M (2003). Iron metabolism in the reticuloendothelial system. *Crit Rev Biochem Mol Biol* **38**, 61-88.

Koltsova SV, Kotelevtsev SV, Tremblay J, Hamet P, & Orlov SN (2009). Excitation-contraction coupling in resistant mesenteric arteries: evidence for NKCC1-mediated pathway. *Biochem Biophys Res Commun* **379**, 1080-1083.

Koltsova SV, Shilov B, Burulina JG, Akimova OA, Haloui M, Kapilevich LV, Gusakova SV, Tremblay J, Hamet P, & Orlov SN (2014). Transcriptomic changes triggered by hypoxia: evidence for HIF-1 $\alpha$  -independent, [Na<sup>+</sup>]<sub>i</sub>/[K<sup>+</sup>]<sub>i</sub>-mediated excitation-transcription coupling . *PLoS One* **9**, e110597.

Koltsova SV, Tremblay J, Hamet P, & Orlov SN (2015). Transcriptomic changes in Ca<sup>2+</sup>-depleted cells: role of elevated intracellular [Na<sup>+</sup>]/[K<sup>+</sup>] ratio. *Cell Calcium* **58**, 317-324.

Koltsova SV, Trushina Y, Haloui M, Akimova OA, Tremblay J, Hamet P, & Orlov SN (2012). Ubiquitous [Na<sup>+</sup>]<sub>i</sub>/[K<sup>+</sup>]<sub>i</sub>-sensitive transcriptome in mammalian cells: evidence for Ca<sup>2+</sup>-independent excitation-transcription coupling. *PLoS One* **7**, e38032.

Kristensen K, Koldkjar P, Berenbrink M, & Wang T (2007). Oxygen-sensitive regulatory volume increase and Na transport in red blood cells from the cane toad, *Bufo marinus*. *J Exp Biol* **210**, 2290-2299.

Laemmli UK (1970). Cleavage of structural proteins during the assembly of the head of bacteriophage T4. *Nature* **227**, 680-685.

Lang F, Gullbins E, Lang PA, Zappulla D, & Foller M (2010). Ceramide in suicidal death of erythrocytes. *Cell Physiol Biochem* **26**, 21-28.

Lazarowski ER, Sesma JL, Seminario-Vidal L, & Kreda SM (2011). Molecular mechanisms of purine and pyrimidine nucleotide release. *Adv Pharmacol* **61**, 221-261.

Lee I-T & Yang C-M. Inflammatory signalings involved in airway and pulmonary diseases. 2013. Hindawi Publishing Corporation.

Ref Type: Pamphlet

Leffler CW, Parfenova H, & Jaggar JH (2011). Carbon monoxide as an endogenous vascular modulator. *Am J Physiol Heart Circ Physiol* **301**, H1-H11.

Leffler CW, Parfenova H, Jaggar JH, & Wang R (2006). Carbon monoxide and hydrogen sulfide: gaseous messengers in cerebrovascular circulation. *J Appl Phys* **100**, 1065-1076.

Lewis IA, Campanella ME, Markley JL, & Low PS (2009). Role of band 3 in regulating metabolic flux of red blood cells. *Proc Natl Acad Sci USA* **106**, 18515-18520.

Li C, Ramjeesingh M, & Bear CE (1996). Purified cystic fibrosis transmembrane conductance regulator (CFTR) does not function as an ATP channels. *J Biol Chem* **271**, 11623-11626.

Li F, Chen CU, & Ohl CD (2013). Yield strength of human erythrocyte membranes to impulsive stretching. *Biophys J* **105**, 872-879.

- Li X, Bazer FW, Gao H, Jobgen W, Johnson GA, Li P, McKnight JR, Satterfield MC, Spencer TE, & Wu G (2009). Amino acids and gaseous signaling. *Amino Acids* **37**, 65-78.
- Locovei S, Bao L, & Dahl G (2006). Pannexin 1 in erythrocytes: function without a gap. *Proc Natl Acad Sci USA* **103**, 7655-7659.
- Loutzenhiser R, Griffin K, Williamson G, & Bidani A (2006). Renal autoregulation: new perspectives regarding the protective and regulatory roles of the underlying mechanisms. *Am J Physiol Regul Integr Comp Physiol* **290**, R1153-R1167.
- Low PS, Westfall MA, Allen DP, & Appel KC (1984). Characterization of the reversible conformational equilibrium of the cytoplasmic domain of erythrocyte membrane band 3. *J Biol Chem* **259**, 13070-13076.
- Lowicka E & Beltowski J (2007). Hydrogen sulfide (H<sub>2</sub>S) - the third gas of interest for pharmacologists. *Pharmacol Rep* **59**, 4-24.
- Lowry OH, Rosebrough NJ, Farr AJ, & Randall RJ (1951). Protein measurement with the Folin phenol reagent. *J Biol Chem* **193**, 265-275.
- Lynch FM, Austin C, Heagerty AM, & Izzard AS (2006). Adenosine and hypoxic dilation of rat coronary small arteries: roles of the ATP-sensitive potassium channel, endothelium, and nitric oxide. *Am J Physiol Heart Circ Physiol* **299**, H1145-H1150.
- Ma B, Zhang K, Hendrie C, Liang C, Li M, Doherty-Kirby A, & Lajoie G (2003). PEAKS: powerful software for peptide de novo sequencing by tandem mass spectroscopy. *Rapid Communication in Mass Spectrometry* **17**, 2337-2342.
- Ma W, Compan V, Zheng W, Martin E, North RA, Verkhratsky A, & Surprenant A (2012). Pannexin 1 forms an anion-selective channel. *Pfluger Arch - Eur J Physiol* **463**, 585-592.
- Ma W, Hui H, Pelegrin P, & Surprenant A (2009). Pharmacological characterization of pannexin-1 currents expressed in mammalian cells. *J Pharmacol Exp Ther* **328**, 409-418.
- Mairbaurl H (2013). Red blood cells in sports: effects of exercise and training on oxygen supply by red blood cells. *Front Physiol* **4**, Article 332.
- Mairbaurl H, Ruppe FA, & Bartsch P (2013). Role of hemolysis in red cell adenosine triphosphate release in simulated exercise conditions in vitro. *Med Sci Sports Exerc* **10**, 1941-1947.

- Malczyk M, Erb A, Veith C, Ghofrani HA, Schermuly RT, Gudermann T, Dietrich A, Weissmann N, & Sydykov A (2017). The role of transient receptor potential channel 6 channels in the pulmonary vasculature. *Front Immunol* **8**, doi: 10.3389/fimmu.2017/00707.
- Mancardi D, Penna C, Merlino A, Del Soldato P, Wink DA, & Pagliaro P (2009). Physiological and pharmacological features of the novel gasotransmitter: hydrogen sulfide. *Biochim Biophys Acta* **1787**, 864-872.
- Mancuso JE, Jayaraman A, & Ristenpart WD (2018). Centrifugation-induced release of ATP from red blood cells. *PLoS One* **13**, e0203270.
- Mancuso JE & Ristenpart WD (2018). A spike in mechanotransductive adenosine triphosphate release from red blood cells in microfluidic constrictions only occurs with rare donors. *Microcirculation* **25**, e12439.
- Mao T-Y, Fu L-L, & Wang J-S (2011). Hypoxic exercise training causes erythrocyte senescence and rheological dysfunction by depressed Gardos channel activity. *J Appl Physiol* **111**, 382-391.
- Matayoshi ED, Sawyer WH, & Jovin TM (1991). Rotational diffusion of band 3 in erythrocyte membranes. 2. Binding of cytoplasmic enzymes. *Biochemistry* **30**, 3538-3543.
- McCullough WT, Collins DM, & Ellsworth ML (1997). Arteriolar responses to extracellular ATP in striated muscle. *Am J Physiol* **272**, H1886-H1891.
- McKenna MJ, Bangsbo J, & Renaud JM (2008). Muscle K<sup>+</sup>, Na<sup>+</sup>, and Cl<sup>-</sup> disturbances and Na<sup>+</sup>-K<sup>+</sup> pump inactivation: implications for fatigue. *J Appl Phys* **104**, 288-295.
- McMahon TJ, Moon RE, Luschinger BP, Carraway MB, Stone AE, Stolp BW, Gow AJ, Pawloski JR, Watke P, Singel DJ, Piantadosi CA, & Stamler JS (2002). Nitric oxide in the human respiratory cycle. *Nat Med* **8**, 711-717.
- Melher P, Jeffers B, Estacio R, & Schrier R (1997). Association of hypertension and complications in NIDDM. *Am J Hypertens* **10**, 152-161.
- Messana I, Orlando M, Cassiano M, Pennacchietti L, Zuppi C, Castagnola M, & Giardina B (1996). Human erythrocyte metabolism is modulated by the O<sub>2</sub>-linked transition of hemoglobin. *FEBS Lett* **390**, 25-28.

- Montalbetti N, Leal Denis MF, Pignataro O, Kobatake E, Lazarowski ER, & Schwarzbaum PJ (2011a). Homeostasis of extracellular ATP in human erythrocytes. *J Biol Chem* **286**, 38397-38407.
- Montalbetti N, Leal Denis MF, Pignataro OP, Kobatake E, Lazarowski ER, & Schwarzbaum PJ (2011b). Homeostasis of extracellular ATP in human erythrocytes. *J Biol Chem* **286**, 38397-38407.
- Mortensen SP, Gonzalez-Alonso J, Bune LT, Saltin B, Pilegaard H, & Hellsten Y (2009). ATP-induced vasodilation and purinergic receptors in human leg: roles of nitric oxide, prostaglandins, and adenosine. *Am J Physiol Integr Comp Physiol* **296**, R1140-R1148.
- Murphy KT, Nielsen OB, & Clausen T (2008). Analysis of exercise-induced Na<sup>+</sup>-K<sup>+</sup> exchange in rat skeletal muscle. *Exp Physiol* **93**, 1249-1262.
- Murthy SNP, Liu T, Kaul RK, Kohler H, & Steck TL (1981). The aldolase-binding site of the human erythrocyte membrane is at the NH<sub>2</sub> terminus of band 3. *J Biol Chem* **256**, 11203-11208.
- Muzyamba MC, Cossins AR, & Gibson JS (1999). Regulation of Na<sup>+</sup>-K<sup>+</sup>-2Cl<sup>-</sup> cotransport in turkey red cells: the role of oxygen tension and protein phosphorylation. *J Physiol* **517**, 421-429.
- Nikinmaa M (1992). Membrane transport and control of hemoglobin-oxygen affinity in nucleated erythrocytes. *Physiol Rev* **72**, 301-322.
- Nikinmaa M (2002). Oxygen-dependent cellular functions - why fishes and aquatic environment are a prime choice of study. *Comp Biochem Physiol Part A* **133**, 1-16.
- Olearczyk JJ, Ellsworth ML, Stephenson AH, Lonigro AJ, & Sprague RS (2004). Nitric oxide inhibits ATP release from erythrocytes. *J Pharmacol Exp Ther* **309**, 1079-1084.
- Olearczyk JJ, Stephenson AH, Lonigro AJ, & Sprague RS (2001). Receptor-mediated activation of the heterotrimeric G-protein G<sub>s</sub> results in ATP release from erythrocytes. *Med Sci Monit* **7**, 669-674.
- Orbach A, Zelig O, Yedgar S, & Barshtein HA (2017). Biophysical and biochemical marker of red blood cell stability. *Transfus Med Hemother* **44**, 183-187.
- Orlov SN (2007). On the history of ecto-ATPases: the role of W.A.Engelhardt. *Purinergic Signaling* **3**, 231-232.

- Orlov SN, Aksentsev SL, & Kotelevtsev SV (2005). Extracellular calcium is required for the maintenance of plasma membrane integrity in nucleated cells. *Cell Calcium* **38**, 53-57.
- Orlov SN & Skryabin GA (1993). Catecholamine- and volume-dependent ion fluxes in carp (*Cyprinus carpio*) red blood cells. *J Comp Physiol* **163**, 413-420.
- Palfrey HC & Greengard P (1981). Hormone-sensitive ion transport systems in erythrocytes as models for epithelial ion pathways. *Ann Proc New York Acad Sci* **372**, 291-309.
- Park Y, Best CA, Auth T, Gov NS, Safran SA, Popescu G, Suresh S, & Feld MS (2010). Metabolic remodelling of the human red blood cell membrane. *Proc Natl Acad Sci USA* **107**, 1289-1294.
- Parker JC & Snow RL (1972). Influence of external ATP on the permeability and metabolism of dog red blood cells. *Am J Physiol* **223**, 888-893.
- Pasini EM, Lutz HU, Mann M, & Thomas AW (2010). Red blood cell (RBC) membrane proteomics - Part I: Proteomics and RBC physiology. *J Proteomics* **73**, 403-420.
- Petroski MD & Deshaies RJ (2005). Function and regulation of cullin-RING ubiquitin ligases. *Nat Rev Mol Cell Biol* **6**, 9-20.
- Post JM, Hume JR, Archer SL, & Weir EK (1992). Direct role for potassium channel inhibition in hypoxic pulmonary vasoconstriction. *Am J Physiol* **262**, C882-C890.
- Praetorius HA & Leipziger J (2009). ATP release from non-excitabile cells. *Purinergic Signaling* **5**, 433-436.
- Price AK, Fischer DJ, Martin RS, & Spence DM (2004). Deformation-induced release of ATP from erythrocytes in a poly(dimethylsiloxane)-based microchip with channels that mimic resistance vessels. *Anal Chem* **76**, 4849-4855.
- Puchulu-Campanella E, Chu H, Anstee DJ, Galan JA, Tao WA, & Low PS (2013). Identification of the components of glycolytic enzyme metabolon on the human red blood cell membrane. *J Biol Chem* **288**, 848-858.
- Qiu F, Wang J, Spray DC, Scemes E, & Dahl G (2011). Two non-vesicular ATP release pathways in the mouse erythrocyte membrane. *FEBS Letters* **585**, 3430-3435.

Ransford GA, Fregien N, Qui F, Dahl G, Conner GE, & Salathe M (2009). Pannexin 1 contributes to ATP release in airway epithelia. *Am J Respir Cell Mol Biol* **41**, 525-534.

Reddy MM, Quinton PM, Haws C, Wine JJ, Grygorczyk R, Tabcharani JA, Hanrahan JW, Gunderson KL, & Kopito RR (1996). Failure of cystic fibrosis transmembrane conductance regulator to conduct ATP. *Science* **271**, 1876-1879.

Reho JJ, Zheng X, & Fisher SA (2014). Smooth muscle contractile diversity in the control of regional circulations. *Am J Physiol Heart Circ Physiol* **306**, H163-H172.

Reisin IL, Prat AG, Abraham EH, Amara JF, Gregory RJ, Ausiello DA, & Cantiello HF (1994). The cystic fibrosis transmembrane conductance regulator is a dual ATP and chloride channel. *J Biol Chem* **269**, 20584-20591.

Reithmeier RAE, Casey JR, Kalli AC, Sansom MSP, Alguet Y, & Iwata S (2016). Band 3, the human red cell chloride/bicarbonate exchanger (AE1, SLC4A1), in a structural context. *Biochim Biophys Acta* **1858**, 1507-1532.

Rifkind JM & Nagababu E (2013). Hemoglobin redox reactions and red blood cell aging. *Antioxid Redox Signal* **18**, 2274-2283.

Romanello M, Pani B, Bicego M, & D'Andrea P (2001). Mechanically-induced ATP release from human osteoblastic cells. *Biochem Biophys Res Commun* **289**, 1275-1281.

Romanov RA, Bystrova MF, Rogachevskaya OA, Sadovnikov VB, Shestopalov VI, & Kolesnikov SS (2012). The ATP permeability of pannexin 1 channels in heterologous system and in mammalian taste cells is dispensable. *J Cell Sci* **125**, 5514-5523.

Rostovtseva T & Colombini M (1997). VDAC channels mediate and gate the flow of ATP release: implications for the regulation of mitochondrial function. *Biophys J* **72**, 1954-1962.

Rother RP, Bell L, Hillmen P, & Gladwin MT (2005). The clinical sequelae of intravascular hemolysis and extracellular plasma hemoglobin. A novel mechanism of human disease. *JAMA* **293**, 1653-1662.

Rowel LB, Saltin B, Kiens B, & Christensen NJ (1986). Is peak quadriceps blood flow in humans even higher during exercise with hypoxemia? *Am J Physiol Heart Circ Physiol* **251**, H1038-H1044.

- Sabirov RZ, Merzlyak PK, Islam R, Okada T, & Okada Y (2016). The properties, functions, and pathophysiology of maxi-anion channels. *Pfluger Arch - Eur J Physiol* **468**, 405-420.
- Sabirov RZ, Merzlyak PK, Okada T, Islam R, Uramoto H, Mori T, Makino Y, Matsuura H, Xie Y, & Okada Y (2017). The organic anion transporter SLCO2A1 constitutes the core component of the Maxi-Cl channel. *EMBO J* **in press**.
- Sabirov RZ & Okada Y (2005). ATP release via anion channels. *Purinergic Signaling* **1**, 311-328.
- Sabirov RZ, Sheiko T, Liu H, Deng D, Okada Y, & Craigen WJ (2006). Genetic demonstration that the plasma membrane maxianion channel and voltage-dependent anion channels are unrelated proteins. *J Biol Chem* **281**, 1897-1904.
- Sarikas A, Hartman T, & Pan ZQ (2011). The cullin protein family. *Genome Biol* **12**, 220.
- Schreier-Muccillo S & Marsh O (1976). Monitoring the permeability profile of lipid membranes with spin probes. *Arch Biochem Biophys* **172**, 1-11.
- Schubert R & Mulvany MJ (1999). The myogenic response: established facts and attractive hypothesis. *Clin Sci* **96**, 313-326.
- Sega MF, Chu H, Christian J, & Low PS (2012). Interaction of deoxyhemoglobin with the cytoplasmic domain of murine erythrocyte band 3. *Biochemistry* **51**, 3264-3272.
- Sega MF, Chu H, Christian JA, & Low PS (2015). Fluorescence assay of the interaction between hemoglobin and the cytoplasmic domain of erythrocyte membrane band 3. *Blood Cells, Molecules and Diseases* **55**, 266-271.
- Shaskey DJ & Green GA (2000a). Sports haematology. *Sports Med* **29**, 27-38.
- Shaskey DJ & Green GA (2000b). Sports haematology. *Sports Med* **29**, 27-38.
- Shridharan M, Bowles EA, Richards JP, Krantic M, Davis KL, Dietrich KA, Stephenson AH, Ellsworth ML, & Sprague RS (2012). Prostacyclin receptor-mediated ATP release from erythrocytes requires the voltage-dependent anion channel. *Am J Physiol Heart Circ Physiol* **302**, H553-H559.
- Sikora J, Orlov SN, Furuya K, & Grygorczyk R (2014). Hemolysis is a primary ATP-release mechanism in human erythrocytes. *Blood* **124**, 2150-2157.

Sikora J, Orlov SN, Furuya K, & Grygorczyk R (2015). Hemolysis is a primary and physiological relevant ATP release mechanism in human erythrocytes. *Blood* **125**, 1845-1846.

Singel DJ & Stamler JS (2005). Chemical physiology of blood flow regulation by red blood cells: the role of nitric oxide and S-nitrosohemoglobin. *Annu Rev Physiol* **67**, 99-145.

Sluyter R, Shemon AN, Barden JA, & Wiley JS (2004). Extracellular ATP increases cation fluxes in human erythrocytes by activation of the P2X7 receptors. *J Biol Chem* **43**, 44749-44755.

Sluyter R, Shemon AN, & Wiley JS (2007). P2X7 receptor activation causes phosphatidylserine exposure in human erythrocytes. *Biochem Biophys Res Commun* **355**, 169-173.

Sprague RS, Bowles EA, Achilleus D, Stephenson AH, Ellis CG, & Ellsworth ML (2012). A selective phosphodiesterase 3 inhibitor rescues low PO<sub>2</sub>-induced ATP release from erythrocytes of humans with type 2 diabetes: implications for vascular control. *Am J Physiol Heart Circ Physiol* **302**, H553-H559.

Sprague RS & Ellsworth ML (2012). Erythrocyte-derived ATP and perfusion distribution: role of intracellular and intracellular communication. *Microcirculation* **19**, 430-439.

Sprague RS, Ellsworth ML, Stephenson AH, Kleinhenz ME, & Lonigro AJ (1998). Deformation-induced ATP release from red blood cells requires CFTR activity. *Am J Physiol Heart Circ Physiol* **275**, H1726-H1732.

Sprague RS, Ellsworth ML, Stephenson AH, & Lonigro AJ (1996). ATP: the red blood cell link to NO and local control of the pulmonary circulation. *Am J Physiol* **271**, H2717-H2722.

Sprague RS, Goldman D, Bowles EA, Achilleus D, Stephenson AH, Ellis CG, & Ellsworth ML (2010). Divergent effects of low O<sub>2</sub> tension and iloprost on ATP release from erythrocytes of humans with type 2 diabetes: implications for O<sub>2</sub> supply to skeletal muscle. *Am J Physiol Heart Circ Physiol* **299**, H566-H573.

Sprague RS, Stephens CA, & Ellsworth ML (2007). Red not dead: signaling in and from erythrocytes. *Trends Endocrin Metab* **18**, 350-355.

Sprague RS, Stephenson AH, Bowles EA, Stumpf MS, & Lonigro AJ (2006). Reduced expression of Gi in erythrocytes of humans with diabetes type 2 is associated with impairment of both cAMP generation and ATP release. *Diabetes* **55**, 3588-3593.

Sprague RS, Stephenson AH, Ellsworth ML, Keller C, & Lonigro AJ (2001). Impaired release of ATP from red blood cells of humans with primary pulmonary hypertension. *Exp Biol Med* **226**, 434-439.

Sridharan M, Adderley S, Bowles EA, Egan TM, Stephenson AH, Ellsworth ML, & Sprague RS (2010). Pannexin 1 is the conduit for low oxygen tension-induced ATP release from human erythrocytes. *Am J Physiol Heart Circ Physiol* **299**, H1146-H1152.

Sridharan M, Bowles EA, Richards JP, Krantic M, Davis KL, Dietrich KA, Stephenson AH, Ellsworth ML, & Sprague RS (2012). Prostacyclin receptor-mediated ATP release from erythrocytes requires the voltage-dependent anion channel. *Am J Physiol Heart Circ Physiol* **302**, H553-H559.

Stamler JS, Jia L, Eu JP, McMahon TJ, Demchenko IT, Bonaventura J, Gernet K, & Piantadosi CA (1997). Blood flow regulation by s-nitrosohemoglobin in the physiological oxygen gradient. *Science* **276**, 2034-2037.

Stefanovic M, Puchulu-Campanella E, Kodippili G, & Low PS (2013). Oxygen regulates the band 3-ankyrin bridge in the human erythrocyte membrane. *Biochem J* **449**, 143-150.

Sugita M, Yue Y, & Foskett JK (1998). CFTR Cl-channel and CFTR-associated ATP channel: distinct pores regulated by common gates. *EMBO J* **17**, 898-908.

Sun K, Zhang Y, D'Alessandro A, Nemkov T, Song A, Wu H, Liu H, Adebyi M, Huang A, Wen YE, Bogdanov MV, Vila A, O'Brien J, Kellems RE, Dowhan W, Subudhi AW, Jameson-Van Houten S, Julian CG, Lovering AT, Safo M, Hansen KC, Roach RC, & Xia Y (2016). Sphingosine-1-phosphate promotes erythrocyte glycolysis and oxygen release for adaptation to high-altitude hypoxia. *Nat Commun* **15**, 12086.

Sung W & Park PJ (1997). Dynamics of pore growth in membranes and membrane stability. *Biophys J* **73**, 1797-1804.

Sylvester JT, Shimoda LA, Aaronson PI, & Ward JP (2012). Hypoxic pulmonary vasoconstriction. *Physiol Rev* **92**, 367-520.

Tang G, Wu L, Liang W, & Wang R (2005). Direct stimulation of KATP channels by exogenous and endogenous hydrogen sulfide in vascular smooth muscle cells. *Mol Pharmacol* **68**, 1757-1764.

Tanner MJ & Gray WR (1971). The isolation and functional identification of a protein from the human erythrocyte ghost. *Biochem J* **125**, 1109-1117.

Tatur S, Groulx N, Orlov SN, & Grygorczyk R (2007). Ca<sup>2+</sup>-dependent ATP release from A549 cells involves synergic autocrine stimulation by coreleased uridine nucleotides. *J Physiol* **584**, 419-435.

Thomas SLY (2014). Intravascular hemolysis: the sacrifice of few... *Blood* **124**, 2011-2012.

Tiffert F, Etzion Z, Bookchin RM, & Lew VL (1993). Effect of deoxygenation on active and passive Ca<sup>2+</sup> transport and cytoplasmic Ca<sup>2+</sup> buffering in normal human red cells. *J Physiol* **464**, 529-544.

Tsai I-H, Murthy SNP, & Steck TL (1982). Effect of red cell membrane binding on the catalytic activity of glyceraldehyde-3-phosphate dehydrogenase. *J Biol Chem* **257**, 1438-1442.

Tsuneshige A, Imai K, & Tyuma I (1987). The binding of hemoglobin to red cell membrane lowers its oxygen affinity. *J Biochem* **101**, 695-704.

Tzounakas VL, Kriebardis AG, Georgatzakou HT, Foundoulaki-Paparizos LE, Dzieciatkowska M, Wither MJ, Nemkov T, Hansen KC, Papassideri IS, D'Alessandro A, & Antonelou MH (2016). Data on how several physiological parameters of stored red blood cells are similar in glucose 6-phosphate dehydrogenase deficient and sufficient donors. *Data Brief* **8**, 618-627.

Vaughn MW, Kuo L, & Liao JC (1998). Effective diffusion distance of nitric oxide in microcirculation. *Am J Physiol Heart Circ Physiol* **274**, H1705-H1714.

Venkstern TV & Engel'gardt VA (1955). [Adenosine-polyphosphatase of surface of nuclear erythrocytes]. *Dokl Akad Nauk SSSR* **102**(1), 133-136.

Viallat A & Abkarian M (2017). Red blood cell: from its mechanics to its motion in shear flow. *Int J Lab Hematol* **36**, 237-243.

Walder JA, Chatterjee R, Steck TL, Low PS, Musso GF, Kaiser ET, Rogers PH, & Arnone A (1984). The interaction of hemoglobin with the cytoplasmic domain of band 3 of the human erythrocyte membrane. *J Biol Chem* **259**, 10238-10246.

Wan J, Forsyth AM, & Stone HA (2011). Red blood cell dynamics: from cell deformation to ATP release. *Integr Biol (Camb)* **3**, 972-981.

- Wan J, Ristenpart WD, & Stone HA (2008). Dynamics of shear-induced ATP release from red blood cells. *Proc Natl Acad Sci USA* **105**, 16432-16437.
- Wang R (2011). Signaling pathways for the vascular effects of hydrogen sulfide. *Curr Opin Nephrol Hypertens* **20**, 107-112.
- Watt WC, Lazarowski ER, & Boucher RC (1998). Cystic fibrosis transmembrane regulator-independent release of ATP. Its implication for the regulation of P2Y2 receptors in airway epithelia. *J Biol Chem* **273**, 14053-14058.
- Wei HS, Kang H, Rasheed IYD, Zhou S, Lou N, Gershteyn A, McConnel ED, Wang Y, Richardson KE, Palmer AF, Xu C, Wan J, & Nedergaard M (2016). Erythrocytes are oxygen-sensing regulators of the cerebral microcirculation. *Neuron* **91**, 1-12.
- Wood BR, Caspers P, Puppels GJ, Pandiancherri S, & McNaughton D (2007). Resonance Raman spectroscopy of red blood cells using near-infrared laser excitation. *Anal Bioanal Chem* **387**, 1691-1703.
- Wyse JW & Butterfield DA (1988). Lipid specific spin-labeling of erythrocyte membrane: development and characterization of a new labeling procedure for a cationic spin label, CAT-18. *Analytical Letters* **21**, 1131-1140.
- Yedgar S, Koshkaryev A, & Barshtein M (2002). The red blood cell in vascular occlusion. *Pathophysiol Haemost Thromb* **32**, 263-268.
- Yegutkin GG (2014). Enzymes involved in metabolism of extracellular nucleotides and nucleosides: Functional implications and measurement of activities. *Crit Rev Biochem Mol Biol* **49**, 473-497.
- Yuan XJ, Goldman WF, Tod ML, Rubin LJ, & Blaustein MP (1993). Hypoxia reduces potassium currents in cultured rat pulmonary but not mesenteric arterial myocytes. *Am J Physiol* **264**, L116-L123.

## Приложение 1. Список общих белков идентифицированных во всех образцах NEG

Protein_ID	Gene names	Protein names	Average riBAQ
A0A0G2JSW3	Hbb	Globin a4	15.189
B1H216	Hba-a1	Globin c3	12.182
P23562	Slc4a1	Band 3 anion transport protein	6.709
A0A0G2JSH9	Prdx2	Peroxiredoxin-2	6.144
D4A678	Spta1	Spectrin, alpha, erythrocytic 1	3.465
P60711	Actb	Actin, cytoplasmic 1	3.012
D3Z9Z0	Ank1	Ankyrin 1	2.151
Q6XFR6	Gypc	Glycophorin-C	1.873
A7BFV9	N/A	Epidermal growth factor receptor pathway substrate 15	1.754
B5DEP6	N/A	Uncharacterized protein	1.754
A0A0G2K6L6	N/A	Uncharacterized protein	1.754
A0A0G2JY70	N/A	Uncharacterized protein	1.754
P20767	N/A	Ig lambda-2 chain C region	1.754
A0A0G2JXP0	N/A	Uncharacterized protein	1.754
D3ZPL2	N/A	Uncharacterized protein	1.754
Q6AYA6	N/A	Uncharacterized protein C17orf62 homolog	1.754
F1LXY6	N/A	Uncharacterized protein	1.754
F2Z3T8	N/A	Guanine nucleotide-binding protein subunit gamma	1.754
P20762	N/A	Ig gamma-2C chain C region	1.754
Q62905	N/A	Vitronectin	1.754
P08932	N/A	T-kininogen 2	1.754
MORCH6	N/A	Uncharacterized protein	1.754
D4ACR1	N/A	Uncharacterized protein	1.754
B6DYQ5	N/A	Glutathione S-transferase omega 1	1.754
A0A0G2K3Z9	N/A	Uncharacterized protein	1.754
Q65ZS7	N/A	Rat apolipoprotein E protein	1.754
P11517	N/A	Hemoglobin subunit beta-2	1.754
Q499P8	N/A	RUS1 family protein C16orf58 homolog	1.754
B5DF57	Epb42	Erythrocyte membrane protein band 4.2	1.750
A0A0G2KAK2	Epb41	Erythrocyte membrane protein band 4.1	1.512
Q6F6B2	Mpp1	p55 protein	1.489
Q63610	Tpm3	Tropomyosin alpha-3 chain	1.190
O88775	Emb	Embigin	1.171
P29975	Aqp1	Aquaporin-1	0.833
P04762	Cat	Catalase	0.748
Q6PED0	Rps27a	RCG23287, isoform CRA_a	0.700
P63018	Hspa8	Heat shock cognate 71 kDa protein	0.577
P53987	Slc16a1	Monocarboxylate transporter 1	0.574
P02770	Alb	Serum albumin	0.555
A0A0G2JSH5	Alb	Serum albumin	0.555
Q6IMZ5	Tmod1	Tropomodulin-1	0.530
Q5X104	Stom	RCG45489, isoform CRA_a	0.502
P46462	Vcp	Transitional endoplasmic reticulum ATPase	0.465
B1WBX5	Slc43a1	Solute carrier family 43, member 1	0.462
F8WFS9	Add2	Beta-adducin	0.436
Q6P9V6	Psm5	Proteasome subunit alpha type	0.413
O88298	Rhd	Blood group Rh	0.354
Q6P9V7	Psm1	Proteasome	0.332
P68035	Actc1	Actin, alpha cardiac muscle 1	0.327
Q5BKE5	RGD1565355	RCG24401, isoform CRA_b	0.325
P04797	Gapdh	Glyceraldehyde-3-phosphate dehydrogenase	0.310
Q63028	Add1	Alpha-adducin	0.283
D3Z299	Add1	Alpha-adducin	0.283
Q9JKB7	Gda	Guanine deaminase	0.275
A0A0G2K0W9	Psm7	Proteasome subunit alpha type	0.246
P27274	Cd59	CD59 glycoprotein	0.244
A0A0G2JSV6	Hba-a2	Globin c2	0.239
P13676	Apeh	Acylamino-acid-releasing enzyme	0.235
P20761	Igh-1a	Ig gamma-2B chain C region	0.227
P97829	Cd47	Leukocyte surface antigen CD47	0.226
P97829-2	Cd47	Leukocyte surface antigen CD47	0.226
A0A0G2JTH4	Cd47	Leukocyte surface antigen CD47	0.226
Q63910	Hba-a3	Alpha globin	0.225
Q6PDW4	Psm1	Proteasome subunit beta type	0.210
P17220	Psm2	Proteasome subunit alpha type-2	0.197
B2RZ37	Reep5	Receptor expression-enhancing protein 5	0.197

Q5XI77	Anxa11	Annexin	0.192
P60901	Psm6	Proteasome subunit alpha type-6	0.189
P60892	Prps1	Ribose-phosphate pyrophosphokinase 1	0.186
A0A0G2JYW3	Clta	Clathrin light chain	0.174
Q5PPP1	Clta	Clathrin light chain	0.174
P18420	Psm1	Proteasome subunit alpha type-1	0.169
F8V328	Rab8a	RAB8	0.167
M0RD20	Capns1	Calpain small subunit 1	0.163
P40307	Psm2	Proteasome subunit beta type-2	0.159
Q6RUV5	Rac1	Ras-related C3 botulinum toxin substrate 1	0.159
M0R8C6	Slc14a1	Urea transporter	0.154
P97571	Capn1	Calpain-1 catalytic subunit	0.153
G3V978	Dhrs11	Dehydrogenase/reductase 11	0.150
P70645	Blmh	Bleomycin hydrolase	0.146
P10252	Cd48	CD48 antigen	0.143
P21670	Psm4	Proteasome subunit alpha type-4	0.143
Q5RKJ9	Rab10	RAB10, member RAS oncogene family	0.137
D3Z841	Btnl10	Butyrophilin-like 10	0.137
Q6IE67	Psm3	Proteasome subunit alpha type	0.137
P30835	Pfkl	ATP-dependent 6-phosphofructokinase, liver type	0.136
A0A096MK30	Msn	Moesin	0.134
Q63798	Psm2	Proteasome activator complex subunit 2	0.134
F1M779	Cltc	Clathrin heavy chain	0.133
D4A2G9	Ranbp1	RAN-binding protein 1	0.131
P40112	Psm3	Proteasome subunit beta type-3	0.130
Q6GT74	Bsg	Basigin	0.129
Q9R0I8	Pip4k2a	Phosphatidylinositol 5-phosphate 4-kinase type-2 alpha	0.122
M0RAM5	Gpx1	Glutathione peroxidase	0.121
P04041	Gpx1	Glutathione peroxidase 1	0.121
Q6LDS4	Sod1	Superoxide dismutase [Cu-Zn]	0.119
P07632	Sod1	Superoxide dismutase [Cu-Zn]	0.119
P62836	Rap1a	Ras-related protein Rap-1A	0.114
A0A0H2UHM5	Pdia3	Protein disulfide-isomerase	0.111
G3V8U9	Psm4	Proteasome subunit beta	0.110
P19804	Nme2	Nucleoside diphosphate kinase B	0.106
P50115	S100a8	Protein S100-A8	0.106
Q6PDU6	Hbb-b1	Beta-glo	1.04E-01
P18418	Calr	Calreticulin	1.03E-01
Q9JHW0	Psm7	Proteasome subunit beta type-7	1.02E-01
P05065	Aldoa	Fructose-bisphosphate aldolase A	9.95E-02
F1LPV0	Nars	Asparaginyl-tRNA synthetase	9.87E-02
Q64542-4	Atp2b4	Plasma membrane calcium-transporting ATPase 4	9.72E-02
Q64542	Atp2b4	Plasma membrane calcium-transporting ATPase 4	9.72E-02
Q9Z0V5	Prdx4	Peroxioredoxin-4	9.67E-02
P07151	B2m	Beta-2-microglobulin	9.32E-02
Q64560	Tpp2	Tripeptidyl-peptidase 2	8.82E-02
P62260	Ywhae	14-3-3 protein epsilon	8.63E-02
P97546-1	Nptn	Neuroplastin	8.59E-02
P24368	Ppib	Peptidyl-prolyl cis-trans isomerase B	8.52E-02
Q9Z2S9	Flot2	Flotillin-2	8.49E-02
F1LMZ8	Psm11	26S proteasome non-ATPase regulatory subunit 11	8.46E-02
Q35509	Rab11b	Ras-related protein Rab-11B	8.34E-02
A0JN17	Kras	V-Ki-ras2 Kirsten rat sarcoma viral oncogene homolog	8.33E-02
Q3T1J1	Eif5a	Eukaryotic translation initiation factor 5A-1	8.31E-02
P61589	Rhoa	Transforming protein RhoA	8.30E-02
D3ZVQ0	Usp5	Ubiquitinyl hydrolase 1	8.29E-02
F2Z3Q8	Kpnb1	Importin subunit beta-1	8.13E-02
Q35814	Stip1	Stress-induced-phosphoprotein 1	8.06E-02
Q35567	Atic	Bifunctional purine biosynthesis protein PURH	8.05E-02
B5DF65	Blvrb	Biliverdin reductase B	7.88E-02
A0A0G2K7M2	Rad23a	RAD23 homolog A, nucleotide excision repair protein	7.86E-02
A0A0G2JSL0	LOC100360846	Proteasome subunit beta type	7.63E-02
P62198	Psmc5	26S proteasome regulatory subunit 8	7.58E-02
P06761	Hspa5	78 kDa glucose-regulated protein	7.54E-02
G3V7Q6	Psm5	Proteasome subunit beta type	7.49E-02
P82995	Hsp90aa1	Heat shock protein HSP 90-alpha	7.41E-02
M0RB05	LOC688282	Hypothetical protein LOC688282	7.38E-02
F1M761	Kel	Kell blood group, metallo-endopeptidase	7.36E-02
P62630	Eef1a1	Elongation factor 1-alpha 1	7.31E-02
F1MA10	Art4	NAD	7.27E-02

P12346	Tf	Serotransferrin	7.04E-02
B0BNK1	Rab5c	RAB5C, member RAS oncogene family	6.94E-02
Q63569	Psmc3	26S proteasome regulatory subunit 6A	6.75E-02
P63102	Ywhaz	14-3-3 protein zeta/delta	6.69E-02
P16228	Ctse	Cathepsin E	6.59E-02
Q5XIM9	Cct2	T-complex protein 1 subunit beta	6.41E-02
Q6P502	Cct3	T-complex protein 1 subunit gamma	6.21E-02
Q5U316	Rab35	Ras-related protein Rab-35	6.21E-02
Q68FQ0	Cct5	T-complex protein 1 subunit epsilon	6.19E-02
D4A4D5	LOC498555	Similar to 60S acidic ribosomal protein P2	6.16E-02
O88600	Hspa4	Heat shock 70 kDa protein 4	6.09E-02
MORCB7	Apol2	Apolipoprotein L, 2	6.06E-02
Q5XI34	Ppp2r1a	Protein phosphatase 2	6.02E-02
D4AEH3	Psmc7	Proteasome	6.01E-02
G3V7L6	Psmc2	26S proteasome regulatory subunit 7	5.97E-02
A0A096MJ38	Ifit1bl	Interferon-induced protein with tetratricopeptide repeats 1B-like	5.97E-02
G3V655	Mthfd1	C-1-tetrahydrofolate synthase, cytoplasmic	5.70E-02
Q5U300	Uba1	Ubiquitin-like modifier-activating enzyme 1	5.69E-02
P97536	Cand1	Cullin-associated NEDD8-dissociated protein 1	5.66E-02
Q3MHS9	Cct6a	Chaperonin containing Tcp1, subunit 6A	5.63E-02
Q63570	Psmc4	26S proteasome regulatory subunit 6B	5.59E-02
P28480	Tcp1	T-complex protein 1 subunit alpha	5.58E-02
Q6P7Q4	Glo1	Lactoylglutathione lyase	5.57E-02
P27139	Ca2	Carbonic anhydrase 2	5.50E-02
Q35987	Nsfl1c	NSFL1 cofactor p47	5.47E-02
A0A0G2K911	Nsfl1c	NSFL1 cofactor p47	5.47E-02
D4ACB8	Cct8	Chaperonin subunit 8	5.40E-02
P06685	Atp1a1	Sodium/potassium-transporting ATPase subunit alpha-1	5.25E-02
Q5XIR9	Ubac1	Ubiquitin-associated domain-containing protein 1	5.17E-02
Q5I0M1	Apoh	Apolipoprotein H	5.08E-02
Q6NYB7	Rab1A	Ras-related protein Rab-1A	5.01E-02
Q7TPB1	Cct4	T-complex protein 1 subunit delta	5.00E-02
G3V632	Stx2	Epimorphin, isoform CRA_a	4.98E-02
Q5X160	Reep6	Receptor expression-enhancing protein 6	4.91E-02
D4AC23	Cct7	Chaperonin-containing TCP1 subunit 7	4.87E-02
Q45QN0	Gnai2	Guanine nucleotide binding protein alpha inhibiting 2	4.73E-02
O88321	Psmc4	Antisecretory factor	4.73E-02
G3V6P8	Gng12	Guanine nucleotide-binding protein subunit gamma	4.72E-02
Q4FZT9	Psmc2	26S proteasome non-ATPase regulatory subunit 2	4.69E-02
B0BNN3	Ca1	Carbonic anhydrase 1	4.68E-02
P35565	Canx	Calnexin	4.68E-02
B0BN93	Psmc13	26S proteasome non-ATPase regulatory subunit 13	4.64E-02
Q6PCT9	Psmc6	Proteasome	4.55E-02
G3V8B6	Psmc1	26S proteasome non-ATPase regulatory subunit 1	4.49E-02
P62193	Psmc1	26S proteasome regulatory subunit 4	4.46E-02
P62828	Ran	GTP-binding nuclear protein Ran	4.39E-02
B0BNJ1	Sri	LOC683667 protein	4.39E-02
Q5BJ93	Eno1	Enolase 1,	4.35E-02
O70377	Snap23	Synaptosomal-associated protein 23	4.32E-02
P12928	Pklr	Pyruvate kinase PKLR	4.29E-02
O55158	Tspan8	Tetraspanin	4.25E-02
Q6P7Q6	Lgals9	Galectin	4.25E-02
G3V7N8	Lgals9	Galectin	4.25E-02
G3V6H7	Slc40a1	Solute carrier family 39	4.22E-02
P54313	Gnb2	Guanine nucleotide-binding protein G	4.21E-02
Q8CFN2	Cdc42	Cell division control protein 42 homolog	4.15E-02
P19468	Gclc	Glutamate--cysteine ligase catalytic subunit	4.15E-02
A0A0G2K7Q1	Plscr1	Phospholipid scramblase	4.15E-02
Q9WVJ6	Tgm2	Tissue-type transglutaminase	4.14E-02
A0A0G2J5I1	Aldh9a1	4-trimethylaminobutyraldehyde dehydrogenase	4.13E-02
D4A781	Ipo5	Importin 5	4.12E-02
P36860	Ralb	Ras-related protein Ral-B	4.10E-02
D3Z9R6	Ermap	Erythroblast membrane-associated protein	4.06E-02
Q45QK8	Gng5	Guanine nucleotide-binding protein subunit gamma	4.06E-02
B0BMV5	Rab8b	RAB8B, member RAS oncogene family	4.01E-02
B2RYK3	Spr	RCG56371	4.00E-02
P05370	G6pdx	Glucose-6-phosphate 1-dehydrogenase	3.98E-02
Q6IRI3	Pacsin2	Protein kinase C and casein kinase substrate in neurons 2	3.97E-02
A0JPM9	Eif3j	Eukaryotic translation initiation factor 3 subunit J	3.95E-02
P24090	Ahsg	Alpha-2-HS-glycoprotein	3.89E-02

A0A0G2K2V2	Ap1b1	AP complex subunit beta	3.88E-02
B2GV92	Ptges3	Ptges3 protein	3.86E-02
Q5M872	Dpep2	Dipeptidase 2	3.79E-02
Q568Z6	Ist1	IST1 homolog	3.72E-02
P13832	Rlc-a	Myosin regulatory light chain RLC-A	3.69E-02
Q4V8E2	Psmd14	Proteasome	3.67E-02
D3ZW08	Adsl	Adenylosuccinate lyase	3.67E-02
Q9WU49	Carhsp1	Calcium-regulated heat stable protein 1	3.67E-02
Q8R491	Ehd3	EH domain-containing protein 3	3.65E-02
D3Z967	Tspan33	Tetraspanin	3.56E-02
P61765	Stxbp1	Syntaxin-binding protein 1	3.55E-02
D3ZP29	Icam4	Intercellular adhesion molecule 4, Landsteiner-Wiener blood group	3.51E-02
G3V6S3	Calu	Calumenin	3.50E-02
A0A0G2JSM7	Add1	Adducin 1	3.47E-02
P00173	Cyb5a	Cytochrome b5	3.45E-02
P00173-2	Cyb5a	Cytochrome b5	3.45E-02
P20059	Hpx	Hemopexin	3.42E-02
Q9Z270	Vapa	Vesicle-associated membrane protein-associated protein A	3.39E-02
Q5XIC6	Psmd12	Proteasome	3.37E-02
Q07205	Eif5	Eukaryotic translation initiation factor 5	3.33E-02
P04785	P4hb	Protein disulfide-isomerase	3.31E-02
Q5XI73	Arhgdia	Rho GDP-dissociation inhibitor 1	3.28E-02
A0A0H2UHP9	Rab6a	RCG39700, isoform CRA_d	3.25E-02
D4A1R8	Cpne1	Copine-1	3.23E-02
P84092	Ap2m1	AP-2 complex subunit mu	3.18E-02
B2R2Z7	Sh3bgrl3	SH3 domain binding glutamic acid-rich protein-like 3	3.15E-02
P18163	Acs1	Long-chain-fatty-acid--CoA ligase 1	3.13E-02
F1LQ09	Atl2	Atlantin GTPase 2	3.12E-02
A0A023IMI6	Psmb8	Proteasome subunit beta type	3.12E-02
G3V7B5	Prpsap1	Phosphoribosyl pyrophosphate synthase-associated protein 1	3.08E-02
Q5PQK5	Rdx	Radixin	3.08E-02
D3ZIP8	Endod1	Endonuclease domain-containing 1	3.06E-02
Q5U2S7	Psmd3	Proteasome	3.02E-02
Q4L2A2	Cd99	CD99	3.01E-02
Q68FS2	Cops4	COP9 signalosome complex subunit 4	2.90E-02
P50503	St13	Hsc70-interacting protein	2.86E-02
A0A0G2K890	Ezr	Ezrin	2.82E-02
Q3B8P5	Psmd8	Psmd8 protein	2.81E-02
F1LMQ3	Psmd8	Proteasome 26S subunit, non-ATPase 8	2.81E-02
F7EPH4	Ppa1	Pyrophosphatase	2.74E-02
F1M403	Ube2o	Ubiquitin-conjugating enzyme E2O	2.73E-02
P61203	Cops2	COP9 signalosome complex subunit 2	2.73E-02
B5DFD8	Sh3bgrl	SH3 domain-binding glutamic acid-rich-like protein	2.72E-02
Q5VLR5	Erp44	BWK4	2.65E-02
Q6MGA6	Psmb9	Proteasome subunit beta type	2.62E-02
Q63135	Cr1l	Complement component receptor 1-like protein	2.60E-02
A0A0A0MY48	Dnm2	Dynamin-2	2.59E-02
A0A0A0MY49	Dnm2	Dynamin-2	2.59E-02
F1LPS8	Pura	Transcriptional activator protein Pur-alpha	2.56E-02
A9UMW1	Gsta4	Glutathione S-transferase alpha 4	2.54E-02
A0A0G2JTX2	Praf2	PRA1 family protein	2.45E-02
O08618	Prpsap2	Phosphoribosyl pyrophosphate synthase-associated protein 2	2.44E-02
B5DFN4	Pfdn5	Prefoldin 5	2.44E-02
P10760	Ahcy	Adenosylhomocysteinase	2.44E-02
P19939	Apoc1	Apolipoprotein C-I	2.43E-02
Q5U2N2	Usp14	Ubiquitin specific protease 14	2.41E-02
P60522	Gabarapl2	Gamma-aminobutyric acid receptor-associated protein-like 2	2.39E-02
A0A0A0MY07	Usp15	Ubiquitin carboxyl-terminal hydrolase 15	2.36E-02
A0A0H2UHQ8	Rps17	40S ribosomal protein S17	2.35E-02
P04644	Rps17	40S ribosomal protein S17	2.35E-02
A0A096MKH2	Vta1	Similar to RIKEN cDNA 1110059P08	2.33E-02
Q6P9X1	Clns1a	Chloride channel, nucleotide-sensitive, 1A	2.30E-02
Q62764	Ybx3	Y-box-binding protein 3	2.30E-02
P02767	Ttr	Transthyretin	2.26E-02
Q63584	Tmed10	Transmembrane emp24 domain-containing protein 10	2.25E-02
P48508	Gclm	Glutamate--cysteine ligase regulatory subunit	2.25E-02
P85968	Pgd	6-phosphogluconate dehydrogenase, decarboxylating	2.24E-02
D4A021	Hbq1	Hemoglobin, theta 1	2.23E-02
P35559	Ide	Insulin-degrading enzyme	2.20E-02
A0A0G2K7Q7	Ide	Insulin-degrading enzyme	2.20E-02

Q05982	Nme1	Nucleoside diphosphate kinase A	2.18E-02
G3V6D3	Atp5b	ATP synthase subunit beta	2.18E-02
F1M752	Psmf1	Proteasome inhibitor PI31 subunit	2.18E-02
Q5XIU5	Psmf1	Proteasome inhibitor PI31 subunit	2.18E-02
P04639	Apoa1	Apolipoprotein A-I	2.16E-02
A0A0G2JWA3	Xpo7	Exportin 7	2.15E-02
F1LQM9	Xpo7	Exportin 7	2.15E-02
F1M5V2	Glipr2	GLI pathogenesis-related 2	2.14E-02
D3ZI16	Cops6	COP9	2.14E-02
G3V784	Adpgk	ADP-dependent glucokinase	2.12E-02
G3V7I0	Prdx3	Peroxisredoxin 3	2.12E-02
Q80W57	Abcg2	ATP-binding cassette sub-family G member 2	2.12E-02
G3V679	Tfrc	Transferrin receptor protein 1	2.10E-02
P09527	Rab7a	Ras-related protein Rab-7a	2.09E-02
F1LMI7	Rnf123	E3 ubiquitin-protein ligase RNF123	2.09E-02
P26772	Hspe1	10 kDa heat shock protein, mitochondrial	2.09E-02
P97532	Mpst	3-mercaptopyruvate sulfurtransferase	2.07E-02
Q7TMZ5	Arl6ip1	ADP-ribosylation factor-like 6 interacting protein 1	2.06E-02
D4ADF5	Pdcd5	Programmed cell death 5	2.05E-02
A0A0H2UHM3	Hp	Haptoglobin	2.05E-02
P19139	Csnk2a1	Casein kinase II subunit alpha	2.04E-02
D3ZRN3	Actb12	Actin, beta-like 2	2.03E-02
D4A022	Gapvd1	GTPase-activating protein and VPS9 domains 1	2.03E-02
D4A0E8	Prmt5	Protein arginine N-methyltransferase 5	2.01E-02
Q4KM69	Cops5	COP9	2.00E-02
F1LRP7	Ago2	Protein argonaute-2	1.99E-02
B5DEN4	Ldha	L-lactate dehydrogenase	1.96E-02
Q68FW9	Cops3	COP9 signalosome complex subunit 3	1.96E-02
M0R5N4	Pfdn4	Prefoldin subunit 4	1.95E-02
Q9JL55	Gde1	Glycerophosphodiester phosphodiesterase 1	1.95E-02
O70257	Stx7	Syntaxin-7	1.94E-02
D3ZBM3	Fech	Ferrochelatase	1.92E-02
Q5U2P5	C2cd2l	C2CD2-like	1.91E-02
A0A140TAC3	Epn1	Epsin-1	1.91E-02
O88339	Epn1	Epsin-1	1.91E-02
A0A0G2JYD8	Capn5	Calpain-5	1.91E-02
G3V7U6	Capn5	Calpain-5	1.91E-02
P11232	Txn	Thioredoxin	1.91E-02
A0A0G2K0P8	Slc44a1	CDW92 antigen, isoform CRA_b	1.89E-02
P06214	Alad	Delta-aminolevulinic acid dehydratase	1.88E-02
A0A0G2K737	Txn1	Thioredoxin-like protein 1	1.87E-02
Q52KS1	Pfkm	ATP-dependent 6-phosphofructokinase	1.87E-02
Q6PDV1	Lyz2	Lysozyme	1.84E-02
Q63524	Tmed2	Transmembrane emp24 domain-containing protein 2	1.84E-02
A0A140TAE0	Mvp	Major vault protein	1.76E-02
A0A0G2K1C0	Actr3	Actin-related protein 3	1.75E-02
Q5EB77	Rab18	Ras-related protein Rab-18	1.74E-02
P19945	Rplp0	60S acidic ribosomal protein P0	1.74E-02
P63259	Actg1	Actin, cytoplasmic 2	1.73E-02
A0A0G2K4X8	Skp1	S-phase kinase-associated protein 1	1.73E-02
D3ZZR9	Fkbp2	Peptidylprolyl isomerase	1.73E-02
A2RUW1	Tollip	Toll-interacting protein	1.72E-02
A0A0G2JSS9	Atl3	Atlastin-3	1.72E-02
B5DFC6	Gnpda1	Glucosamine-6-phosphate isomerase	1.72E-02
P62744	Ap2s1	AP-2 complex subunit sigma	1.71E-02
M0RC99	Rab5a	Ras-related protein Rab-5A	1.71E-02
P61972	Nutf2	Nuclear transport factor 2	1.70E-02
F1MAA5	Rangap1	RAN GTPase-activating protein 1	1.70E-02
Q68FP1	Gsn	Gelsolin	1.70E-02
B2GUV5	Atp6v1g1	V-type proton ATPase subunit G	1.70E-02
F1LQ81	Nsf	N-ethylmaleimide sensitive fusion protein, isoform CRA_b	1.69E-02
A0A0H2UH80	Tom1l1	TOM1-like protein 1	1.68E-02
B5DFM1	Tom1l1	Uncharacterized protein	1.68E-02
Q6PDW1	Rps12	40S ribosomal protein S12	1.68E-02
F7EUK4	Kng1	Kininogen 1	1.66E-02
A1L1J8	Rab5b	RAB5B, member RAS oncogene family	1.66E-02
G3V8G2	Psmd5	Proteasome	1.64E-02
P14046	A1i3	Alpha-1-inhibitor 3	1.63E-02
Q5BJP3	Ufm1	Ubiquitin-fold modifier 1	1.62E-02
D3ZBT9	Ppp6r3	Protein phosphatase 6, regulatory subunit 3	1.61E-02

D3ZC84	Usp9x	Ubiquitin specific peptidase 9, X chromosome	1.61E-02
O35547	Acsf4	Long-chain-fatty-acid--CoA ligase 4	1.60E-02
P62907	Rpl10a	60S ribosomal protein L10a	1.59E-02
Q641Z6	Ehd1	EH domain-containing protein 1	1.59E-02
P20171	Hras	GTPase HRas	1.55E-02
A0A097BVJ5	Cnp	2',3'-cyclic-nucleotide 3'-phosphodiesterase	1.53E-02
O88989	Mdh1	Malate dehydrogenase, cytoplasmic	1.52E-02
P11505-3	Atp2b1	Plasma membrane calcium-transporting ATPase 1	1.51E-02
P11505-4	Atp2b1	Plasma membrane calcium-transporting ATPase 1	1.51E-02
P11505-6	Atp2b1	Plasma membrane calcium-transporting ATPase 1	1.51E-02
P11505	Atp2b1	Plasma membrane calcium-transporting ATPase 1	1.51E-02
Q5XIU9	Pgrmc2	Membrane-associated progesterone receptor component 2	1.51E-02
P63322	Rala	Ras-related protein Ral-A	1.50E-02
P48500	Tpi1	Triosephosphate isomerase	1.50E-02
D3ZX38	Pfdn1	Prefoldin 1	1.48E-02
F8WFK6	Gpx4	Glutathione peroxidase	1.46E-02
P36970	Gpx4	Phospholipid hydroperoxide glutathione peroxidase, mitochondrial	1.46E-02
Q91XR8	Gpx4	Phospholipid hydroperoxide glutathione peroxidase, nuclear	1.46E-02
A0A0G2K398	Gpx4	Glutathione peroxidase	1.46E-02
P36970-2	Gpx4	Phospholipid hydroperoxide glutathione peroxidase, mitochondrial	1.46E-02
A0A0G2JXC3	Rps21	40S ribosomal protein S21	1.46E-02
A0A0A0MY09	Hsp90b1	Endoplasmic	1.44E-02
Q99ME0	Ppbb	CXC chemokine RTCK1	1.43E-02
P07150	Anxa1	Annexin A1	1.43E-02
Q4KM74	Sec22b	Vesicle-trafficking protein SEC22b	1.43E-02
A0JN30	Cnpy2	Canopy 2 homolog	1.42E-02
O35244	Prdx6	Peroxiredoxin-6	1.42E-02
P13852	Prnp	Major prion protein	1.42E-02
Q08163	Cap1	Adenylyl cyclase-associated protein 1	1.42E-02
Q5HZY3	Uchl5	Ubiquitin carboxyl-terminal hydrolase	1.41E-02
Q62636	Rap1b	Ras-related protein Rap-1b	1.41E-02
Q68G11	Csnk2b	Casein kinase II subunit beta	1.41E-02
Q3T1L0	Aldh16a1	Aldehyde dehydrogenase family 16 member A1	1.37E-02
D4A133	Atp6v1a	ATPase H <sup>+</sup> -transporting V1 subunit A	1.37E-02
D4A5L9	LOC679794	Similar to Cytochrome c, somatic	1.35E-02
Q9ES21	Sacm1l	Phosphatidylinositide phosphatase SAC1	1.35E-02
B0BN18	Pfdn2	Prefoldin subunit 2	1.35E-02
Q6AXT5	Rab21	Ras-related protein Rab-21	1.34E-02
Q5UAJ6	COX2	Cytochrome c oxidase subunit 2	1.33E-02
Q4KM35	Psmb10	Proteasome subunit beta type-10	1.32E-02
A0A0G2K6J5	Myl6	Myosin light polypeptide 6	1.31E-02
P62815	Atp6v1b2	V-type proton ATPase subunit B, brain isoform	1.31E-02
F1LM09	Usp7	Ubiquitin carboxyl-terminal hydrolase 7	1.30E-02
P12785	Fasn	Fatty acid synthase	1.30E-02
Q9QUG4	Atp7b	ATPase 7B	1.29E-02
A0A0G2JWJ5	Atp7b	Copper-transporting ATPase 2	1.29E-02
P61354	Rpl27	60S ribosomal protein L27	1.29E-02
A11LM0	Prkaca	Protein kinase, cAMP-dependent, catalytic, alpha	1.28E-02
Q6P4Z9	Cops8	COP9 signalosome complex subunit 8	1.28E-02
A0A0G2K562	Adam10	Disintegrin and metalloproteinase domain-containing protein 10	1.28E-02
A0A096MJM1	Rhog	Ras homolog family member G	1.28E-02
Q6PDV6	LOC100911847	40S ribosomal protein S14-like	1.27E-02
G3V7L8	Atp6v1e1	ATPase, H <sup>+</sup> transporting, V1 subunit E isoform 1, isoform CRA_a	1.27E-02
Q5FVI3	Lrrc57	Leucine-rich repeat-containing protein 57	1.27E-02
A0A0H2UHS7	Rpl18	60S ribosomal protein L18	1.27E-02
P12001	Rpl18	60S ribosomal protein L18	1.27E-02
P81795	Eif2s3	Eukaryotic translation initiation factor 2 subunit 3, X-linked	1.26E-02
B0BMW0	Rab14	RAB14, member RAS oncogene family	1.26E-02
Q9Z1X1	Esyt1	Extended synaptotagmin-1	1.25E-02
P15999	Atp5a1	ATP synthase subunit alpha, mitochondrial	1.25E-02
Q5M9H4	Atp1b2	Sodium/potassium-transporting ATPase subunit beta	1.25E-02
P13638	Atp1b2	Sodium/potassium-transporting ATPase subunit beta-2	1.25E-02
B2GUZ5	Capza1	F-actin-capping protein subunit alpha-1	1.23E-02
Q66HA6	Arl8b	ADP-ribosylation factor-like protein 8B	1.21E-02
MOR608	Rtn1	Reticulon	1.20E-02
Q56R17	Kpna4	Importin subunit alpha	1.20E-02
B2RYM5	Brcc3	Lys-63-specific deubiquitinase BRCC36	1.20E-02
Q01177	Plg	Plasminogen	1.19E-02
Q5RKL5	Steap3	Metalloreductase STEAP3	1.19E-02
A0A0H2UI26	Steap3	Metalloreductase STEAP3	1.19E-02

Q498D8	Rbx1	Ring-box 1	1.17E-02
Q09073	Slc25a5	ADP/ATP translocase 2	1.17E-02
Q66HR2	Mapre1	Microtubule-associated protein RP/EB family member 1	1.13E-02
A8WCF8	Tprg1l	Tumor protein p63-regulated gene 1-like protein	1.12E-02
G3V888	Acly	ATP-citrate synthase	1.11E-02
Q9R010	Cib1	Calcium and integrin-binding protein 1	1.10E-02
D4A415	Fam175b	Family with sequence similarity 175, member B	1.10E-02
Q6AYD5	Gspt1	G1 to S phase transition 1	1.10E-02
Q5FVN0	Lpcat3	Lysophospholipid acyltransferase 5	1.09E-02
B2RYU2	Rpl12	RCG45615, isoform CRA_a	1.09E-02
B2GV79	Pdpx	Pdpx protein	1.08E-02
MOR416	Pdpx	Pyridoxal phosphate phosphatase	1.08E-02
Q5HZV9	Ppp1r7	Protein phosphatase 1 regulatory subunit 7	1.08E-02
P54311	Gnb1	Guanine nucleotide-binding protein G	1.07E-02
P06765	Pf4	Platelet factor 4	1.07E-02
Q5I0E7	Tmed9	Transmembrane emp24 domain-containing protein 9	1.07E-02
D4A4K4	Vps13c	Vacuolar protein sorting 13C	1.06E-02
Q64620	Ppp6c	Serine/threonine-protein phosphatase 6 catalytic subunit	1.06E-02
P27321	Cast	Calpastatin	1.06E-02
F1LPH1	Cast	Calpastatin	1.06E-02
D3ZU52	Cops7b	COP9	1.06E-02
Q6AXX6	Fam213a	Redox-regulatory protein FAM213A	1.05E-02
P50399	Gdi2	Rab GDP dissociation inhibitor beta	1.05E-02
Q68FQ9	Lancl2	LanC lantibiotic synthetase component C-like 2	1.05E-02
B2RZ09	Manf	Arginine-rich, mutated in early stage tumors	1.04E-02
Q3B7D0	Cpox	Oxygen-dependent coproporphyrinogen-III oxidase, mitochondrial	1.04E-02
A0A0G2JU89	Ubr4	E3 ubiquitin-protein ligase UBR4	1.03E-02
F1LQI5	Ubr4	E3 ubiquitin-protein ligase UBR4	1.03E-02
Q6MGC4	Pfdn6	H2-K region expressed gene 2, rat orthologue	1.03E-02
D3ZJ32	Esyt2	Extended synaptotagmin 2	1.02E-02
P02680-2	Fgg	Fibrinogen gamma chain	1.02E-02
P02680	Fgg	Fibrinogen gamma chain	1.02E-02
Q6IN14	Cd82	Tetraspanin	1.02E-02
P35213-2	Ywhab	14-3-3 protein beta/alpha	1.01E-02
P35213	Ywhab	14-3-3 protein beta/alpha	1.01E-02
D3ZDK7	Pgp	Glycerol-3-phosphate phosphatase	1.01E-02
P62959	Hint1	Histidine triad nucleotide-binding protein 1	1.01E-02
Q9EST6	Anp32b	Acidic leucine-rich nuclear phosphoprotein 32 family member B	9.95E-03
B0BNJ9	Tmem14c	RCG44002, isoform CRA_a	9.93E-03
F1LQP9	Tnpo1	Transportin 1	9.88E-03
Q80U96	Xpo1	Exportin-1	9.88E-03
A0JPL2	Csnk1a1	Casein kinase 1, alpha 1, isoform CRA_d	9.87E-03
Q71SY3	Tsn	Translin	9.84E-03
F1LSQ0	Faf1	FAS-associated factor 1	9.80E-03
Q5M965	Thg1l	Probable tRNA	9.74E-03
P68101	Eif2s1	Eukaryotic translation initiation factor 2 subunit 1	9.57E-03
D3ZD84	Lrig1	Leucine-rich repeats and immunoglobulin-like domains 1	9.54E-03
B1WBY1	Cul1	Cul1 protein	9.46E-03
Q5M7U6	Actr2	Actin-related protein 2	9.46E-03
E2RUH2	Rnh1	Ribonuclease inhibitor	9.45E-03
D4A6G6	LOC100362339	Ribosomal protein S19-like	9.41E-03
G3V6P6	Rbm3	RNA binding motif protein 3, isoform CRA_a	9.40E-03
D3ZTY0	Cnih4	Cornichon family AMPA receptor auxiliary protein 4	9.27E-03
D3ZUC9	Oxsr1	Oxidative-stress responsive 1	9.22E-03
P47875	Csrp1	Cysteine and glycine-rich protein 1	9.15E-03
P84100	Rpl19	60S ribosomal protein L19	9.14E-03
Q1HAQ0	Lpcat1	Lysophosphatidylcholine acyltransferase 1	9.08E-03
G3V6H0	LOC100363782	RAB1B, member RAS oncogene family-like	9.06E-03
P14480	Fgb	Fibrinogen beta chain	9.03E-03
A0A0G2JSZ5	Pdia6	Protein disulfide-isomerase A6	8.99E-03
A0A0G2K0V0	Snx22	Sorting nexin 22	8.95E-03
B2RZ96	Ube2r2	LOC689226 protein	8.94E-03
Q4KMA2	Rad23b	UV excision repair protein RAD23 homolog B	8.92E-03
P62909	Rps3	40S ribosomal protein S3	8.90E-03
G3V7Y3	Atp5d	ATP synthase subunit delta, mitochondrial	8.90E-03
D3ZV50	LOC100364509	Similar to 40S ribosomal protein S9	8.89E-03
B0BNE5	Esd	S-formylglutathione hydrolase	8.85E-03
B0K030	Dnajb1	Dnaj	8.85E-03
Q62720	Slc30a1	Zinc transporter 1	8.77E-03
A0A0H2UHX3	Rps4x	40S ribosomal protein S4	8.74E-03

X1WI37	Rps4x	40S ribosomal protein S4	8.74E-03
Q4V8H5	Dnpep	Aspartyl aminopeptidase	8.72E-03
B1H258	Tmc8	Transmembrane channel-like protein	8.61E-03
MORE13	Tmc8	Transmembrane channel-like protein	8.61E-03
B5DEL9	Rps7	RCG62292, isoform CRA_a	8.59E-03
Q9JLZ1	Glrx3	Glutaredoxin-3	8.55E-03
P52555	Erp29	Endoplasmic reticulum resident protein 29	8.51E-03
P0C1S9	Daglb	Sn1-specific diacylglycerol lipase beta	8.50E-03
D3Z890	Daglb	Sn1-specific diacylglycerol lipase beta	8.50E-03
A0A0H2UH22	Nap1l4	Nucleosome assembly protein 1-like 4	8.49E-03
Q5U2Z3	Nap1l4	Nucleosome assembly protein 1-like 4	8.49E-03
P19356	Hmbs	Porphobilinogen deaminase	8.40E-03
P19356-2	Hmbs	Porphobilinogen deaminase	8.40E-03
Q5M893	Hmbs	Hydroxymethylbilane synthase	8.40E-03
A0A0G2K1N3	Hmbs	Porphobilinogen deaminase	8.40E-03
P63004	Pafah1b1	Platelet-activating factor acetylhydrolase IB subunit alpha	8.40E-03
P20070-3	Cyb5r3	NADH-cytochrome b5 reductase 3	8.39E-03
P20070-2	Cyb5r3	NADH-cytochrome b5 reductase 3	8.39E-03
P20070	Cyb5r3	NADH-cytochrome b5 reductase 3	8.39E-03
G3V6P7	Myh9	Myosin, heavy polypeptide 9, non-muscle	8.35E-03
P62332	Arf6	ADP-ribosylation factor 6	8.35E-03
P38983	Rpsa	40S ribosomal protein S4	8.34E-03
A0A0G2K9A2	Arpc2	Arp2/3 complex 34 kDa subunit	8.28E-03
G3V9C8	Abcb4	ATP-binding cassette subfamily B member 1A	8.12E-03
Q99ND8	Ppm1b	Ppm1b protein	8.11E-03
D4A5Q2	Smc2	Structural maintenance of chromosomes protein	8.09E-03
Q68FS3	Fbxo7	F-box only protein 7	8.04E-03
P08082	Cltb	Clathrin light chain B	8.03E-03
P08082-2	Cltb	Clathrin light chain B	8.03E-03
Q66HA8	Hsp1	Heat shock protein 105 kDa	7.98E-03
MOR6L4	LOC100365839	40S ribosomal protein S3a	7.94E-03
Q99JC6	Tapbp	TAP-binding protein	7.92E-03
B5DF89	Cul3	Cullin-3	7.90E-03
A0A0G2JSP3	Cul3	Cullin-3	7.90E-03
P63039	Hspd1	60 kDa heat shock protein, mitochondrial	7.87E-03
Q3B7L3	Xk	XK-related protein	7.76E-03
D4A899	Vps13a	Vacuolar protein sorting 13 homolog A	7.75E-03
Q7TP07	Vps13a	Da1-12	7.75E-03
O88377	Pip4k2b	Phosphatidylinositol 5-phosphate 4-kinase type-2 beta	7.68E-03
Q5M9I2	Man2c1	Alpha-mannosidase 2C1	7.60E-03
Q794E4	Hnrnpf	Heterogeneous nuclear ribonucleoprotein F	7.58E-03
P61227	Rap2b	Ras-related protein Rap-2b	7.58E-03
Q7TPI7	LOC100911453	Ac2-269	7.51E-03
D4AAE9	Cisd2	CDGSH iron sulfur domain 2	7.51E-03
G3V709	Naprt	Nicotinate phosphoribosyltransferase	7.47E-03
B0K031	Rpl7	60S ribosomal protein L7	7.43E-03
P05712	Rab2a	Ras-related protein Rab-2A	7.34E-03
F1M1H0	Dera	Deoxyribose-phosphate aldolase	7.33E-03
D4A7L6	Rpia	Ribose 5-phosphate isomerase A	7.24E-03
Q5M7T6	Atp6v0d1	V-type proton ATPase subunit	7.24E-03
Q5X132	Capzb	F-actin-capping protein subunit beta	7.20E-03
F2W8B0	Comt	Catechol-O-methyltransferase	7.19E-03
P04636	Mdh2	Malate dehydrogenase, mitochondrial	7.16E-03
Q5M7A4	Uba5	Ubiquitin-like modifier-activating enzyme 5	7.12E-03
B1H264	Tbc1d17	TBC1 domain family, member 17	7.09E-03
B2RYA8	Dnajb2	DnaJ heat shock protein family	7.08E-03
P68255	Ywhaq	14-3-3 protein theta	7.05E-03
F1M978	Impa1	Inositol-1-monophosphatase	7.01E-03
MORCP9	Pin4	Peptidyl-prolyl cis-trans isomerase	7.01E-03
Q68FY4	Gc	Group specific component	6.99E-03
B0BN55	Urod	Uroporphyrinogen decarboxylase	6.99E-03
M0RD75	Rps6	40S ribosomal protein S6	6.97E-03
A0A0G2K7W6	RGD1562402	Similar to 60S ribosomal protein L27a	6.96E-03
F1LRA1	Lman1	Protein ERGIC-53	6.92E-03
A0A0G2JXC1	Lman1	Protein ERGIC-53	6.92E-03
A0A0G2JTN4	Pfas	Phosphoribosylformylglycinamide synthase-like	6.87E-03
O35264	Pafah1b2	Platelet-activating factor acetylhydrolase IB subunit beta	6.83E-03
P50408	Atp6v1f	V-type proton ATPase subunit F	6.81E-03
D4ACF2	Trim21	Tripartite motif protein 21	6.74E-03
P21533	Rpl6	60S ribosomal protein L6	6.71E-03

Q6P790	Rpl6	60S ribosomal protein L6	6.71E-03
D4A857	Ipo9	Importin 9	6.66E-03
F1M6C4	Arl15	ADP-ribosylation factor-like GTPase 15	6.60E-03
Q6AYD3	Pa2g4	Proliferation-associated protein 2G4	6.59E-03
Q5XIJ6	Babam1	BRISC and BRCA1-A complex member 1	6.55E-03
Q8R3Z7	Ehd4	EH-domain-containing 4	6.52E-03
Q6PCT3	Tpd52l2	Tumor protein D54	6.52E-03
O54980	Syng2	Synaptogyrin-2	6.46E-03
M0R446	Syng2	Synaptogyrin	6.46E-03
A0A0G2K542	Ugp2	UDP-glucose pyrophosphorylase 2	6.45E-03
B0BNG3	Lman2	Lectin, mannose-binding 2	6.34E-03
Q99PD4	Arpc1a	Actin-related protein 2/3 complex subunit 1A	6.34E-03
Q68FR9	Eef1d	Elongation factor 1-delta	6.32E-03
D4A3Z3	Tbc1d24	Similar to CG9339-PA	6.30E-03
P09606	Glul	Glutamine synthetase	6.21E-03
P83941	Eloc	Elongin-C	6.18E-03
Q6P756	Necap2	Adaptin ear-binding coat-associated protein 2	6.15E-03
Q6QM66	Abcc4	Multidrug resistance-associated protein 4	6.13E-03
P34058	Hsp90ab1	Heat shock protein HSP 90-beta	6.08E-03
A0A0G2JX25	Gmpr2	GMP reductase	6.03E-03
Q8CG09-2	Abcc1	Multidrug resistance-associated protein 1	6.01E-03
Q8CG09	Abcc1	Multidrug resistance-associated protein 1	6.01E-03
Q3SWT7	Nrbp1	Nuclear receptor binding protein	6.00E-03
G3V9K0	Cars	Cysteinyl-tRNA synthetase	5.96E-03
C0JPT7	Flna	Filamin A	5.93E-03
P05197	Eef2	Elongation factor 2	5.90E-03
A0JN29	Lnkp	Limb and neural patterns	5.86E-03
Q66H18	Sypl1	Synaptophysin-like 1	5.84E-03
P31044	Pebp1	Phosphatidylethanolamine-binding protein 1	5.82E-03
F1M9G8	Hint3	Histidine triad nucleotide-binding protein 3	5.82E-03
A0A0G2K7W8	Hint3	Histidine triad nucleotide-binding protein 3	5.82E-03
Q569B3	Igh-6	Igh-6 protein	5.77E-03
Q5M9H7	Dnaja2	Dnaj	5.73E-03
D4AAM0	Tnpo3	Transportin 3	5.69E-03
D3ZD23	Abce1	ATP-binding cassette subfamily E member 1	5.68E-03
A0A0H2UHE5	Ppm1a	Protein phosphatase 1A	5.67E-03
D4A0T8	Dhrs7	Dehydrogenase/reductase 7	5.67E-03
B1WC34	Prkcsh	Protein kinase C substrate 80K-H	5.64E-03
Q80W92	Vac14	Protein VAC14 homolog	5.63E-03
Q4V7D6	Nif3l1	NIF3-like protein 1	5.62E-03
M0R919	Vbp1	Prefoldin subunit 3	5.59E-03
B0BN81	Rps5	40S ribosomal protein S5	5.55E-03
Q6P685	Eif2s2	Eukaryotic translation initiation factor 2 subunit beta	5.51E-03
B2RZ72	Arpc4	Actin-related protein 2/3 complex subunit 4	5.46E-03
D3ZTX0	Tmed7	Transmembrane emp24 domain-containing protein 7	5.44E-03
Q80Z29	Nampt	Nicotinamide phosphoribosyltransferase	5.43E-03
G3V9P0	Psmc9	26S proteasome non-ATPase regulatory subunit 9	5.42E-03
A0A0G2K9I6	Cp	Ceruloplasmin	5.41E-03
G3V7K3	Cp	Ceruloplasmin	5.41E-03
F1LSW7	Rpl14	60S ribosomal protein L14	5.36E-03
Q63507	Rpl14	60S ribosomal protein L14	5.36E-03
A0A0F7RQJ6	Ddt	D-dopachrome tautomerase	5.32E-03
Q5D059	Hnrnpk	Heterogeneous nuclear ribonucleoprotein K	5.32E-03
Q9Z2L0	Vdac1	Voltage-dependent anion-selective channel protein 1	5.31E-03
Q5HZE4	Mri1	Methylthioribose-1-phosphate isomerase	5.30E-03
Q9EPH8	Pabpc1	Polyadenylate-binding protein 1	5.28E-03
P85973	Pnp	Purine nucleoside phosphorylase	5.25E-03
P62914	Rpl11	60S ribosomal protein L11	5.20E-03
O55096	Dpp3	Dipeptidyl peptidase 3	5.15E-03
D2XV59	Gtpbp1	GTP-binding protein 1	5.14E-03
P21531	Rpl3	60S ribosomal protein L3	5.14E-03
A0A0H2UHG3	Cul5	Cullin-5	5.12E-03
B2RYG6	Otub1	Ubiquitin thioesterase OTUB1	5.12E-03
B2RYR8	Rps8	40S ribosomal protein S8	5.08E-03
D4A832	Slc43a3	Solute carrier family 43, member 3	5.06E-03
Q6AZ50	Atg3	Ubiquitin-like-conjugating enzyme ATG3	5.00E-03
P81155	Vdac2	Voltage-dependent anion-selective channel protein 2	5.00E-03
D3ZUV3	Eif2a	Eukaryotic translation initiation factor 2A	5.00E-03
A0A0H2UI18	Rps10	40S ribosomal protein S10	4.95E-03
P63326	Rps10	40S ribosomal protein S10	4.95E-03

Q6QI88	Tmed5	LRRG00120	4.93E-03
Q6AXN3	Tmed5	Transmembrane emp24 domain-containing protein 5	4.93E-03
Q2PQA9	Kif5b	Kinesin-1 heavy chain	4.91E-03
F1LR16	Taok3	Serine/threonine-protein kinase TAO3	4.91E-03
A0A0G2JSJ3	Slc2a3	Solute carrier family 2	4.84E-03
P10111	Ppia	Peptidyl-prolyl cis-trans isomerase A	4.84E-03
D3ZYR1	Fcho2	F-BAR domain only protein 2	4.82E-03
Q6P3V9	Rpl4	60S ribosomal protein L4	4.79E-03
A0A0G2JYU5	LOC103694902	Ubiquitin-conjugating enzyme E2 B	4.79E-03
A0A0G2JWM2	Sirt2	NAD-dependent protein deacetylase sirtuin-2	4.78E-03
G3V637	Stxbp2	Syntaxin binding protein 2, isoform CRA_b	4.77E-03
A0A0G2JYA3	Sppl2a	Signal peptide peptidase-like 2A	4.77E-03
Q6P7B0	Wars	Tryptophan--tRNA ligase, cytoplasmic	4.77E-03
F8WFH8	Wars	Tryptophan--tRNA ligase, cytoplasmic	4.77E-03
F1LQ11	Hagh	Hydroxyacyl glutathione hydrolase	4.74E-03
Q6P3V8	Eif4a1	Eukaryotic translation initiation factor 4A1	4.74E-03
D3ZKT8	Hddc2	HD domain containing 2	4.73E-03
B5DF55	Stam	RCG55706	4.73E-03
B2RZ97	Kcmf1	LOC684322 protein	4.72E-03
B4F7A9	Csnk2a2	Casein kinase 2 alpha 2	4.71E-03
G3V762	Tsta3	Tissue specific transplantation antigen P35B	4.63E-03
P62718	Rpl18a	60S ribosomal protein L18a	4.62E-03
D4A482	Mfsd2b	Major facilitator superfamily domain-containing 2B	4.60E-03
A0A0G2JUM3	Rp2	RP2, ARL3 GTPase-activating protein	4.58E-03
D3ZTJ0	Rp2	RP2, ARL3 GTPase-activating protein	4.58E-03
Q8CGU6	Ncstn	Nicastrin	4.56E-03
D3ZN27	Dnajc13	DnaJ heat shock protein family	4.41E-03
P50398	Gdi1	Rab GDP dissociation inhibitor alpha	4.39E-03
F1M9V7	Npepps	Aminopeptidase	4.38E-03
M0R735	Syncrip	Heterogeneous nuclear ribonucleoprotein Q	4.33E-03
A0A0G2K9J2	Atp6v1h	ATPase H+-transporting V1 subunit H	4.29E-03
Q4QR73	Dnaja4	DnaJ	4.28E-03
P97608	Oplah	5-oxoprolinase	4.26E-03
B2RYQ2	Ptpa	Serine/threonine-protein phosphatase 2A activator	4.26E-03
Q32Q05	Yod1	Ubiquitin thioesterase OTU1	4.20E-03
P09456	Prkar1a	cAMP-dependent protein kinase type I-alpha regulatory subunit	4.18E-03
Q499P2	Lta4h	Leukotriene A	4.15E-03
D4A3P1	Ubqln4	Ubiquilin 4	4.14E-03
D4A9D6	Dhx9	DEAH	4.14E-03
D3ZAN3	Ganab	Alpha glucosidase 2 alpha neutral subunit	4.13E-03
Q6AYU5	Pcbp2	Poly	4.06E-03
Q4V8F6	Pcbp2	Pcbp2 protein	4.06E-03
Q6TXG7	Shmt1	Serine hydroxymethyltransferase	4.05E-03
Q68FR6	Eef1g	Elongation factor 1-gamma	4.04E-03
A0A0G2K761	Cul2	Cullin 2	4.01E-03
P54921	Napa	Alpha-soluble NSF attachment protein	4.00E-03
Q216B3	Atp6v0a1	V-type proton ATPase subunit a	3.99E-03
Q216B4	Atp6v0a1	V-type proton ATPase subunit a	3.99E-03
P63245	Rack1	Receptor of activated protein C kinase 1	3.98E-03
B1H267	Snx5	Sorting nexin-5	3.94E-03
P54319	Plaa	Phospholipase A-2-activating protein	3.93E-03
P05371	Clu	Clusterin	3.90E-03
Q6P756	Clu	Clusterin	3.90E-03
D4A746	Gmppb	GDP-mannose pyrophosphorylase B	3.87E-03
A0A096MJP9	Ddi2	DNA damage-inducible 1 homolog 2	3.86E-03
A0A0G2K7B6	Dysf	Dysferlin	3.83E-03
Q6IN22	Ctsb	Cathepsin B	3.83E-03
H1UBM7	Cpne2	Copine 2 protein	3.82E-03
F1M1L9	Cpne2	Copine 2	3.82E-03
P38918	Akr7a3	Aflatoxin B1 aldehyde reductase member 3	3.81E-03
P61023	Chp1	Calcineurin B homologous protein 1	3.79E-03
D4ABI6	Uchl3	Ubiquitin carboxyl-terminal hydrolase	3.76E-03
I6L9G6	Tardbp	RCG31562, isoform CRA_c	3.73E-03
P67779	Phb	Prohibitin	3.73E-03
D3ZSI8	Pip5k1a	Phosphatidylinositol 4-phosphate 5-kinase type-1 alpha	3.73E-03
Q9R066	Cxadr	Coxsackievirus and adenovirus receptor homolog	3.71E-03
Q3MIE4	Vat1	Synaptic vesicle membrane protein VAT-1 homolog	3.71E-03
G3V7I2	Rftn1	Raftlin lipid raft linker 1	3.70E-03
Q9JJ54	Hnrnpd	Heterogeneous nuclear ribonucleoprotein D0	3.66E-03
Q9JJ54-2	Hnrnpd	Heterogeneous nuclear ribonucleoprotein D0	3.66E-03

Q9JJ54-4	Hnrnpd	Heterogeneous nuclear ribonucleoprotein D0	3.66E-03
Q9JJ54-3	Hnrnpd	Heterogeneous nuclear ribonucleoprotein D0	3.66E-03
D3ZW55	Itpa	Inosine triphosphate pyrophosphatase	3.66E-03
MOR5K9	LOC100912024	Uncharacterized LOC100912024	3.66E-03
P84083	Arf5	ADP-ribosylation factor 5	3.64E-03
Q5U2Q7	Etf1	Eukaryotic peptide chain release factor subunit 1	3.63E-03
P61314	Rpl15	60S ribosomal protein L15	3.62E-03
Q63377	Atp1b3	Sodium/potassium-transporting ATPase subunit beta-3	3.62E-03
P62870	Elob	Elongin-B	3.58E-03
Q68FY0	Uqcrc1	Cytochrome b-c1 complex subunit 1, mitochondrial	3.58E-03
A0A0H2UHQ1	Rpl17	60S ribosomal protein L17	3.57E-03
P24049	Rpl17	60S ribosomal protein L17	3.57E-03
F1LZX7	Rpl17	60S ribosomal protein L17	3.57E-03
Q9QX79	Fetub	Fetuin-B	3.52E-03
Q6IRS6	Fetub	Fetub protein	3.52E-03
G3V6F4	Ogt	O-linked N-acetylglucosamine	3.50E-03
P51583	Paics	Multifunctional protein ADE2	3.45E-03
A0A0H2UHF6	Arl6ip5	PRA1 family protein	3.45E-03
D4AE96	Ipo7	Importin 7	3.43E-03
A0A0G2K470	Itga2	Integrin subunit alpha 2	3.42E-03
F1M446	RGD1306148	Similar to KIAA0368	3.40E-03
A0A0G2JV31	Xprnep1	X-prolyl aminopeptidase	3.40E-03
B2RZ20	Ssna1	SS nuclear autoantigen 1	3.40E-03
Q5XIE1	Them6	Protein THEM6	3.37E-03
Q71SA3	Thbs1	Thrombospondin 1	3.36E-03
P06302	Ptma	Prothymosin alpha	3.35E-03
A0A0G2QC33	Atg4b	Cysteine protease	3.34E-03
B2GV73	Arpc3	Actin-related protein 2/3 complex subunit 3	3.26E-03
Q9EQS0	Taldo1	Transaldolase	3.23E-03
B2RYG2	Pck2	Pck2 protein	3.19E-03
A0A0H2UHG0	Yars	Tyrosine--tRNA ligase	3.19E-03
Q6MG79	C4a	Complement component 4, gene 1	3.18E-03
P84817	Fis1	Mitochondrial fission 1 protein	3.16E-03
F1LT35	RGD1564606	Similar to 60S ribosomal protein L23a	3.14E-03
Z4YNF4	Acp1	Low molecular weight phosphotyrosine protein phosphatase	3.07E-03
P41498	Acp1	Low molecular weight phosphotyrosine protein phosphatase	3.07E-03
G3V6I9	Rpl26	60S ribosomal protein L26	3.05E-03
D3ZFC6	Itih4	Inter-alpha-trypsin inhibitor heavy chain family, member 4	3.01E-03
O35802	ITIH4	Inter-alpha-inhibitor H4 heavy chain	3.01E-03
A0A0G2JVA7	Eif1a	Eukaryotic translation initiation factor 1A	2.99E-03
Q566D5	Eif1a	Eukaryotic translation initiation factor 1A	2.99E-03
P24155	Thop1	Thimet oligopeptidase	2.97E-03
G3V8Z9	Cops7a	COP9	2.95E-03
D3ZQ02	Wdr37	WD repeat domain 37	2.95E-03
B5DEN5	Eef1b2	Eukaryotic translation elongation factor 1 beta 2	2.95E-03
P46413	Gss	Glutathione synthetase	2.94E-03
G3V6N2	Tmed4	Transmembrane emp24 protein transport domain containing 4	2.91E-03
Q5XID1	Ciapin1	Anamorsin	2.86E-03
F7E289	Tbc1d15	TBC1 domain family, member 15	2.84E-03
Q6P503	Atp6v1d	ATPase H+-transporting V1 subunit D	2.81E-03
F1LZX5	Hectd4	HECT domain E3 ubiquitin protein ligase 4	2.81E-03
D4A2D7	Ipo4	Importin 4	2.80E-03
Q5RJS3	Fam96a	Family with sequence similarity 96, member A	2.80E-03
P50475	Aars	Alanine--tRNA ligase, cytoplasmic	2.80E-03
D3ZUY8	Ap2a1	Adaptor protein complex AP-2, alpha 1 subunit	2.79E-03
Q4V7D1	Ssr1	Signal sequence receptor, alpha	2.78E-03
B1WBV1	Aida	Axin interactor, dorsalization-associated	2.76E-03
B5DEH2	Erlin2	Erlin-2	2.73E-03
A0A0G2KB63	Phb2	Prohibitin-2	2.71E-03
Q6IRE4	Tsg101	Tumor susceptibility gene 101 protein	2.70E-03
P11348	Qdpr	Dihydropteridine reductase	2.68E-03
A0A0G2JVV5	Huwe1	E3 ubiquitin-protein ligase HUWE1	2.67E-03
P47942	Dpysl2	Dihydropyrimidinase-related protein 2	2.64E-03
A0JPJ7	Ola1	Obg-like ATPase 1	2.63E-03
Q4KLZ6	Tkfc	Triokinase/FMN cyclase	2.63E-03
P11240	Cox5a	Cytochrome c oxidase subunit 5A, mitochondrial	2.63E-03
A0A0G2JXD0	LOC103692829	60S ribosomal protein L9 pseudogene	2.61E-03
Q6PAH0	Apoe	Apolipoprotein E	2.57E-03
A0A0G2K151	Apoe	Apolipoprotein E	2.57E-03
P02650	Apoe	Apolipoprotein E	2.57E-03

P62138	Ppp1ca	Serine/threonine-protein phosphatase PP1-alpha catalytic subunit	2.55E-03
Q9JMB5	Adrm1	Proteasomal ubiquitin receptor ADRM1	2.55E-03
Q9EQX9	Ube2n	Ubiquitin-conjugating enzyme E2 N	2.50E-03
B2RYP4	Snx2	Sorting nexin 2	2.49E-03
F1LVZ9	Hectd3	HECT domain E3 ubiquitin protein ligase 3	2.49E-03
D3ZYS7	G3bp1	G3BP stress granule assembly factor 1	2.47E-03
Q5BKA1	Metap2	Methionine aminopeptidase 2	2.46E-03
Q4KLZ3	Dazap1	DAZ associated protein 1, isoform CRA_a	2.45E-03
P56574	Idh2	Isocitrate dehydrogenase [NADP], mitochondrial	2.44E-03
D3ZM69	Epb41l2	Erythrocyte membrane protein band 4.1-like 2	2.37E-03
Q5U1Z2	Trappc3	Trafficking protein particle complex subunit 3	2.35E-03
F1M775	Diaph1	Diaphanous-related formin 1	2.35E-03
O09175	Rnpep	Aminopeptidase B	2.34E-03
Q6P7D2	Rnpep	Arginyl aminopeptidase	2.34E-03
O54902-2	Slc11a2	Natural resistance-associated macrophage protein 2	2.33E-03
P16617	Pgk1	Phosphoglycerate kinase 1	2.29E-03
Q6QBQ4	Plscr3	Phospholipid scramblase 3	2.22E-03
A0A0G2K9V6	Tars	Threonine--tRNA ligase, cytoplasmic	2.22E-03
Q9QYMO	Abcc5	Multidrug resistance-associated protein 5	2.19E-03
D4ADS9	Efr3a	EFR3 homolog A	2.19E-03
Q6P766	Plpp1	Lipid phosphate phosphohydrolase 1	2.18E-03
D4ACD3	Usp25	Ubiquitin specific protease 25	2.17E-03
G3V7H2	Minpp1	Multiple inositol polyphosphate phosphatase 1	2.16E-03
Q5M7T5	Serpinc1	Serine	2.13E-03
F7ESM5	Nit1	Nitrilase 1, isoform CRA_a	2.13E-03
Q5PQK6	Nit1	Nit1 protein	2.13E-03
A0A0G2QC41	Hdac6	Histone deacetylase	2.11E-03
G3V8T4	Ddb1	DNA damage-binding protein 1	2.11E-03
M0R4A5	Ache	Carboxylic ester hydrolase	2.11E-03
A0A0G2K6V0	Ache	Carboxylic ester hydrolase	2.11E-03
A0A0G2K2I2	Ache	Carboxylic ester hydrolase	2.11E-03
B1WC26	Nans	N-acetylneuraminase synthase	2.10E-03
Q5I0D7	Pepd	Xaa-Pro dipeptidase	2.08E-03
F1LN96	Bin3	Bridging integrator 3	2.08E-03
Q06647	Atp5o	ATP synthase subunit O, mitochondrial	2.05E-03
D3ZJB8	Arih2	Ariadne RBR E3 ubiquitin protein ligase 2	2.04E-03
A0A140TAA4	Pdcd6ip	Programmed cell death 6-interacting protein	2.04E-03
D4ABP4	Rab3gap2	Rab3 GTPase-activating protein non-catalytic subunit	2.04E-03
Q5U1Z0	Rab3gap2	Rab3 GTPase-activating protein non-catalytic subunit	2.04E-03
F1LMT8	Rab3gap2	Rab3 GTPase-activating protein non-catalytic subunit	2.04E-03
B5DEJ5	Eefsec	Eefsec protein	2.00E-03
Q6YDN8	Gid8	BWK-1	1.99E-03
Q6P9X2	Sec11a	Signal peptidase complex catalytic subunit SEC11	1.98E-03
F1LUA1	Eea1	Early endosome antigen 1	1.96E-03
A0A0G2K051	Eea1	Early endosome antigen 1	1.96E-03
G3V741	Slc25a3	Phosphate carrier protein, mitochondrial	1.94E-03
Q3MHS7	Gmds	GDP-mannose 4, 6-dehydratase	1.93E-03
G3V700	Nrdc	Nardilysin	1.91E-03
Q63041	A1m	Alpha-1-macroglobulin	1.91E-03
A0A140TAH1	Hgs	Hepatocyte growth factor-regulated tyrosine kinase substrate	1.90E-03
Q7TP61	Acat2	Ab2-076	1.86E-03
B1WBP4	Nadsyn1	Glutamine-dependent NAD	1.86E-03
Q5XI86	Pthr2	Peptidyl-tRNA hydrolase 2	1.85E-03
A0A0G2JXI4	Stat5b	Signal transducer and activator of transcription	1.84E-03
B1WC71	Aspscr1	Aspscr1 protein	1.82E-03
A1IGU3	Arhgef37	Rho guanine nucleotide exchange factor 37	1.79E-03
F1LQ74	Arhgef37	Rho guanine nucleotide exchange factor 37	1.79E-03
D4A3P0	Ybx2	Y box-binding protein 2	1.79E-03
Q6AYQ1	Golga7	Golgin subfamily A member 7	1.77E-03
Q9ROV0	BM1	BM1c	1.77E-03
A0A0G2JU40	C2cd2	C2 calcium-dependent domain-containing 2	1.74E-03
Q6P691	C2cd2	C2 calcium-dependent domain-containing 2	1.74E-03
A0A0G2JTW1	Rap2a	RAS related protein 2a	1.74E-03
P61983	Ywhag	14-3-3 protein gamma	1.73E-03
A0A0G2JWS3	Piezo1	Piezo-type mechanosensitive ion channel component	1.73E-03
D3ZFC5	Atp11c	Phospholipid-transporting ATPase	1.72E-03
P51593	Huwe1	E3 ubiquitin-protein ligase HUWE1	1.72E-03
P60123	Ruvbl1	RuvB-like 1	1.72E-03
D3ZJK8	Atp8a1	ATPase phospholipid transporting 8A1	1.71E-03
F1LUT4	Atp8a1	Phospholipid-transporting ATPase	1.71E-03

Q07936	Anxa2	Annexin A2	1.70E-03
Q07936-2	Anxa2	Annexin A2	1.70E-03
D4AEH9	Agl	Amylo-1, 6-glycosidase, 4-alpha-glucanotransferase	1.69E-03
F7FLB2	Pgm2	Pgm2 protein	1.68E-03
A0A0G2JU66	Nploc4	Nuclear protein localization protein 4 homolog	1.68E-03
F1LQX9	Nploc4	Nuclear protein localization protein 4 homolog	1.68E-03
F1M953	Hspa9	Stress-70 protein, mitochondrial	1.67E-03
A0A0G2JY08	Myo18a	Myosin XVIIIa	1.64E-03
D3ZFD0	Myo18a	Myosin XVIIIa	1.64E-03
D3ZLM5	Nhlrc2	NHL repeat containing 2	1.64E-03
G3V6I1	Llg1	Lethal	1.63E-03
Q9JLA3	Ugg1	UDP-glucose:glycoprotein glucosyltransferase 1	1.60E-03
D3ZAZ0	Eif3m	Eukaryotic translation initiation factor 3 subunit M	1.58E-03
A9CMB7	Dars	Aspartyl-tRNA synthetase	1.57E-03
Q6P791	Lamtor1	Ragulator complex protein LAMTOR1	1.55E-03
F1LML0	Nars	Asparaginyl-tRNA synthetase	1.55E-03
Q5M7T1	Ciao1	Probable cytosolic iron-sulfur protein assembly protein CIAO1	1.55E-03
Q63355	Myo1c	Unconventional myosin-1c	1.51E-03
Q3T1K5	Capza2	F-actin-capping protein subunit alpha-2	1.51E-03
A0A0G2K824	Gmppa	Mannose-1-phosphate guanylyltransferase alpha	1.50E-03
Q5XIC1	Gmppa	Mannose-1-phosphate guanylyltransferase alpha	1.50E-03
D4A8A0	Cad	Carbamoyl-phosphate synthetase 2	1.49E-03
G3V743	LOC103692171	Mannosyl-oligosaccharide glucosidase	1.49E-03
MORDG7	Crlf3	Cytokine receptor-like factor 3	1.48E-03
MORB67	Ppid1	Peptidylprolyl isomerase D-like 1	1.48E-03
Q4R1A4	Tfg	TRK-fused gene protein	1.48E-03
Q66HI5	Fth1	Ferritin	1.48E-03
B0BN63	Ahsa1	Activator of Hsp90 ATPase activity 1	1.47E-03
B0BNI9	Slc22a23	Slc22a23 protein	1.46E-03
A0A0G2JYC2	Cnm4	Metal transporter CNM4	1.46E-03
Q5FVM1	Tmem231	Transmembrane protein 231	1.45E-03
D4A3E2	Npepl1	Aminopeptidase-like 1	1.41E-03
Q6P7R8	Hsd17b12	Very-long-chain 3-oxoacyl-CoA reductase	1.40E-03
D4A1J6	Ankyf1	Ankyrin repeat and FYVE domain-containing 1	1.40E-03
D3ZD72	Ncapg	Non-SMC condensin I complex, subunit G	1.38E-03
D3Z955	Pgm2l1	Phosphoglucomutase 2-like 1	1.35E-03
D3ZG78	Zzef1	Zinc finger ZZ-type and EF-hand domain-containing 1	1.35E-03
F1LT58	Kpna6	Importin subunit alpha	1.34E-03
Q56R15	Kpna6	Importin subunit alpha	1.34E-03
Q3KR98	Kpna6	Importin subunit alpha	1.34E-03
A0A0G2JZS1	Kpna6	Importin subunit alpha	1.34E-03
G3V8P5	RGD1310127	Similar to cDNA sequence BC017158	1.33E-03
A0A0G2JZH0	Cab39	Calcium-binding protein 39	1.33E-03
Q6P6V0	Gpi	Glucose-6-phosphate isomerase	1.31E-03
F1MAA3	LOC100909464	Serine/threonine-protein phosphatase 2A 56 kDa regulatory subunit delta isoform-like	1.30E-03
F1LRJ9	Selenbp1	Selenium-binding protein 1	1.28E-03
Q6MFY9	Trim10	RCG58628	1.26E-03
P13221	Got1	Aspartate aminotransferase, cytoplasmic	1.26E-03
Q5XIP0	Dnajb4	DnaJ	1.26E-03
M0R851	Usp4	Similar to Ubiquitin carboxyl-terminal hydrolase 4	1.21E-03
Q5U2R0	Mat2b	Methionine adenosyltransferase 2 subunit beta	1.20E-03
Q5U2Q5	Rrm1	Ribonucleoside-diphosphate reductase	1.19E-03
Q6MG08	Abcf1	ATP-binding cassette sub-family F member 1	1.18E-03
O08662	Pi4ka	Phosphatidylinositol 4-kinase alpha	1.18E-03
Q5FVL8	Abcb10	ATP-binding cassette subfamily B member 10	1.16E-03
P53042	Ppp5c	Serine/threonine-protein phosphatase 5	1.16E-03
Q68G16	Ppp5c	Serine/threonine-protein phosphatase	1.16E-03
O08700	Vps45	Vacuolar protein sorting-associated protein 45	1.16E-03
Q1AAU6	Asap1	Arf-GAP with SH3 domain, ANK repeat and PH domain-containing protein 1	1.15E-03
Q1AAU6-2	Asap1	Arf-GAP with SH3 domain, ANK repeat and PH domain-containing protein 1	1.15E-03
Q1AAU6-3	Asap1	Arf-GAP with SH3 domain, ANK repeat and PH domain-containing protein 1	1.15E-03
Q4QQS4	Ruvb12	RuvB-like helicase	1.13E-03
M0RC57	Smap1	Small ArfGAP 1	1.12E-03
B2GVB9	Fermt3	Fermitin family member 3	1.12E-03
Q56R18	Kpna3	Importin subunit alpha	1.11E-03
F1LTR1	Wdr26	WD repeat domain 26	1.09E-03
P08009	Gstm3	Glutathione S-transferase Yb-3	1.06E-03
D4A8M7	Ncaph	Condensin complex subunit 2	1.04E-03
D3ZRE7	Swap70	SWAP complex protein	1.01E-03
Q6TUG0	Dnajb11	DnaJ homolog subfamily B member 11	9.74E-04

A0A0G2JY22	Dip2b	Disco-interacting protein 2 homolog B	9.64E-04
Q4KMA8	Erap1	Aminopeptidase	9.52E-04
Q5U313	Ankrd13a	Ankyrin repeat domain 13a	9.46E-04
A0A0G2K8V2	Vcl	Vinculin	9.44E-04
P85972	Vcl	Vinculin	9.44E-04
R9PXU6	Vcl	Vinculin	9.44E-04
Q62910-4	Synj1	Synaptojanin-1	9.42E-04
Q62910	Synj1	Synaptojanin-1	9.42E-04
Q99MI7	Uba3	NEDD8-activating enzyme E1 catalytic subunit	9.38E-04
P41542	Uso1	General vesicular transport factor p115	9.37E-04
A0A0G2K6R8	Ehbp11	EH domain-binding protein 1-like 1	9.35E-04
Q99ML5	Pcyox1	Prenylcysteine oxidase	9.21E-04
Q6AXM7	Hbs1l	HBS1-like protein	9.19E-04
A0A0G2K2P6	Hbs1l	HBS1-like protein	9.19E-04
D4AEK9	Ccdc6	Coiled-coil domain-containing 6	9.10E-04
A0A0G2KA14	Clec16a	C-type lectin domain-containing 16A	9.08E-04
E9PTB2	Supt5h	Transcription elongation factor SPT5	8.96E-04
F1MAA1	Usp47	Ubiquitin-specific peptidase 47	8.83E-04
D3ZNQ6	Ube2m	Ubiquitin-conjugating enzyme E2M	8.77E-04
Q4QQT4	Ppp2r1b	Serine/threonine-protein phosphatase 2A 65 kDa regulatory subunit A beta isoform	8.75E-04
G3V9J7	Rabep1	Rab GTPase-binding effector protein 1	8.73E-04
Q6P6R2	Dld	Dihydrolipoyl dehydrogenase, mitochondrial	8.68E-04
Q6XDA0	Sptb	Spectrin beta chain	8.54E-04
D3ZE49	Trappc12	Trafficking protein particle complex 12	8.50E-04
D3ZQI6	Xpo4	Exportin 4	8.34E-04
D3Z7Z5	Ranbp10	RAN-binding protein 10	8.26E-04
P09495	Tpm4	Tropomyosin alpha-4 chain	8.17E-04
Q6AYU3	Dnajb6	DnaJ homolog subfamily B member 6	8.13E-04
A0A0G2JTS3	Vps29	Vacuolar protein sorting-associated protein 29	8.09E-04
B2RZ78	Vps29	Vacuolar protein sorting-associated protein 29	8.09E-04
B2RZ78-2	Vps29	Vacuolar protein sorting-associated protein 29	8.09E-04
Q5FVK6	Cc2d1b	Coiled-coil and C2 domain-containing protein 1B	7.97E-04
D3ZCM3	Abcg4	ATP-binding cassette subfamily G member 4	7.88E-04
D3Z8C7	Wdr48	WD repeat domain 48	7.81E-04
A0A0G2KAW5	Wdr48	WD repeat domain 48	7.81E-04
Q35303-3	Dnm1l	Dynamin-1-like protein	7.69E-04
Q35303-2	Dnm1l	Dynamin-1-like protein	7.69E-04
Q35303-4	Dnm1l	Dynamin-1-like protein	7.69E-04
Q35303-5	Dnm1l	Dynamin-1-like protein	7.69E-04
Q35303-6	Dnm1l	Dynamin-1-like protein	7.69E-04
Q35303	Dnm1l	Dynamin-1-like protein	7.69E-04
Q5XIP1	Pelo	Protein pelota homolog	7.67E-04
Q6P7A7	Rpn1	Dolichyl-diphosphooligosaccharide--protein glycosyltransferase subunit 1	7.56E-04
F1MAD9	Smc4	Structural maintenance of chromosomes protein	7.55E-04
B5DFC4	Prkca	Protein kinase C	7.54E-04
F1M2P8	Prkca	Protein kinase C	7.54E-04
F1LS98	Prkca	Protein kinase C	7.54E-04
A0A0G2JWH3	Ncapd2	Condensin complex subunit 1	7.30E-04
A0A0G2K7S6	Wdr44	WD repeat-containing protein 44	7.24E-04
A0A0G2K3C7	Fam126a	Family with sequence similarity 126, member A	6.90E-04
D4AE31	Fam126a	Family with sequence similarity 126, member A	6.90E-04
A0A140TAA5	Wdr45	WD repeat domain phosphoinositide-interacting protein 4	6.71E-04
A0A0G2K6E2	Txnrd2	Thioredoxin reductase 2, isoform CRA_a	6.63E-04
D4AE06	Fkbp15	Peptidylprolyl isomerase	6.57E-04
F1M400	Ankrd28	Ankyrin repeat domain 28	6.50E-04
B2GUZ9	Fam49b	Fam49b protein	6.49E-04
D4A9D8	Osbp	Oxysterol-binding protein	6.30E-04
A0A0G2JW28	Add3	Gamma-adducin	6.29E-04
D4AD15	Eif4g1	Eukaryotic translation initiation factor 4 gamma, 1	6.27E-04
Q66H15	Rmdn3	Regulator of microtubule dynamics protein 3	5.98E-04
D3ZE26	Tmcc2	Similar to RIKEN cDNA 1110063G11	5.97E-04
A0A0G2K1K5	Trappc11	Trafficking protein particle complex 11	5.89E-04
D3ZHI8	Trappc11	Trafficking protein particle complex 11	5.89E-04
P05708	Hk1	Hexokinase-1	5.82E-04
D3ZUV2	Mib1	Mindbomb E3 ubiquitin protein ligase 1	5.81E-04
D3ZT64	Atg2a	Autophagy-related 2A	5.80E-04
B2GV97	Sepsecs	O-phosphoseryl-tRNA	5.77E-04
A0A0G2JV49	Ppp6r2	Protein phosphatase 6, regulatory subunit 2	5.75E-04
F1M6T6	Ppp6r2	Protein phosphatase 6, regulatory subunit 2	5.75E-04
P62749	Hpcal1	Hippocalcin-like protein 1	5.52E-04

A0A0G2K6G2	Apmap	Adipocyte plasma membrane-associated protein	5.26E-04
D3ZJG4	Pacs2	Phosphofurin acidic cluster sorting protein 2	5.02E-04
Q4V8C2	Zw10	Centromere/kinetochore protein zw10 homolog	5.02E-04
P31211	Serpina6	Corticosteroid-binding globulin	4.96E-04
D3ZN37	Rock1	Rho-associated protein kinase	4.94E-04
Q5U2P1	Cnmn2	Metal transporter CNNM2	4.90E-04
Q8CF97	Vcpi1	Deubiquitinating protein VCIP135	4.77E-04
Q6AYS7	Acy1a	Aminoacylase-1A	4.61E-04
A0A0G2K8D1	Mospd2	Motile sperm domain-containing 2	4.56E-04
A0A0G2JXC9	Ireb2	Iron-responsive element-binding protein 2	4.35E-04
P11507	Atp2a2	Sarcoplasmic/endoplasmic reticulum calcium ATPase 2	4.35E-04
P11507-2	Atp2a2	Sarcoplasmic/endoplasmic reticulum calcium ATPase 2	4.35E-04
F1LSM0	Usp24	Ubiquitin-specific peptidase 24	4.33E-04
G3V9P7	Htt	Huntingtin	4.32E-04
F1M9W9	Trappc8	Similar to TRS85 homolog	4.29E-04
B5DEI0	Pcyox1l	Pcyox1l protein	4.23E-04
A0A0G2JX07	Dapk2	Death-associated protein kinase 2	3.94E-04
Q6TUH0	Pde12	2',5'-phosphodiesterase 12	3.89E-04
A0A0G2JXJ7	Esyt1	Extended synaptotagmin-1	3.82E-04
F1M0U5	Nbas	Neuroblastoma-amplified sequence	3.71E-04
G3V852	Tln1	RCG55135, isoform CRA_b	3.70E-04
Q08602	Rabggta	Geranylgeranyl transferase type-2 subunit alpha	3.56E-04
P41499	Ptpn11	Tyrosine-protein phosphatase non-receptor type 11	3.54E-04
P41499-2	Ptpn11	Tyrosine-protein phosphatase non-receptor type 11	3.54E-04
G3V9W6	Aldh3a2	Aldehyde dehydrogenase	3.48E-04
Q92455	Lonp1	Lon protease homolog, mitochondrial	3.39E-04
D3ZER6	Tnpo2	Transportin 2	3.30E-04
Q68FT7	Farsb	Phenylalanyl-tRNA synthetase, beta subunit	3.26E-04
D5MTG9	Ubr1	UBR1 protein	3.00E-04
B2RYI0	Wdr91	WD repeat-containing protein 91	2.81E-04
A0A0G2K6T0	Slc12a6	RCG27287, isoform CRA_b	2.72E-04
D3ZII8	Smyd5	SET and MYND domain containing 5	2.50E-04
B2RYJ3	Cul4a	Cullin 4A	2.50E-04
A11LK9	Rspry1	Ring finger and SPRY domain containing 1	2.46E-04
A0A0G2K1G4	Rspry1	Ring finger and SPRY domain-containing 1	2.46E-04
F1LW91	Numa1	Nuclear mitotic apparatus protein 1	2.25E-04
F7FF45	Numa1	Nuclear mitotic apparatus protein 1	2.25E-04
P23514	Copb1	Coatomer subunit beta	2.18E-04
Q9R156	Cd1d1	CD1 antigen	1.93E-04
Q5FWU3	Atg9a	Autophagy-related protein 9A	1.80E-04
F1LQT3	Rock2	Rho-associated protein kinase	1.66E-04
A0A0G2K5N6	Rock2	Rho-associated protein kinase	1.66E-04
Q5PQN1	Herc4	Probable E3 ubiquitin-protein ligase HERC4	1.48E-04
G3V650	Sptbn1	Spectrin beta chain	1.38E-04
A0A0G2K8W9	Sptbn1	Spectrin beta chain	1.38E-04
A0A0G2K365	Micall2	MICAL-like protein 2	1.15E-04
D4A9U6	Ubr2	Ubiquitin protein ligase E3 component n-recogin 2	8.09E-05
A0A0G2K1U4	Ubr2	Ubiquitin protein ligase E3 component n-recogin 2	8.09E-05
P0C5Y8	Als2	Alsin	4.83E-05
Q35550	Rabep1	Rab GTPase-binding effector protein 1	0.00E+00
P05765	Rps21	40S ribosomal protein S21	0.00E+00
P05696	Prkca	Protein kinase C alpha type	0.00E+00
F1MAA2	Cops7a	COP9 signalosome subunit 7A	0.00E+00
F1M457	Kif2c	Kinesin-like protein	0.00E+00
R4GNK3	Txn1	Thioredoxin	0.00E+00
P85971	Pgls	6-phosphogluconolactonase	0.00E+00
A0A0G2K1E2	Itga5	Integrin alpha 5	0.00E+00
Q6MG06	Gnl1	Guanine nucleotide-binding protein-like 1	0.00E+00
P12749	Rpl26	60S ribosomal protein L26	0.00E+00
Q4AE70-2	Carm1	Histone-arginine methyltransferase CARM1	0.00E+00
P62898	Cycc	Cytochrome c, somatic	0.00E+00
D3ZVM9	Ccr12	C-C motif chemokine receptor-like 2	0.00E+00
Q6IMF3	Krt1	Keratin, type II cytoskeletal 1	0.00E+00
Q53UA7	Taok3	Serine/threonine-protein kinase TAO3	0.00E+00
Q6AY25	Tmed3	Transmembrane emp24 domain-containing protein 3	0.00E+00
B0BNA6	Cnih1	Cornichon family AMPA receptor auxiliary protein 1	0.00E+00
P97840-2	Lgals9	Galectin-9	0.00E+00
P97887	Psen1	Presenilin-1	0.00E+00
A0A0G2KBB9	Ank2	Ankyrin 2	0.00E+00
A0A0G2K6Q5	Gnl1	Guanine nucleotide-binding protein-like 1	0.00E+00

P69735	Rab3gap1	Rab3 GTPase-activating protein catalytic subunit	0.00E+00
Q64548-2	Rtn1	Reticulon-1	0.00E+00
A0A0G2JST3	Krt1	Keratin, type II cytoskeletal 1	0.00E+00
A0A0G2K4T3	Acap2	Arf-GAP with coiled-coil, ANK repeat and PH domain-containing protein 2	0.00E+00
A0A0G2K373	Sphk1	Sphingosine kinase 1	0.00E+00
P50279-3	Stx2	Syntaxin-2	0.00E+00
B5DEEM5	Rpl14	60S ribosomal protein L14	0.00E+00
P35427	Rpl13a	60S ribosomal protein L13a	0.00E+00
Q923U9	Slc40a1	Solute carrier family 40 member 1	0.00E+00
B2RYN6	Ap1g1	Adaptor-related protein complex 1, gamma 1 subunit, isoform CRA_b	0.00E+00
Q4V8I9	Ugp2	UDP-glucose pyrophosphorylase 2	0.00E+00
P63025	Vamp3	Vesicle-associated membrane protein 3	0.00E+00
Q6AYR1	Tfg	RCG52996, isoform CRA_a	0.00E+00
A0A0G2JVB0	Slc2a3	Solute carrier family 2, facilitated glucose transporter member 3-like	0.00E+00
Q6IUR5	Nenf	Neudisin	0.00E+00
A0A0G2K2C7	Usp9x	Ubiquitin-specific peptidase 9, X-linked	0.00E+00
P10719	Atp5b	ATP synthase subunit beta, mitochondrial	0.00E+00
G3V6P2	Dlst	Dihydroliipoamide S-succinyltransferase	0.00E+00
B1WBV4	Plekhf2	Pleckstrin homology and FYVE domain-containing 2	0.00E+00
Q03555	Gphn	Gephyrin	0.00E+00
P14942	Gsta4	Glutathione S-transferase alpha-4	0.00E+00
Q9WTV5	Psmc9	26S proteasome non-ATPase regulatory subunit 9	0.00E+00
Q64537	Capns1	Calpain small subunit 1	0.00E+00
A0A0U1RS36	March8	Membrane-associated ring-CH-type finger 8	0.00E+00
Q6DGG0	Ppid	Peptidyl-prolyl cis-trans isomerase D	0.00E+00
Q499R1	Ppp2r5d	Ppp2r5d protein	0.00E+00
O35217	Minpp1	Multiple inositol polyphosphate phosphatase 1	0.00E+00
Q5XIH7	Phb2	Prohibitin-2	0.00E+00
P50279-2	Stx2	Syntaxin-2	0.00E+00
D3ZPY0	Wtap	WT1-associated protein	0.00E+00
D3ZG37	Ppp6r1	Protein phosphatase 6, regulatory subunit 1	0.00E+00
G3V6V1	Rnpep	Aminopeptidase B	0.00E+00
D3ZVD8	Hdac6	Histone deacetylase	0.00E+00
F1MA36	Sptbn2	Spectrin beta chain	0.00E+00
Q9WV63	Kif2a	Kinesin-like protein KIF2A	0.00E+00
Q07647	Slc2a3	Solute carrier family 2, facilitated glucose transporter member 3	0.00E+00
P17475	Serpina1	Alpha-1-antiproteinase	0.00E+00
Q5GH61	Xk	Membrane transport protein XK	0.00E+00
A0A140TAD8	Slc11a2	Natural resistance-associated macrophage protein 2	0.00E+00
Q4KLH5	Agfg1	Arf-GAP domain and FG repeat-containing protein 1	0.00E+00
Q9JIH7-3	Wnk1	Serine/threonine-protein kinase WNK1	0.00E+00
Q62902	Lman1	Protein ERGIC-53	0.00E+00
P40329	Rars	Arginine--tRNA ligase, cytoplasmic	0.00E+00
Q6AYV6	Fth1	Ferritin	0.00E+00
B5DES1	Rpl23a	RCG33340	0.00E+00
Q03344	Atpif1	ATPase inhibitor, mitochondrial	0.00E+00
A0A0G2K6U1	Nsf	Vesicle-fusing ATPase	0.00E+00
P26431	Slc9a1	Sodium/hydrogen exchanger 1	0.00E+00
P18422	Psmc3	Proteasome subunit alpha type-3	0.00E+00
D3ZHA0	Finc	Filamin-C	0.00E+00
A0A0A0MXZ8	Impdh1	Inosine-5'-monophosphate dehydrogenase	0.00E+00
Q5PPH9	Anp32a	Acidic	0.00E+00
MOR9L0	Naca	Nascent polypeptide-associated complex alpha subunit	0.00E+00
P70550	Rab8b	Ras-related protein Rab-8B	0.00E+00
P0C5H9	Manf	Mesencephalic astrocyte-derived neurotrophic factor	0.00E+00
Q6P9U5	Rpl9	Ribosomal protein L9	0.00E+00
A0A0G2JXD9	Dopey2	Dopey family member 2	0.00E+00
Q6LDZ3	Ptprc	Leukocyte common antigen	0.00E+00
D4A929	Wdr81	WD repeat-containing protein 81	0.00E+00
Q665Y1	Picalm	Clathrin-assembly lymphoid leukemia protein	0.00E+00
O70352	Cd82	CD82 antigen	0.00E+00
D3ZCH7	Add3	Adducin 3	0.00E+00
P35704	Prdx2	Peroxioredoxin-2	0.00E+00
MORAP5	Sbf1	SET-binding factor 1	0.00E+00
P47245-2	Nrdc	Nardilysin	0.00E+00
O08838	Amph	Amphiphysin	0.00E+00
G3V836	Clu	Clusterin	0.00E+00
A0JPM7	Fth1	Ferritin	0.00E+00
D3ZM33	LOC100362298	Ribosomal protein S18-like	0.00E+00
P85970	Arpc2	Actin-related protein 2/3 complex subunit 2	0.00E+00

E9PU28	Impdh2	Inosine-5'-monophosphate dehydrogenase 2	0.00E+00
P42667	Sec11a	Signal peptidase complex catalytic subunit SEC11A	0.00E+00
Q4AE70-3	Carm1	Histone-arginine methyltransferase CARM1	0.00E+00
Q8K3P7	Hint3	Histidine triad nucleotide-binding protein 3	0.00E+00
A0A0G2K2V6	Krt10	Keratin, type I cytoskeletal 10	0.00E+00
O78105	RT1.S3	MHC class Ib RT1.S3	0.00E+00
P06866	Hp	Haptoglobin	0.00E+00
M0RBF1	C3	Complement C3	0.00E+00
P48037	Anxa6	Annexin A6	0.00E+00
E9PTK7	Sifn14	Schlafen family member 14	0.00E+00
Q91V26	Sphk1	Sphingosine kinase 1	0.00E+00
Q6P783	Pfkl	ATP-dependent 6-phosphofructokinase	0.00E+00
Q63081	Pdia6	Protein disulfide-isomerase A6	0.00E+00
Q6AYU2	Pcbp2	Pcbp2 protein	0.00E+00
P61980	Hnrnpk	Heterogeneous nuclear ribonucleoprotein K	0.00E+00
Q9WV63-2	Kif2a	Kinesin-like protein KIF2A	0.00E+00
P15178	Dars	Aspartate--tRNA ligase, cytoplasmic	0.00E+00
A0A023ILN9	Psmb9	Proteasome subunit beta type	0.00E+00
D4A8H8	Cyfp1	Cytoplasmic FMR1 interacting protein 1	0.00E+00
F1LRB8	Mat2a	S-adenosylmethionine synthase	0.00E+00
P62161	#Н/Д	#Н/Д	0.00E+00
M0R4P9	Ube2h	Ubiquitin-conjugating enzyme E2H	0.00E+00
Q9JJ22	Erap1	Endoplasmic reticulum aminopeptidase 1	0.00E+00
G3V9Y1	Myh10	Myosin, heavy polypeptide 10, non-muscle, isoform CRA_b	0.00E+00
P37285-3	Klc1	Kinesin light chain 1	0.00E+00
Q4V7C7	Actr3	Actin-related protein 3	0.00E+00
B2GUY4	Dmtn	Dematin actin-binding protein	0.00E+00
F1LML2	Ubc	Polyubiquitin-C	0.00E+00
Q794F9	Slc3a2	4F2 cell-surface antigen heavy chain	0.00E+00
P97874	Gak	Cyclin-G-associated kinase	0.00E+00
B5DEL7	Sec61g	RCG23282, isoform CRA_a	0.00E+00
B2RYN1	Fn3krp	Fructosamine-3-kinase-related protein	0.00E+00
P0C588	Cnm4	Metal transporter CNNM4	0.00E+00
Q7TP48	Apmap	Adipocyte plasma membrane-associated protein	0.00E+00
E9PT79	Tsn	Translin	0.00E+00
A0A1B0GWQ7	Tsn	Translin	0.00E+00
Q9Z339	Gsto1	Glutathione S-transferase omega-1	0.00E+00
D3ZNG3	Sppl2a	Signal peptide peptidase-like 2A	0.00E+00
Q63617	Hyou1	Hypoxia up-regulated protein 1	0.00E+00
P08081	Clta	Clathrin light chain A	0.00E+00
P23358	Rpl12	60S ribosomal protein L12	0.00E+00
A0A0G2JUD4	Selenoi	Selenoprotein I	0.00E+00
Q4KLF8	Arcp5	Actin-related protein 2/3 complex subunit 5	0.00E+00
Q03555-6	Gphn	Gephyrin	0.00E+00
D4A030	Ubp1	Upstream-binding protein 1	0.00E+00
Q6P799	Sars	Serine--tRNA ligase, cytoplasmic	0.00E+00
A0A0G2K8S6	LOC103692171	Glucosidase 1	0.00E+00
F1M2K3	Sumo2	Small ubiquitin-related modifier	0.00E+00
O08679	Mark2	Serine/threonine-protein kinase MARK2	0.00E+00
P97878	Exoc5	Exocyst complex component 5	0.00E+00
P23347	Slc4a2	Anion exchange protein 2	0.00E+00
P62083	Rps7	40S ribosomal protein S7	0.00E+00
Q4QR85	Wdr77	Methylosome protein 50	0.00E+00
Q9WVB1	Rab6a	Ras-related protein Rab-6A	0.00E+00
P37285-2	Klc1	Kinesin light chain 1	0.00E+00
A0A0G2K763	Selenoi	Selenoprotein I	0.00E+00
P47245	Nrdc	Nardilysin	0.00E+00
Q6AYK3	Isyna1	Inositol-3-phosphate synthase 1	0.00E+00
A0A0G2K075	Ssr1	Translocon-associated protein subunit alpha	0.00E+00
A0A0G2KA82	Syp1l	Synaptophysin-like 1	0.00E+00
Q9JK11	Rtn4	Reticulon-4	0.00E+00
Q99P75	Rab9a	Ras-related protein Rab-9A	0.00E+00
D3ZFA8	LOC100362366	40S ribosomal protein S17-like	0.00E+00
Q920J4	Txn1	Thioredoxin-like protein 1	0.00E+00
F1M6X5	Txnrd2	Thioredoxin reductase 2, mitochondrial	0.00E+00
P26453-2	Bsg	Basigin	0.00E+00
A0A0G2K2V1	Usp46	Ubiquitin carboxyl-terminal hydrolase 46	0.00E+00
P36953	Afm	Afamin	0.00E+00
P26051-2	Cd44	CD44 antigen	0.00E+00
P58195	Plscr1	Phospholipid scramblase 1	0.00E+00

A0A0G2JUK4	Ube2h	Ubiquitin-conjugating enzyme E2H	0.00E+00
F1M654	Smim1	RCG31049, isoform CRA_a	0.00E+00
P63331	Ppp2ca	Serine/threonine-protein phosphatase 2A catalytic subunit alpha isoform	0.00E+00
P02401	Rplp2	60S acidic ribosomal protein P2	0.00E+00
P08426	Try3	Cationic trypsin-3	0.00E+00
Q03555-5	Gphn	Gephyrin	0.00E+00
Q6AXQ5	Pde12	2',5'-phosphodiesterase 12	0.00E+00
Q5XIM7	#Н/Д	#Н/Д	0.00E+00
A0A0G2K2Z2	Inpp5k	Inositol polyphosphate-5-phosphatase K	0.00E+00
Q9JJ50	Hgs	Hepatocyte growth factor-regulated tyrosine kinase substrate	0.00E+00
G3V837	Cd1d1	CD1d1 antigen	0.00E+00
A0A0G2JTH6	Ehd3	EH domain-containing protein 3	0.00E+00
F1LMD9	Gak	Cyclin-G-associated kinase	0.00E+00
A0A0G2K5B0	Tbc1d24	TBC1 domain family, member 24	0.00E+00
D3ZPP2	Arl8a	ADP-ribosylation factor-like GTPase 8A	0.00E+00
Q63654	Ubb	Polyubiquitin	0.00E+00
Q7JJ65	RT1.S3	MHC class Ib RT1.S3	0.00E+00
Q9Z0J5-2	Txnrd2	Thioredoxin reductase 2, mitochondrial	0.00E+00
P30839	Aldh3a2	Fatty aldehyde dehydrogenase	0.00E+00
A0A0G2K8D6	Dcun1d1	DCN1-like protein	0.00E+00
B0BNE3	Trappc5	Similar to trafficking protein particle complex 5	0.00E+00
A0A0G2K4G2	Kif2c	Kinesin-like protein	0.00E+00
F1M5N3	Ank2	Ankyrin 2	0.00E+00
Q812E8	Nadsyn1	Glutamine-dependent NAD	0.00E+00
Q6MG49	Bag6	Large proline-rich protein BAG6	0.00E+00
Q35353	Gnb4	Guanine nucleotide-binding protein subunit beta-4	0.00E+00
P28073	Psmb6	Proteasome subunit beta type-6	0.00E+00
P50137	Tkt	Transketolase	0.00E+00
Q9ES54	Nploc4	Nuclear protein localization protein 4 homolog	0.00E+00
Q9ESH1	Psmd4	26S proteasome subunit S5a	0.00E+00
Q64548	Rtn1	Reticulon-1	0.00E+00
G3V9D7	Add3	Adducin 3	0.00E+00
Q88588	Pacs1	Phosphofurin acidic cluster sorting protein 1	0.00E+00
G3V9R9	Afm	Afamin	0.00E+00
Q6QBQ3	Plscr4	Phospholipid scramblase	0.00E+00
P04642	Ldha	L-lactate dehydrogenase A chain	0.00E+00
D3ZLZ7	Impdh1	Inosine-5'-monophosphate dehydrogenase 1	0.00E+00
B4F7A5	Cd99	CD99 molecule	0.00E+00
P37727	Chm	Rab proteins geranylgeranyltransferase component A 1	0.00E+00
P60905	Dnajc5	DnaJ homolog subfamily C member 5	0.00E+00
D3ZQ59	Nrdc	Nardilysin	0.00E+00
B0BMW4	Gnas	GNAS complex locus	0.00E+00
P51635	Akr1a1	Alcohol dehydrogenase [NADP	0.00E+00
P04157-4	Ptprc	Receptor-type tyrosine-protein phosphatase C	0.00E+00
F1LPP0	Amph	Amphiphysin	0.00E+00
B0BNL7	Rell1	RELT-like 1	0.00E+00
F1LMB9	Exoc2	Exocyst complex component 2	0.00E+00
D3ZYB1	Snx22	Sorting nexin 22	0.00E+00
Q62751	Ireb2	Iron-responsive element-binding protein 2	0.00E+00
A0A0G2JTK4	Ppp6r1	Protein phosphatase 6, regulatory subunit 1	0.00E+00
Q03555-4	Gphn	Gephyrin	0.00E+00
Q9JJ50-2	Hgs	Hepatocyte growth factor-regulated tyrosine kinase substrate	0.00E+00
Q7TP58	Bpgm	Phosphoglycerate mutase	0.00E+00
P08081-2	Clta	Clathrin light chain A	0.00E+00
P63149	Ube2b	Ubiquitin-conjugating enzyme E2 B	0.00E+00
Q8R2H2	Itgb3	Integrin beta	0.00E+00
D4A2C6	Lsm4	LSM4 homolog, U6 small nuclear RNA and mRNA degradation-associated	0.00E+00
F1LM81	Tom1l1	TOM1-like protein 1	0.00E+00
Q5XIF4	Sumo3	Small ubiquitin-related modifier 3	0.00E+00
P26051	Cd44	CD44 antigen	0.00E+00
Q63083	Nucb1	Nucleobindin-1	0.00E+00
Q5XIU8	Inpp5k	Inositol polyphosphate-5-phosphatase K	0.00E+00
A0A0G2K5C9	Selenoi	Selenoprotein I	0.00E+00
F1M8E9	Lyz2	Lysozyme	0.00E+00
Q66H59	Npl	N-acetylneuraminatase lyase	0.00E+00
D4A105	Tmem63b	Transmembrane protein 63B	0.00E+00
A0A0G2JX01	Ttc7a	Tetratricopeptide repeat domain 7A	0.00E+00
D3ZZK1	LOC100359563	Ribosomal protein S20-like	0.00E+00
Q6AYG3	#Н/Д	#Н/Д	0.00E+00
D3ZRE3	Csnk1a1	Casein kinase I isoform alpha	0.00E+00

D3ZU13	Eif4g1	Eukaryotic translation initiation factor 4 gamma, 1	0.00E+00
A0A0G2JXS8	Ssr1	Translocon-associated protein subunit alpha	0.00E+00
A0A0G2K3A5	Bin3	Bridging integrator 3	0.00E+00
Q8R4A1	Ero1a	ERO1-like protein alpha	0.00E+00
Q5QD51-3	Akap12	A-kinase anchor protein 12	0.00E+00
Q6AZ83	G6pc3	Glucose-6-phosphatase 3	0.00E+00
Q8R4A1-2	Ero1a	ERO1-like protein alpha	0.00E+00
A0A0G2JT44	Tmc6	Transmembrane channel-like protein	0.00E+00
F7EUU4	Cops5	COP9 signalosome subunit 5	0.00E+00
P17074	Rps19	40S ribosomal protein S19	0.00E+00
O70593	Sgta	Small glutamine-rich tetratricopeptide repeat-containing protein alpha	0.00E+00
Q63493	Cd1d	Antigen-presenting glycoprotein CD1d	0.00E+00
D3ZQR5	Igkv5-48	Immunoglobulin kappa variable 5-48	0.00E+00
A0A0G2JZG7	Sars	Serine--tRNA ligase, cytoplasmic	0.00E+00
Q6P6U2	Psmc3	26S proteasome regulatory subunit 6A	0.00E+00
Q2TA66	Fth1	Ferritin	0.00E+00
P62752	Rpl23a	60S ribosomal protein L23a	0.00E+00
A0A0G2JX79	Ssr1	Translocon-associated protein subunit alpha	0.00E+00
G3V843	F2	Prothrombin	0.00E+00
O88941	Mogs	Mannosyl-oligosaccharide glucosidase	0.00E+00
Q1HGK5	Sphk1	Sphingosine kinase 1 long isoform	0.00E+00
P14408	Fh	Fumarate hydratase, mitochondrial	0.00E+00
F1LPG3	Pacs1	Phosphofurin acidic cluster sorting protein 1	0.00E+00
Q9QY17-3	Paccin2	Protein kinase C and casein kinase substrate in neurons 2 protein	0.00E+00
Q03555-3	Gphn	Gephyrin	0.00E+00
Q6LDP3	Gstm1	Glutathione S-transferase	0.00E+00
A0A023IM54	Tapbp	TAP binding protein	0.00E+00
A0A0G2K6X6	Mark2	Non-specific serine/threonine protein kinase	0.00E+00
Q6IRJ7	Anxa7	Annexin	0.00E+00
D3ZKC6	Vps13d	Vacuolar protein sorting 13 homolog D	0.00E+00
Q4AE70	Carm1	Histone-arginine methyltransferase CARM1	0.00E+00
P05426	Rpl7	60S ribosomal protein L7	0.00E+00
O08564	Plpp1	Phospholipid phosphatase 1	0.00E+00
P01946	Hba1	Hemoglobin subunit alpha-1/2	0.00E+00
A0A0G2K1U1	Usp15	Ubiquitin carboxyl-terminal hydrolase 15	0.00E+00
Q711G3	Iah1	Isoamyl acetate-hydrolyzing esterase 1 homolog	0.00E+00
P63029	Tpt1	Translationally-controlled tumor protein	0.00E+00
Q4KM49	Yars	Tyrosine--tRNA ligase, cytoplasmic	0.00E+00
D3ZEN0	Micall2	MICAL-like protein 2	0.00E+00
Q6PEC4	Skp1	S-phase kinase-associated protein 1	0.00E+00
P04276	Gc	Vitamin D-binding protein	0.00E+00
P28064	Psmb8	Proteasome subunit beta type-8	0.00E+00
D3ZJY5	LOC100361240	Ribosomal protein S10-like	0.00E+00
P08649	C4	Complement C4 [Cleaved into: Complement C4 beta chain	0.00E+00
Q5RK10	Rpl13a	60S ribosomal protein L13a	0.00E+00
P60868	Rps20	40S ribosomal protein S20	0.00E+00
P47967	Lgals5	Galectin-5	0.00E+00
D3ZJW6	rCG_21066	RCG21066	0.00E+00
F1M625	Usp46	Ubiquitin carboxyl-terminal hydrolase 46	0.00E+00
A0A096MJ67	Rell1	RELT-like 1	0.00E+00
Q9Z269	Vapb	Vesicle-associated membrane protein-associated protein B	0.00E+00
Q32KK0	Arse	Arylsulfatase E	0.00E+00
P18297	Spr	Sepiapterin reductase	0.00E+00
Q66HM2	Ap2a2	AP-2 complex subunit alpha-2	0.00E+00
B2GUZ1	Usp4	Ubiquitin carboxyl-terminal hydrolase 4	0.00E+00
P02651	Apoa4	Apolipoprotein A-IV	0.00E+00
P50279	Stx2	Syntaxin-2	0.00E+00
Q91Y78	Uchl3	Ubiquitin carboxyl-terminal hydrolase isozyme L3	0.00E+00
D3Z865	Mpdu1	Mannose-P-dolichol utilization defect 1	0.00E+00
A0A0G2K528	Stx16	Syntaxin 16	0.00E+00
O35796	C1qbp	Complement component 1 Q subcomponent-binding protein, mitochondrial	0.00E+00
Q68G38	Tor1a	Torsin-1A	0.00E+00
P67874	Csnk2b	Casein kinase II subunit beta	0.00E+00
Q8R478	Wbp2	WW domain-binding protein 2	0.00E+00
B5DEP1	#Н/Д	#Н/Д	0.00E+00
A0A096MK07	Slnf14	Schlafen family member 14	0.00E+00
F1LQS3	Rpl6-ps1	60S ribosomal protein L6	0.00E+00
G3V607	Chm	Rab proteins geranylgeranyltransferase component A 1	0.00E+00
Q7TQ11	Vtn	Aa1018	0.00E+00
O54975	Xpnpep1	Xaa-Pro aminopeptidase 1	0.00E+00

O70600	Rsad2	Radical S-adenosyl methionine domain-containing protein 2	0.00E+00
A0A0G2K189	Scrn3	Secernin 3	0.00E+00
A0A0G2K112	Cnih1	Cornichon family AMPA receptor auxiliary protein 1	0.00E+00
P62271	Rps18	40S ribosomal protein S18	0.00E+00
A0A0G2K5E7	Acly	ATP-citrate synthase	0.00E+00
P62944	Ap2b1	AP-2 complex subunit beta	0.00E+00
Q5U4E6	Golga4	Golgin subfamily A member 4	0.00E+00
A0A0G2KAY8	Sep15	Selenoprotein 15	0.00E+00
P04157-3	Ptpnc	Receptor-type tyrosine-protein phosphatase C	0.00E+00
F1LM42	Ank2	Ankyrin 2	0.00E+00
P10959	Ces1c	Carboxylesterase 1C	0.00E+00
A1A5L1	Blmh	Bleomycin hydrolase	0.00E+00
A0A0G2JY43	Aldh3a2	Fatty aldehyde dehydrogenase	0.00E+00
E9PSY8	Eps15	Epidermal growth factor receptor pathway substrate 15	0.00E+00
B1WBY7	Erlin1	ER lipid raft-associated 1	0.00E+00
Q923V8	Selenof	Selenoprotein F	0.00E+00
B2GV22	Ptdss2	Phosphatidylserine synthase 2	0.00E+00
MORBF8	Exoc4	Exocyst complex component 4	0.00E+00
G3V721	Wbp2	WW domain binding protein 2, isoform CRA_b	0.00E+00
D4A1B9	Smc3	Structural maintenance of chromosomes protein	0.00E+00
D4AD37	Impad1	Inositol monophosphatase 3	0.00E+00
P08644-2	Kras	GTPase KRas	0.00E+00
D3ZCK4	Def6	DEF6 guanine nucleotide exchange factor	0.00E+00
A0A068FP44	CARM1	Coactivator-associated arginine methyltransferase 1 variant 5	0.00E+00
P22734	Comt	Catechol O-methyltransferase	0.00E+00
O08779	Cd44	CD44 protein	0.00E+00
P00762	Prss1	Anionic trypsin-1	0.00E+00
B4F7D7	Selenoi	Seli protein	0.00E+00
P04157-5	Ptpnc	Receptor-type tyrosine-protein phosphatase C	0.00E+00
P18292	F2	Prothrombin	0.00E+00
Q9ESW0	Ddb1	DNA damage-binding protein 1	0.00E+00
F1MAH5	Ppp6r3	Protein phosphatase 6, regulatory subunit 3	0.00E+00
Q9E540	Arl6ip5	PRA1 family protein 3	0.00E+00
A0A0H2UHT6	Rps18	Ribosomal protein S18	0.00E+00
A0A0H2UI38	LOC100910336	40S ribosomal protein S19-like	0.00E+00
D3ZJR1	Eps15l1	Epidermal growth factor receptor pathway substrate 15-like 1	0.00E+00
P38659	Pdia4	Protein disulfide-isomerase A4	0.00E+00
Q9Z1M9	Smc1a	Structural maintenance of chromosomes protein 1A	0.00E+00
Q6VV72	Eif1a	Eukaryotic translation initiation factor 1A	0.00E+00
P13471	Rps14	40S ribosomal protein S14	0.00E+00
P50878	Rpl4	60S ribosomal protein L4	0.00E+00
P49242	Rps3a	40S ribosomal protein S3a	0.00E+00
P04157	Ptpnc	Receptor-type tyrosine-protein phosphatase C	0.00E+00
Q9QUQ2	RT1-S3	BM1k	0.00E+00
Q5FVS1	Fth1	Ferritin	0.00E+00
G3V6H9	Nap1l1	Nucleosome assembly protein 1-like 1	0.00E+00
Q3ZAV8	Edc4	Enhancer of mRNA-decapping protein 4	0.00E+00
G3V6W6	Psmc6	Proteasome 26S subunit, ATPase 6	0.00E+00
A0A0G2JSR4	Stat5b	Signal transducer and activator of transcription	0.00E+00
P62944-2	Ap2b1	AP-2 complex subunit beta	0.00E+00
Q7TP02	Tsn	Da2-35	0.00E+00
Q3KR94	Vtn	Vitronectin	0.00E+00
Q9QWN8	Sptbn2	Spectrin beta chain, non-erythrocytic 2	0.00E+00
D4ABM3	Daam1	Dishevelled associated activator of morphogenesis 1	0.00E+00
Q9QZA2	Pdcd6ip	Programmed cell death 6-interacting protein	0.00E+00
P31977	Ezr	Ezrin	0.00E+00
P35280	Rab8a	Ras-related protein Rab-8A	0.00E+00
B0BMS8	Myl9	Myl9 protein	0.00E+00
B2RYL4	Armc6	Armadillo repeat-containing 6	0.00E+00
Q66HD0	Hsp90b1	Endoplasmic	0.00E+00
Q5RJQ4	Sirt2	NAD-dependent protein deacetylase sirtuin-2	0.00E+00
P13233	Cnp	2',3'-cyclic-nucleotide 3'-phosphodiesterase	0.00E+00
P14408-2	Fh	Fumarate hydratase, mitochondrial	0.00E+00
D3ZKR8	Tmem167a	Protein kish	0.00E+00
P20650	Ppm1a	Protein phosphatase 1A	0.00E+00
D3ZG81	March8	Membrane-associated ring finger	0.00E+00
G3V983	Gstm1	Glutathione S-transferase	0.00E+00
P83868	Ptges3	Prostaglandin E synthase 3	0.00E+00
P68511	Ywhah	14-3-3 protein eta	0.00E+00
A0A0G2KAD5	Chm	Rab proteins geranylgeranyltransferase component A 1	0.00E+00

Q63199	Fas	Tumor necrosis factor receptor superfamily member 6	0.00E+00
G3V7Q8	Prss3b	Cationic trypsinogen	0.00E+00
F1LQF2	RT1-S3	RT1 class Ib, locus S3	0.00E+00
Q9JIH7-2	Wnk1	Serine/threonine-protein kinase WNK1	0.00E+00
P04897	Gnai2	Guanine nucleotide-binding protein G	0.00E+00
A0A0G2K9E0	Rnh1	Ribonuclease inhibitor	0.00E+00
P80254	Ddt	D-dopachrome decarboxylase	0.00E+00
M0R3V4	Mydgf	Myeloid-derived growth factor	0.00E+00
Q0KL00	Piezo1	Piezo-type mechanosensitive ion channel component 1	0.00E+00
Q62753	Stxbp2	Syntaxin-binding protein 2	0.00E+00
A0A0G2KBC7	Pfkm	ATP-dependent 6-phosphofructokinase	0.00E+00
P61959	Sumo2	Small ubiquitin-related modifier 2	0.00E+00
P17077	Rpl9	60S ribosomal protein L9	0.00E+00
Q8VD52	Pdxp	Pyridoxal phosphate phosphatase	0.00E+00
Q32PX6	Rhog	Ras homolog family member G	0.00E+00
G3V8T5	Ruvb12	RuvB-like helicase	0.00E+00
D3ZAC0	Itga2b	Integrin subunit alpha 2b	0.00E+00
Q62909	Kif2c	Kinesin-like protein KIF2C	0.00E+00
Q8VIF7	Selenbp1	Selenium-binding protein 1	0.00E+00
P04157-2	Ptprc	Receptor-type tyrosine-protein phosphatase C	0.00E+00
P37285	Klc1	Kinesin light chain 1	0.00E+00
P62243	Rps8	40S ribosomal protein S8	0.00E+00
A0A0H2UHG7	Rps20	40S ribosomal protein S20	0.00E+00
D3ZTH8	LOC689899	Similar to 60S ribosomal protein L23a	0.00E+00
P11598	Pdia3	Protein disulfide-isomerase A3	0.00E+00
Q8CG45	Akr7a2	Aflatoxin B1 aldehyde reductase member 2	0.00E+00
F1LT36	RGD1564698	Similar to ribosomal protein S10	0.00E+00
Q6P7Q1	#Н/Д	#Н/Д	0.00E+00
Q505J2	Ache	Carboxylic ester hydrolase	0.00E+00
P63219	Gng5	Guanine nucleotide-binding protein G	0.00E+00
Q6XD99	Sptbn1	Spectrin beta chain	0.00E+00
Q63429	Ubc	Polyubiquitin-C [Cleaved into: Ubiquitin	0.00E+00
Q64122	Myl9	Myosin regulatory light polypeptide 9	0.00E+00
Q9Z0J5	Txnrd2	Thioredoxin reductase 2, mitochondrial	0.00E+00
A0A0H2UHR7	Finc	Filamin-C	0.00E+00
F8WFT7	Slc4a1	Anion exchange protein	0.00E+00
P62703	Rps4x	40S ribosomal protein S4, X isoform	0.00E+00
A0A0G2JY62	Lpin2	Lipin 2	0.00E+00
D3ZCS3	Pcbp4	Poly	0.00E+00
P38062	Metap2	Methionine aminopeptidase 2	0.00E+00
Q7TPJ0	Ssr1	Translocon-associated protein subunit alpha	0.00E+00
Q63716	Prdx1	Peroxiredoxin-1	0.00E+00
A0A0G2JWE5	Sphk1	Sphingosine kinase 1	0.00E+00
Q66HJ7	Ptpra	Receptor-type tyrosine-protein phosphatase	0.00E+00
Q7TP42	Sec62	Ab2-292	0.00E+00
P18445	Rpl27a	60S ribosomal protein L27a	0.00E+00
A0A0G2K7F7	Tpm1	Tropomyosin alpha-1 chain	0.00E+00
Q5FWT0	LOC100360548	Ubc protein	0.00E+00
Q5FVC7	Acap2	Arf-GAP with coiled-coil, ANK repeat and PH domain-containing protein 2	0.00E+00
P04905	Gstm1	Glutathione S-transferase Mu 1	0.00E+00
Q99P74	Rab27b	Ras-related protein Rab-27B	0.00E+00
G3V7W1	#Н/Д	#Н/Д	0.00E+00
Q6IFW6	Krt10	Keratin, type I cytoskeletal 10	0.00E+00
P63095	Gnas	Guanine nucleotide-binding protein G	0.00E+00
P04764	Eno1	Alpha-enolase	0.00E+00
Q7TPJ5	Impad1	Ac2-190	0.00E+00
Q03555-2	Gphn	Gephyrin	0.00E+00
Q5XI09	Gnl1	Gnl1 protein	0.00E+00
Q5RKI0	Wdr1	WD repeat-containing protein 1	0.00E+00
Q5EBC0	Itih4	Inter alpha-trypsin inhibitor, heavy chain 4	0.00E+00
A0A0G2K5K7	Inpp5k	Inositol polyphosphate-5-phosphatase K	0.00E+00
P39052	Dnm2	Dynamin-2	0.00E+00
Q68FW8	Bin3	Bridging integrator 3	0.00E+00
P62804	Hist1h4b	Histone H4 [Cleaved into: Osteogenic growth peptide	0.00E+00
B5DF60	Eif1ax	Eukaryotic translation initiation factor 1A, X-linked	0.00E+00
Q4AE70-4	Carm1	Histone-arginine methyltransferase CARM1	0.00E+00
P62755	Rps6	40S ribosomal protein S6	0.00E+00
P97840	Lgals9	Galectin-9	0.00E+00
Q499R7	Ppa1	Ppa1 protein	0.00E+00

## Приложение 1. Список общих белков идентифицированных во всех образцах HEG

Protein_ID	Gene names	Protein names	Average riBAQ
A0A0G2JSW3	Hbb	Globin a4	12.153
B1H216	Hba-a1	Globin c3	11.331
A0A0G2JSH9	Prdx2	Peroxioredoxin-2	8.291
P23562	Slc4a1	Band 3 anion transport protein	6.635
D4A678	Spta1	Spectrin, alpha, erythrocytic 1	3.833
P60711	Actb	Actin, cytoplasmic 1	3.028
D3Z9Z0	Ank1	Ankyrin 1	2.204
B5DF57	Epb42	Erythrocyte membrane protein band 4.2	1.835
A7BFV9	N/A	Epidermal growth factor receptor pathway substrate 15	1.730
B5DEP6	N/A	Uncharacterized protein	1.730
A0A0G2K6L6	N/A	Uncharacterized protein	1.730
A0A0G2JY70	N/A	Uncharacterized protein	1.730
P20762	N/A	Ig gamma-2C chain C region	1.730
MOR5J4	N/A	Uncharacterized protein	1.730
Q64538	N/A	Serine/threonine-protein phosphatase	1.730
D4ACR1	N/A	Uncharacterized protein	1.730
B6DYQ5	N/A	Glutathione S-transferase omega 1	1.730
A0A0G2K3Z9	N/A	Uncharacterized protein	1.730
MOR6W5	N/A	Uncharacterized protein	1.730
Q65ZS7	N/A	Rat apolipoprotein E protein	1.730
P11517	N/A	Hemoglobin subunit beta-2	1.730
O55212	N/A	Ribosomal protein S2	1.730
F2Z3T8	N/A	Guanine nucleotide-binding protein subunit gamma	1.730
G3V9I8	Rhag	Ammonium transporter Rh type A	1.570
A0A0G2KAK2	Epb41	Erythrocyte membrane protein band 4.1	1.470
Q63610	Tpm3	Tropomyosin alpha-3 chain	1.458
Q6XFR6	Gypc	Glycophorin-C	1.406
O88775	Emb	Embigin	1.403
Q6F6B2	Mpp1	p55 protein	1.252
P04762	Cat	Catalase	1.132
P29975	Aqp1	Aquaporin-1	0.837
Q5X104	Stom	RCG45489, isoform CRA_a	0.678
P46462	Vcp	Transitional endoplasmic reticulum ATPase	0.613
Q6P9V6	Psm5	Proteasome subunit alpha type	0.530
P63018	Hspa8	Heat shock cognate 71 kDa protein	0.521
Q6IMZ5	Tmod1	Tropomodulin-1	0.447
P53987	Slc16a1	Monocarboxylate transporter 1	0.434
F8WFS9	Add2	Beta-adducin	0.432
P68035	Actc1	Actin, alpha cardiac muscle 1	0.391
Q5BKE5	RGD1565355	RCG24401, isoform CRA_b	0.387
Q9JKB7	Gda	Guanine deaminase	0.383
O88298	Rhd	Blood group Rh	0.382
B1WBX5	Slc43a1	Solute carrier family 43, member 1	0.363
A0A0G2JSV6	Hba-a2	Globin c2	0.356
P27274	Cd59	CD59 glycoprotein	0.322
Q6P9V7	Psme1	Proteasome	0.318
P97829	Cd47	Leukocyte surface antigen CD47	0.316
P97829-2	Cd47	Leukocyte surface antigen CD47	0.316
A0A0G2JTH4	Cd47	Leukocyte surface antigen CD47	0.316
P13676	Apeh	Acylamino-acid-releasing enzyme	0.282
A0A0G2KOW9	Psm7	Proteasome subunit alpha type	0.272
P10252	Cd48	CD48 antigen	0.263
Q6AZZ5	Tpm1	Tropomyosin 1, alpha	0.256
Q6PDW4	Psmb1	Proteasome subunit beta type	0.247
Q63028	Add1	Alpha-adducin	0.245
D3ZZ99	Add1	Alpha-adducin	0.245
P17220	Psm2	Proteasome subunit alpha type-2	0.239
Q63910	Hba-a3	Alpha globin	0.228
P18420	Psm1	Proteasome subunit alpha type-1	0.198
P60901	Psm6	Proteasome subunit alpha type-6	0.197
A0A0G2JYW3	Clta	Clathrin light chain	0.197
Q5PPP1	Clta	Clathrin light chain	0.197
P60892	Prps1	Ribose-phosphate pyrophosphokinase 1	0.195
B2RZ37	Reep5	Receptor expression-enhancing protein 5	0.191
P70645	Blmh	Bleomycin hydrolase	0.187
MORD20	Capns1	Calpain small subunit 1	0.183

P40307	Psmb2	Proteasome subunit beta type-2	0.173
P97571	Capn1	Calpain-1 catalytic subunit	0.169
P18418	Calr	Calreticulin	0.165
G3V978	Dhrs11	Dehydrogenase/reductase 11	0.165
M0R8C6	Slc14a1	Urea transporter	0.162
Q6IE67	PsmA3	Proteasome subunit alpha type	0.161
A0A0H2UHM5	Pdia3	Protein disulfide-isomerase	0.158
P20761	Igh-1a	Ig gamma-2B chain C region	0.153
Q63798	PsmE2	Proteasome activator complex subunit 2	0.153
F1M779	Cltc	Clathrin heavy chain	0.142
P06761	Hspa5	78 kDa glucose-regulated protein	0.141
Q6RUV5	Rac1	Ras-related C3 botulinum toxin substrate 1	0.137
A0A0G2K0X4	Rac1	Ras-related C3 botulinum toxin substrate 1	0.137
P24368	Ppib	Peptidyl-prolyl cis-trans isomerase B	0.135
P19804	Nme2	Nucleoside diphosphate kinase B	0.134
Q5XI77	Anxa11	Annexin	0.133
A0A096MK30	Msn	Moesin	0.133
P07151	B2m	Beta-2-microglobulin	0.133
P40112	PsmB3	Proteasome subunit beta type-3	0.132
Q9Z0V5	Prdx4	Peroxiredoxin-4	0.132
P62836	Rap1a	Ras-related protein Rap-1A	0.128
D3Z841	Btnl10	Butyrophilin-like 10	0.126
P04041	Gpx1	Glutathione peroxidase 1	0.125
Q9JHW0	PsmB7	Proteasome subunit beta type-7	0.124
D3ZVQ0	Usp5	Ubiquitinyl hydrolase 1	0.122
P21670	PsmA4	Proteasome subunit alpha type-4	0.122
Q9R0I8	Pip4k2a	Phosphatidylinositol 5-phosphate 4-kinase type-2 alpha	0.122
D4A2G9	Ranbp1	RAN-binding protein 1	0.122
G3V8U9	PsmB4	Proteasome subunit beta	0.120
O35567	Atic	Bifunctional purine biosynthesis protein PURH	0.111
P97546-1	Nptn	Neuroplastin	1.09E-01
A0A0G2JSL0	LOC100360846	Proteasome subunit beta type	1.07E-01
F8V328	Rab8a	RAB8	1.07E-01
Q64560	Tpp2	Tripeptidyl-peptidase 2	1.06E-01
P62260	Ywhae	14-3-3 protein epsilon	1.03E-01
P05065	Aldoa	Fructose-bisphosphate aldolase A	1.02E-01
Q64542-4	Atp2b4	Plasma membrane calcium-transporting ATPase 4	9.97E-02
Q64542	Atp2b4	Plasma membrane calcium-transporting ATPase 4	9.97E-02
Q5RKJ9	Rab10	RAB10, member RAS oncogene family	9.93E-02
P16228-2	Ctse	Cathepsin E	9.89E-02
P16228	Ctse	Cathepsin E	9.89E-02
Q5XI34	Ppp2r1a	Protein phosphatase 2	9.65E-02
P63102	Ywhaz	14-3-3 protein zeta/delta	9.29E-02
Q6PDU6	Hbb-b1	Beta-glo	9.11E-02
P07632	Sod1	Superoxide dismutase	9.07E-02
Q6LDS4	Sod1	Superoxide dismutase	9.07E-02
F1LMZ8	PsmD11	26S proteasome non-ATPase regulatory subunit 11	9.06E-02
G3V7Q6	PsmB5	Proteasome subunit beta type	9.02E-02
P61589	Rhoa	Transforming protein RhoA	9.00E-02
F1MA10	Art4	NAD	8.85E-02
A0JN17	Kras	V-Ki-ras2 Kirsten rat sarcoma viral oncogene homolog	8.71E-02
Q5U300	Uba1	Ubiquitin-like modifier-activating enzyme 1	8.28E-02
A0A0G2K7M2	Rad23a	RAD23 homolog A, nucleotide excision repair protein	8.15E-02
Q6RJR6-2	Rtn3	Reticulon-3	8.12E-02
A1L116	Rtn3	Reticulon	8.12E-02
A0A0H2UHX1	Rtn3	Reticulon	8.12E-02
F1M761	Kel	Kell blood group, metallo-endoropeptidase	7.97E-02
Q63569	PsmC3	26S proteasome regulatory subunit 6A	7.96E-02
F1LPV0	Nars	Asparaginyl-tRNA synthetase	7.90E-02
O35814	Stip1	Stress-induced-phosphoprotein 1	7.86E-02
P62198	PsmC5	26S proteasome regulatory subunit 8	7.62E-02
D4AEH3	PsmD7	Proteasome	7.61E-02
O88600	Hspa4	Heat shock 70 kDa protein 4	7.51E-02
F2Z3Q8	Kpnb1	Importin subunit beta-1	7.46E-02
Q63570	PsmC4	26S proteasome regulatory subunit 6B	7.40E-02
Q6P7Q4	Glo1	Lactoylglutathione lyase	7.29E-02
P97536	Cand1	Cullin-associated NEDD8-dissociated protein 1	7.12E-02
O35987	Nsfl1c	NSFL1 cofactor p47	7.11E-02
G3V7N8	Lgals9	Galectin	7.10E-02
Q6P7Q6	Lgals9	Galectin	7.10E-02

G3V7L6	Psmc2	26S proteasome regulatory subunit 7	6.74E-02
P82995	Hsp90aa1	Heat shock protein HSP 90-alpha	6.69E-02
P35565	Canx	Calnexin	6.62E-02
Q3T1J1	Eif5a	Eukaryotic translation initiation factor 5A-1	6.56E-02
B5DF65	Blvrb	Biliverdin reductase B	6.39E-02
MORB05	LOC688282	Hypothetical protein LOC688282	6.27E-02
Q5BJ93	Eno1	Enolase 1,	6.21E-02
P06685	Atp1a1	Sodium/potassium-transporting ATPase subunit alpha-1	6.14E-02
D4A4D5	LOC498555	Similar to 60S acidic ribosomal protein P2	6.09E-02
Q4FZT9	Psmd2	26S proteasome non-ATPase regulatory subunit 2	5.99E-02
D3Z9R6	Ermmap	Erythroblast membrane-associated protein	5.96E-02
P04785	P4hb	Protein disulfide-isomerase	5.76E-02
G3V632	Stx2	Epimorphin, isoform CRA_a	5.62E-02
Q45QK8	Gng5	Guanine nucleotide-binding protein subunit gamma	5.59E-02
Q5XIR9	Ubac1	Ubiquitin-associated domain-containing protein 1	5.56E-02
Q5I0M1	Apoh	Apolipoprotein H	5.52E-02
Q9VVJ6	Tgm2	Tissue-type transglutaminase	5.52E-02
D4A781	Ipo5	Importin 5	5.49E-02
O55158	Tspan8	Tetraspanin	5.48E-02
B5DFD8	Sh3bgrl	SH3 domain-binding glutamic acid-rich-like protein	5.32E-02
B2RYK3	Spr	RCG56371	5.29E-02
A0A0G2K7Q1	Plscr1	Phospholipid scramblase	5.28E-02
P62630	Eef1a1	Elongation factor 1-alpha 1	5.27E-02
O88321	Psmd4	Antisecretory factor	5.24E-02
P62193	Psmc1	26S proteasome regulatory subunit 4	5.04E-02
O35509	Rab11b	Ras-related protein Rab-11B	4.93E-02
Q5XIM9	Cct2	T-complex protein 1 subunit beta	4.91E-02
B1WBN9	Pklr	Pyruvate kinase	4.87E-02
P12928	Pklr	Pyruvate kinase PKLR	4.87E-02
P12928-2	Pklr	Pyruvate kinase PKLR	4.87E-02
A0A0H2UI07	Pklr	Pyruvate kinase	4.87E-02
Q6PCT9	Psmd6	Proteasome	4.82E-02
G3V8B6	Psmd1	26S proteasome non-ATPase regulatory subunit 1	4.82E-02
D3ZW08	Adsl	Adenylosuccinate lyase	4.79E-02
P05370	G6pdx	Glucose-6-phosphate 1-dehydrogenase	4.79E-02
P18163	Acsl1	Long-chain-fatty-acid--CoA ligase 1	4.77E-02
G3V655	Mthfd1	C-1-tetrahydrofolate synthase, cytoplasmic	4.74E-02
P36860	Ralb	Ras-related protein Ral-B	4.73E-02
Q45QN0	Gnai2	Guanine nucleotide binding protein alpha inhibiting 2	4.69E-02
B0BN93	Psmd13	26S proteasome non-ATPase regulatory subunit 13	4.68E-02
Q568Z6	Ist1	IST1 homolog	4.67E-02
B2GV92	Ptges3	Ptges3 protein	4.66E-02
Q68FQ0	Cct5	T-complex protein 1 subunit epsilon	4.55E-02
Q6P502	Cct3	T-complex protein 1 subunit gamma	4.51E-02
Q8CFN2	Cdc42	Cell division control protein 42 homolog	4.51E-02
Q5U316	Rab35	Ras-related protein Rab-35	4.50E-02
Q3MHS9	Cct6a	Chaperonin containing Tcp1, subunit 6A	4.49E-02
P12346	Tf	Serotransferrin	4.48E-02
M0RCB7	Apol2	Apolipoprotein L, 2	4.37E-02
A0A0G2K3V2	Akr7a2	Aflatoxin B1 aldehyde reductase member 2	4.34E-02
A0A0A0MXY9	Akr7a2	Aflatoxin B1 aldehyde reductase member 2	4.34E-02
Q6IRI3	Paccin2	Protein kinase C and casein kinase substrate in neurons 2	4.18E-02
G3V6H7	Slc40a1	Solute carrier family 39	4.15E-02
D4ACB8	Cct8	Chaperonin subunit 8	4.12E-02
P54313	Gnb2	Guanine nucleotide-binding protein G	4.06E-02
Q5X173	Arhgdia	Rho GDP-dissociation inhibitor 1	4.03E-02
Q9WU49	Carhsp1	Calcium-regulated heat stable protein 1	3.99E-02
P62828	Ran	GTP-binding nuclear protein Ran	3.96E-02
F7EPH4	Ppa1	Pyrophosphatase	3.95E-02
P61765	Stxbp1	Syntaxin-binding protein 1	3.91E-02
P18484	Ap2a2	AP-2 complex subunit alpha-2	3.90E-02
P19468	Gclc	Glutamate--cysteine ligase catalytic subunit	3.86E-02
P28480	Tcp1	T-complex protein 1 subunit alpha	3.85E-02
D4AC23	Cct7	Chaperonin-containing TCP1 subunit 7	3.82E-02
Q5X160	Reep6	Receptor expression-enhancing protein 6	3.77E-02
P27139	Ca2	Carbonic anhydrase 2	3.76E-02
A0A0G2JX56	Dnajc5	Dnaj	3.73E-02
Q4V8E2	Psmd14	Proteasome	3.71E-02
Q5XIC6	Psmd12	Proteasome	3.64E-02
G3V6P8	Gng12	Guanine nucleotide-binding protein subunit gamma	3.61E-02

D3ZIP8	Endod1	Endonuclease domain-containing 1	3.61E-02
P61203	Cops2	COP9 signalosome complex subunit 2	3.60E-02
B0BNJ1	Sri	LOC683667 protein	3.52E-02
Q7TPB1	Cct4	T-complex protein 1 subunit delta	3.51E-02
Q63135	Cr1l	Complement component receptor 1-like protein	3.49E-02
F1LPS8	Pura	Transcriptional activator protein Pur-alpha	3.45E-02
B0BNK1	Rab5c	RAB5C, member RAS oncogene family	3.45E-02
D3Z967	Tspan33	Tetraspanin	3.45E-02
P10760	Ahcy	Adenosylhomocysteinase	3.42E-02
Q5U2S7	Psmd3	Proteasome	3.35E-02
F1LQ09	Atl2	Atlantin GTPase 2	3.34E-02
Q63584	Tmed10	Transmembrane emp24 domain-containing protein 10	3.30E-02
G3V7B5	Prpsap1	Phosphoribosyl pyrophosphate synthase-associated protein 1	3.26E-02
Q5VLR5	Erp44	BWK4	3.25E-02
D3ZP29	Icam4	Intercellular adhesion molecule 4, Landsteiner-Wiener blood group	3.23E-02
Q07205	Eif5	Eukaryotic translation initiation factor 5	3.22E-02
Q68FS2	Cops4	COP9 signalosome complex subunit 4	3.21E-02
D4A1R8	Cpne1	Copine-1	3.18E-02
P50115	S100a8	Protein S100-A8	3.14E-02
Q5U2N2	Usp14	Ubiquitin specific protease 14	3.13E-02
A0A0A0MY49	Dnm2	Dynamin-2	3.08E-02
B0BMV5	Rab8b	RAB8B, member RAS oncogene family	3.06E-02
F1M5V2	Glipr2	GLI pathogenesis-related 2	3.05E-02
B0BNN3	Ca1	Carbonic anhydrase 1	2.93E-02
Q5M872	Dpep2	Dipeptidase 2	2.93E-02
Q6P9X1	Clns1a	Chloride channel, nucleotide-sensitive, 1A	2.88E-02
Q9Z2S9	Flot2	Flotillin-2	2.86E-02
Q9Z270	Vapa	Vesicle-associated membrane protein-associated protein A	2.86E-02
M0R6L4	LOC100365839	40S ribosomal protein S3a	2.84E-02
P19939	Apoc1	Apolipoprotein C-I	2.84E-02
P19944	Rplp1	60S acidic ribosomal protein P1	2.81E-02
A0A0G2K2V2	Ap1b1	AP complex subunit beta	2.78E-02
G3V9N8	Ap1b1	AP complex subunit beta	2.78E-02
Q62764	Ybx3	Y-box-binding protein 3	2.77E-02
Q80W57	Abcg2	ATP-binding cassette sub-family G member 2	2.76E-02
Q5BJP3	Ufm1	Ubiquitin-fold modifier 1	2.76E-02
G3V784	Adpgk	ADP-dependent glucokinase	2.73E-02
P35559	Ide	Insulin-degrading enzyme	2.70E-02
A0A0G2K7Q7	Ide	Insulin-degrading enzyme	2.70E-02
O08618	Prpsap2	Phosphoribosyl pyrophosphate synthase-associated protein 2	2.70E-02
Q5PQK5	Rdx	Radixin	2.69E-02
A9UMW1	Gsta4	Glutathione S-transferase alpha 4	2.66E-02
Q6NYB7	Rab1A	Ras-related protein Rab-1A	2.62E-02
P84092	Ap2m1	AP-2 complex subunit mu	2.61E-02
A0JPM9	Eif3j	Eukaryotic translation initiation factor 3 subunit J	2.56E-02
Q3B8P5	Psmd8	Psmd8 protein	2.55E-02
F1LMQ3	Psmd8	Proteasome 26S subunit, non-ATPase 8	2.55E-02
B5DFC6	Gnpda1	Glucosamine-6-phosphate isomerase	2.50E-02
Q4L2A2	Cd99	CD99	2.49E-02
Q9JL55	Gde1	Glycerophosphodiester phosphodiesterase 1	2.49E-02
Q6AXX6	Fam213a	Redox-regulatory protein FAM213A	2.48E-02
Q05982	Nme1	Nucleoside diphosphate kinase A	2.47E-02
P04639	Apoa1	Apolipoprotein A-I	2.45E-02
P63322	Rala	Ras-related protein Ral-A	2.44E-02
G3V6S3	Calu	Calumenin	2.43E-02
D3ZI16	Cops6	COP9	2.41E-02
P48508	Gclm	Glutamate--cysteine ligase regulatory subunit	2.40E-02
D3ZRN3	Actbl2	Actin, beta-like 2	2.35E-02
Q63524	Tmed2	Transmembrane emp24 domain-containing protein 2	2.34E-02
P24090	Ahsg	Alpha-2-HS-glycoprotein	2.33E-02
P11232	Txn	Thioredoxin	2.32E-02
A0A0G2K0P8	Slc44a1	CDW92 antigen, isoform CRA_b	2.30E-02
O70377	Snap23	Synaptosomal-associated protein 23	2.29E-02
Q4KM69	Cops5	COP9	2.27E-02
A0A0G2K4X8	Skp1	S-phase kinase-associated protein 1	2.25E-02
B2GUV5	Atp6v1g1	V-type proton ATPase subunit G	2.23E-02
F1LMI7	Rnf123	E3 ubiquitin-protein ligase RNF123	2.23E-02
D4AOE8	Prmt5	Protein arginine N-methyltransferase 5	2.23E-02
O35547	Acsl4	Long-chain-fatty-acid--CoA ligase 4	2.21E-02
O88989	Mdh1	Malate dehydrogenase, cytoplasmic	2.21E-02

P63259	Actg1	Actin, cytoplasmic 2	2.20E-02
A0A140TAC3	Epn1	Epsin-1	2.19E-02
O88339	Epn1	Epsin-1	2.19E-02
P20059	Hpx	Hemopexin	2.19E-02
Q68FW9	Cops3	COP9 signalosome complex subunit 3	2.17E-02
B5DFN4	Pfdn5	Prefoldin 5	2.13E-02
A0JN30	Cnpy2	Canopy 2 homolog	2.12E-02
A0A0G2JW80	Gps1	COP9 signalosome complex subunit 1	2.12E-02
P06214	Alad	Delta-aminolevulinic acid dehydratase	2.11E-02
A0A0G2K737	Txn1	Thioredoxin-like protein 1	2.04E-02
A0A0A0MY07	Usp15	Ubiquitin carboxyl-terminal hydrolase 15	2.04E-02
A0A0G2JWA3	Xpo7	Exportin 7	2.02E-02
Q8R491	Ehd3	EH domain-containing protein 3	2.02E-02
D4A021	Hbq1	Hemoglobin, theta 1	2.01E-02
A0A0G2JTX2	Praf2	PRA1 family protein	1.99E-02
A0A0H2UHP9	Rab6a	RCG39700, isoform CRA_d	1.99E-02
Q6MGA6	Psmb9	Proteasome subunit beta type	1.97E-02
Q6P4Z9	Cops8	COP9 signalosome complex subunit 8	1.95E-02
D4A022	Gapvd1	GTPase-activating protein and VPS9 domains 1	1.95E-02
A0A0G2JY31	Serpina1	Alpha-1-antitrypsin	1.92E-02
G3V8G2	Psmd5	Proteasome	1.92E-02
G3V7U6	Capn5	Calpain-5	1.88E-02
F1MAA5	Rangap1	RAN GTPase-activating protein 1	1.86E-02
P50503	St13	Hsc70-interacting protein	1.85E-02
Q5XIU9	Pgrmc2	Membrane-associated progesterone receptor component 2	1.85E-02
G3V888	Acly	ATP-citrate synthase	1.84E-02
B2R209	Manf	Arginine-rich, mutated in early stage tumors	1.83E-02
Q9ES21	Sacm1l	Phosphatidylinositol phosphatase SAC1	1.81E-02
Q5M9H4	Atp1b2	Sodium/potassium-transporting ATPase subunit beta	1.81E-02
P13638	Atp1b2	Sodium/potassium-transporting ATPase subunit beta-2	1.81E-02
Q5EB77	Rab18	Ras-related protein Rab-18	1.79E-02
D3ZBT9	Ppp6r3	Protein phosphatase 6, regulatory subunit 3	1.76E-02
O70257	Stx7	Syntaxin-7	1.75E-02
F1M752	Psmf1	Proteasome inhibitor PI31 subunit	1.73E-02
Q5XIU5	Psmf1	Proteasome inhibitor PI31 subunit	1.73E-02
M0RBJ7	C3	Complement C3	1.73E-02
A0A0G2JSZ5	Pdia6	Protein disulfide-isomerase A6	1.73E-02
P04644	Rps17	40S ribosomal protein S17	1.73E-02
A0A0H2UHQ8	Rps17	40S ribosomal protein S17	1.73E-02
A0A0G2K562	Adam10	Disintegrin and metalloproteinase domain-containing protein 10	1.72E-02
O35244	Prdx6	Peroxiredoxin-6	1.72E-02
A0A096MJ38	Ifit1bl	Interferon-induced protein with tetratricopeptide repeats 1B-like	1.71E-02
P62815	Atp6v1b2	V-type proton ATPase subunit B, brain isoform	1.69E-02
P52555	Erp29	Endoplasmic reticulum resident protein 29	1.68E-02
D4ADF5	Pdcd5	Programmed cell death 5	1.64E-02
P02767	Ttr	Transthyretin	1.63E-02
P36970	Gpx4	Phospholipid hydroperoxide glutathione peroxidase, mitochondrial	1.60E-02
Q91XR8	Gpx4	Phospholipid hydroperoxide glutathione peroxidase, nuclear	1.60E-02
A0A0G2K398	Gpx4	Glutathione peroxidase	1.60E-02
P36970-2	Gpx4	Phospholipid hydroperoxide glutathione peroxidase, mitochondrial	1.60E-02
F8WFK6	Gpx4	Glutathione peroxidase	1.60E-02
Q08163	Cap1	Adenylyl cyclase-associated protein 1	1.59E-02
P97532	Mpst	3-mercaptopyruvate sulfurtransferase	1.59E-02
D3ZC84	Usp9x	Ubiquitin specific peptidase 9, X chromosome	1.56E-02
D3ZDK7	Pgp	Glycerol-3-phosphate phosphatase	1.53E-02
D4A133	Atp6v1a	ATPase H <sup>+</sup> -transporting V1 subunit A	1.51E-02
P19139	Csnk2a1	Casein kinase II subunit alpha	1.51E-02
A2RUW1	Tollip	Toll-interacting protein	1.50E-02
G3V6D3	Atp5b	ATP synthase subunit beta	1.49E-02
A0A0G2JSS9	Atl3	Atlastin-3	1.49E-02
A0A0G2K1C0	Actr3	Actin-related protein 3	1.48E-02
M0R5N4	Pfdn4	Prefoldin subunit 4	1.48E-02
Q5RKL5	Steap3	Metalloreductase STEAP3	1.47E-02
A0A0H2UI26	Steap3	Metalloreductase STEAP3	1.47E-02
Q9R010	Cib1	Calcium and integrin-binding protein 1	1.46E-02
F1LQ81	Nsf	N-ethylmaleimide sensitive fusion protein, isoform CRA_b	1.42E-02
O35820	Dnph1	2'-deoxynucleoside 5'-phosphate N-hydrolase 1	1.41E-02
G3V7L8	Atp6v1e1	ATPase, H <sup>+</sup> transporting, V1 subunit E isoform 1, isoform CRA_a	1.40E-02
D4AAE9	Cisd2	CDGSH iron sulfur domain 2	1.40E-02
P26772	Hspe1	10 kDa heat shock protein, mitochondrial	1.39E-02

B2GV79	Pdpx	Pdpx protein	1.39E-02
B2RYX0	Naca	Naca protein	1.38E-02
Q68FQ9	Lancl2	LanC lantibiotic synthetase component C-like 2	1.38E-02
F1M9G8	Hint3	Histidine triad nucleotide-binding protein 3	1.37E-02
Q6IN14	Cd82	Tetraspanin	1.35E-02
P20171	Hras	GTPase HRas	1.34E-02
P13852	Prnp	Major prion protein	1.34E-02
G3V7I0	Prdx3	Peroxiredoxin 3	1.33E-02
F1LM09	Usp7	Ubiquitin carboxyl-terminal hydrolase 7	1.32E-02
Q5HZY3	Uchl5	Ubiquitin carboxyl-terminal hydrolase	1.30E-02
P54311	Gnb1	Guanine nucleotide-binding protein G	1.30E-02
F1M403	Ube2o	Ubiquitin-conjugating enzyme E2O	1.29E-02
D3ZU52	Cops7b	COP9	1.29E-02
A0JPL2	Csnk1a1	Casein kinase 1, alpha 1, isoform CRA_d	1.29E-02
B2RYM5	Brcc3	Lys-63-specific deubiquitinase BRCC36	1.29E-02
D3ZX38	Pfdn1	Prefoldin 1	1.28E-02
Q1HAQ0	Lpcat1	Lysophosphatidylcholine acyltransferase 1	1.26E-02
P50399	Gdi2	Rab GDP dissociation inhibitor beta	1.24E-02
A0A096MKH2	Vta1	Similar to RIKEN cDNA 1110059P08	1.24E-02
Q68FP1	Gsn	Gelsolin	1.24E-02
A0A0H2UHM3	Hp	Haptoglobin	1.24E-02
Q3T1L0	Aldh16a1	Aldehyde dehydrogenase family 16 member A1	1.23E-02
Q5FVN0	Lpcat3	Lysophospholipid acyltransferase 5	1.22E-02
Q5FVI3	Lrrc57	Leucine-rich repeat-containing protein 57	1.21E-02
D4A4K4	Vps13c	Vacuolar protein sorting 13C	1.21E-02
Q6MGC4	Pfdn6	H2-K region expressed gene 2, rat orthologue	1.20E-02
D3Z890	Daglb	Sn1-specific diacylglycerol lipase beta	1.20E-02
P0C1S9	Daglb	Sn1-specific diacylglycerol lipase beta	1.20E-02
D4A899	Vps13a	Vacuolar protein sorting 13 homolog A	1.19E-02
P12785	Fasn	Fatty acid synthase	1.17E-02
Q66HR2	Mapre1	Microtubule-associated protein RP/EB family member 1	1.16E-02
Q7TPI7	LOC100911453	Ac2-269	1.13E-02
Q62636	Rap1b	Ras-related protein Rap-1b	1.13E-02
Q80U96	Xpo1	Exportin-1	1.13E-02
M0RC99	Rab5a	Ras-related protein Rab-5A	1.13E-02
Q6AYD5	Gspt1	G1 to S phase transition 1	1.10E-02
Q5M965	Thg1l	Probable tRNA	1.09E-02
B1WBY1	Cul1	Cul1 protein	1.08E-02
P35213	Ywhab	14-3-3 protein beta/alpha	1.07E-02
A0A0G2K6J5	Myl6	Myosin light polypeptide 6	1.06E-02
Q9Z1X1	Esyt1	Extended synaptotagmin-1	1.06E-02
B0BNE5	Esd	S-formylglutathione hydrolase	1.04E-02
A8WCF8	Tprg1l	Tumor protein p63-regulated gene 1-like protein	1.04E-02
P11505-3	Atp2b1	Plasma membrane calcium-transporting ATPase 1	1.04E-02
P11505-4	Atp2b1	Plasma membrane calcium-transporting ATPase 1	1.04E-02
P11505	Atp2b1	Plasma membrane calcium-transporting ATPase 1	1.04E-02
B1H258	Tmc8	Transmembrane channel-like protein	1.04E-02
M0RE13	Tmc8	Transmembrane channel-like protein	1.04E-02
A0A140TAE0	Mvp	Major vault protein	1.03E-02
D4A7L6	Rpia	Ribose 5-phosphate isomerase A	1.03E-02
F1LSQ0	Faf1	FAS-associated factor 1	1.02E-02
E2RUH2	Rnh1	Ribonuclease inhibitor	1.02E-02
Q64620	Ppp6c	Serine/threonine-protein phosphatase 6 catalytic subunit	1.01E-02
P62744	Ap2s1	AP-2 complex subunit sigma	1.00E-02
B0BN55	Urod	Uroporphyrinogen decarboxylase	9.86E-03
M0RB60	Lrig1	Leucine-rich repeats and immunoglobulin-like domains 1	9.86E-03
D3ZD84	Lrig1	Leucine-rich repeats and immunoglobulin-like domains 1	9.86E-03
A0A096MJM1	Rhog	Ras homolog family member G	9.80E-03
Q641Z6	Ehd1	EH domain-containing protein 1	9.59E-03
Q5XI32	Capzb	F-actin-capping protein subunit beta	9.54E-03
A0A0G2JU89	Ubr4	E3 ubiquitin-protein ligase UBR4	9.52E-03
F1LQI5	Ubr4	E3 ubiquitin-protein ligase UBR4	9.52E-03
B0BN18	Pfdn2	Prefoldin subunit 2	9.51E-03
D3ZSI8	Pip5k1a	Phosphatidylinositol 4-phosphate 5-kinase type-1 alpha	9.49E-03
P50408	Atp6v1f	V-type proton ATPase subunit F	9.44E-03
Q9JLZ1	Glrx3	Glutaredoxin-3	9.35E-03
F2W8B0	Comt	Catechol-O-methyltransferase	9.34E-03
Q6PCT3	Tpd52l2	Tumor protein D54	9.32E-03
P20070-3	Cyb5r3	NADH-cytochrome b5 reductase 3	9.29E-03
P20070-2	Cyb5r3	NADH-cytochrome b5 reductase 3	9.29E-03

P20070	Cyb5r3	NADH-cytochrome b5 reductase 3	9.29E-03
P61227	Rap2b	Ras-related protein Rap-2b	9.18E-03
D3ZJ32	Esyt2	Extended synaptotagmin 2	9.18E-03
Q3MIE4	Vat1	Synaptic vesicle membrane protein VAT-1 homolog	9.13E-03
D4A5L9	LOC679794	Similar to Cytochrome c, somatic	9.11E-03
Q4KM35	Psmh10	Proteasome subunit beta type-10	9.08E-03
Q3B7L3	Xk	XK-related protein	9.08E-03
P19356	Hmbs	Porphobilinogen deaminase	9.06E-03
Q5M893	Hmbs	Hydroxymethylbilane synthase	9.06E-03
P19356-2	Hmbs	Porphobilinogen deaminase	9.06E-03
A0A0G2K1N3	Hmbs	Porphobilinogen deaminase	9.06E-03
Q4KM74	Sec22b	Vesicle-trafficking protein SEC22b	9.05E-03
F1LQP9	Tnpo1	Transportin 1	8.99E-03
G3V9C8	Abcb4	ATP-binding cassette subfamily B member 1A	8.98E-03
Q5M9I2	Man2c1	Alpha-mannosidase 2C1	8.94E-03
A0A0G2JSP3	Cul3	Cullin-3	8.87E-03
B5DF89	Cul3	Cullin-3	8.87E-03
F1M6C4	Arl15	ADP-ribosylation factor-like GTPase 15	8.85E-03
Q6PDW1	Rps12	40S ribosomal protein S12	8.83E-03
G3V679	Tfrc	Transferrin receptor protein 1	8.80E-03
D4A415	Fam175b	Family with sequence similarity 175, member B	8.76E-03
P81795	Eif2s3	Eukaryotic translation initiation factor 2 subunit 3, X-linked	8.74E-03
Q66HA8	Hsph1	Heat shock protein 105 kDa	8.71E-03
B1WC34	Prkcsh	Protein kinase C substrate 80K-H	8.65E-03
Q99ME0	Ppbp	CXC chemokine RTCK1	8.60E-03
P63004	Pafah1b1	Platelet-activating factor acetylhydrolase IB subunit alpha	8.56E-03
B0K030	Dnajb1	DnaJ	8.48E-03
Q5HZV9	Ppp1r7	Protein phosphatase 1 regulatory subunit 7	8.46E-03
P07150	Anxa1	Annexin A1	8.42E-03
G3V6P6	Rbm3	RNA binding motif protein 3, isoform CRA_a	8.42E-03
Q68FS3	Fbxo7	F-box only protein 7	8.30E-03
P19945	Rplp0	60S acidic ribosomal protein P0	8.22E-03
Q80Z29	Nampt	Nicotinamide phosphoribosyltransferase	8.21E-03
D4A3Z3	Tbc1d24	Similar to CG9339-PA	8.18E-03
D3ZBM3	Fech	Ferrochelatase	8.17E-03
D4A857	Ipo9	Importin 9	8.07E-03
D3ZKT8	Hddc2	HD domain containing 2	8.06E-03
Q88377	Pip4k2b	Phosphatidylinositol 5-phosphate 4-kinase type-2 beta	8.02E-03
Q5M7T6	Atp6v0d1	V-type proton ATPase subunit	7.96E-03
Q6QMG6	Abcc4	Multidrug resistance-associated protein 4	7.94E-03
F1M3J4	Abcc4	ATP-binding cassette subfamily C member 4	7.94E-03
Q8R3Z7	Ehd4	EH-domain-containing 4	7.86E-03
B2RYG6	Otub1	Ubiquitin thioesterase OTUB1	7.75E-03
A0A0G2JTN4	Pfas	Phosphoribosylformylglycinamide synthase-like	7.75E-03
Q55096	Dpp3	Dipeptidyl peptidase 3	7.56E-03
Q5M7A4	Uba5	Ubiquitin-like modifier-activating enzyme 5	7.48E-03
B5DFM1	Tom1l1	Uncharacterized protein	7.48E-03
A0A0H2UHB0	Tom1l1	TOM1-like protein 1	7.48E-03
A0A0G2K542	Ugp2	UDP-glucose pyrophosphorylase 2	7.43E-03
Q01177	Plg	Plasminogen	7.43E-03
P06765	Pf4	Platelet factor 4	7.42E-03
Q5M7U6	Actr2	Actin-related protein 2	7.39E-03
Q66H18	Syp1	Synaptophysin-like 1	7.25E-03
Q8CGU6	Ncstn	Nicastrin	7.25E-03
B2RYU2	Rpl12	RCG45615, isoform CRA_a	7.20E-03
A0JN29	Lnpk	Limb and neural patterns	7.19E-03
Q5XIJ6	Babam1	BRISC and BRCA1-A complex member 1	7.18E-03
P50398	Gdi1	Rab GDP dissociation inhibitor alpha	7.15E-03
Q09073	Slc25a5	ADP/ATP translocase 2	7.15E-03
P62907	Rpl10a	60S ribosomal protein L10a	7.14E-03
P02680-2	Fgg	Fibrinogen gamma chain	7.12E-03
P02680	Fgg	Fibrinogen gamma chain	7.12E-03
P09527	Rab7a	Ras-related protein Rab-7a	7.04E-03
Q8CG09-2	Abcc1	Multidrug resistance-associated protein 1	7.01E-03
Q8CG09	Abcc1	Multidrug resistance-associated protein 1	7.01E-03
A0A0H2UHG3	Cul5	Cullin-5	6.98E-03
A1L1J8	Rab5b	RAB5B, member RAS oncogene family	6.90E-03
Q80W92	Vac14	Protein VAC14 homolog	6.78E-03
Q4KMA2	Rad23b	UV excision repair protein RAD23 homolog B	6.74E-03
B5DEN4	Ldha	L-lactate dehydrogenase	6.65E-03

Q5HZE4	Mri1	Methylthioribose-1-phosphate isomerase	6.59E-03
P83941	Eloc	Elongin-C	6.57E-03
F1M978	Impa1	Inositol-1-monophosphatase	6.50E-03
MOR919	Vbp1	Prefoldin subunit 3	6.42E-03
P68101	Eif2s1	Eukaryotic translation initiation factor 2 subunit 1	6.41E-03
P97608	Oplah	5-oxoprolinase	6.40E-03
D4A832	Slc43a3	Solute carrier family 43, member 3	6.36E-03
Q4V8H5	Dnpep	Aspartyl aminopeptidase	6.32E-03
A0A0H2UHZ2	Nap1l4	Nucleosome assembly protein 1-like 4	6.19E-03
Q5U2Z3	Nap1l4	Nucleosome assembly protein 1-like 4	6.19E-03
G3V6P7	Myh9	Myosin, heavy polypeptide 9, non-muscle	6.19E-03
D3ZD23	Abce1	ATP-binding cassette subfamily E member 1	6.15E-03
D4AAM0	Tnpo3	Transportin 3	6.11E-03
B2RYA8	Dnajb2	DnaJ heat shock protein family	6.05E-03
B1H264	Tbc1d17	TBC1 domain family, member 17	6.01E-03
D3ZAN3	Ganab	Alpha glucosidase 2 alpha neutral subunit	6.00E-03
F1M9V7	Npepps	Aminopeptidase	5.98E-03
P63039	Hspd1	60 kDa heat shock protein, mitochondrial	5.93E-03
D4A746	Gmppb	GDP-mannose pyrophosphorylase B	5.87E-03
Q71SY3	Tsn	Translin	5.78E-03
Q6P7B0	Wars	Tryptophan--tRNA ligase, cytoplasmic	5.77E-03
F8WFH8	Wars	Tryptophan--tRNA ligase, cytoplasmic	5.77E-03
A0A0H2UHS7	Rpl18	60S ribosomal protein L18	5.77E-03
P12001	Rpl18	60S ribosomal protein L18	5.77E-03
G3V9K0	Cars	Cysteinyl-tRNA synthetase	5.75E-03
P09606	Glul	Glutamine synthetase	5.70E-03
P47875	Csrp1	Cysteine and glycine-rich protein 1	5.64E-03
G3V7I2	Rftn1	Raftlin lipid raft linker 1	5.59E-03
A0A0G2JXC3	Rps21	40S ribosomal protein S21	5.57E-03
Q499P2	Lta4h	Leukotriene A	5.56E-03
Q9R066	Cxadr	Coxsackievirus and adenovirus receptor homolog	5.49E-03
Q9R066-2	Cxadr	Coxsackievirus and adenovirus receptor homolog	5.49E-03
D3ZTX0	Tmed7	Transmembrane emp24 domain-containing protein 7	5.49E-03
D3ZYR1	Fcho2	F-BAR domain only protein 2	5.45E-03
Q5M9H7	Dnaja2	DnaJ	5.44E-03
F1M1H0	Dera	Deoxyribose-phosphate aldolase	5.36E-03
Q99PD4	Arpc1a	Actin-related protein 2/3 complex subunit 1A	5.31E-03
B2RZ97	Kcmf1	LOC684322 protein	5.24E-03
Q2PQA9	Kif5b	Kinesin-1 heavy chain	5.20E-03
Q6AXT5	Rab21	Ras-related protein Rab-21	5.15E-03
P34058	Hsp90ab1	Heat shock protein HSP 90-beta	5.14E-03
C0JPT7	Flna	Filamin A	5.14E-03
P27321	Cast	Calpastatin	5.14E-03
P27321-2	Cast	Calpastatin	5.14E-03
A0A0G2K9J2	Atp6v1h	ATPase H+-transporting V1 subunit H	5.14E-03
B0BMW0	Rab14	RAB14, member RAS oncogene family	5.04E-03
Q9EST6	Anp32b	Acidic leucine-rich nuclear phosphoprotein 32 family member B	5.04E-03
D4A0T8	Dhrs7	Dehydrogenase/reductase 7	5.00E-03
Q9EPH8	Pabpc1	Polyadenylate-binding protein 1	5.00E-03
A0A0G2JYA3	Sppl2a	Signal peptide peptidase-like 2A	4.98E-03
D3ZUC9	Oxsr1	Oxidative-stress responsive 1	4.95E-03
D4A9D6	Dhx9	DEAH	4.94E-03
P09456	Prkar1a	cAMP-dependent protein kinase type I-alpha regulatory subunit	4.92E-03
P62332	Arf6	ADP-ribosylation factor 6	4.91E-03
P68255	Ywhaq	14-3-3 protein theta	4.90E-03
P61354	Rpl27	60S ribosomal protein L27	4.86E-03
B5DF55	Stam	RCG55706	4.84E-03
A0A0H2UHE5	Ppm1a	Protein phosphatase 1A	4.81E-03
Q6AZ50	Atg3	Ubiquitin-like-conjugating enzyme ATG3	4.81E-03
P84817-2	Fis1	Mitochondrial fission 1 protein	4.79E-03
P84817	Fis1	Mitochondrial fission 1 protein	4.79E-03
P84817-3	Fis1	Mitochondrial fission 1 protein	4.79E-03
F1LQN3	Rtn4	Reticulon	4.65E-03
Q6IRL3	Rtn4	Reticulon	4.65E-03
Q540J3	Rtn4	Reticulon	4.65E-03
Q2I6B4	Atp6v0a1	V-type proton ATPase subunit a	4.62E-03
Q2I6B3	Atp6v0a1	V-type proton ATPase subunit a	4.62E-03
B2RZ72	Arpc4	Actin-related protein 2/3 complex subunit 4	4.60E-03
A0A0G2K761	Cul2	Cullin 2	4.54E-03
B5DER3	lah1	Hypertrophic agonist responsive protein B64, isoform CRA_b	4.53E-03

B5DEL9	Rps7	RCG62292, isoform CRA_a	4.51E-03
G3V6H0	LOC100363782	RAB1B, member RAS oncogene family-like	4.48E-03
Q6PDV6	LOC100911847	40S ribosomal protein S14-like	4.39E-03
G3V637	Stxbp2	Syntaxin binding protein 2, isoform CRA_b	4.34E-03
Q5RJS3	Fam96a	Family with sequence similarity 96, member A	4.25E-03
G3V6N2	Tmed4	Transmembrane emp24 protein transport domain containing 4	4.23E-03
Q3B7D0	Cpox	Oxygen-dependent coproporphyrinogen-III oxidase, mitochondrial	4.21E-03
A0A0H2UHX3	Rps4x	40S ribosomal protein S4	4.19E-03
X1WI37	Rps4x	40S ribosomal protein S4	4.19E-03
Q6AYD3	Pa2g4	Proliferation-associated protein 2G4	4.18E-03
D2XV59	Gtpbp1	GTP-binding protein 1	4.16E-03
P04636	Mdh2	Malate dehydrogenase, mitochondrial	4.11E-03
Q6P503	Atp6v1d	ATPase H <sup>+</sup> -transporting V1 subunit D	4.06E-03
Q4QR73	Dnaja4	DnaJ	4.06E-03
A0A096MJP9	Ddi2	DNA damage-inducible 1 homolog 2	4.03E-03
G3V6F4	Ogt	O-linked N-acetylglucosamine	3.98E-03
A0A0G2K9I6	Cp	Ceruloplasmin	3.98E-03
G3V7K3	Cp	Ceruloplasmin	3.98E-03
Q5I0D7	Pepd	Xaa-Pro dipeptidase	3.96E-03
G3V8Z9	Cops7a	COP9	3.87E-03
Q6TXG7	Shmt1	Serine hydroxymethyltransferase	3.85E-03
P05197	Eef2	Elongation factor 2	3.80E-03
MORCP9	Pin4	Peptidyl-prolyl cis-trans isomerase	3.71E-03
B0K031	Rpl7	60S ribosomal protein L7	3.67E-03
A0A0G2JV31	Xpnpep1	X-prolyl aminopeptidase	3.65E-03
D3ZN27	Dnajc13	DnaJ heat shock protein family	3.62E-03
P62909	Rps3	40S ribosomal protein S3	3.48E-03
D3ZV50	LOC100364509	Similar to 40S ribosomal protein S9	3.46E-03
Q9Z2L0	Vdac1	Voltage-dependent anion-selective channel protein 1	3.38E-03
P51583	Paics	Multifunctional protein ADE2	3.35E-03
G3V7H2	Minpp1	Multiple inositol polyphosphate phosphatase 1	3.32E-03
Q5RK69	Eif4b	Eukaryotic translation initiation factor 4B	3.32E-03
MORD75	Rps6	40S ribosomal protein S6	3.32E-03
D3ZQ02	Wdr37	WD repeat domain 37	3.28E-03
P85973	Pnp	Purine nucleoside phosphorylase	3.28E-03
D3ZM69	Epb41l2	Erythrocyte membrane protein band 4.1-like 2	3.26E-03
D4A6G6	LOC100362339	Ribosomal protein S19-like	3.19E-03
D4A2D7	Ipo4	Importin 4	3.17E-03
P10111	Ppia	Peptidyl-prolyl cis-trans isomerase A	3.17E-03
D3ZTJ0	Rp2	RP2, ARL3 GTPase-activating protein	3.15E-03
A0A0G2JUM3	Rp2	RP2, ARL3 GTPase-activating protein	3.15E-03
A0A0G2JWM2	Sirt2	NAD-dependent protein deacetylase sirtuin-2	3.11E-03
Q7TP61	Acat2	Ab2-076	3.09E-03
Q794E4	Hnrnpf	Heterogeneous nuclear ribonucleoprotein F	3.08E-03
P67779	Phb	Prohibitin	3.05E-03
F1LVZ9	Hectd3	HECT domain E3 ubiquitin protein ligase 3	3.05E-03
Q68FY0	Uqcrc1	Cytochrome b-c1 complex subunit 1, mitochondrial	3.03E-03
P84083	Arf5	ADP-ribosylation factor 5	3.00E-03
F1LUA1	Eea1	Early endosome antigen 1	2.98E-03
A0A0G2K051	Eea1	Early endosome antigen 1	2.98E-03
D4A3P1	Ubqln4	Ubiquilin 4	2.97E-03
D4ACF2	Trim21	Tripartite motif protein 21	2.94E-03
B1H267	Snx5	Sorting nexin-5	2.93E-03
MOR735	Syncrip	Heterogeneous nuclear ribonucleoprotein Q	2.91E-03
P38918	Akr7a3	Aflatoxin B1 aldehyde reductase member 3	2.86E-03
Q6P685	Eif2s2	Eukaryotic translation initiation factor 2 subunit beta	2.85E-03
Q4KLZ6	Tkfc	Triokinase/FMN cyclase	2.85E-03
P05712	Rab2a	Ras-related protein Rab-2A	2.84E-03
F1M446	RGD1306148	Similar to KIAA0368	2.82E-03
A0A0A0MXY3	Csnk1g3	Casein kinase I isoform gamma-3	2.78E-03
Q62763	Csnk1g3	Casein kinase I isoform gamma-3	2.78E-03
A0A0H2UHQ0	Slc3a2	4F2 cell-surface antigen heavy chain	2.77E-03
P81155	Vdac2	Voltage-dependent anion-selective channel protein 2	2.73E-03
Q5D059	Hnrnpk	Heterogeneous nuclear ribonucleoprotein K	2.71E-03
P54319	Plaa	Phospholipase A-2-activating protein	2.70E-03
Q6QBQ4	Plscr3	Phospholipid scramblase 3	2.70E-03
P54921	Napa	Alpha-soluble NSF attachment protein	2.66E-03
F1LR16	Taok3	Serine/threonine-protein kinase TAO3	2.63E-03
Q5U2Q7	Etf1	Eukaryotic peptide chain release factor subunit 1	2.59E-03
A0A0G2JVW5	Huwe1	E3 ubiquitin-protein ligase HUWE1	2.55E-03

D4ABP4	Rab3gap2	Rab3 GTPase-activating protein non-catalytic subunit	2.55E-03
Q5U1Z0	Rab3gap2	Rab3 GTPase-activating protein non-catalytic subunit	2.55E-03
F1LMT8	Rab3gap2	Rab3 GTPase-activating protein non-catalytic subunit	2.55E-03
P24155	Thop1	Thimet oligopeptidase	2.55E-03
F1M775	Diaph1	Diaphanous-related formin 1	2.54E-03
D4ADD7	Glrx5	Glutaredoxin 5	2.52E-03
Q6P7R8	Hsd17b12	Very-long-chain 3-oxoacyl-CoA reductase	2.48E-03
P50475	Aars	Alanine--tRNA ligase, cytoplasmic	2.48E-03
Q6P9X2	Sec11a	Signal peptidase complex catalytic subunit SEC11	2.46E-03
Q5XIE1	Them6	Protein THEM6	2.45E-03
F1LZX5	Hectd4	HECT domain E3 ubiquitin protein ligase 4	2.42E-03
Q6P3V8	Eif4a1	Eukaryotic translation initiation factor 4A1	2.41E-03
H1UBM7	Cpne2	Copine 2 protein	2.40E-03
F1M1L9	Cpne2	Copine 2	2.40E-03
Q9JLA3	Uggt1	UDP-glucose:glycoprotein glucosyltransferase 1	2.35E-03
Q6P3V9	Rpl4	60S ribosomal protein L4	2.35E-03
Q6PAH0	ApoE	Apolipoprotein E	2.31E-03
P02650	ApoE	Apolipoprotein E	2.31E-03
A0A0G2K151	ApoE	Apolipoprotein E	2.31E-03
G3V6I1	Llg1	Lethal	2.31E-03
Q68FR9	Eef1d	Elongation factor 1-delta	2.30E-03
Q71SA3	Thbs1	Thrombospondin 1	2.30E-03
A0A0G2JTW1	Rap2a	RAS related protein 2a	2.27E-03
F1LQJ1	Hagh	Hydroxyacyl glutathione hydrolase	2.27E-03
D4A3P0	Ybx2	Y box-binding protein 2	2.25E-03
B2RYP4	Snx2	Sorting nexin 2	2.24E-03
P70500	Cdipt	CDP-diacylglycerol--inositol 3-phosphatidyltransferase	2.24E-03
Q9QYM0	Abcc5	Multidrug resistance-associated protein 5	2.22E-03
Q6P790	Rpl6	60S ribosomal protein L6	2.20E-03
P21533	Rpl6	60S ribosomal protein L6	2.20E-03
Q9QX79	Fetub	Fetuin-B	2.20E-03
Q6IRS6	Fetub	Fetub protein	2.20E-03
P63326	Rps10	40S ribosomal protein S10	2.17E-03
D3ZLM5	Nhlrc2	NHL repeat containing 2	2.16E-03
A0A0G2KB63	Phb2	Prohibitin-2	2.14E-03
Q3B8N7	Tsc22d4	TSC22 domain family protein 4	2.14E-03
D3ZFC5	Atp11c	Phospholipid-transporting ATPase	2.11E-03
Q68FR6	Eef1g	Elongation factor 1-gamma	2.11E-03
A0A140TAA4	Pdcd6ip	Programmed cell death 6-interacting protein	2.09E-03
Q6P756	Necap2	Adaptin ear-binding coat-associated protein 2	2.08E-03
Q63507	Rpl14	60S ribosomal protein L14	2.04E-03
F1LSW7	Rpl14	60S ribosomal protein L14	2.04E-03
F7EZ89	Tbc1d15	TBC1 domain family, member 15	2.04E-03
F7FLB2	Pgm2	Pgm2 protein	2.03E-03
A0A0G2JXI4	Stat5b	Signal transducer and activator of transcription	2.02E-03
O35802	ITIH4	Inter-alpha-inhibitor H4 heavy chain	2.01E-03
D3ZFC6	Itih4	Inter-alpha-trypsin inhibitor heavy chain family, member 4	2.01E-03
Q4V8I6	Rpl11	60S ribosomal protein L11	2.01E-03
P62914	Rpl11	60S ribosomal protein L11	2.01E-03
Q4R1A4	Tfg	TRK-fused gene protein	2.00E-03
MOR5K9	LOC100912024	Uncharacterized LOC100912024	1.97E-03
P12711	Adh5	Alcohol dehydrogenase class-3	1.94E-03
G3V8T4	Ddb1	DNA damage-binding protein 1	1.89E-03
Q63355	Myo1c	Unconventional myosin-1c	1.84E-03
D3ZQ8	Cyc1	Cytochrome c-1	1.83E-03
B1WBP4	Nadsyn1	Glutamine-dependent NAD	1.82E-03
D3ZRM9	LOC100360491	60S ribosomal protein L13	1.81E-03
F1LP59	Rab3gap1	Rab3 GTPase-activating protein catalytic subunit	1.80E-03
D4AE96	Ipo7	Importin 7	1.75E-03
B0BN81	Rps5	40S ribosomal protein S5	1.75E-03
A0A0G2QC41	Hdac6	Histone deacetylase	1.72E-03
B5DEJ5	Eefsec	Eefsec protein	1.66E-03
D4ACD3	Usp25	Ubiquitin specific protease 25	1.65E-03
MORDG7	Crlf3	Cytokine receptor-like factor 3	1.64E-03
P61314	Rpl15	60S ribosomal protein L15	1.62E-03
Q566D5	Eif1a	Eukaryotic translation initiation factor 1A	1.58E-03
A0A0G2JVA7	Eif1a	Eukaryotic translation initiation factor 1A	1.58E-03
D4AEH9	Agl	Amylo-1, 6-glucosidase, 4-alpha-glucanotransferase	1.58E-03
A0A0H2UHQ1	Rpl17	60S ribosomal protein L17	1.51E-03
P24049	Rpl17	60S ribosomal protein L17	1.51E-03

F1LZX7	Rpl17	60S ribosomal protein L17	1.51E-03
A0A0G2JY08	Myo18a	Myosin XVIIIa	1.51E-03
Q6AYU5	Pcbp2	Poly	1.51E-03
Q6P7A7	Rpn1	Dolichyl-diphosphooligosaccharide--protein glycosyltransferase subunit 1	1.42E-03
F1LN96	Bin3	Bridging integrator 3	1.39E-03
P63245	Rack1	Receptor of activated protein C kinase 1	1.39E-03
F1LRJ9	Selenbp1	Selenium-binding protein 1	1.38E-03
F1LML0	Nars	Asparaginyl-tRNA synthetase	1.36E-03
P11240	Cox5a	Cytochrome c oxidase subunit 5A, mitochondrial	1.34E-03
Q4QQT4	Ppp2r1b	Serine/threonine-protein phosphatase 2A 65 kDa regulatory subunit A beta isoform	1.33E-03
D4A1J6	Ankyf1	Ankyrin repeat and FYVE domain-containing 1	1.32E-03
A0A0H2UHGO	Yars	Tyrosine--tRNA ligase	1.31E-03
F1MAA3	LOC100909464	Serine/threonine-protein phosphatase 2A 56 kDa regulatory subunit delta isoform-like	1.30E-03
D3ZD72	Ncapg	Non-SMC condensin I complex, subunit G	1.29E-03
G3V8D5	Pgl5	6-phosphogluconolactonase	1.28E-03
P09495	Tpm4	Tropomyosin alpha-4 chain	1.27E-03
D3ZUY8	Ap2a1	Adaptor protein complex AP-2, alpha 1 subunit	1.27E-03
D3ZG78	Zzf1	Zinc finger ZZ-type and EF-hand domain-containing 1	1.26E-03
D4A5Q2	Smc2	Structural maintenance of chromosomes protein	1.12E-03
A0A0G2JY22	Dip2b	Disco-interacting protein 2 homolog B	1.08E-03
A0A140TAH1	Hgs	Hepatocyte growth factor-regulated tyrosine kinase substrate	1.05E-03
Q6MFY9	Trim10	RCG58628	1.02E-03
D3ZRE7	Swap70	SWAP complex protein	9.91E-04
O35303-2	Dnm1l	Dynamin-1-like protein	9.82E-04
O35303-4	Dnm1l	Dynamin-1-like protein	9.82E-04
O35303-6	Dnm1l	Dynamin-1-like protein	9.82E-04
O35303	Dnm1l	Dynamin-1-like protein	9.82E-04
O35303-5	Dnm1l	Dynamin-1-like protein	9.82E-04
O08662	Pi4ka	Phosphatidylinositol 4-kinase alpha	9.67E-04
G3V741	Slc25a3	Phosphate carrier protein, mitochondrial	9.65E-04
Q6IRH6	Slc25a3	Phosphate carrier protein, mitochondrial	9.65E-04
Q1AAU6-2	Asap1	Arf-GAP with SH3 domain, ANK repeat and PH domain-containing protein 1	9.62E-04
Q1AAU6	Asap1	Arf-GAP with SH3 domain, ANK repeat and PH domain-containing protein 1	9.62E-04
Q1AAU6-3	Asap1	Arf-GAP with SH3 domain, ANK repeat and PH domain-containing protein 1	9.62E-04
Q5U2Q5	Rrm1	Ribonucleoside-diphosphate reductase	9.59E-04
D4A8A0	Cad	Carbamoyl-phosphate synthetase 2, aspartate transcarbamylase, and dihydroorotase	9.48E-04
A0A140TAA5	Wdr45	WD repeat domain phosphoinositide-interacting protein 4	9.46E-04
F1MAA1	Usp47	Ubiquitin-specific peptidase 47	9.32E-04
Q5M7T5	Serpinc1	Serine	9.26E-04
Q5U313	Ankrd13a	Ankyrin repeat domain 13a	9.11E-04
B2RYG2	Pck2	Pck2 protein	9.02E-04
A1IGU3	Arhgef37	Rho guanine nucleotide exchange factor 37	8.95E-04
A0A0G2JUF6	Idh2	Isocitrate dehydrogenase	8.80E-04
P56574	Idh2	Isocitrate dehydrogenase	8.80E-04
A0A140TAI1	Ubqln1	Ubiquilin 1, isoform CRA_a	8.67E-04
A0A0G2JWH3	Ncapd2	Condensin complex subunit 1	7.99E-04
D3ZQI6	Xpo4	Exportin 4	7.96E-04
D3ZLA3	Cpne3	Copine 3	7.90E-04
D3ZT64	Atg2a	Autophagy-related 2A	7.19E-04
Q63041	A1m	Alpha-1-macroglobulin	7.00E-04
A0A0G2JTS3	Vps29	Vacuolar protein sorting-associated protein 29	6.87E-04
B2RZ78	Vps29	Vacuolar protein sorting-associated protein 29	6.87E-04
B2RZ78-2	Vps29	Vacuolar protein sorting-associated protein 29	6.87E-04
B1WC71	Aspscr1	Aspscr1 protein	6.87E-04
B5DEI0	Pcyox1l	Pcyox1l protein	6.60E-04
Q6XDA0	Sptb	Spectrin beta chain	6.27E-04
A0A0G2K8V2	Vcl	Vinculin	6.25E-04
P85972	Vcl	Vinculin	6.25E-04
R9PXU6	Vcl	Vinculin	6.25E-04
A0A0G2JXD0	LOC103692829	60S ribosomal protein L9 pseudogene	6.19E-04
F1MAD9	Smc4	Structural maintenance of chromosomes protein	5.94E-04
Q6MG08	Abcf1	ATP-binding cassette sub-family F member 1	5.84E-04
A0A0G2JW28	Add3	Gamma-adducin	5.64E-04
F7F1Y3	Vps4a	Vacuolar protein sorting-associated protein 4A	5.63E-04
A0A0G2K7S6	Wdr44	WD repeat-containing protein 44	5.63E-04
Q9R037	Wdr44	WD repeat-containing protein 44	5.63E-04
G3V9P7	Htt	Huntingtin	5.35E-04
B2GV89	Fermt3	Fermitin family member 3	5.07E-04
Q5M964	Fh	Fumarate hydratase 1	4.96E-04
Q6AXM7	Hbs1l	HBS1-like protein	4.78E-04

A0A0G2K2P6	Hbs1l	HBS1-like protein	4.78E-04
A0A0G2JXJ7	Esy1	Extended synaptotagmin-1	4.74E-04
D3ZN37	Rock1	Rho-associated protein kinase	4.20E-04
F1M953	Hspa9	Stress-70 protein, mitochondrial	3.97E-04
Q62910-4	Synj1	Synaptojanin-1	3.91E-04
Q62910	Synj1	Synaptojanin-1	3.91E-04
Q62910-2	Synj1	Synaptojanin-1	3.91E-04
D4ABN3	Synj1	Synaptojanin-1	3.91E-04
Q62910-5	Synj1	Synaptojanin-1	3.91E-04
Q8CF97	Vcpip1	Deubiquitinating protein VCIP135	3.66E-04
Q62761	Csnk1g1	Casein kinase I isoform gamma-1	3.61E-04
A0A0G2K7C4	Csnk1g1	Casein kinase I isoform gamma-1	3.61E-04
D4AD15	Eif4g1	Eukaryotic translation initiation factor 4 gamma, 1	3.57E-04
P97949	Tap1	Antigen peptide transporter 1	3.55E-04
D5MTG9	Ubr1	UBR1 protein	3.45E-04
F1LSM0	Usp24	Ubiquitin-specific peptidase 24	3.18E-04
Q5U2P1	Cnm2	Metal transporter CNNM2	2.44E-04
P05765	Rps21	40S ribosomal protein S21	0.00E+00
A0A0G2K0I3	Nampt	Nicotinamide phosphoribosyltransferase	0.00E+00
F1MAA2	Cops7a	COP9 signalosome subunit 7A	0.00E+00
M0R7M5	LOC100911032	Uncharacterized LOC100911032	0.00E+00
R4GNK3	Txn1	Thioredoxin	0.00E+00
P85971	Pgls	6-phosphogluconolactonase	0.00E+00
Q6MG06	Gnl1	Guanine nucleotide-binding protein-like 1	0.00E+00
Q7TP58	Bpgm	Phosphoglycerate mutase	0.00E+00
P08081-2	Clta	Clathrin light chain A	0.00E+00
P62898	Cycc	Cytochrome c, somatic	0.00E+00
A0A0H2UH99	Rpl24	60S ribosomal protein L24	0.00E+00
Q9JK11-4	Rtn4	Reticulon-4	0.00E+00
Q6IMF3	Krt1	Keratin, type II cytoskeletal 1	0.00E+00
F1LM81	Tom1l1	TOM1-like protein 1	0.00E+00
Q53UA7	Taok3	Serine/threonine-protein kinase TAO3	0.00E+00
P26051	Cd44	CD44 antigen	0.00E+00
P97840-2	Lgals9	Galectin-9	0.00E+00
A0A0G2KBB9	Ank2	Ankyrin 2	0.00E+00
A0A0G2K6Q5	Gnl1	Guanine nucleotide-binding protein-like 1	0.00E+00
P97559	tap1	Tap1 protein	0.00E+00
P69735	Rab3gap1	Rab3 GTPase-activating protein catalytic subunit	0.00E+00
A0A0G2JST3	Krt1	Keratin, type II cytoskeletal 1	0.00E+00
D3ZZK1	LOC100359563	Ribosomal protein S20-like	0.00E+00
D3ZRE3	Csnk1a1	Casein kinase I isoform alpha	0.00E+00
D3ZU13	Eif4g1	Eukaryotic translation initiation factor 4 gamma, 1	0.00E+00
A0A0G2K3A5	Bin3	Bridging integrator 3	0.00E+00
P50279-3	Stx2	Syntaxin-2	0.00E+00
F7EUU4	Cops5	COP9 signalosome subunit 5	0.00E+00
P17074	Rps19	40S ribosomal protein S19	0.00E+00
B5DEMS	Rpl14	60S ribosomal protein L14	0.00E+00
Q923U9	Slc40a1	Solute carrier family 40 member 1	0.00E+00
Q4V8I9	Ugp2	UDP-glucose pyrophosphorylase 2	0.00E+00
A0A0U1RVI9	Rps2-ps6	RCG34378, isoform CRA_h	0.00E+00
F7EL36	Anp32a	Acidic leucine-rich nuclear phosphoprotein 32 family member A	0.00E+00
Q6AYR1	Tfg	RCG52996, isoform CRA_a	0.00E+00
A0A0G2K2C7	Usp9x	Ubiquitin-specific peptidase 9, X-linked	0.00E+00
A0A0G2K6W6	Dis3l2	DIS3-like exonuclease 2	0.00E+00
Q6P6U2	Psmc3	26S proteasome regulatory subunit 6A	0.00E+00
P10719	Atp5b	ATP synthase subunit beta, mitochondrial	0.00E+00
P49911	Anp32a	Acidic leucine-rich nuclear phosphoprotein 32 family member A	0.00E+00
B1WBV4	Plekhf2	Pleckstrin homology and FYVE domain-containing 2	0.00E+00
P14408	Fh	Fumarate hydratase, mitochondrial	0.00E+00
P14942	Gsta4	Glutathione S-transferase alpha-4	0.00E+00
Q64537	Capns1	Calpain small subunit 1	0.00E+00
A0A023IMI8	Tap2	Transporter 1 ATP-binding cassette sub-family B	0.00E+00
Q9QY17-3	Pacsin2	Protein kinase C and casein kinase substrate in neurons 2 protein	0.00E+00
P51111	Htt	Huntingtin	0.00E+00
Q499R1	Ppp2r5d	Ppp2r5d protein	0.00E+00
B2GV99	Myl6	Myl6 protein	0.00E+00
O35217	Minpp1	Multiple inositol polyphosphate phosphatase 1	0.00E+00
Q5XIH7	Phb2	Prohibitin-2	0.00E+00
P50279-2	Stx2	Syntaxin-2	0.00E+00
Q6IRJ7	Anxa7	Annexin	0.00E+00

D3ZPY0	Wtap	WT1-associated protein	0.00E+00
Q63803	Gnas	Guanine nucleotide-binding protein G	0.00E+00
Q5X122	Acat2	Acetyl-CoA acetyltransferase, cytosolic	0.00E+00
P01946	Hba1	Hemoglobin subunit alpha-1/2	0.00E+00
D3ZKB6	Acat2l1	Acetyl-CoA acetyltransferase 2-like 1	0.00E+00
Q711G3	lah1	Isoamyl acetate-hydrolyzing esterase 1 homolog	0.00E+00
D3ZVD8	Hdac6	Histone deacetylase	0.00E+00
Q4KM49	Yars	Tyrosine--tRNA ligase, cytoplasmic	0.00E+00
D4A7U6	Lsm3	LSM3 homolog, U6 small nuclear RNA and mRNA degradation-associated	0.00E+00
Q6PEC4	Skp1	S-phase kinase-associated protein 1	0.00E+00
P28064	Psmb8	Proteasome subunit beta type-8	0.00E+00
A0A096MJY8	Acat2l1	Acetyl-CoA acetyltransferase 2-like 1	0.00E+00
A0A0G2JV81	Arf3	ADP-ribosylation factor 3	0.00E+00
P60868	Rps20	40S ribosomal protein S20	0.00E+00
P47967	Lgals5	Galectin-5	0.00E+00
D3ZJW6	rCG_21066	RCG21066	0.00E+00
P17475	Serpina1	Alpha-1-antiproteinase	0.00E+00
Q5GH61	Xk	Membrane transport protein XK	0.00E+00
Q9JIH7-3	Wnk1	Serine/threonine-protein kinase WNK1	0.00E+00
P18297	Spr	Sepiapterin reductase	0.00E+00
P40329	Rars	Arginine--tRNA ligase, cytoplasmic	0.00E+00
A0A0G2K585	Arpc5	Actin-related protein 2/3 complex subunit 5	0.00E+00
P48721	Hspa9	Stress-70 protein, mitochondrial	0.00E+00
Q03344	Atpif1	ATPase inhibitor, mitochondrial	0.00E+00
A0A0G2K6U1	Nsf	Vesicle-fusing ATPase	0.00E+00
P50279	Stx2	Syntaxin-2	0.00E+00
E9PU24	Dnah11	Dynein, axonemal, heavy chain 11	0.00E+00
P16638	Acly	ATP-citrate synthase	0.00E+00
P18422	Psma3	Proteasome subunit alpha type-3	0.00E+00
A0A0G2K4Q4	Arf3	ADP-ribosylation factor 3	0.00E+00
A0A0G2K528	Stx16	Syntaxin 16	0.00E+00
Q5PPH9	Anp32a	Acidic	0.00E+00
Q68G38	Tor1a	Torsin-1A	0.00E+00
MOR9L0	Naca	Nascent polypeptide-associated complex alpha subunit	0.00E+00
P70550	Rab8b	Ras-related protein Rab-8B	0.00E+00
P0C5H9	Manf	Mesencephalic astrocyte-derived neurotrophic factor	0.00E+00
F1LQS3	Rpl6-ps1	60S ribosomal protein L6	0.00E+00
P61206	Arf3	ADP-ribosylation factor 3	0.00E+00
Q66SY1	Picalm	Clathrin-assembly lymphoid leukemia protein	0.00E+00
O70352	Cd82	CD82 antigen	0.00E+00
D3ZCH7	Add3	Adducin 3	0.00E+00
O54975	Xpnpep1	Xaa-Pro aminopeptidase 1	0.00E+00
P35704	Prdx2	Peroxioredoxin-2	0.00E+00
B2RZD1	Sec61b	Protein transport protein Sec61 subunit beta	0.00E+00
P62271	Rps18	40S ribosomal protein S18	0.00E+00
A0A0G2K5E7	Acly	ATP-citrate synthase	0.00E+00
P62944	Ap2b1	AP-2 complex subunit beta	0.00E+00
D3ZM33	LOC100362298	Ribosomal protein S18-like	0.00E+00
P85970	Arpc2	Actin-related protein 2/3 complex subunit 2	0.00E+00
A0A023IKD8	Tap2	Transporter 1 ATP-binding cassette sub-family B	0.00E+00
E9PU28	Impdh2	Inosine-5'-monophosphate dehydrogenase 2	0.00E+00
P42667	Sec11a	Signal peptidase complex catalytic subunit SEC11A	0.00E+00
A0A023IKJ0	Tap2	Transporter 1 ATP-binding cassette sub-family B	0.00E+00
A0A0G2JZ73	Serpina1	Alpha-1-antiproteinase	0.00E+00
F1LM42	Ank2	Ankyrin 2	0.00E+00
Q8K3P7	Hint3	Histidine triad nucleotide-binding protein 3	0.00E+00
A1A5L1	Blmh	Bleomycin hydrolase	0.00E+00
A0A0G2K9H8	Arf3	ADP-ribosylation factor 3	0.00E+00
A0A0G2K2V6	Krt10	Keratin, type I cytoskeletal 10	0.00E+00
A0A0G2JXA1	Rab3gap1	Rab3 GTPase-activating protein catalytic subunit	0.00E+00
E9PSY8	Eps15	Epidermal growth factor receptor pathway substrate 15	0.00E+00
P06866	Hp	Haptoglobin	0.00E+00
MORBF1	C3	Complement C3	0.00E+00
P48037	Anxa6	Annexin A6	0.00E+00
E9PTK7	Slnf14	Schlafen family member 14	0.00E+00
Q9JK11-2	Rtn4	Reticulon-4	0.00E+00
Q6P783	Pfkl	ATP-dependent 6-phosphofructokinase	0.00E+00
Q63081	Pdia6	Protein disulfide-isomerase A6	0.00E+00
P08644-2	Kras	GTPase KRas	0.00E+00
P22734	Comt	Catechol O-methyltransferase	0.00E+00

O08779	Cd44	CD44 protein	0.00E+00
P61980	Hnrnpk	Heterogeneous nuclear ribonucleoprotein K	0.00E+00
D3Z868	Tex11	Testis-expressed 11	0.00E+00
F1MAH5	Ppp6r3	Protein phosphatase 6, regulatory subunit 3	0.00E+00
A0A023ILN9	Psmb9	Proteasome subunit beta type	0.00E+00
P83732	Rpl24	60S ribosomal protein L24	0.00E+00
F1LRB8	Mat2a	S-adenosylmethionine synthase	0.00E+00
P62161	#Н/Д	#Н/Д	0.00E+00
A0A0H2UHT6	Rps18	Ribosomal protein S18	0.00E+00
A0A0H2UI38	LOC100910336	40S ribosomal protein S19-like	0.00E+00
A0A0G2K5Q8	Clk2	Secretory carrier-associated membrane protein	0.00E+00
P38659	Pdia4	Protein disulfide-isomerase A4	0.00E+00
P41123	Rpl13	60S ribosomal protein L13	0.00E+00
P37285-3	Klc1	Kinesin light chain 1	0.00E+00
Q4V7C7	Actr3	Actin-related protein 3	0.00E+00
B2GUY4	Dmtn	Dematin actin-binding protein	0.00E+00
Q794F9	Slc3a2	4F2 cell-surface antigen heavy chain	0.00E+00
Q6VV72	Eif1a	Eukaryotic translation initiation factor 1A	0.00E+00
P13471	Rps14	40S ribosomal protein S14	0.00E+00
P50878	Rpl4	60S ribosomal protein L4	0.00E+00
P49242	Rps3a	40S ribosomal protein S3a	0.00E+00
Q9JJ31	Cul5	Cullin-5	0.00E+00
Q9JJP9	Ubqln1	Ubiquilin-1	0.00E+00
A0A0G2JWJ4	LOC100911515	Triosephosphate isomerase	0.00E+00
E9PT79	Tsn	Translin	0.00E+00
Q64119	Myl6	Myosin light polypeptide 6	0.00E+00
A0A1B0GWQ7	Tsn	Translin	0.00E+00
Q6PCU2	Atp6v1e1	V-type proton ATPase subunit E 1	0.00E+00
Q9Z339	Gsto1	Glutathione S-transferase omega-1	0.00E+00
G3V6H9	Nap1l1	Nucleosome assembly protein 1-like 1	0.00E+00
D3ZNG3	Sppl2a	Signal peptide peptidase-like 2A	0.00E+00
G3V6W6	Psmc6	Proteasome 26S subunit, ATPase 6	0.00E+00
A0A0G2JSR4	Stat5b	Signal transducer and activator of transcription	0.00E+00
P08081	Clta	Clathrin light chain A	0.00E+00
P62944-2	Ap2b1	AP-2 complex subunit beta	0.00E+00
Q7TP02	Tsn	Da2-35	0.00E+00
P23358	Rpl12	60S ribosomal protein L12	0.00E+00
E9PT28	LOC688708	Multidrug resistance-associated protein 1	0.00E+00
Q9QZA2	Pdcd6ip	Programmed cell death 6-interacting protein	0.00E+00
P27952	Rps2	40S ribosomal protein S2	0.00E+00
P31977	Ezr	Ezrin	0.00E+00
P35280	Rab8a	Ras-related protein Rab-8A	0.00E+00
Q4KLF8	Arcp5	Actin-related protein 2/3 complex subunit 5	0.00E+00
Q66HD0	Hsp90b1	Endoplasmic	0.00E+00
F1LM19	Ahsg	Alpha-2-HS-glycoprotein	0.00E+00
Q5RJQ4	Sirt2	NAD-dependent protein deacetylase sirtuin-2	0.00E+00
P13233	Cnp	2',3'-cyclic-nucleotide 3'-phosphodiesterase	0.00E+00
A0A0G2K8S6	LOC103692171	Glucosidase 1	0.00E+00
P14408-2	Fh	Fumarate hydratase, mitochondrial	0.00E+00
A0A0G2K444	Gnl1	Guanine nucleotide-binding protein-like 1	0.00E+00
D3ZKR8	Tmem167a	Protein kish	0.00E+00
P20650	Ppm1a	Protein phosphatase 1A	0.00E+00
P83868	Ptges3	Prostaglandin E synthase 3	0.00E+00
Q62714	Np4	Neutrophil antibiotic peptide NP-4	0.00E+00
P68511	Ywhah	14-3-3 protein eta	0.00E+00
P62083	Rps7	40S ribosomal protein S7	0.00E+00
Q4QR85	Wdr77	Methylome protein 50	0.00E+00
Q9WVB1	Rab6a	Ras-related protein Rab-6A	0.00E+00
P37285-2	Klc1	Kinesin light chain 1	0.00E+00
P84079	Arf1	ADP-ribosylation factor 1	0.00E+00
G3V7Q8	Prss3b	Cationic trypsinogen	0.00E+00
A0A0G2KA82	Sypl1	Synaptophysin-like 1	0.00E+00
Q9JK11	Rtn4	Reticulon-4	0.00E+00
Q9JIH7-2	Wnk1	Serine/threonine-protein kinase WNK1	0.00E+00
P04897	Gnai2	Guanine nucleotide-binding protein G	0.00E+00
D3ZFA8	LOC100362366	40S ribosomal protein S17-like	0.00E+00
Q920J4	Txn1	Thioredoxin-like protein 1	0.00E+00
D3ZIL9	Dis3l2	DIS3-like exonuclease 2	0.00E+00
P26453-2	Bsg	Basigin	0.00E+00
A0A0G2K9E0	Rnh1	Ribonuclease inhibitor	0.00E+00

Q0KL00	Piezo1	Piezo-type mechanosensitive ion channel component 1	0.00E+00
Q62753	Stxbp2	Syntaxin-binding protein 2	0.00E+00
F1M2E9	LOC100361259	60S ribosomal protein L13	0.00E+00
A0A0G2KBC7	Pfkm	ATP-dependent 6-phosphofructokinase	0.00E+00
P26051-2	Cd44	CD44 antigen	0.00E+00
Q8VDS2	Pdxp	Pyridoxal phosphate phosphatase	0.00E+00
P58195	Plscr1	Phospholipid scramblase 1	0.00E+00
Q32PX6	Rhog	Ras homolog family member G	0.00E+00
D3ZAC0	Itga2b	Integrin subunit alpha 2b	0.00E+00
P63331	Ppp2ca	Serine/threonine-protein phosphatase 2A catalytic subunit alpha isoform	0.00E+00
P02401	Rplp2	60S acidic ribosomal protein P2	0.00E+00
Q8VIF7	Selenbp1	Selenium-binding protein 1	0.00E+00
Q7TNK7	Rhag	Ammonium transporter Rh type A	0.00E+00
P08426	Try3	Cationic trypsin-3	0.00E+00
Q6AXQ5	Pde12	2',5'-phosphodiesterase 12	0.00E+00
Q5XIM7	#H/Д	#H/Д	0.00E+00
P37285	Klc1	Kinesin light chain 1	0.00E+00
Q9QUL6	Nsf	Vesicle-fusing ATPase	0.00E+00
A0A0H2UHG7	Rps20	40S ribosomal protein S20	0.00E+00
D3ZTH8	LOC689899	Similar to 60S ribosomal protein L23a	0.00E+00
A0A0G2JTH6	Ehd3	EH domain-containing protein 3	0.00E+00
A0A0G2K5B0	Tbc1d24	TBC1 domain family, member 24	0.00E+00
P11598	Pdia3	Protein disulfide-isomerase A3	0.00E+00
Q8CG45	Akr7a2	Aflatoxin B1 aldehyde reductase member 2	0.00E+00
F1LT36	RGD1564698	Similar to ribosomal protein S10	0.00E+00
Q6P7Q1	#H/Д	#H/Д	0.00E+00
P63219	Gng5	Guanine nucleotide-binding protein G	0.00E+00
P36370	Tap1	Antigen peptide transporter 1	0.00E+00
A0A0G2K8D6	Dcun1d1	DCN1-like protein	0.00E+00
F1M5N3	Ank2	Ankyrin 2	0.00E+00
F8WFT7	Slc4a1	Anion exchange protein	0.00E+00
P62703	Rps4x	40S ribosomal protein S4, X isoform	0.00E+00
Q62766	Akap12	SSeCKS	0.00E+00
Q812E8	Nadsyn1	Glutamine-dependent NAD	0.00E+00
Q6MG49	Bag6	Large proline-rich protein BAG6	0.00E+00
Q63716	Prdx1	Peroxioredoxin-1	0.00E+00
P28073	Psmb6	Proteasome subunit beta type-6	0.00E+00
Q793F9	Vps4a	Vacuolar protein sorting-associated protein 4A	0.00E+00
G3V9D7	Add3	Adducin 3	0.00E+00
Q6IFW6	Krt10	Keratin, type I cytoskeletal 10	0.00E+00
P63095	Gnas	Guanine nucleotide-binding protein G	0.00E+00
P04764	Eno1	Alpha-enolase	0.00E+00
P04642	Ldha	L-lactate dehydrogenase A chain	0.00E+00
B4F7A5	Cd99	CD99 molecule	0.00E+00
Q5EBC0	Itih4	Inter alpha-trypsin inhibitor, heavy chain 4	0.00E+00
P60905	Dnajc5	DnaJ homolog subfamily C member 5	0.00E+00
P39052	Dnm2	Dynamin-2	0.00E+00
Q68FW8	Bin3	Bridging integrator 3	0.00E+00
B0BMW4	Gnas	GNAS complex locus	0.00E+00
B5DF60	Eif1ax	Eukaryotic translation initiation factor 1A, X-linked	0.00E+00
B2RZD6	Ndufa4	NDUFA4, mitochondrial complex-associated	0.00E+00
Q5U2Y0	Wdr45	WD repeat domain phosphoinositide-interacting protein 4	0.00E+00
P04692-8	Tpm1	Tropomyosin alpha-1 chain	0.00E+00
P62755	Rps6	40S ribosomal protein S6	0.00E+00
P97840	Lgals9	Galectin-9	0.00E+00
Q499R7	Ppa1	Ppa1 protein	0.00E+00

**Приложение 2.** Список KEGG путей, выявленных в данных протеома образцов NEG и HEG.

Пути, обнаруженные исключительно в NEG или HEG, показаны **синим** и **красным**

соответственно.

Term	Term	HEG (gene counts)	P Value (HEG)	NEG (gene counts)	P Value (NEG)
rno03050	Proteasome	38	1.13E-37	38	7.78E-33
rno03010	Ribosome	36	3.44E-11	45	5.74E-13
rno04144	Endocytosis	48	4.49E-11	57	5.91E-11
rno04721	Synaptic vesicle cycle	21	1.11E-10	22	3.20E-09
rno04141	Protein processing in endoplasmic reticulum	34	3.42E-10	44	1.04E-12
rno01200	Carbon metabolism	22	4.89E-06	31	6.84E-09
rno04145	Phagosome	29	7.20E-06	32	1.03E-04
rno01130	Biosynthesis of antibiotics	31	8.02E-06	46	8.92E-10
rno04966	Collecting duct acid secretion	10	1.23E-05	10	1.28E-04
rno05169	Epstein-Barr virus infection	28	2.65E-04	34	3.18E-04
rno04961	Endocrine and other factor-regulated calcium reabsorption	11	2.83E-04	15	7.80E-06
rno05134	Legionellosis	12	3.51E-04	11	1.15E-02
rno05100	Bacterial invasion of epithelial cells	14	6.90E-04	17	4.18E-04
rno00030	Pentose phosphate pathway	8	1.06E-03	12	5.43E-06
rno00620	Pyruvate metabolism	9	1.76E-03	12	1.65E-04
rno00010	Glycolysis / Gluconeogenesis	12	2.09E-03	20	9.30E-07
rno05132	Salmonella infection	13	2.76E-03	16	1.63E-03
rno00630	Glyoxylate and dicarboxylate metabolism	7	3.79E-03	8	3.73E-03
rno05143	African trypanosomiasis	8	5.46E-03	10	2.06E-03
rno00480	Glutathione metabolism	10	5.66E-03	14	4.01E-04
rno04964	Proximal tubule bicarbonate reclamation	6	7.34E-03	7	5.47E-03
rno04810	Regulation of actin cytoskeleton	23	7.46E-03	34	1.47E-04
rno04530	Tight junction	17	7.73E-03	24	5.58E-04
rno01230	Biosynthesis of amino acids	12	7.94E-03	19	5.20E-05
rno04152	AMPK signaling pathway	15	1.47E-02	17	3.67E-02
rno05144	<b>Malaria</b>	<b>9</b>	<b>1.94E-02</b>	<b>#Н/Д</b>	<b>#Н/Д</b>
rno04972	Pancreatic secretion	12	2.22E-02	19	3.66E-04
rno04612	<b>Antigen processing and presentation</b>	<b>12</b>	<b>2.38E-02</b>	<b>#Н/Д</b>	<b>#Н/Д</b>
rno05016	<b>Huntington's disease</b>	<b>20</b>	<b>2.55E-02</b>	<b>#Н/Д</b>	<b>#Н/Д</b>
rno00270	Cysteine and methionine metabolism	7	2.61E-02	9	1.06E-02
rno00860	<b>Porphyrin and chlorophyll metabolism</b>	<b>7</b>	<b>2.91E-02</b>	<b>#Н/Д</b>	<b>#Н/Д</b>
rno05203	<b>Viral carcinogenesis</b>	<b>22</b>	<b>3.04E-02</b>	<b>#Н/Д</b>	<b>#Н/Д</b>
rno00020	Citrate cycle (TCA cycle)	6	3.50E-02	8	1.01E-02
rno04962	Vasopressin-regulated water reabsorption	7	3.59E-02	8	4.61E-02
rno05211	Renal cell carcinoma	9	3.84E-02	12	1.35E-02
rno01100	Metabolic pathways	90	3.85E-02	127	2.77E-03
rno00190	<b>Oxidative phosphorylation</b>	<b>15</b>	<b>3.86E-02</b>	<b>#Н/Д</b>	<b>#Н/Д</b>
rno05205	Proteoglycans in cancer	19	4.25E-02	30	8.19E-04
rno04261	Adrenergic signaling in cardiomyocytes	15	4.26E-02	20	1.79E-02
rno04670	Leukocyte transendothelial migration	13	4.42E-02	18	1.11E-02
rno04114	Oocyte meiosis	12	4.98E-02	18	4.23E-03
rno04666	<b>Fc gamma R-mediated phagocytosis</b>	<b>#Н/Д</b>	<b>#Н/Д</b>	<b>16</b>	<b>2.09E-03</b>
rno00520	<b>Amino sugar and nucleotide sugar metabolism</b>	<b>#Н/Д</b>	<b>#Н/Д</b>	<b>11</b>	<b>3.28E-03</b>
rno00051	<b>Fructose and mannose metabolism</b>	<b>#Н/Д</b>	<b>#Н/Д</b>	<b>9</b>	<b>6.54E-03</b>
rno04611	<b>Platelet activation</b>	<b>#Н/Д</b>	<b>#Н/Д</b>	<b>20</b>	<b>8.07E-03</b>
rno04120	<b>Ubiquitin mediated proteolysis</b>	<b>#Н/Д</b>	<b>#Н/Д</b>	<b>20</b>	<b>1.18E-02</b>
rno00970	<b>Aminoacyl-tRNA biosynthesis</b>	<b>#Н/Д</b>	<b>#Н/Д</b>	<b>12</b>	<b>1.66E-02</b>
rno04976	<b>Bile secretion</b>	<b>#Н/Д</b>	<b>#Н/Д</b>	<b>12</b>	<b>2.03E-02</b>
rno04971	<b>Gastric acid secretion</b>	<b>#Н/Д</b>	<b>#Н/Д</b>	<b>12</b>	<b>2.46E-02</b>
rno00562	<b>Inositol phosphate metabolism</b>	<b>#Н/Д</b>	<b>#Н/Д</b>	<b>12</b>	<b>2.69E-02</b>
rno04970	<b>Salivary secretion</b>	<b>#Н/Д</b>	<b>#Н/Д</b>	<b>12</b>	<b>3.21E-02</b>
rno04510	<b>Focal adhesion</b>	<b>#Н/Д</b>	<b>#Н/Д</b>	<b>25</b>	<b>3.58E-02</b>
rno04918	<b>Thyroid hormone synthesis</b>	<b>#Н/Д</b>	<b>#Н/Д</b>	<b>11</b>	<b>3.62E-02</b>
rno04978	<b>Mineral absorption</b>	<b>#Н/Д</b>	<b>#Н/Д</b>	<b>8</b>	<b>3.68E-02</b>
rno04728	<b>Dopaminergic synapse</b>	<b>#Н/Д</b>	<b>#Н/Д</b>	<b>17</b>	<b>4.16E-02</b>

**Приложение 3.** Список Gene ontology (Biological process (BP); Cellular compartment (CC); Molecular functions (MF)) путей, выявленных в данных протеома образцов NEG и HEG. Пути, обнаруженные исключительно в NEG или HEG, показаны **синим** и **красным** соответственно.

Category	GO ID	Term	HEG (gene counts)	P Value (HEG)	NEG (gene counts)	P Value (NEG)
GOTERM CC DIRECT	GO:0070062	extracellular exosome	419	3.91E-161	548	6.10E-197
GOTERM CC DIRECT	GO:0016020	membrane	263	7.36E-63	352	6.09E-80
GOTERM CC DIRECT	GO:0000502	proteasome complex	44	4.23E-47	45	1.52E-42
GOTERM CC DIRECT	GO:0005737	cytoplasm	393	6.60E-44	539	9.79E-58
GOTERM CC DIRECT	GO:0043209	myelin sheath	65	4.59E-41	83	4.17E-51
GOTERM CC DIRECT	GO:0005925	focal adhesion	90	4.66E-41	109	1.60E-44
GOTERM CC DIRECT	GO:0005829	cytosol	186	5.96E-41	253	2.84E-54
GOTERM CC DIRECT	GO:0042470	melanosome	41	1.01E-31	47	2.27E-33
GOTERM MF DIRECT	GO:0005515	protein binding	164	2.93E-27	218	2.46E-34
GOTERM MF DIRECT	GO:0044822	poly(A) RNA binding	123	6.29E-22	150	1.46E-21
GOTERM CC DIRECT	GO:0022624	proteasome accessory complex	17	9.06E-22	17	1.88E-19
GOTERM CC DIRECT	GO:0005839	proteasome core complex	18	1.13E-20	18	3.14E-18
GOTERM MF DIRECT	GO:0051082	unfolded protein binding	30	1.48E-20	34	4.36E-21
GOTERM MF DIRECT	GO:0005525	GTP binding	61	9.75E-19	64	5.88E-14
GOTERM MF DIRECT	GO:0004298	threonine-type endopeptidase activity	18	1.23E-18	18	2.44E-16
GOTERM MF DIRECT	GO:0098641	cadherin binding involved in cell-cell adhesion	45	5.66E-18	57	2.20E-21
GOTERM CC DIRECT	GO:0005913	cell-cell adherens junction	46	1.27E-16	58	4.64E-19
GOTERM BP DIRECT	GO:0006457	protein folding	31	2.18E-16	38	1.16E-18
GOTERM CC DIRECT	GO:0022627	cytosolic small ribosomal subunit	29	1.89E-15	33	3.24E-15
GOTERM CC DIRECT	GO:0072562	blood microparticle	30	3.61E-15	41	5.81E-21
GOTERM MF DIRECT	GO:0003924	GTPase activity	39	5.19E-15	41	4.75E-12
GOTERM BP DIRECT	GO:0098609	cell-cell adhesion	40	6.67E-15	51	8.32E-18
GOTERM BP DIRECT	GO:0006412	translation	54	1.73E-14	64	4.83E-14
GOTERM MF DIRECT	GO:0019003	GDP binding	21	2.91E-13	23	1.14E-12
GOTERM MF DIRECT	GO:0003735	structural constituent of ribosome	55	5.23E-13	64	6.43E-12
GOTERM CC DIRECT	GO:0030863	cortical cytoskeleton	15	2.70E-12	18	3.89E-14
GOTERM CC DIRECT	GO:0031597	cytosolic proteasome complex	10	3.04E-12	10	6.01E-11
GOTERM CC DIRECT	GO:0005838	proteasome regulatory particle	10	3.04E-12	10	6.01E-11
GOTERM CC DIRECT	GO:0043234	protein complex	65	5.37E-12	87	6.16E-15
GOTERM CC DIRECT	GO:0048471	perinuclear region of cytoplasm	66	1.63E-11	85	7.91E-13
GOTERM BP DIRECT	GO:0006511	ubiquitin-dependent protein catabolic process	29	3.51E-11	41	2.11E-16
GOTERM CC DIRECT	GO:0008540	proteasome regulatory particle, base subcomplex	10	6.20E-11	11	2.13E-11
GOTERM BP DIRECT	GO:0010388	cullin deneddylation	9	9.06E-11	8	7.78E-08
GOTERM CC DIRECT	GO:0008180	COP9 signalosome	14	2.27E-10	14	1.27E-08
GOTERM MF DIRECT	GO:0005524	ATP binding	111	3.01E-10	146	7.12E-12
GOTERM MF DIRECT	GO:0031593	polyubiquitin binding	13	3.45E-10	12	1.51E-07
GOTERM BP DIRECT	GO:0007264	small GTPase mediated signal transduction	35	3.62E-10	38	3.59E-08
GOTERM MF DIRECT	GO:0032403	protein complex binding	45	8.49E-10	61	5.67E-13
GOTERM CC DIRECT	GO:0031595	nuclear proteasome complex	8	1.47E-09	8	1.49E-08
GOTERM CC DIRECT	GO:0005905	clathrin-coated pit	15	1.74E-09	15	1.15E-07
GOTERM BP DIRECT	GO:1904871	positive regulation of protein localization to Cajal body	8	1.91E-09	8	1.82E-08
GOTERM BP DIRECT	GO:0016192	vesicle-mediated transport	24	3.13E-09	24	1.09E-06
GOTERM CC DIRECT	GO:0030529	intracellular ribonucleoprotein complex	23	3.23E-09	30	2.31E-11
GOTERM CC DIRECT	GO:0031012	extracellular matrix	34	4.77E-09	39	5.07E-08
GOTERM BP DIRECT	GO:0006897	endocytosis	24	5.02E-09	25	4.47E-07
GOTERM CC DIRECT	GO:0005832	chaperonin-containing T-complex	8	6.39E-09	8	6.38E-08
GOTERM BP DIRECT	GO:0045454	cell redox homeostasis	17	7.23E-09	20	2.49E-09
GOTERM BP DIRECT	GO:0070527	platelet aggregation	14	8.01E-09	19	3.45E-12
GOTERM CC DIRECT	GO:0005840	ribosome	25	9.22E-09	30	5.37E-09
GOTERM MF DIRECT	GO:0051117	ATPase binding	19	2.37E-08	23	3.97E-09
GOTERM CC DIRECT	GO:0005739	mitochondrion	112	2.40E-08	150	1.21E-09
GOTERM CC DIRECT	GO:0005634	nucleus	266	3.43E-08	358	1.06E-08
GOTERM BP DIRECT	GO:0015031	protein transport	33	5.38E-08	44	4.70E-10
GOTERM BP DIRECT	GO:0006886	intracellular protein transport	29	5.66E-08	35	4.37E-08
GOTERM CC DIRECT	GO:0044297	cell body	19	7.12E-08	20	2.06E-06
GOTERM CC DIRECT	GO:0005790	smooth endoplasmic reticulum	11	1.26E-07	14	1.87E-09
GOTERM MF DIRECT	GO:0008536	Ran GTPase binding	11	1.30E-07	14	1.54E-09
GOTERM MF DIRECT	GO:0001948	glycoprotein binding	17	1.34E-07	16	3.58E-05
GOTERM CC DIRECT	GO:0005768	endosome	31	1.45E-07	40	1.05E-08
GOTERM BP DIRECT	GO:0051603	proteolysis involved in cellular protein catabolic process	14	1.46E-07	16	1.37E-07
GOTERM BP DIRECT	GO:0000028	ribosomal small subunit assembly	13	1.49E-07	15	8.61E-08
GOTERM MF DIRECT	GO:0042802	identical protein binding	58	2.07E-07	75	2.68E-08
GOTERM BP DIRECT	GO:0042744	hydrogen peroxide catabolic process	9	3.13E-07	10	2.45E-07
GOTERM BP DIRECT	GO:0048821	erythrocyte development	10	3.24E-07	10	4.79E-06
GOTERM CC DIRECT	GO:0019773	proteasome core complex, alpha-subunit complex	7	3.54E-07	7	2.49E-06
GOTERM MF DIRECT	GO:0031625	ubiquitin protein ligase binding	34	4.27E-07	53	6.52E-13
GOTERM_BP_DIRECT	GO:1904851	positive regulation of establishment of protein localization to telomere	7	4.41E-07	7	2.95E-06
GOTERM CC DIRECT	GO:0002199	zona pellucida receptor complex	8	5.08E-07	8	4.72E-06
GOTERM CC DIRECT	GO:0005844	polysome	12	5.29E-07	13	1.93E-06
GOTERM BP DIRECT	GO:0050821	protein stabilization	21	6.08E-07	27	3.24E-08
GOTERM CC DIRECT	GO:0005783	endoplasmic reticulum	65	6.17E-07	103	6.75E-14
GOTERM CC DIRECT	GO:0032587	ruffle membrane	15	6.47E-07	18	2.32E-07
GOTERM CC DIRECT	GO:0031982	vesicle	23	7.34E-07	29	1.23E-07
GOTERM MF DIRECT	GO:0051087	chaperone binding	16	7.94E-07	22	2.02E-09
GOTERM MF DIRECT	GO:0036402	proteasome-activating ATPase activity	6	8.34E-07	6	3.99E-06
GOTERM CC DIRECT	GO:0005765	lysosomal membrane	27	9.98E-07	35	8.19E-08

GOTERM MF DIRECT	GO:0008565	protein transporter activity	15	1.10E-06	23	2.84E-11
GOTERM BP DIRECT	GO:1904874	positive regulation of telomerase RNA localization to Cajal body	8	1.18E-06	10	2.97E-08
GOTERM_BP_DIRECT	GO:0043161	proteasome-mediated ubiquitin-dependent protein catabolic process	22	1.26E-06	28	1.32E-07
GOTERM CC DIRECT	GO:0005884	actin filament	15	1.33E-06	18	5.55E-07
GOTERM BP DIRECT	GO:0006749	glutathione metabolic process	13	1.40E-06	15	1.18E-06
GOTERM CC DIRECT	GO:0031410	cytoplasmic vesicle	31	1.42E-06	42	2.30E-08
GOTERM CC DIRECT	GO:0030139	endocytic vesicle	13	1.47E-06	15	1.38E-06
GOTERM CC DIRECT	GO:0030496	midbody	19	1.48E-06	22	3.09E-06
GOTERM CC DIRECT	GO:0055038	recycling endosome membrane	11	1.62E-06	11	3.02E-05
GOTERM CC DIRECT	GO:0071782	endoplasmic reticulum tubular network	7	1.81E-06	7	1.24E-05
GOTERM CC DIRECT	GO:0005788	endoplasmic reticulum lumen	14	1.93E-06	21	2.83E-10
GOTERM MF DIRECT	GO:0051015	actin filament binding	21	2.02E-06	29	8.12E-09
GOTERM MF DIRECT	GO:0017025	TBP-class protein binding	9	2.08E-06	9	2.13E-05
GOTERM CC DIRECT	GO:0016272	prefoldin complex	6	2.25E-06	6	1.15E-05
GOTERM CC DIRECT	GO:0015935	small ribosomal subunit	10	2.81E-06	11	5.27E-06
GOTERM CC DIRECT	GO:0002102	podosome	10	2.81E-06	11	5.27E-06
GOTERM MF DIRECT	GO:0019904	protein domain specific binding	33	3.96E-06	38	3.13E-05
GOTERM BP DIRECT	GO:0021762	substantia nigra development	12	4.16E-06	13	1.57E-05
GOTERM_BP_DIRECT	GO:0045899	positive regulation of RNA polymerase II transcriptional preinitiation complex assembly	7	4.34E-06	7	2.78E-05
GOTERM CC DIRECT	GO:0036464	cytoplasmic ribonucleoprotein granule	9	4.50E-06	10	5.61E-06
GOTERM CC DIRECT	GO:0008541	proteasome regulatory particle, lid subcomplex	6	5.80E-06	7	8.74E-07
GOTERM BP DIRECT	GO:0098869	cellular oxidant detoxification	14	5.83E-06	17	1.84E-06
GOTERM MF DIRECT	GO:0042277	peptide binding	15	5.96E-06	19	5.56E-07
GOTERM BP DIRECT	GO:0051085	chaperone mediated protein folding requiring cofactor	7	7.77E-06	8	3.01E-06
GOTERM BP DIRECT	GO:0042176	regulation of protein catabolic process	8	7.96E-06	8	6.46E-05
GOTERM CC DIRECT	GO:0043195	terminal bouton	18	8.05E-06	21	1.46E-05
GOTERM MF DIRECT	GO:0016887	ATPase activity	23	8.14E-06	32	4.79E-08
GOTERM BP DIRECT	GO:0006414	translational elongation	9	8.24E-06	9	8.44E-05
GOTERM BP DIRECT	GO:0045471	response to ethanol	24	8.33E-06	28	2.49E-05
GOTERM CC DIRECT	GO:0005903	brush border	14	8.74E-06	18	6.82E-07
GOTERM BP DIRECT	GO:0061025	membrane fusion	10	1.15E-05	13	3.83E-07
GOTERM MF DIRECT	GO:0000287	magnesium ion binding	25	1.34E-05	30	1.77E-05
GOTERM CC DIRECT	GO:0005794	Golgi apparatus	61	1.36E-05	92	1.23E-09
GOTERM CC DIRECT	GO:0019898	extrinsic component of membrane	14	1.37E-05	15	1.05E-04
GOTERM MF DIRECT	GO:0070628	proteasome binding	7	1.37E-05	8	5.70E-06
GOTERM CC DIRECT	GO:0016323	basolateral plasma membrane	24	1.46E-05	31	2.49E-06
GOTERM CC DIRECT	GO:0043005	neuron projection	36	1.54E-05	60	8.97E-12
GOTERM CC DIRECT	GO:0005833	hemoglobin complex	7	1.70E-05	7	1.10E-04
GOTERM BP DIRECT	GO:0030433	ER-associated ubiquitin-dependent protein catabolic process	12	2.01E-05	13	8.13E-05
GOTERM CC DIRECT	GO:0005856	cytoskeleton	26	2.08E-05	31	5.11E-05
GOTERM CC DIRECT	GO:0008021	synaptic vesicle	18	2.13E-05	23	3.77E-06
GOTERM CC DIRECT	GO:0005769	early endosome	24	2.32E-05	31	4.51E-06
GOTERM MF DIRECT	GO:0043531	ADP binding	10	2.51E-05	15	1.40E-08
GOTERM MF DIRECT	GO:0030234	enzyme regulator activity	8	2.53E-05	9	2.13E-05
GOTERM BP DIRECT	GO:0042026	protein refolding	6	2.92E-05	6	1.37E-04
GOTERM MF DIRECT	GO:0019901	protein kinase binding	39	3.21E-05	46	1.93E-04
GOTERM BP DIRECT	GO:1901998	toxin transport	10	3.67E-05	10	4.27E-04
GOTERM CC DIRECT	GO:0045121	membrane raft	27	4.01E-05	37	1.36E-06
GOTERM BP DIRECT	GO:0030036	actin cytoskeleton organization	18	4.15E-05	23	7.69E-06
GOTERM MF DIRECT	GO:0042803	protein homodimerization activity	60	4.18E-05	77	2.80E-05
GOTERM CC DIRECT	GO:0005885	Arp2/3 protein complex	6	4.32E-05	7	1.24E-05
GOTERM MF DIRECT	GO:0003746	translation elongation factor activity	8	4.77E-05	9	4.41E-05
GOTERM BP DIRECT	GO:0006979	response to oxidative stress	19	4.98E-05	24	1.43E-05
GOTERM BP DIRECT	GO:1900026	positive regulation of substrate adhesion-dependent cell spreading	9	5.62E-05	11	1.27E-05
GOTERM BP DIRECT	GO:0015671	oxygen transport	7	7.00E-05	7	4.12E-04
GOTERM CC DIRECT	GO:0034663	endoplasmic reticulum chaperone complex	6	7.15E-05	8	1.20E-06
GOTERM MF DIRECT	GO:0005344	oxygen transporter activity	7	7.32E-05	7	4.12E-04
GOTERM BP DIRECT	GO:0015991	ATP hydrolysis coupled proton transport	9	8.84E-05	10	1.44E-04
GOTERM CC DIRECT	GO:0051286	cell tip	5	8.92E-05	5	3.24E-04
GOTERM BP DIRECT	GO:0007030	Golgi organization	13	9.43E-05	20	6.99E-08
GOTERM BP DIRECT	GO:0030033	microvillus assembly	7	9.87E-05	7	5.72E-04
GOTERM CC DIRECT	GO:0016324	apical plasma membrane	29	9.92E-05	40	3.98E-06
GOTERM MF DIRECT	GO:0044325	ion channel binding	17	1.08E-04	19	4.56E-04
GOTERM BP DIRECT	GO:0007339	binding of sperm to zona pellucida	9	1.09E-04	9	9.67E-04
GOTERM MF DIRECT	GO:0004601	peroxidase activity	7	1.42E-04	7	7.77E-04
GOTERM BP DIRECT	GO:0006953	acute-phase response	9	1.64E-04	12	7.68E-06
GOTERM CC DIRECT	GO:0030132	clathrin coat of coated pit	5	1.73E-04	7	8.74E-07
GOTERM CC DIRECT	GO:0005793	endoplasmic reticulum-Golgi intermediate compartment	11	1.73E-04	20	6.24E-10
GOTERM BP DIRECT	GO:0034976	response to endoplasmic reticulum stress	13	1.75E-04	16	7.70E-05
GOTERM CC DIRECT	GO:0016234	inclusion body	7	1.99E-04	7	1.16E-03
GOTERM BP DIRECT	GO:0043248	proteasome assembly	6	2.01E-04	7	8.17E-05
GOTERM CC DIRECT	GO:0022625	cytosolic large ribosomal subunit	19	2.58E-04	26	1.59E-05
GOTERM CC DIRECT	GO:0031672	A band	7	2.59E-04	7	1.50E-03
GOTERM CC DIRECT	GO:0030670	phagocytic vesicle membrane	7	2.59E-04	8	2.14E-04
GOTERM CC DIRECT	GO:0031838	haptoglobin-hemoglobin complex	4	2.67E-04	4	7.14E-04
GOTERM MF DIRECT	GO:0008289	lipid binding	16	2.77E-04	19	3.39E-04
GOTERM MF DIRECT	GO:0031072	heat shock protein binding	10	2.84E-04	15	9.10E-07
GOTERM BP DIRECT	GO:0051597	response to methylmercury	6	2.91E-04	6	1.28E-03
GOTERM BP DIRECT	GO:0061136	regulation of proteasomal protein catabolic process	6	2.91E-04	8	1.02E-05
GOTERM BP DIRECT	GO:0006783	heme biosynthetic process	6	2.91E-04	8	1.02E-05
GOTERM MF DIRECT	GO:0008022	protein C-terminus binding	22	3.26E-04	28	1.28E-04
GOTERM BP DIRECT	GO:0055072	iron ion homeostasis	8	3.28E-04	10	6.70E-05

GOTERM MF DIRECT	GO:0030507	spectrin binding	8	3.44E-04	8	2.20E-03
GOTERM MF DIRECT	GO:0019899	enzyme binding	33	3.45E-04	47	4.97E-06
GOTERM BP DIRECT	GO:0006779	porphyrin-containing compound biosynthetic process	5	3.47E-04	6	7.22E-05
GOTERM BP DIRECT	GO:0032212	positive regulation of telomere maintenance via telomerase	8	4.01E-04	8	2.66E-03
GOTERM BP DIRECT	GO:1901800	positive regulation of proteasomal protein catabolic process	6	4.08E-04	6	1.77E-03
GOTERM BP DIRECT	GO:0034314	Arp2/3 complex-mediated actin nucleation	6	4.08E-04	7	1.97E-04
GOTERM CC DIRECT	GO:0055037	recycling endosome	14	4.37E-04	20	9.33E-06
GOTERM CC DIRECT	GO:0043231	intracellular membrane-bounded organelle	48	4.44E-04	74	2.32E-07
GOTERM BP DIRECT	GO:0042542	response to hydrogen peroxide	12	4.48E-04	14	5.85E-04
GOTERM MF DIRECT	GO:0046961	proton-transporting ATPase activity, rotational mechanism	7	5.40E-04	9	6.16E-05
GOTERM BP DIRECT	GO:2000786	positive regulation of autophagosome assembly	5	5.58E-04	5	1.88E-03
GOTERM BP DIRECT	GO:0071786	endoplasmic reticulum tubular network organization	5	5.58E-04	4	1.79E-02
GOTERM MF DIRECT	GO:0016209	antioxidant activity	6	5.79E-04	7	2.89E-04
GOTERM BP DIRECT	GO:0042493	response to drug	40	6.18E-04	49	1.85E-03
GOTERM CC DIRECT	GO:0000796	condensin complex	4	6.47E-04	5	5.07E-05
GOTERM CC DIRECT	GO:0070552	BRISC complex	4	6.47E-04	4	1.71E-03
GOTERM CC DIRECT	GO:0030027	lamellipodium	17	6.48E-04	23	7.26E-05
GOTERM BP DIRECT	GO:0006888	ER to Golgi vesicle-mediated transport	12	6.92E-04	23	1.18E-09
GOTERM CC DIRECT	GO:0042582	azurophil granule	5	7.37E-04	4	2.18E-02
GOTERM CC DIRECT	GO:0030659	cytoplasmic vesicle membrane	11	7.65E-04	12	2.77E-03
GOTERM BP DIRECT	GO:0043066	negative regulation of apoptotic process	39	7.94E-04	54	5.86E-05
GOTERM BP DIRECT	GO:0071353	cellular response to interleukin-4	7	8.04E-04	7	4.17E-03
GOTERM CC DIRECT	GO:1903561	extracellular vesicle	9	9.03E-04	10	1.90E-03
GOTERM BP DIRECT	GO:0042147	retrograde transport, endosome to Golgi	10	9.27E-04	12	6.67E-04
GOTERM BP DIRECT	GO:0008360	regulation of cell shape	15	9.57E-04	17	2.96E-03
GOTERM MF DIRECT	GO:0005200	structural constituent of cytoskeleton	11	9.66E-04	15	6.62E-05
GOTERM MF DIRECT	GO:0000049	tRNA binding	9	1.05E-03	12	1.02E-04
GOTERM CC DIRECT	GO:0005635	nuclear envelope	16	1.06E-03	17	9.99E-03
GOTERM CC DIRECT	GO:0031901	early endosome membrane	10	1.15E-03	10	1.02E-02
GOTERM BP DIRECT	GO:0010288	response to lead ion	8	1.16E-03	12	1.01E-05
GOTERM BP DIRECT	GO:0006611	protein export from nucleus	7	1.20E-03	9	1.98E-04
GOTERM CC DIRECT	GO:0014731	spectrin-associated cytoskeleton	4	1.25E-03	4	3.27E-03
GOTERM BP DIRECT	GO:0010592	positive regulation of lamellipodium assembly	6	1.26E-03	6	5.16E-03
GOTERM CC DIRECT	GO:0005811	lipid particle	10	1.28E-03	13	2.77E-04
GOTERM MF DIRECT	GO:0004177	aminopeptidase activity	6	1.30E-03	10	7.61E-07
GOTERM BP DIRECT	GO:0071333	cellular response to glucose stimulus	12	1.38E-03	14	2.05E-03
GOTERM BP DIRECT	GO:0020027	hemoglobin metabolic process	4	1.40E-03	4	3.55E-03
GOTERM MF DIRECT	GO:0051920	peroxiredoxin activity	4	1.43E-03	4	3.55E-03
GOTERM MF DIRECT	GO:0051022	Rho GDP-dissociation inhibitor binding	4	1.43E-03	4	3.55E-03
GOTERM BP DIRECT	GO:0030100	regulation of endocytosis	7	1.45E-03	7	7.19E-03
GOTERM CC DIRECT	GO:0000139	Golgi membrane	25	1.47E-03	39	3.54E-06
GOTERM MF DIRECT	GO:0004843	thiol-dependent ubiquitin-specific protease activity	11	1.47E-03	15	1.22E-04
GOTERM BP DIRECT	GO:0006461	protein complex assembly	10	1.49E-03	12	1.17E-03
GOTERM BP DIRECT	GO:0045727	positive regulation of translation	10	1.49E-03	11	3.98E-03
GOTERM MF DIRECT	GO:0019825	oxygen binding	7	1.51E-03	8	1.48E-03
GOTERM CC DIRECT	GO:0005789	endoplasmic reticulum membrane	39	1.53E-03	65	7.19E-08
GOTERM BP DIRECT	GO:0010977	negative regulation of neuron projection development	10	1.66E-03	11	4.46E-03
GOTERM BP DIRECT	GO:0009408	response to heat	11	1.70E-03	12	5.78E-03
GOTERM BP DIRECT	GO:0000060	protein import into nucleus, translocation	7	1.73E-03	8	1.81E-03
GOTERM MF DIRECT	GO:0019900	kinase binding	12	1.76E-03	17	7.38E-05
GOTERM MF DIRECT	GO:0044183	protein binding involved in protein folding	5	1.77E-03	5	5.56E-03
GOTERM MF DIRECT	GO:0003723	RNA binding	35	1.79E-03	38	3.81E-02
GOTERM CC DIRECT	GO:0005874	microtubule	21	1.80E-03	26	2.22E-03
GOTERM BP DIRECT	GO:0031532	actin cytoskeleton reorganization	9	1.92E-03	11	1.07E-03
GOTERM CC DIRECT	GO:0014069	postsynaptic density	21	1.99E-03	24	9.79E-03
GOTERM MF DIRECT	GO:0043022	ribosome binding	9	2.01E-03	12	2.57E-04
GOTERM CC DIRECT	GO:0031461	cullin-RING ubiquitin ligase complex	4	2.13E-03	5	3.24E-04
GOTERM CC DIRECT	GO:0016023	cytoplasmic, membrane-bounded vesicle	12	2.25E-03	14	3.80E-03
GOTERM BP DIRECT	GO:0006107	oxaloacetate metabolic process	5	2.32E-03	6	8.95E-04
GOTERM BP DIRECT	GO:0048268	clathrin coat assembly	5	2.32E-03	5	7.42E-03
GOTERM BP DIRECT	GO:0006782	protoporphyrinogen IX biosynthetic process	4	2.37E-03	5	3.62E-04
GOTERM BP DIRECT	GO:0006610	ribosomal protein import into nucleus	4	2.37E-03	5	3.62E-04
GOTERM BP DIRECT	GO:0036010	protein localization to endosome	4	2.37E-03	5	3.62E-04
GOTERM BP DIRECT	GO:0032482	Rab protein signal transduction	4	2.37E-03	4	5.95E-03
GOTERM CC DIRECT	GO:0005813	centrosome	32	2.53E-03	41	2.59E-03
GOTERM CC DIRECT	GO:0005654	nucleoplasm	96	2.57E-03	134	3.20E-04
GOTERM BP DIRECT	GO:0007067	mitotic nuclear division	14	2.60E-03	15	1.53E-02
GOTERM BP DIRECT	GO:0050766	positive regulation of phagocytosis	8	2.74E-03	9	4.31E-03
GOTERM BP DIRECT	GO:0035690	cellular response to drug	12	2.77E-03	15	1.58E-03
GOTERM BP DIRECT	GO:0006364	rRNA processing	10	2.80E-03	10	2.11E-02
GOTERM BP DIRECT	GO:0008361	regulation of cell size	6	3.00E-03	6	1.16E-02
GOTERM BP DIRECT	GO:0072661	protein targeting to plasma membrane	6	3.00E-03	12	3.42E-08
GOTERM BP DIRECT	GO:0051016	barbed-end actin filament capping	5	3.06E-03	7	1.29E-04
GOTERM BP DIRECT	GO:0043524	negative regulation of neuron apoptotic process	16	3.11E-03	18	1.18E-02
GOTERM MF DIRECT	GO:0019905	syntaxin binding	11	3.14E-03	12	1.00E-02
GOTERM CC DIRECT	GO:1904115	axon cytoplasm	7	3.18E-03	8	3.80E-03
GOTERM MF DIRECT	GO:0003743	translation initiation factor activity	9	3.19E-03	11	1.88E-03
GOTERM CC DIRECT	GO:0001726	ruffle	11	3.21E-03	15	4.47E-04
GOTERM CC DIRECT	GO:0031232	extrinsic component of external side of plasma membrane	4	3.30E-03	4	8.40E-03
GOTERM BP DIRECT	GO:0001895	retina homeostasis	7	3.30E-03	9	7.93E-04
GOTERM CC DIRECT	GO:0042383	sarcolemma	13	3.34E-03	19	1.27E-04
GOTERM BP DIRECT	GO:0009306	protein secretion	6	3.61E-03	6	1.39E-02
GOTERM BP DIRECT	GO:0032456	endocytic recycling	6	3.61E-03	7	2.76E-03
GOTERM BP DIRECT	GO:0006189	'de novo' IMP biosynthetic process	4	3.67E-03	4	9.10E-03

GOTERM BP DIRECT	GO:2000643	positive regulation of early endosome to late endosome transport	4	3.67E-03	4	9.10E-03
<b>GOTERM BP DIRECT</b>	<b>GO:0009116</b>	<b>nucleoside metabolic process</b>	<b>4</b>	<b>3.67E-03</b>	<b>#H/Δ</b>	<b>#H/Δ</b>
GOTERM BP DIRECT	GO:0000059	protein import into nucleus, docking	4	3.67E-03	5	6.90E-04
GOTERM BP DIRECT	GO:0033572	transferrin transport	4	3.67E-03	4	9.10E-03
GOTERM BP DIRECT	GO:1903543	positive regulation of exosomal secretion	5	3.95E-03	5	1.23E-02
GOTERM BP DIRECT	GO:0061028	establishment of endothelial barrier	5	3.95E-03	5	1.23E-02
GOTERM MF DIRECT	GO:0070180	large ribosomal subunit rRNA binding	5	4.06E-03	6	1.77E-03
GOTERM BP DIRECT	GO:0016579	protein deubiquitination	10	4.09E-03	15	9.06E-05
GOTERM BP DIRECT	GO:0051260	protein homooligomerization	18	4.16E-03	21	1.11E-02
GOTERM BP DIRECT	GO:0051301	cell division	17	4.20E-03	26	5.06E-05
GOTERM CC DIRECT	GO:0032154	cleavage furrow	7	4.21E-03	8	5.20E-03
GOTERM BP DIRECT	GO:0030866	cortical actin cytoskeleton organization	6	4.32E-03	8	5.86E-04
GOTERM CC DIRECT	GO:0009986	cell surface	40	4.45E-03	61	3.21E-05
GOTERM BP DIRECT	GO:0030218	erythrocyte differentiation	8	4.47E-03	9	7.34E-03
GOTERM MF DIRECT	GO:0030544	Hsp70 protein binding	7	4.57E-03	8	5.22E-03
GOTERM CC DIRECT	GO:0030118	clathrin coat	4	4.80E-03	5	1.06E-03
GOTERM BP DIRECT	GO:0051289	protein homotetramerization	10	4.89E-03	10	3.39E-02
GOTERM BP DIRECT	GO:0060047	heart contraction	5	4.99E-03	5	1.53E-02
GOTERM BP DIRECT	GO:1990090	cellular response to nerve growth factor stimulus	8	5.01E-03	12	1.25E-04
GOTERM BP DIRECT	GO:0006605	protein targeting	7	5.04E-03	11	4.97E-05
GOTERM MF DIRECT	GO:0023026	MHC class II protein complex binding	5	5.13E-03	5	1.53E-02
GOTERM BP DIRECT	GO:0000338	protein deneddylation	3	5.28E-03	3	9.98E-03
GOTERM_BP_DIRECT	GO:0097051	establishment of protein localization to endoplasmic reticulum membrane	3	5.28E-03	3	9.98E-03
GOTERM BP DIRECT	GO:0031100	organ regeneration	11	5.30E-03	11	4.11E-02
GOTERM CC DIRECT	GO:0005770	late endosome	13	5.33E-03	18	7.62E-04
GOTERM BP DIRECT	GO:0044829	positive regulation by host of viral genome replication	4	5.33E-03	5	1.18E-03
GOTERM BP DIRECT	GO:0071320	cellular response to cAMP	10	5.34E-03	11	1.45E-02
GOTERM MF DIRECT	GO:0031720	haptoglobin binding	3	5.37E-03	3	9.98E-03
GOTERM BP DIRECT	GO:0007584	response to nutrient	14	5.72E-03	16	1.49E-02
GOTERM BP DIRECT	GO:0014823	response to activity	11	5.73E-03	13	7.59E-03
GOTERM BP DIRECT	GO:0006096	glycolytic process	7	5.75E-03	11	6.33E-05
GOTERM BP DIRECT	GO:0034599	cellular response to oxidative stress	10	5.81E-03	13	1.92E-03
GOTERM CC DIRECT	GO:0010008	endosome membrane	11	5.99E-03	15	1.09E-03
GOTERM CC DIRECT	GO:0033116	endoplasmic reticulum-Golgi intermediate compartment membrane	6	6.01E-03	10	2.23E-05
GOTERM CC DIRECT	GO:0005795	Golgi stack	6	6.01E-03	10	2.23E-05
GOTERM BP DIRECT	GO:0090314	positive regulation of protein targeting to membrane	6	6.02E-03	7	5.05E-03
GOTERM CC DIRECT	GO:0045335	phagocytic vesicle	7	6.18E-03	8	7.99E-03
GOTERM BP DIRECT	GO:0006413	translational initiation	8	6.24E-03	10	3.05E-03
GOTERM BP DIRECT	GO:0014070	response to organic cyclic compound	22	6.44E-03	28	5.54E-03
GOTERM BP DIRECT	GO:0019882	antigen processing and presentation	7	6.53E-03	9	2.00E-03
GOTERM BP DIRECT	GO:0006641	triglyceride metabolic process	7	6.53E-03	8	8.11E-03
GOTERM BP DIRECT	GO:0042254	ribosome biogenesis	7	6.53E-03	7	2.83E-02
GOTERM CC DIRECT	GO:0016471	vacuolar proton-transporting V-type ATPase complex	4	6.65E-03	4	1.65E-02
GOTERM CC DIRECT	GO:0030131	clathrin adaptor complex	5	6.66E-03	6	3.59E-03
GOTERM BP DIRECT	GO:0017157	regulation of exocytosis	6	7.02E-03	7	6.05E-03
GOTERM BP DIRECT	GO:0005975	carbohydrate metabolic process	13	7.09E-03	21	4.05E-05
GOTERM BP DIRECT	GO:0032486	Rap protein signal transduction	4	7.38E-03	4	1.79E-02
<b>GOTERM_BP_DIRECT</b>	<b>GO:0002481</b>	<b>antigen processing and presentation of exogenous protein antigen via MHC class Ib, TAP-dependent</b>	<b>4</b>	<b>7.38E-03</b>	<b>#H/Δ</b>	<b>#H/Δ</b>
GOTERM BP DIRECT	GO:0051131	chaperone-mediated protein complex assembly	4	7.38E-03	6	1.37E-04
GOTERM BP DIRECT	GO:0032092	positive regulation of protein binding	9	7.41E-03	11	5.56E-03
GOTERM BP DIRECT	GO:0032880	regulation of protein localization	9	7.41E-03	11	5.56E-03
GOTERM BP DIRECT	GO:0051593	response to folic acid	5	7.59E-03	5	2.27E-02
GOTERM BP DIRECT	GO:0048260	positive regulation of receptor-mediated endocytosis	5	7.59E-03	6	4.07E-03
GOTERM CC DIRECT	GO:0005902	microvillus	9	7.76E-03	11	6.24E-03
GOTERM MF DIRECT	GO:0031489	myosin V binding	5	7.80E-03	6	4.07E-03
<b>GOTERM MF DIRECT</b>	<b>GO:0051219</b>	<b>phosphoprotein binding</b>	<b>8</b>	<b>8.00E-03</b>	<b>#H/Δ</b>	<b>#H/Δ</b>
GOTERM MF DIRECT	GO:0008237	metallopeptidase activity	8	8.00E-03	10	3.97E-03
GOTERM CC DIRECT	GO:0001891	phagocytic cup	5	8.06E-03	5	2.47E-02
GOTERM BP DIRECT	GO:0051259	protein oligomerization	9	8.09E-03	11	6.18E-03
GOTERM BP DIRECT	GO:0061077	chaperone-mediated protein folding	6	8.14E-03	9	2.56E-04
GOTERM MF DIRECT	GO:0036459	thiol-dependent ubiquitinyl hydrolase activity	6	8.41E-03	7	7.19E-03
GOTERM CC DIRECT	GO:0030315	T-tubule	8	8.47E-03	11	1.33E-03
GOTERM BP DIRECT	GO:0007568	aging	24	8.65E-03	33	1.87E-03
GOTERM CC DIRECT	GO:0030864	cortical actin cytoskeleton	7	8.74E-03	8	1.17E-02
GOTERM CC DIRECT	GO:0001931	uropod	4	8.87E-03	4	2.18E-02
GOTERM MF DIRECT	GO:0003756	protein disulfide isomerase activity	5	9.43E-03	7	7.77E-04
GOTERM CC DIRECT	GO:0005862	muscle thin filament tropomyosin	3	9.55E-03	3	1.81E-02
GOTERM BP DIRECT	GO:0007035	vacuolar acidification	4	9.83E-03	4	2.35E-02
<b>GOTERM BP DIRECT</b>	<b>GO:0019076</b>	<b>viral release from host cell</b>	<b>3</b>	<b>1.03E-02</b>	<b>#H/Δ</b>	<b>#H/Δ</b>
GOTERM BP DIRECT	GO:1902115	regulation of organelle assembly	3	1.03E-02	3	1.92E-02
GOTERM_BP_DIRECT	GO:0061741	chaperone-mediated protein transport involved in chaperone-mediated autophagy	3	1.03E-02	3	1.92E-02
GOTERM BP DIRECT	GO:0090666	scaRNA localization to Cajal body	3	1.03E-02	3	1.92E-02
GOTERM CC DIRECT	GO:0005741	mitochondrial outer membrane	12	1.04E-02	17	1.33E-03
GOTERM_MF_DIRECT	GO:0042626	ATPase activity, coupled to transmembrane movement of substances	7	1.08E-02	7	4.28E-02
GOTERM BP DIRECT	GO:0000302	response to reactive oxygen species	5	1.10E-02	7	1.03E-03
GOTERM BP DIRECT	GO:0046685	response to arsenic-containing substance	5	1.10E-02	5	3.20E-02
GOTERM MF DIRECT	GO:0003779	actin binding	20	1.13E-02	27	3.29E-03
GOTERM MF DIRECT	GO:0030506	ankyrin binding	5	1.13E-02	6	6.45E-03
GOTERM MF DIRECT	GO:0030742	GTP-dependent protein binding	5	1.13E-02	6	6.45E-03

GOTERM MF DIRECT	GO:0042288	MHC class I protein binding	5	1.13E-02	5	3.20E-02
GOTERM BP DIRECT	GO:0006606	protein import into nucleus	8	1.13E-02	12	4.93E-04
GOTERM BP DIRECT	GO:0043085	positive regulation of catalytic activity	9	1.13E-02	#H/D	#H/D
GOTERM CC DIRECT	GO:0030904	retromer complex	5	1.14E-02	6	7.05E-03
GOTERM CC DIRECT	GO:0005802	trans-Golgi network	14	1.15E-02	22	2.04E-04
GOTERM MF DIRECT	GO:0048306	calcium-dependent protein binding	9	1.18E-02	13	9.39E-04
GOTERM CC DIRECT	GO:0031941	filamentous actin	6	1.19E-02	6	4.25E-02
GOTERM CC DIRECT	GO:0001772	immunological synapse	6	1.19E-02	6	4.25E-02
GOTERM MF DIRECT	GO:0003729	mRNA binding	14	1.20E-02	20	1.20E-03
GOTERM BP DIRECT	GO:0001649	osteoblast differentiation	12	1.27E-02	#H/D	#H/D
GOTERM BP DIRECT	GO:0070536	protein K63-linked deubiquitination	5	1.30E-02	6	7.95E-03
GOTERM CC DIRECT	GO:0009898	cytoplasmic side of plasma membrane	7	1.32E-02	9	5.46E-03
GOTERM MF DIRECT	GO:0043130	ubiquitin binding	9	1.38E-02	14	3.45E-04
GOTERM BP DIRECT	GO:0000422	mitophagy	6	1.38E-02	9	6.44E-04
GOTERM MF DIRECT	GO:0004871	signal transducer activity	14	1.40E-02	16	3.44E-02
GOTERM MF DIRECT	GO:0008092	cytoskeletal protein binding	8	1.40E-02	9	2.37E-02
GOTERM CC DIRECT	GO:0031253	cell projection membrane	4	1.45E-02	4	3.47E-02
GOTERM MF DIRECT	GO:0019843	rRNA binding	7	1.47E-02	9	5.67E-03
GOTERM CC DIRECT	GO:0043025	neuronal cell body	34	1.49E-02	51	5.45E-04
GOTERM CC DIRECT	GO:1990111	spermatoproteasome complex	3	1.55E-02	3	2.91E-02
GOTERM CC DIRECT	GO:0042825	TAP complex	3	1.55E-02	#H/D	#H/D
GOTERM CC DIRECT	GO:0030125	clathrin vesicle coat	3	1.55E-02	4	1.71E-03
GOTERM CC DIRECT	GO:0002189	ribose phosphate diphosphokinase complex	3	1.55E-02	3	2.91E-02
GOTERM BP DIRECT	GO:0051017	actin filament bundle assembly	6	1.56E-02	#H/D	#H/D
GOTERM BP DIRECT	GO:0016197	endosomal transport	6	1.56E-02	#H/D	#H/D
GOTERM BP DIRECT	GO:0006098	pentose-phosphate shunt	4	1.60E-02	7	4.91E-05
GOTERM BP DIRECT	GO:0006164	purine nucleotide biosynthetic process	4	1.60E-02	5	5.56E-03
GOTERM BP DIRECT	GO:0010821	regulation of mitochondrion organization	4	1.60E-02	4	3.73E-02
GOTERM MF DIRECT	GO:0051787	misfolded protein binding	4	1.63E-02	5	5.56E-03
GOTERM MF DIRECT	GO:0031996	thioesterase binding	4	1.63E-02	4	3.73E-02
GOTERM BP DIRECT	GO:1902966	positive regulation of protein localization to early endosome	3	1.66E-02	3	3.07E-02
GOTERM BP DIRECT	GO:0051409	response to nitrosative stress	3	1.66E-02	#H/D	#H/D
GOTERM BP DIRECT	GO:0022614	membrane to membrane docking	3	1.66E-02	3	3.07E-02
GOTERM BP DIRECT	GO:0070389	chaperone cofactor-dependent protein refolding	3	1.66E-02	3	3.07E-02
GOTERM BP DIRECT	GO:0015670	carbon dioxide transport	3	1.66E-02	#H/D	#H/D
GOTERM CC DIRECT	GO:0030017	sarcomere	6	1.69E-02	#H/D	#H/D
GOTERM MF DIRECT	GO:0070061	fructose binding	3	1.69E-02	3	3.07E-02
GOTERM MF DIRECT	GO:0032564	dATP binding	3	1.69E-02	3	3.07E-02
GOTERM MF DIRECT	GO:0008379	thioredoxin peroxidase activity	3	1.69E-02	4	1.86E-03
GOTERM CC DIRECT	GO:0042995	cell projection	10	1.70E-02	13	8.51E-03
GOTERM CC DIRECT	GO:0030136	clathrin-coated vesicle	7	1.75E-02	9	7.92E-03
GOTERM CC DIRECT	GO:0014704	intercalated disc	7	1.75E-02	9	7.92E-03
GOTERM BP DIRECT	GO:0001731	formation of translation preinitiation complex	5	1.76E-02	#H/D	#H/D
GOTERM CC DIRECT	GO:0005774	vacuolar membrane	4	1.79E-02	4	4.23E-02
GOTERM MF DIRECT	GO:0008307	structural constituent of muscle	5	1.81E-02	#H/D	#H/D
GOTERM BP DIRECT	GO:0010043	response to zinc ion	7	1.89E-02	9	8.30E-03
GOTERM CC DIRECT	GO:0030426	growth cone	13	1.90E-02	21	2.97E-04
GOTERM BP DIRECT	GO:0007076	mitotic chromosome condensation	4	1.97E-02	5	7.42E-03
GOTERM BP DIRECT	GO:0072583	clathrin-mediated endocytosis	4	1.97E-02	6	8.95E-04
GOTERM BP DIRECT	GO:0051489	regulation of filopodium assembly	4	1.97E-02	4	4.55E-02
GOTERM BP DIRECT	GO:0033700	phospholipid efflux	4	1.97E-02	5	7.42E-03
GOTERM BP DIRECT	GO:0002181	cytoplasmic translation	8	2.03E-02	9	3.62E-02
GOTERM BP DIRECT	GO:0006986	response to unfolded protein	5	2.03E-02	#H/D	#H/D
GOTERM BP DIRECT	GO:0051321	meiotic cell cycle	5	2.03E-02	#H/D	#H/D
GOTERM BP DIRECT	GO:0000902	cell morphogenesis	9	2.04E-02	10	4.50E-02
GOTERM CC DIRECT	GO:0000932	cytoplasmic mRNA processing body	8	2.12E-02	9	3.95E-02
GOTERM BP DIRECT	GO:0001889	liver development	13	2.12E-02	16	2.38E-02
GOTERM CC DIRECT	GO:0031091	platelet alpha granule	4	2.17E-02	5	8.73E-03
GOTERM CC DIRECT	GO:0042589	zymogen granule membrane	4	2.17E-02	5	8.73E-03
GOTERM CC DIRECT	GO:0015934	large ribosomal subunit	4	2.17E-02	6	1.12E-03
GOTERM MF DIRECT	GO:0043021	ribonucleoprotein complex binding	6	2.24E-02	#H/D	#H/D
GOTERM CC DIRECT	GO:1990712	HFE-transferrin receptor complex	3	2.26E-02	3	4.20E-02
GOTERM CC DIRECT	GO:0071944	cell periphery	8	2.27E-02	10	1.64E-02
GOTERM BP DIRECT	GO:0010039	response to iron ion	5	2.32E-02	6	1.64E-02
GOTERM BP DIRECT	GO:0071363	cellular response to growth factor stimulus	9	2.33E-02	#H/D	#H/D
GOTERM MF DIRECT	GO:0017124	SH3 domain binding	10	2.35E-02	#H/D	#H/D
GOTERM BP DIRECT	GO:0047496	vesicle transport along microtubule	4	2.39E-02	5	9.65E-03
GOTERM BP DIRECT	GO:0008610	lipid biosynthetic process	4	2.39E-02	#H/D	#H/D
GOTERM BP DIRECT	GO:0015833	peptide transport	3	2.43E-02	#H/D	#H/D
GOTERM BP DIRECT	GO:0035020	regulation of Rac protein signal transduction	3	2.43E-02	3	4.43E-02
GOTERM BP DIRECT	GO:0030449	regulation of complement activation	3	2.43E-02	4	3.55E-03
GOTERM BP DIRECT	GO:1904401	cellular response to Thyroid stimulating hormone	3	2.43E-02	#H/D	#H/D
GOTERM BP DIRECT	GO:0061684	chaperone-mediated autophagy	3	2.43E-02	3	4.43E-02
GOTERM BP DIRECT	GO:1903347	negative regulation of bicellular tight junction assembly	3	2.43E-02	4	3.55E-03
GOTERM_BP_DIRECT	GO:0019885	antigen processing and presentation of endogenous peptide antigen via MHC class I	3	2.43E-02	3	4.43E-02
GOTERM BP DIRECT	GO:0006915	apoptotic process	25	2.45E-02	33	1.65E-02
GOTERM CC DIRECT	GO:0005623	cell	11	2.46E-02	20	4.40E-05
GOTERM MF DIRECT	GO:0008559	xenobiotic-transporting ATPase activity	3	2.46E-02	3	4.43E-02
GOTERM BP DIRECT	GO:0006914	autophagy	9	2.49E-02	13	3.28E-03
GOTERM CC DIRECT	GO:0030117	membrane coat	4	2.59E-02	#H/D	#H/D
GOTERM BP DIRECT	GO:0071236	cellular response to antibiotic	5	2.63E-02	6	1.91E-02
GOTERM MF DIRECT	GO:0020037	heme binding	14	2.69E-02	#H/D	#H/D
GOTERM MF DIRECT	GO:0008139	nuclear localization sequence binding	5	2.70E-02	9	1.14E-04

GOTERM MF DIRECT	GO:0003725	double-stranded RNA binding	8	2.82E-02	9	4.90E-02
GOTERM BP DIRECT	GO:0051592	response to calcium ion	9	2.82E-02	13	4.00E-03
GOTERM BP DIRECT	GO:0006879	cellular iron ion homeostasis	6	2.92E-02	9	2.35E-03
GOTERM BP DIRECT	GO:0006730	one-carbon metabolic process	5	2.97E-02	6	2.22E-02
GOTERM CC DIRECT	GO:0034361	very-low-density lipoprotein particle	4	3.05E-02	6	2.10E-03
GOTERM CC DIRECT	GO:0034364	high-density lipoprotein particle	4	3.05E-02	5	1.39E-02
GOTERM CC DIRECT	GO:0030122	AP-2 adaptor complex	3	3.08E-02	#H/D	#H/D
GOTERM CC DIRECT	GO:0070531	BRCA1-A complex	3	3.08E-02	#H/D	#H/D
GOTERM CC DIRECT	GO:0090543	Flemming body	3	3.08E-02	#H/D	#H/D
GOTERM CC DIRECT	GO:0005776	autophagosome	7	3.11E-02	8	4.65E-02
GOTERM CC DIRECT	GO:0005886	plasma membrane	185	3.12E-02	251	3.90E-02
GOTERM BP DIRECT	GO:0055114	oxidation-reduction process	39	3.12E-02	52	2.30E-02
GOTERM BP DIRECT	GO:0015696	ammonium transport	3	3.30E-02	#H/D	#H/D
GOTERM BP DIRECT	GO:0046618	drug export	3	3.30E-02	#H/D	#H/D
GOTERM BP DIRECT	GO:0051918	negative regulation of fibrinolysis	3	3.30E-02	#H/D	#H/D
GOTERM_BP_DIRECT	GO:0002591	positive regulation of antigen processing and presentation of peptide antigen via MHC class I	3	3.30E-02	#H/D	#H/D
GOTERM BP DIRECT	GO:0048227	plasma membrane to endosome transport	3	3.30E-02	#H/D	#H/D
GOTERM BP DIRECT	GO:0046598	positive regulation of viral entry into host cell	3	3.30E-02	#H/D	#H/D
GOTERM BP DIRECT	GO:0042168	heme metabolic process	3	3.30E-02	#H/D	#H/D
GOTERM BP DIRECT	GO:0090315	negative regulation of protein targeting to membrane	3	3.30E-02	4	5.95E-03
GOTERM BP DIRECT	GO:1903427	negative regulation of reactive oxygen species biosynthetic process	3	3.30E-02	#H/D	#H/D
GOTERM BP DIRECT	GO:0046688	response to copper ion	5	3.33E-02	6	2.55E-02
GOTERM BP DIRECT	GO:0031032	actomyosin structure organization	5	3.33E-02	6	2.55E-02
GOTERM MF DIRECT	GO:0061133	endopeptidase activator activity	3	3.35E-02	4	5.95E-03
GOTERM MF DIRECT	GO:0004749	ribose phosphate diphosphokinase activity	3	3.35E-02	#H/D	#H/D
GOTERM MF DIRECT	GO:0045182	translation regulator activity	3	3.35E-02	#H/D	#H/D
GOTERM MF DIRECT	GO:0008519	ammonium transmembrane transporter activity	3	3.35E-02	#H/D	#H/D
GOTERM MF DIRECT	GO:0005198	structural molecule activity	15	3.36E-02	19	3.01E-02
GOTERM MF DIRECT	GO:0048029	monosaccharide binding	4	3.42E-02	7	2.89E-04
GOTERM CC DIRECT	GO:0005743	mitochondrial inner membrane	21	3.44E-02	27	3.64E-02
GOTERM BP DIRECT	GO:0006629	lipid metabolic process	9	3.58E-02	13	5.83E-03
GOTERM CC DIRECT	GO:0005615	extracellular space	68	3.72E-02	104	6.33E-04
GOTERM MF DIRECT	GO:0019903	protein phosphatase binding	9	3.72E-02	#H/D	#H/D
GOTERM MF DIRECT	GO:0004866	endopeptidase inhibitor activity	5	3.81E-02	7	7.19E-03
GOTERM BP DIRECT	GO:0009743	response to carbohydrate	4	3.90E-02	#H/D	#H/D
GOTERM BP DIRECT	GO:0006122	mitochondrial electron transport, ubiquinol to cytochrome c	4	3.90E-02	#H/D	#H/D
GOTERM BP DIRECT	GO:0006607	NLS-bearing protein import into nucleus	4	3.90E-02	8	4.30E-05
GOTERM_BP_DIRECT	GO:0090004	positive regulation of establishment of protein localization to plasma membrane	5	4.13E-02	#H/D	#H/D
GOTERM BP DIRECT	GO:0000910	cytokinesis	5	4.13E-02	#H/D	#H/D
GOTERM BP DIRECT	GO:0046686	response to cadmium ion	6	4.15E-02	10	1.06E-03
GOTERM BP DIRECT	GO:0090662	ATP hydrolysis coupled transmembrane transport	3	4.28E-02	4	9.10E-03
GOTERM BP DIRECT	GO:0048524	positive regulation of viral process	3	4.28E-02	#H/D	#H/D
GOTERM BP DIRECT	GO:0097068	response to thyroxine	3	4.28E-02	4	9.10E-03
GOTERM_BP_DIRECT	GO:0002485	antigen processing and presentation of endogenous peptide antigen via MHC class I via ER pathway, TAP-dependent	3	4.28E-02	#H/D	#H/D
GOTERM_BP_DIRECT	GO:0002489	antigen processing and presentation of endogenous peptide antigen via MHC class Ib via ER pathway, TAP-dependent	3	4.28E-02	#H/D	#H/D
GOTERM BP DIRECT	GO:0061635	regulation of protein complex stability	3	4.28E-02	4	9.10E-03
GOTERM BP DIRECT	GO:0006108	malate metabolic process	3	4.28E-02	#H/D	#H/D
GOTERM BP DIRECT	GO:0010591	regulation of lamellipodium assembly	3	4.28E-02	#H/D	#H/D
GOTERM BP DIRECT	GO:0019068	virion assembly	3	4.28E-02	#H/D	#H/D
GOTERM MF DIRECT	GO:0005049	nuclear export signal receptor activity	3	4.34E-02	#H/D	#H/D
GOTERM MF DIRECT	GO:0017137	Rab GTPase binding	11	4.48E-02	19	4.14E-04
GOTERM CC DIRECT	GO:0005834	heterotrimeric G-protein complex	5	4.48E-02	#H/D	#H/D
GOTERM BP DIRECT	GO:0010269	response to selenium ion	4	4.49E-02	5	2.27E-02
GOTERM BP DIRECT	GO:0001916	positive regulation of T cell mediated cytotoxicity	4	4.49E-02	6	4.07E-03
GOTERM BP DIRECT	GO:0045780	positive regulation of bone resorption	4	4.49E-02	5	2.27E-02
GOTERM BP DIRECT	GO:0000027	ribosomal large subunit assembly	5	4.56E-02	7	9.94E-03
GOTERM BP DIRECT	GO:0006513	protein monoubiquitination	5	4.56E-02	9	4.15E-04
GOTERM MF DIRECT	GO:0004198	calcium-dependent cysteine-type endopeptidase activity	4	4.58E-02	5	2.27E-02
GOTERM MF DIRECT	GO:0008601	protein phosphatase type 2A regulator activity	4	4.58E-02	5	2.27E-02
GOTERM MF DIRECT	GO:0070006	metalloaminopeptidase activity	4	4.58E-02	7	5.72E-04
GOTERM MF DIRECT	GO:0016597	amino acid binding	5	4.68E-02	#H/D	#H/D
GOTERM MF DIRECT	GO:0001540	beta-amyloid binding	5	4.68E-02	#H/D	#H/D
GOTERM MF DIRECT	GO:0051020	GTPase binding	5	4.68E-02	7	9.94E-03
GOTERM BP DIRECT	GO:0010628	positive regulation of gene expression	24	4.70E-02	#H/D	#H/D
GOTERM BP DIRECT	GO:0060271	cilium morphogenesis	13	4.80E-02	#H/D	#H/D
GOTERM MF DIRECT	GO:0030246	carbohydrate binding	13	4.86E-02	#H/D	#H/D
GOTERM BP DIRECT	GO:0002931	response to ischemia	6	4.87E-02	8	1.92E-02
GOTERM BP DIRECT	GO:0032355	response to estradiol	15	4.90E-02	#H/D	#H/D
GOTERM CC DIRECT	GO:0035748	myelin sheath abaxonal region	3	5.00E-02	4	1.21E-02
GOTERM CC DIRECT	GO:0008290	F-actin capping protein complex	3	5.00E-02	5	1.06E-03
GOTERM CC DIRECT	GO:0033180	proton-transporting V-type ATPase, V1 domain	3	5.00E-02	#H/D	#H/D
GOTERM BP DIRECT	GO:0090002	establishment of protein localization to plasma membrane	#H/D	#H/D	10	7.51E-04
GOTERM BP DIRECT	GO:0010992	ubiquitin homeostasis	#H/D	#H/D	4	7.77E-04
GOTERM MF DIRECT	GO:0001671	ATPase activator activity	#H/D	#H/D	6	8.95E-04
GOTERM BP DIRECT	GO:0007029	endoplasmic reticulum organization	#H/D	#H/D	8	9.52E-04
GOTERM BP DIRECT	GO:0000045	autophagosome assembly	#H/D	#H/D	10	1.06E-03
GOTERM BP DIRECT	GO:0030163	protein catabolic process	#H/D	#H/D	9	1.41E-03
GOTERM BP DIRECT	GO:0032781	positive regulation of ATPase activity	#H/D	#H/D	8	1.48E-03
GOTERM CC DIRECT	GO:0001725	stress fiber	#H/D	#H/D	12	1.75E-03

GOTERM BP DIRECT	GO:0045541	negative regulation of cholesterol biosynthetic process	#H/D	#H/D	4	1.86E-03
GOTERM BP DIRECT	GO:0006021	inositol biosynthetic process	#H/D	#H/D	4	1.86E-03
GOTERM BP DIRECT	GO:0006094	gluconeogenesis	#H/D	#H/D	8	2.66E-03
GOTERM BP DIRECT	GO:0007159	leukocyte cell-cell adhesion	#H/D	#H/D	7	2.76E-03
GOTERM BP DIRECT	GO:0034498	early endosome to Golgi transport	#H/D	#H/D	5	2.82E-03
GOTERM CC DIRECT	GO:0030424	axon	#H/D	#H/D	35	3.01E-03
GOTERM CC DIRECT	GO:0008091	spectrin	#H/D	#H/D	4	3.27E-03
GOTERM_BP_DIRECT	GO:0032436	positive regulation of proteasomal ubiquitin-dependent protein catabolic process	#H/D	#H/D	11	3.54E-03
GOTERM BP DIRECT	GO:0090160	Golgi to lysosome transport	#H/D	#H/D	4	3.55E-03
GOTERM BP DIRECT	GO:0016311	dephosphorylation	#H/D	#H/D	13	3.62E-03
GOTERM CC DIRECT	GO:0031902	late endosome membrane	#H/D	#H/D	10	3.73E-03
GOTERM BP DIRECT	GO:0030195	negative regulation of blood coagulation	#H/D	#H/D	5	4.03E-03
GOTERM BP DIRECT	GO:0006874	cellular calcium ion homeostasis	#H/D	#H/D	14	4.42E-03
GOTERM BP DIRECT	GO:0046034	ATP metabolic process	#H/D	#H/D	9	4.96E-03
GOTERM MF DIRECT	GO:0005178	integrin binding	#H/D	#H/D	14	5.74E-03
GOTERM BP DIRECT	GO:0001933	negative regulation of protein phosphorylation	#H/D	#H/D	12	5.78E-03
GOTERM BP DIRECT	GO:0008654	phospholipid biosynthetic process	#H/D	#H/D	7	6.05E-03
GOTERM BP DIRECT	GO:0046854	phosphatidylinositol phosphorylation	#H/D	#H/D	8	6.08E-03
GOTERM BP DIRECT	GO:0045184	establishment of protein localization	#H/D	#H/D	9	6.47E-03
GOTERM CC DIRECT	GO:0070971	endoplasmic reticulum exit site	#H/D	#H/D	5	6.70E-03
GOTERM MF DIRECT	GO:0017160	Ral GTPase binding	#H/D	#H/D	5	7.42E-03
GOTERM MF DIRECT	GO:0005536	glucose binding	#H/D	#H/D	5	7.42E-03
GOTERM BP DIRECT	GO:0014075	response to amine	#H/D	#H/D	6	7.95E-03
GOTERM MF DIRECT	GO:0048487	beta-tubulin binding	#H/D	#H/D	8	8.11E-03
GOTERM MF DIRECT	GO:0050839	cell adhesion molecule binding	#H/D	#H/D	11	8.38E-03
GOTERM BP DIRECT	GO:0006826	iron ion transport	#H/D	#H/D	7	8.49E-03
GOTERM CC DIRECT	GO:0030140	trans-Golgi network transport vesicle	#H/D	#H/D	5	8.73E-03
GOTERM MF DIRECT	GO:0008235	metalloexopeptidase activity	#H/D	#H/D	4	9.10E-03
GOTERM CC DIRECT	GO:0045177	apical part of cell	#H/D	#H/D	15	9.24E-03
GOTERM BP DIRECT	GO:0042730	fibrinolysis	#H/D	#H/D	5	9.65E-03
GOTERM BP DIRECT	GO:0043171	peptide catabolic process	#H/D	#H/D	6	9.68E-03
GOTERM BP DIRECT	GO:0002026	regulation of the force of heart contraction	#H/D	#H/D	6	9.68E-03
GOTERM CC DIRECT	GO:0005643	nuclear pore	#H/D	#H/D	9	9.97E-03
GOTERM BP DIRECT	GO:1903551	regulation of extracellular exosome assembly	#H/D	#H/D	3	9.98E-03
GOTERM BP DIRECT	GO:0009051	pentose-phosphate shunt, oxidative branch	#H/D	#H/D	3	9.98E-03
GOTERM MF DIRECT	GO:0003755	peptidyl-prolyl cis-trans isomerase activity	#H/D	#H/D	8	1.06E-02
GOTERM_BP_DIRECT	GO:0043154	negative regulation of cysteine-type endopeptidase activity involved in apoptotic process	#H/D	#H/D	11	1.11E-02
GOTERM BP DIRECT	GO:0006904	vesicle docking involved in exocytosis	#H/D	#H/D	6	1.16E-02
GOTERM BP DIRECT	GO:0006509	membrane protein ectodomain proteolysis	#H/D	#H/D	6	1.16E-02
GOTERM CC DIRECT	GO:0016460	myosin II complex	#H/D	#H/D	4	1.21E-02
GOTERM BP DIRECT	GO:0017148	negative regulation of translation	#H/D	#H/D	10	1.22E-02
GOTERM BP DIRECT	GO:0006893	Golgi to plasma membrane transport	#H/D	#H/D	5	1.23E-02
GOTERM BP DIRECT	GO:0001934	positive regulation of protein phosphorylation	#H/D	#H/D	20	1.29E-02
GOTERM BP DIRECT	GO:0051156	glucose 6-phosphate metabolic process	#H/D	#H/D	4	1.31E-02
GOTERM BP DIRECT	GO:0052548	regulation of endopeptidase activity	#H/D	#H/D	4	1.31E-02
GOTERM BP DIRECT	GO:0006903	vesicle targeting	#H/D	#H/D	4	1.31E-02
GOTERM MF DIRECT	GO:0008097	5S rRNA binding	#H/D	#H/D	4	1.31E-02
GOTERM BP DIRECT	GO:0071902	positive regulation of protein serine/threonine kinase activity	#H/D	#H/D	7	1.33E-02
GOTERM BP DIRECT	GO:0006890	retrograde vesicle-mediated transport, Golgi to ER	#H/D	#H/D	7	1.33E-02
GOTERM BP DIRECT	GO:0032869	cellular response to insulin stimulus	#H/D	#H/D	15	1.34E-02
GOTERM BP DIRECT	GO:0044804	nucleophagy	#H/D	#H/D	5	1.53E-02
GOTERM BP DIRECT	GO:0006103	2-oxoglutarate metabolic process	#H/D	#H/D	5	1.53E-02
GOTERM CC DIRECT	GO:0030891	VCB complex	#H/D	#H/D	4	1.65E-02
GOTERM CC DIRECT	GO:0031965	nuclear membrane	#H/D	#H/D	20	1.72E-02
GOTERM BP DIRECT	GO:0043666	regulation of phosphoprotein phosphatase activity	#H/D	#H/D	4	1.79E-02
GOTERM BP DIRECT	GO:0006750	glutathione biosynthetic process	#H/D	#H/D	4	1.79E-02
GOTERM BP DIRECT	GO:0090084	negative regulation of inclusion body assembly	#H/D	#H/D	4	1.79E-02
GOTERM BP DIRECT	GO:0010950	positive regulation of endopeptidase activity	#H/D	#H/D	4	1.79E-02
GOTERM MF DIRECT	GO:0016787	hydrolase activity	#H/D	#H/D	16	1.79E-02
GOTERM CC DIRECT	GO:0097452	GAIT complex	#H/D	#H/D	3	1.81E-02
GOTERM CC DIRECT	GO:0005853	eukaryotic translation elongation factor 1 complex	#H/D	#H/D	3	1.81E-02
GOTERM CC DIRECT	GO:0030130	clathrin coat of trans-Golgi network vesicle	#H/D	#H/D	3	1.81E-02
GOTERM BP DIRECT	GO:0043001	Golgi to plasma membrane protein transport	#H/D	#H/D	6	1.91E-02
GOTERM BP DIRECT	GO:0045921	positive regulation of exocytosis	#H/D	#H/D	6	1.91E-02
GOTERM BP DIRECT	GO:0010638	positive regulation of organelle organization	#H/D	#H/D	3	1.92E-02
GOTERM BP DIRECT	GO:0070885	negative regulation of calcineurin-NFAT signaling cascade	#H/D	#H/D	3	1.92E-02
GOTERM BP DIRECT	GO:0070541	response to platinum ion	#H/D	#H/D	3	1.92E-02
GOTERM MF DIRECT	GO:0052832	inositol monophosphate 3-phosphatase activity	#H/D	#H/D	3	1.92E-02
GOTERM MF DIRECT	GO:0008934	inositol monophosphate 1-phosphatase activity	#H/D	#H/D	3	1.92E-02
GOTERM MF DIRECT	GO:0030145	manganese ion binding	#H/D	#H/D	8	2.14E-02
GOTERM CC DIRECT	GO:0030137	COPI-coated vesicle	#H/D	#H/D	4	2.18E-02
GOTERM CC DIRECT	GO:0042627	chylomicron	#H/D	#H/D	4	2.18E-02
GOTERM BP DIRECT	GO:0051453	regulation of intracellular pH	#H/D	#H/D	6	2.22E-02
GOTERM MF DIRECT	GO:0008017	microtubule binding	#H/D	#H/D	21	2.31E-02
GOTERM BP DIRECT	GO:0007097	nuclear migration	#H/D	#H/D	4	2.35E-02
GOTERM BP DIRECT	GO:0090161	Golgi ribbon formation	#H/D	#H/D	4	2.35E-02
GOTERM BP DIRECT	GO:0034101	erythrocyte homeostasis	#H/D	#H/D	4	2.35E-02
GOTERM BP DIRECT	GO:0050790	regulation of catalytic activity	#H/D	#H/D	9	2.37E-02
GOTERM BP DIRECT	GO:0007595	lactation	#H/D	#H/D	9	2.37E-02
GOTERM BP DIRECT	GO:0010951	negative regulation of endopeptidase activity	#H/D	#H/D	16	2.80E-02
GOTERM_BP_DIRECT	GO:0042787	protein ubiquitination involved in ubiquitin-dependent protein catabolic process	#H/D	#H/D	14	2.90E-02

GOTERM CC DIRECT	GO:0043227	membrane-bounded organelle	#H/D	#H/D	3	2.91E-02
GOTERM CC DIRECT	GO:0005938	cell cortex	#H/D	#H/D	14	2.98E-02
GOTERM BP DIRECT	GO:0051223	regulation of protein transport	#H/D	#H/D	4	3.00E-02
GOTERM BP DIRECT	GO:0034497	protein localization to pre-autophagosomal structure	#H/D	#H/D	4	3.00E-02
GOTERM BP DIRECT	GO:0014012	peripheral nervous system axon regeneration	#H/D	#H/D	4	3.00E-02
GOTERM BP DIRECT	GO:0006183	GTP biosynthetic process	#H/D	#H/D	4	3.00E-02
GOTERM BP DIRECT	GO:0006734	NADH metabolic process	#H/D	#H/D	4	3.00E-02
GOTERM BP DIRECT	GO:0042178	xenobiotic catabolic process	#H/D	#H/D	4	3.00E-02
GOTERM MF DIRECT	GO:0005391	sodium:potassium-exchanging ATPase activity	#H/D	#H/D	4	3.00E-02
GOTERM BP DIRECT	GO:1990928	response to amino acid starvation	#H/D	#H/D	3	3.07E-02
GOTERM BP DIRECT	GO:0051180	vitamin transport	#H/D	#H/D	3	3.07E-02
GOTERM BP DIRECT	GO:1990182	exosomal secretion	#H/D	#H/D	3	3.07E-02
GOTERM BP DIRECT	GO:0007044	cell-substrate junction assembly	#H/D	#H/D	3	3.07E-02
GOTERM BP DIRECT	GO:0034014	response to triglyceride	#H/D	#H/D	3	3.07E-02
GOTERM BP DIRECT	GO:0045053	protein retention in Golgi apparatus	#H/D	#H/D	3	3.07E-02
GOTERM BP DIRECT	GO:0009052	pentose-phosphate shunt, non-oxidative branch	#H/D	#H/D	3	3.07E-02
GOTERM MF DIRECT	GO:0070051	fibrinogen binding	#H/D	#H/D	3	3.07E-02
GOTERM MF DIRECT	GO:0060228	phosphatidylcholine-sterol O-acyltransferase activator activity	#H/D	#H/D	3	3.07E-02
GOTERM MF DIRECT	GO:0052833	inositol monophosphate 4-phosphatase activity	#H/D	#H/D	3	3.07E-02
GOTERM MF DIRECT	GO:0005507	copper ion binding	#H/D	#H/D	9	3.08E-02
GOTERM BP DIRECT	GO:0006508	proteolysis	#H/D	#H/D	39	3.11E-02
GOTERM BP DIRECT	GO:0000413	protein peptidyl-prolyl isomerization	#H/D	#H/D	7	3.16E-02
GOTERM BP DIRECT	GO:0030220	platelet formation	#H/D	#H/D	5	3.20E-02
GOTERM BP DIRECT	GO:0006612	protein targeting to membrane	#H/D	#H/D	5	3.20E-02
GOTERM MF DIRECT	GO:0008233	peptidase activity	#H/D	#H/D	14	3.25E-02
GOTERM CC DIRECT	GO:0043679	axon terminus	#H/D	#H/D	11	3.26E-02
GOTERM BP DIRECT	GO:0008283	cell proliferation	#H/D	#H/D	22	3.32E-02
GOTERM CC DIRECT	GO:0031594	neuromuscular junction	#H/D	#H/D	9	3.39E-02
GOTERM CC DIRECT	GO:0005753	mitochondrial proton-transporting ATP synthase complex	#H/D	#H/D	5	3.41E-02
GOTERM CC DIRECT	GO:0000145	exocyst	#H/D	#H/D	5	3.41E-02
GOTERM CC DIRECT	GO:0034399	nuclear periphery	#H/D	#H/D	5	3.41E-02
GOTERM CC DIRECT	GO:0030018	Z disc	#H/D	#H/D	13	3.54E-02
GOTERM MF DIRECT	GO:0004175	endopeptidase activity	#H/D	#H/D	10	3.65E-02
GOTERM BP DIRECT	GO:0046689	response to mercury ion	#H/D	#H/D	4	3.73E-02
GOTERM BP DIRECT	GO:0010801	negative regulation of peptidyl-threonine phosphorylation	#H/D	#H/D	4	3.73E-02
GOTERM BP DIRECT	GO:0071872	cellular response to epinephrine stimulus	#H/D	#H/D	4	3.73E-02
GOTERM BP DIRECT	GO:0019430	removal of superoxide radicals	#H/D	#H/D	4	3.73E-02
GOTERM MF DIRECT	GO:0044548	S100 protein binding	#H/D	#H/D	4	3.73E-02
GOTERM MF DIRECT	GO:0017127	cholesterol transporter activity	#H/D	#H/D	4	3.73E-02
GOTERM BP DIRECT	GO:0000132	establishment of mitotic spindle orientation	#H/D	#H/D	5	3.73E-02
GOTERM MF DIRECT	GO:0015035	protein disulfide oxidoreductase activity	#H/D	#H/D	5	3.74E-02
GOTERM_BP_DIRECT	GO:0043280	positive regulation of cysteine-type endopeptidase activity involved in apoptotic process	#H/D	#H/D	8	3.80E-02
GOTERM BP DIRECT	GO:0030855	epithelial cell differentiation	#H/D	#H/D	10	3.92E-02
GOTERM CC DIRECT	GO:0005730	nucleolus	#H/D	#H/D	59	3.96E-02
GOTERM BP DIRECT	GO:0006810	transport	#H/D	#H/D	16	3.98E-02
GOTERM CC DIRECT	GO:0030141	secretory granule	#H/D	#H/D	12	3.98E-02
GOTERM BP DIRECT	GO:0001701	in utero embryonic development	#H/D	#H/D	25	4.17E-02
GOTERM_CC_DIRECT	GO:0000275	mitochondrial proton-transporting ATP synthase complex, catalytic core F(1)	#H/D	#H/D	3	4.20E-02
GOTERM CC DIRECT	GO:0031466	CuI5-RING ubiquitin ligase complex	#H/D	#H/D	3	4.20E-02
GOTERM CC DIRECT	GO:0045261	proton-transporting ATP synthase complex, catalytic core F(1)	#H/D	#H/D	3	4.20E-02
GOTERM CC DIRECT	GO:0017101	aminoacyl-tRNA synthetase multienzyme complex	#H/D	#H/D	3	4.20E-02
GOTERM BP DIRECT	GO:0030097	hemopoiesis	#H/D	#H/D	10	4.20E-02
GOTERM CC DIRECT	GO:0016235	aggresome	#H/D	#H/D	6	4.25E-02
GOTERM CC DIRECT	GO:0005791	rough endoplasmic reticulum	#H/D	#H/D	9	4.26E-02
GOTERM BP DIRECT	GO:1900087	positive regulation of G1/S transition of mitotic cell cycle	#H/D	#H/D	5	4.32E-02
GOTERM BP DIRECT	GO:0071108	protein K48-linked deubiquitination	#H/D	#H/D	5	4.32E-02
GOTERM BP DIRECT	GO:0045070	positive regulation of viral genome replication	#H/D	#H/D	5	4.32E-02
GOTERM BP DIRECT	GO:1902004	positive regulation of beta-amyloid formation	#H/D	#H/D	3	4.43E-02
GOTERM BP DIRECT	GO:0001765	membrane raft assembly	#H/D	#H/D	3	4.43E-02
GOTERM BP DIRECT	GO:0006144	purine nucleobase metabolic process	#H/D	#H/D	3	4.43E-02
GOTERM MF DIRECT	GO:0032050	clathrin heavy chain binding	#H/D	#H/D	3	4.43E-02
GOTERM MF DIRECT	GO:0004064	arylesterase activity	#H/D	#H/D	3	4.43E-02
GOTERM MF DIRECT	GO:0047485	protein N-terminus binding	#H/D	#H/D	13	4.50E-02
GOTERM MF DIRECT	GO:0051287	NAD binding	#H/D	#H/D	8	4.51E-02
GOTERM BP DIRECT	GO:0006536	glutamate metabolic process	#H/D	#H/D	4	4.55E-02
GOTERM BP DIRECT	GO:0045116	protein neddylation	#H/D	#H/D	4	4.55E-02
GOTERM BP DIRECT	GO:0030194	positive regulation of blood coagulation	#H/D	#H/D	4	4.55E-02
GOTERM BP DIRECT	GO:0060041	retina development in camera-type eye	#H/D	#H/D	11	4.66E-02
GOTERM MF DIRECT	GO:0017048	Rho GTPase binding	#H/D	#H/D	6	4.71E-02
GOTERM MF DIRECT	GO:0005543	phospholipid binding	#H/D	#H/D	10	4.81E-02
GOTERM BP DIRECT	GO:0001666	response to hypoxia	#H/D	#H/D	24	4.81E-02
GOTERM BP DIRECT	GO:0030041	actin filament polymerization	#H/D	#H/D	5	4.95E-02
GOTERM BP DIRECT	GO:0034394	protein localization to cell surface	#H/D	#H/D	5	4.95E-02
GOTERM BP DIRECT	GO:0015986	ATP synthesis coupled proton transport	#H/D	#H/D	5	4.95E-02

**Приложение 4. Список белков квантифицированных в образцах NEG и HEG**

Majority protein IDs	Protein names	Gene names	Mw [kDa]	Score	Intensity	MS/MS Count	riBAQ (mol %)					
							HEG-1	NEG-1	HEG-2	NEG-2	HEG-3	NEG-3
A0A0G2JSW3	Globin a4	Hbb	15.965	323.31	3.41E+12	7971	14.013	8.699	13.747	8.011	25.419	12.135
B1H216	Globin c3	Hba-a1	15.328	323.31	2.50E+12	6291	12.575	8.435	12.982	8.453	17.436	10.658
A0A0G2JSH9	Peroxiredoxin-2	Prdx2	21.797	323.31	1.54E+12	2206	8.218	9.276	7.381	6.872	5.593	5.967
P23562	Band 3 anion transport protein	Slc4a1	103.17	323.31	5.64E+12	12126	6.075	7.193	6.639	6.576	7.208	6.341
D4A678	Spectrin, alpha, erythrocytic 1	Spta1	280.07	323.31	1.18E+13	25033	3.472	4.363	3.664	3.957	2.690	3.750
A0A140UHX6	Spectrin beta chain	Sptb	268.02	323.31	9.63E+12	21085	3.016	3.649	2.867	3.111	2.237	2.949
P60711	Actin, cytoplasmic 1	Actb	41.736	323.31	1.33E+12	3232	2.888	3.214	2.982	2.984	3.138	2.913
D3Z9Z0	Ankyrin 1	Ank1	187.12	323.31	4.18E+12	9900	2.065	2.225	2.321	2.360	1.733	2.361
P11517	Hemoglobin subunit beta-2	N/A	15.982	191.53	4.02E+11	462	1.879	1.324	1.986	1.297	2.669	1.297
B5DF57	Erythrocyte membrane protein band 4.2	Epb42	76.5	323.31	1.49E+12	3531	1.642	2.167	1.695	1.817	1.317	2.115
O88775	Embigin	Emb	37.005	323.31	4.26E+11	1084	1.455	1.589	1.166	1.327	0.775	1.410
G3V9I8	Ammonium transporter Rh type A	Rhag	49.1	323.31	3.69E+11	1164	1.560	1.550	1.600	2.066	0.933	2.154
Q62669	Globin a1	LOC103694855	16.022	106.16	1.98E+11	571	1.427	0.786	1.173	0.819	1.572	1.131
Q63610	Tropomyosin alpha-3 chain	Tpm3	29.006	323.31	4.72E+11	1350	1.415	1.616	1.343	1.605	0.895	1.070
Q6XFR6	Glycophorin-C	Gypc	10.443	267.04	7.15E+10	284	1.255	1.020	1.944	1.952	1.972	1.695
D3ZIP3	Erythrocyte membrane protein band 4.1	Epb41	95.667	323.31	1.47E+12	4014	1.263	1.489	1.658	1.948	1.049	1.538
P04762	Catalase	Cat	59.756	323.31	6.69E+11	2046	1.226	1.356	0.815	0.876	0.544	0.822
Q63716	Peroxiredoxin-1	Prdx1	22.164	257.57	3.49E+11	770	1.118	1.356	0.932	1.158	0.572	0.821
Q6F6B2	p55 protein	Mpp1	50.892	323.31	1.08E+12	2888	1.130	1.013	1.612	1.726	1.045	1.696
Q6PED0	RCG23287, isoform CRA a	Rps27a	17.951	182.99	1.08E+11	491	0.967	0.810	0.701	0.814	0.554	0.733
Q5XI04	RCG45489, isoform CRA a	Stom	31.378	323.31	2.33E+11	863	0.797	0.745	0.493	0.627	0.314	0.565
P46462	Transitional endoplasmic reticulum ATPase	Vcp	89.348	323.31	5.49E+11	2656	0.625	0.758	0.457	0.586	0.291	0.516
P29975	Aquaporin-1	Aqp1	28.856	323.31	1.27E+11	440	0.628	0.909	0.974	1.229	0.598	0.672
P02091	Hemoglobin subunit beta-1	Hbb	15.979	7.2702	1.02E+11	148	0.537	0.437	0.590	0.523	0.836	0.368
P63018	Heat shock cognate 71 kDa protein	Hspa8	70.87	323.31	4.59E+11	1730	0.512	0.547	0.504	0.617	0.380	0.736
Q6P9V6	Proteasome subunit alpha type	Psma5	26.411	323.31	1.14E+11	587	0.479	0.725	0.385	0.520	0.244	0.475
A0A0G2JSV6	Globin c2	Hba-a2	15.284	2.5543	5.04E+10	56	0.453	0.341	0.273	0.423	0.233	0.062
P04797	Glyceraldehyde-3-phosphate dehydrogenase	Gapdh	35.828	323.31	1.30E+11	663	0.435	0.366	0.292	0.388	0.194	0.347
P02770	Serum albumin	Alb	68.73	323.31	3.99E+11	1759	0.403	0.546	0.822	1.025	0.234	0.408
P53987	Monocarboxylate transporter 1	Slc16a1	53.238	232.36	1.58E+11	587	0.403	0.340	0.559	0.659	0.442	0.622
Q9JKB7	Guanine deaminase	Gda	50.9	323.31	2.49E+11	1379	0.389	0.503	0.258	0.301	0.179	0.345
O88298	Blood group Rh	Rhd	46.583	130.34	8.37E+10	227	0.355	0.596	0.196	0.498	0.110	0.454
Q63910	Alpha globin	Hba-a3	15.524	205.53	6.14E+10	321	0.386	0.126	0.173	0.107	0.266	0.302
Q6IMZ5	Tropomodulin-1	Tmod1	40.454	323.31	1.81E+11	947	0.385	0.387	0.569	0.728	0.305	0.558
Q8VIN2	Annexin	Anxa7	50.079	323.31	1.57E+11	643	0.350	0.400	0.333	0.425	0.192	0.381
F8WFS9	Beta-adducin	Add2	80.576	323.31	3.80E+11	1845	0.333	0.412	0.551	0.622	0.236	0.451
Q6P9U9	Inosine-5'-monophosphate dehydrogenase	Impdh2	55.798	323.31	1.42E+11	893	0.329	0.394	0.419	0.504	0.142	0.233
P68035	Actin, alpha cardiac muscle 1	Actc1	42.019	155.99	1.65E+11	231	0.363	0.416	0.394	0.375	0.320	0.285
P10252	CD48 antigen	Cd48	27.679	226.83	5.22E+10	429	0.319	0.274	0.196	0.226	0.054	0.150
B1WBX5	Solute carrier family 43, member 1	Slc43a1	67.16	323.31	1.97E+11	626	0.317	0.304	0.468	0.484	0.390	0.512
P27274	CD59 glycoprotein	Cd59	13.79	71.963	5.68E+10	210	0.296	0.371	0.298	0.266	0.181	0.285
Q5BKE5	RCG24401, isoform CRA b	RGD1565355	53.022	323.31	1.60E+11	485	0.299	0.467	0.396	0.482	0.179	0.314
Q6P9V7	Proteasome	Psme1	28.635	323.31	1.22E+11	729	0.297	0.429	0.229	0.371	0.223	0.401

Q6P6G4	Phosphoglycerate mutase	Bpgm	30.076	151.63	6.27E+10	431	0.288	0.271	0.140	0.152	0.171	0.219
A0A0G2K0W9	Proteasome subunit alpha type	Psm7	27.855	323.31	8.93E+10	445	0.279	0.345	0.193	0.313	0.151	0.273
B2GVB7	N-acylaminoacyl-peptide hydrolase	Apeh	81.383	323.31	2.09E+11	1333	0.265	0.375	0.207	0.288	0.137	0.281
Q6AZ25	Tropomyosin 1, alpha	Tpm1	28.696	83.359	8.98E+10	392	0.240	0.266	0.262	0.294	0.205	0.232
Q6PDW4	Proteasome subunit beta type	Psm1	26.407	292.55	7.43E+10	366	0.242	0.307	0.192	0.246	0.113	0.270
P17220	Proteasome subunit alpha type-2	Psm2	25.926	177.83	5.60E+10	381	0.205	0.325	0.185	0.277	0.104	0.212
Q4KM66	LOC500183 protein	Igkc	25.691	188.54	8.10E+10	359	0.219	0.300	0.877	1.077	0.230	0.412
D3ZZ99	Alpha-adducin	Add1	74.785	323.31	1.97E+11	1324	0.198	0.204	0.333	0.385	0.177	0.288
MORD20	Calpain small subunit 1	Capns1	25.446	323.31	4.54E+10	269	0.189	0.215	0.145	0.207	0.061	0.220
P70645	Bleomycin hydrolase	Blmh	52.322	323.31	1.13E+11	856	0.188	0.242	0.131	0.219	0.069	0.152
G3V978	Dehydrogenase/reductase 11	Dhrs11	28.371	275.9	5.35E+10	362	0.194	0.206	0.094	0.142	0.179	0.130
A0A0H2UHM5	Protein disulfide-isomerase	Pdia3	57.078	323.31	8.71E+10	695	0.192	0.196	0.087	0.102	0.080	0.149
Q07969	Platelet glycoprotein 4	Cd36	52.73	230.73	7.98E+10	174	0.179	0.219	0.170	0.257	0.072	0.236
P18418	Calreticulin	Calr	47.995	323.31	6.57E+10	673	0.187	0.220	0.088	0.110	0.067	0.132
Q5PPP1	Clathrin light chain	Clta	23.565	203.75	3.17E+10	193	0.193	0.226	0.172	0.283	0.073	0.166
A0A0G2JTH4	Leukocyte surface antigen CD47	Cd47	38.927	70.477	8.16E+10	359	0.237	0.274	0.438	0.263	0.181	0.233
P60892	Ribose-phosphate pyrophosphokinase 1	Prps1	34.834	246.47	7.42E+10	430	0.178	0.235	0.172	0.223	0.120	0.214
P19804	Nucleoside diphosphate kinase B	Nme2	17.283	240.27	3.95E+10	347	0.175	0.168	0.059	0.090	0.092	0.137
P60901	Proteasome subunit alpha type-6	Psm6	27.399	323.31	6.49E+10	542	0.175	0.249	0.168	0.241	0.095	0.232
Q6GT74	Basigin	Bsg	29.585	142.94	4.11E+10	319	0.180	0.222	0.110	0.162	0.062	0.162
P97571	Calpain-1 catalytic subunit	Capn1	82.118	323.31	1.65E+11	1306	0.172	0.212	0.124	0.170	0.111	0.178
P18420	Proteasome subunit alpha type-1	Psm1	29.517	323.31	8.30E+10	498	0.174	0.269	0.150	0.237	0.089	0.182
P06761	78 kDa glucose-regulated protein	Hspa5	72.346	323.31	7.49E+10	920	0.166	0.182	0.073	0.087	0.041	0.099
D4A559	Dematin actin-binding protein	Dmtn	35.69	323.31	1.59E+11	873	0.172	0.178	0.529	0.671	0.234	0.357
P40307	Proteasome subunit beta type-2	Psm2	22.912	148.58	4.22E+10	378	0.168	0.207	0.144	0.173	0.128	0.176
P24368	Peptidyl-prolyl cis-trans isomerase B	Ppib	23.802	78.345	3.22E+10	329	0.160	0.188	0.058	0.087	0.042	0.127
P62161	Calmodulin-2	Calm2	16.837	323.31	4.01E+10	309	0.157	0.188	0.179	0.203	0.144	0.249
MOR8C6	Urea transporter	Slc14a1	42.236	69.854	3.37E+10	207	0.158	0.176	0.151	0.170	0.099	0.192
MORAM5	Glutathione peroxidase	Gpx1	22.155	118.12	4.61E+10	391	0.155	0.128	0.091	0.100	0.111	0.150
Q6IE67	Proteasome subunit alpha type	Psm3	28.354	158.89	4.51E+10	429	0.146	0.205	0.132	0.176	0.080	0.155
B2RZ37	Receptor expression-enhancing protein 5	Reep5	21.431	71.304	2.84E+10	264	0.143	0.193	0.237	0.304	0.123	0.163
P62836	Ras-related protein Rap-1A	Rap1a	20.987	323.31	3.29E+10	315	0.138	0.155	0.090	0.129	0.054	0.161
D4A2G9	RAN-binding protein 1	Ranbp1	23.596	206.59	2.43E+10	216	0.139	0.116	0.110	0.169	0.075	0.148
Q6LDS4	Superoxide dismutase [Cu-Zn]	Sod1	15.709	86.906	2.99E+10	144	0.123	0.088	0.061	0.052	0.118	0.187
Q9Z0V5	Peroxiredoxin-4	Prdx4	31.007	180.4	4.31E+10	300	0.145	0.178	0.072	0.087	0.067	0.136
A0A096MK30	Moesin	Msn	67.826	323.31	1.12E+11	977	0.134	0.163	0.102	0.161	0.073	0.169
F1M779	Clathrin heavy chain	Cltc	191.56	323.31	2.95E+11	2691	0.131	0.172	0.123	0.172	0.078	0.149
Q9JHW0	Proteasome subunit beta type-7	Psm7	29.927	323.31	3.29E+10	359	0.125	0.159	0.089	0.136	0.074	0.098
P30835	ATP-dependent 6-phosphofructokinase, liver type	Pfkl	85.338	323.31	9.99E+10	1025	0.135	0.174	0.128	0.205	0.054	0.148
Q63798	Proteasome activator complex subunit 2	Psme2	26.857	323.31	5.85E+10	485	0.144	0.191	0.123	0.154	0.082	0.165
P07151	Beta-2-microglobulin	B2m	13.72	200.65	1.37E+10	163	0.119	0.197	0.082	0.111	0.061	0.108
P16228-2	Cathepsin E	Ctse	39.444	299.4	9.60E+09	81	0.120	0.121	0.056	0.061	0.033	0.104
Q63610-2	Tropomyosin alpha-3 chain	Tpm3	28.72	56.077	4.80E+10	187	0.132	0.132	0.111	0.162	0.072	0.190
P40112	Proteasome subunit beta type-3	Psm3	22.965	171.31	3.21E+10	295	0.127	0.177	0.093	0.155	0.070	0.164
D3ZVQ0	Ubiquitinyl hydrolase 1	Usp5	95.778	323.31	9.75E+10	1047	0.127	0.165	0.075	0.111	0.047	0.090
Q5XI77	Annexin	Anxa11	54.16	323.01	6.56E+10	353	0.129	0.100	0.171	0.250	0.123	0.203
P18163	Long-chain-fatty-acid--CoA ligase 1	Acs1	78.178	210.38	3.37E+10	532	0.067	0.046	0.030	0.040	0.013	0.041

Q9R0I8	Phosphatidylinositol 5-phosphate 4-kinase type-2 alpha	Pip4k2a	46.209	292.3	5.23E+10	441	0.114	0.140	0.111	0.144	0.085	0.139
P05065	Fructose-bisphosphate aldolase A	Aldoa	39.351	290.75	5.92E+10	606	0.115	0.119	0.073	0.105	0.066	0.127
P97546-1	Neuroplastin	Nptn	31.292	73.363	3.23E+10	305	0.112	0.122	0.092	0.123	0.049	0.086
Q35567	Bifunctional purine biosynthesis protein PURH [Includes:	Atic	64.208	323.31	8.58E+10	891	0.117	0.152	0.064	0.098	0.046	0.097
Q6PDU6	Beta-glo	Hbb-b1	16.037	79.306	1.60E+10	119	0.109	0.085	0.079	0.062	0.140	0.109
Q6RUV5	Ras-related C3 botulinum toxin substrate 1	Rac1	21.45	66.506	2.40E+10	233	0.118	0.156	0.138	0.172	0.102	0.203
A0A0G2K7X0	Acidic leucine-rich nuclear phosphoprotein 32 family member	LOC100909983	26.316	240.71	2.55E+10	258	0.113	0.154	0.075	0.107	0.060	0.117
G3V8U9	Proteasome subunit beta	Psmb4	25.76	224.19	2.73E+10	254	0.108	0.154	0.097	0.138	0.060	0.132
P62260	14-3-3 protein epsilon	Ywhae	29.174	215.25	4.67E+10	453	0.101	0.125	0.082	0.092	0.064	0.103
P21670	Proteasome subunit alpha type-4	Psm4	29.497	244.69	4.31E+10	276	0.099	0.167	0.100	0.155	0.113	0.162
Q64560	Tripeptidyl-peptidase 2	Tpp2	138.29	323.31	1.56E+11	1655	0.103	0.137	0.078	0.111	0.049	0.105
Q32PW9	Psmc6 protein	Psmc6	43.287	323.31	4.87E+10	585	0.098	0.124	0.075	0.123	0.049	0.099
P61589	Transforming protein RhoA	Rhoa	21.782	167.35	2.04E+10	271	0.103	0.112	0.055	0.105	0.019	0.125
F1MA10	NAD	Art4	34.215	179.62	2.40E+10	260	0.096	0.115	0.055	0.057	0.064	0.097
D3Z841	Butyrophilin-like 10	Btnl10	50.132	323.31	7.55E+10	430	0.095	0.142	0.142	0.174	0.085	0.152
Q5RKJ9	RAB10, member RAS oncogene family	Rab10	22.541	120.88	3.86E+10	380	0.096	0.061	0.141	0.179	0.093	0.141
Q5XI34	Protein phosphatase 2	Ppp2r1a	65.322	323.31	6.56E+10	773	0.102	0.131	0.056	0.081	0.028	0.072
Q64542-3	Plasma membrane calcium-transporting ATPase 4	Atp2b4	127.46	323.31	1.19E+11	1138	0.097	0.111	0.091	0.112	0.055	0.124
Q6P7Q6	Galectin	Lgals9	36.34	158.08	1.22E+10	152	0.094	0.104	0.015	0.013	0.026	0.088
A0A0G2JSL0	Proteasome subunit beta type	LOC100360846	25.303	323.31	2.77E+10	214	0.091	0.135	0.096	0.103	0.036	0.090
F8V328	RAB8	Rab8a	23.668	167.97	4.54E+10	358	0.098	0.063	0.159	0.210	0.071	0.219
P63102	14-3-3 protein zeta/delta	Ywhaz	27.771	323.31	3.04E+10	373	0.096	0.113	0.070	0.078	0.044	0.078
Q5U300	Ubiquitin-like modifier-activating enzyme 1	Uba1	117.79	323.31	9.19E+10	1142	0.086	0.106	0.056	0.075	0.034	0.061
G3V7Q6	Proteasome subunit beta type	Psmb5	28.559	202.3	3.08E+10	303	0.084	0.109	0.078	0.076	0.052	0.096
Q31266	MHC class I RT1.Aw3 protein	N/A	40.713	153.97	2.03E+10	198	0.080	0.101	0.016	0.023	0.019	0.039
A0JN17	V-Ki-ras2 Kirsten rat sarcoma viral oncogene homolog	Kras	21.494	323.31	1.75E+10	263	0.087	0.097	0.077	0.095	0.070	0.085
A0A0G2JSI1	4-trimethylaminobutyraldehyde dehydrogenase	Aldh9a1	54.05	206.76	3.48E+10	475	0.084	0.081	0.035	0.049	0.024	0.051
Q35814	Stress-induced-phosphoprotein 1	Stip1	62.569	323.31	7.00E+10	781	0.083	0.095	0.057	0.093	0.049	0.100
Q63569	26S proteasome regulatory subunit 6A	Psmc3	49.16	323.31	4.78E+10	675	0.081	0.099	0.059	0.099	0.035	0.069
A0A0G2K7M2	RAD23 homolog A, nucleotide excision repair protein	Rad23a	39.538	282.25	3.11E+10	421	0.081	0.087	0.076	0.107	0.049	0.079
Q6P7Q4	Lactoylglutathione lyase	Glo1	20.819	57.01	1.88E+10	236	0.085	0.088	0.046	0.063	0.040	0.064
Q88600	Heat shock 70 kDa protein 4	Hspa4	94.055	323.31	8.84E+10	1214	0.081	0.086	0.058	0.073	0.036	0.074
F1M761	Kell blood group, metallo-endorpeptidase	Kel	81.007	323.31	5.85E+10	510	0.081	0.097	0.061	0.072	0.043	0.106
F1LMZ8	26S proteasome non-ATPase regulatory subunit 11	Psm11	47.463	323.31	5.72E+10	644	0.085	0.116	0.071	0.116	0.047	0.091
Q5BJ93	Enolase 1,	Eno1	47.127	323.31	3.12E+10	457	0.080	0.075	0.032	0.046	0.033	0.051
F1LPV0	Asparaginyl-tRNA synthetase	Nars	64.127	323.31	5.52E+10	383	0.079	0.089	0.069	0.098	0.070	0.127
P35565	Calnexin	Canx	67.254	323.31	3.01E+10	487	0.074	0.088	0.037	0.047	0.032	0.062
Q63570	26S proteasome regulatory subunit 6B	Psmc4	47.408	323.31	3.55E+10	599	0.076	0.085	0.061	0.081	0.027	0.060
P62198	26S proteasome regulatory subunit 8	Psmc5	45.626	323.31	4.06E+10	504	0.076	0.085	0.068	0.096	0.053	0.078
G3V632	Epimorphin, isoform CRA a	Stx2	33.345	164.24	2.03E+10	348	0.073	0.075	0.021	0.061	0.020	0.068
P97536	Cullin-associated NEDD8-dissociated protein 1	Cand1	136.36	323.31	9.95E+10	1161	0.074	0.094	0.046	0.069	0.033	0.067
A0A0H2UHX1	Reticulon	Rtn3	28.227	14.235	1.48E+10	89	0.084	0.107	0.053	0.078	0.028	0.091
D4AEH3	Proteasome	Psm7	36.491	248.28	2.61E+10	375	0.071	0.100	0.057	0.081	0.028	0.071
Q35987	NSFL1 cofactor p47	Nsfl1c	40.679	323.31	3.33E+10	495	0.068	0.091	0.054	0.075	0.030	0.059
Q3T1J1	Eukaryotic translation initiation factor 5A-1	Eif5a	16.832	98.11	1.65E+10	233	0.070	0.083	0.044	0.076	0.038	0.135
B5DFD8	SH3 domain-binding glutamic acid-rich-like protein	Sh3bgrl	12.8	147.27	7.16E+09	170	0.065	0.066	0.029	0.036	0.007	0.039
P82995	Heat shock protein HSP 90-alpha	Hsp90aa1	84.814	323.31	6.34E+10	820	0.067	0.082	0.052	0.076	0.048	0.098

B5DF65	Biliverdin reductase B	Blvrb	22.094	214.38	2.17E+10	283	0.073	0.078	0.041	0.047	0.097	0.093
P62630	Elongation factor 1-alpha 1	Eef1a1	50.113	229	3.50E+10	316	0.062	0.065	0.032	0.053	0.048	0.118
P06685	Sodium/potassium-transporting ATPase subunit alpha-1	Atp1a1	113.05	323.31	6.11E+10	939	0.063	0.086	0.036	0.052	0.033	0.072
D4A781	Importin 5	Ipo5	123.7	323.31	6.43E+10	1098	0.059	0.077	0.029	0.049	0.024	0.051
Q5BK05	LOC367586 protein	LOC367586	49.943	299.84	6.42E+10	588	0.061	0.095	0.306	0.464	0.037	0.064
F2Z3Q8	Importin subunit beta-1	Kpnb1	97.183	323.31	7.96E+10	917	0.061	0.076	0.088	0.126	0.033	0.086
G3V7L6	26S proteasome regulatory subunit 7	Psmc2	48.633	323.31	4.10E+10	733	0.060	0.083	0.059	0.084	0.029	0.067
O55158	Tetraspanin	Tspan8	25.545	40.892	1.03E+10	108	0.056	0.059	0.050	0.061	0.032	0.035
P04785	Protein disulfide-isomerase	P4hb	56.951	320.07	3.06E+10	536	0.059	0.080	0.034	0.041	0.016	0.042
Q9WVJ6	Tissue-type transglutaminase	Tgm2	76.934	323.31	4.42E+10	685	0.057	0.078	0.030	0.053	0.018	0.053
D3Z9R6	Erythroblast membrane-associated protein	Ermap	65.876	323.31	3.06E+10	274	0.064	0.082	0.033	0.052	0.017	0.053
A0A0G2K7Q1	Phospholipid scramblase	Plscr1	36.689	40.361	1.34E+10	96	0.053	0.067	0.038	0.051	0.024	0.049
B2RYK3	RCG56371	Spr	28.128	186.19	1.68E+10	231	0.063	0.074	0.021	0.033	0.033	0.054
M0RB05	Hypothetical protein LOC688282	LOC688282	26.21	213.42	1.75E+10	122	0.053	0.076	0.058	0.079	0.038	0.104
Q4FZT9	26S proteasome non-ATPase regulatory subunit 2	Psmc2	100.19	323.31	6.70E+10	874	0.055	0.077	0.047	0.064	0.023	0.053
P05370	Glucose-6-phosphate 1-dehydrogenase	G6pdx	59.375	323.31	3.77E+10	600	0.054	0.061	0.029	0.047	0.024	0.049
Q8CFN2	Cell division control protein 42 homolog	Cdc42	21.258	34.361	1.03E+10	182	0.050	0.056	0.030	0.045	0.020	0.059
A9CMA5	Decay accelerating factor 1	Daf1	40.132	140.8	1.14E+10	152	0.050	0.076	0.034	0.038	0.011	0.036
B2GV92	Ptges3 protein	Ptges3	18.721	47.798	1.08E+10	137	0.053	0.063	0.024	0.040	0.023	0.053
Q45QK8	Guanine nucleotide-binding protein subunit gamma	Gng5	6.4094	3.7551	3.16E+09	43	0.052	0.061	0.055	0.058	0.022	0.041
P36860	Ras-related protein Ral-B	Ralb	23.317	72.323	1.02E+10	167	0.051	0.061	0.030	0.046	0.019	0.058
O88321	Antisecretory factor	Psmc4	41.073	323.31	1.95E+10	350	0.052	0.062	0.044	0.066	0.023	0.053
A0A0G2K3V2	Aflatoxin B1 aldehyde reductase member 2	Akr7a2	37.526	279.35	1.45E+10	172	0.052	0.060	0.018	0.030	0.024	0.047
P20761	Ig gamma-2B chain C region	Igh-1a	36.497	159.16	3.68E+10	225	0.051	0.083	0.326	0.374	0.120	0.188
P12928	Pyruvate kinase PKLR	Pklr	62.2	323.31	4.21E+10	669	0.051	0.063	0.032	0.044	0.024	0.061
D4A4D5	Similar to 60S acidic ribosomal protein P2	LOC498555	11.706	50.496	9.08E+09	95	0.050	0.087	0.046	0.088	0.023	0.073
F7EPH4	Pyrophosphatase	Ppa1	32.771	134.45	1.32E+10	317	0.047	0.051	0.020	0.030	0.019	0.033
Q7TMZ5	ADP-ribosylation factor-like 6 interacting protein 1	Arl6ip1	23.451	8.6064	3.08E+09	35	0.049	0.049	0.028	0.035	0.003	0.024
M0RC23	Uncharacterized protein	N/A	11.194	8.7955	5.17E+09	24	0.048	0.059	0.045	0.088	0.042	0.065
A0A0G2JYA4	Serine/threonine-protein phosphatase	LOC100362453	35.523	307.27	1.45E+10	287	0.047	0.055	0.033	0.041	0.015	0.036
P62193	26S proteasome regulatory subunit 4	Psmc1	49.184	323.31	3.12E+10	547	0.048	0.061	0.042	0.063	0.020	0.052
Q568Z6	IST1 homolog	Ist1	39.941	126.19	1.05E+10	214	0.041	0.061	0.037	0.049	0.017	0.046
Q5XIR9	Ubiquitin-associated domain-containing protein 1	Uba1	45.546	323.31	2.90E+10	452	0.049	0.074	0.044	0.066	0.031	0.059
Q6PCT9	Proteasome	Psmc6	45.598	217.34	3.19E+10	494	0.048	0.057	0.040	0.057	0.025	0.054
D3ZW08	Adenylosuccinate lyase	Adsl	54.852	323.31	2.59E+10	428	0.048	0.062	0.033	0.048	0.022	0.041
P61765	Syntaxin-binding protein 1	Stxbp1	67.568	323.31	2.93E+10	549	0.045	0.046	0.026	0.038	0.021	0.048
G3V8B6	26S proteasome non-ATPase regulatory subunit 1	Psmc1	105.7	323.31	5.27E+10	958	0.046	0.060	0.038	0.059	0.023	0.052
Q45QN0	Guanine nucleotide binding protein alpha inhibiting 2	Gnai2	40.499	209.4	1.94E+10	363	0.045	0.055	0.040	0.053	0.025	0.064
Q6IRI3	Protein kinase C and casein kinase substrate in neurons 2	Pacsin2	55.733	255.82	2.56E+10	367	0.043	0.042	0.040	0.049	0.024	0.046
B0BN93	26S proteasome non-ATPase regulatory subunit 13	Psmc13	42.817	218.89	3.10E+10	436	0.044	0.060	0.036	0.059	0.023	0.057
Q5XI73	Rho GDP-dissociation inhibitor 1	Arhgdia	23.407	246.7	9.47E+09	149	0.049	0.054	0.017	0.036	0.015	0.047
Q5XIM9	T-complex protein 1 subunit beta	Cct2	57.458	323.31	4.88E+10	780	0.042	0.060	0.045	0.071	0.043	0.079
B0BNN3	Carbonic anhydrase 1	Ca1	28.299	128.45	1.80E+10	270	0.041	0.028	0.019	0.027	0.033	0.080
P13832	Myosin regulatory light chain RLC-A	Rlc-a	19.895	36.142	7.89E+09	75	0.041	0.058	0.066	0.066	0.013	0.031
Q5U316	Ras-related protein Rab-35	Rab35	23.025	87.452	1.68E+10	235	0.042	0.037	0.056	0.067	0.026	0.093
P54313	Guanine nucleotide-binding protein G	Gnb2	37.331	168	1.38E+10	276	0.041	0.043	0.038	0.040	0.027	0.059
B2RZ27	SH3 domain binding glutamic acid-rich protein-like 3	Sh3bgrl3	10.477	90.396	3.58E+09	63	0.043	0.048	0.022	0.029	0.022	0.043

P27139	Carbonic anhydrase 2	Ca2	29.113	152.47	1.97E+10	329	0.044	0.043	0.026	0.044	0.040	0.081
Q35509	Ras-related protein Rab-11B	Rab11b	24.488	323.31	2.54E+10	318	0.042	0.037	0.070	0.111	0.043	0.096
Q68FQ0	T-complex protein 1 subunit epsilon	Cct5	59.536	323.31	5.13E+10	863	0.041	0.051	0.044	0.069	0.029	0.088
G3V6H7	Solute carrier family 39	Slc40a1	62.616	157.94	1.52E+10	216	0.039	0.043	0.043	0.061	0.021	0.045
Q9WU49	Calcium-regulated heat stable protein 1	Carhsp1	15.906	31.695	6.43E+09	111	0.037	0.046	0.037	0.055	0.022	0.034
Q6P502	T-complex protein 1 subunit gamma	Cct3	60.646	323.31	4.98E+10	699	0.040	0.050	0.046	0.064	0.043	0.079
P19468	Glutamate--cysteine ligase catalytic subunit	Gclc	72.618	323.31	3.49E+10	519	0.039	0.047	0.030	0.040	0.025	0.059
B0BMV5	RAB8B, member RAS oncogene family	Rab8b	23.603	23.388	9.64E+09	113	0.038	0.025	0.029	0.038	0.029	0.053
Q68FS2	COP9 signalosome complex subunit 4	Cops4	46.289	274.38	2.33E+10	466	0.036	0.040	0.020	0.034	0.015	0.038
Q5XIC6	Proteasome	Psmc12	52.936	190.14	2.30E+10	409	0.036	0.046	0.028	0.049	0.016	0.036
G3V6S5	C-1-tetrahydrofolate synthase, cytoplasmic	Mthfd1	100.96	323.31	6.08E+10	950	0.039	0.049	0.054	0.076	0.029	0.067
D3ZIP8	Endonuclease domain-containing 1	Endod1	38.108	222.87	1.40E+10	293	0.038	0.042	0.028	0.036	0.018	0.037
P61972	Nuclear transport factor 2	Nutf2	14.478	69.955	4.27E+09	61	0.034	0.028	0.015	0.020	0.007	0.024
P18484	AP-2 complex subunit alpha-2	Ap2a2	104.04	323.31	6.39E+10	856	0.035	0.044	0.038	0.059	0.028	0.067
F1LPS8	Transcriptional activator protein Pur-alpha	Pura	31.903	116.05	7.65E+09	172	0.035	0.045	0.024	0.036	0.013	0.028
B0BNJ1	LOC683667 protein	Sri	21.624	64.099	1.02E+10	160	0.036	0.031	0.038	0.056	0.039	0.037
P62828	GTP-binding nuclear protein Ran	Ran	24.423	63.81	1.21E+10	142	0.033	0.045	0.040	0.056	0.033	0.044
P28480	T-complex protein 1 subunit alpha	Tcp1	60.359	323.31	3.86E+10	688	0.035	0.040	0.040	0.067	0.028	0.073
Q3MHS9	Chaperonin containing Tcp1, subunit 6A	Cct6a	58.017	302.6	3.33E+10	523	0.038	0.051	0.046	0.068	0.042	0.058
G3V621	Monocarboxylate transporter 10	Slc16a10	55.678	50.808	1.31E+10	136	0.034	0.039	0.060	0.081	0.036	0.072
Q4V8E2	Proteasome	Psmc14	34.577	169.3	1.39E+10	190	0.035	0.039	0.038	0.051	0.013	0.046
A0A0G2JX56	DnaJ	Dnajc5	18.753	71.989	5.29E+09	123	0.038	0.044	0.030	0.036	0.019	0.029
G3V6P8	Guanine nucleotide-binding protein subunit gamma	Gng12	7.9851	11.533	4.02E+09	50	0.033	0.036	0.040	0.049	0.028	0.064
D4ACB8	Chaperonin subunit 8	Cct8	59.588	172.32	4.38E+10	674	0.034	0.044	0.046	0.061	0.033	0.068
Q5VLR5	BWK4	Erp44	46.878	295.86	1.32E+10	344	0.033	0.043	0.021	0.031	0.014	0.034
M0RCB7	Apolipoprotein L, 2	Apol2	36.914	319.93	1.85E+10	274	0.035	0.033	0.064	0.086	0.040	0.055
D4AC23	Chaperonin-containing TCP1 subunit 7	Cct7	59.658	323.31	3.52E+10	525	0.033	0.044	0.038	0.056	0.030	0.060
P10760	Adenosylhomocysteinase	Ahcy	47.538	261.43	1.89E+10	350	0.034	0.043	0.026	0.040	0.007	0.026
P61203	COP9 signalosome complex subunit 2	Cops2	51.596	206.04	1.79E+10	363	0.035	0.045	0.028	0.037	0.015	0.031
Q5U2N2	Ubiquitin specific protease 14	Usp14	55.976	288.64	1.85E+10	401	0.033	0.038	0.023	0.031	0.013	0.029
F1M5V2	GLI pathogenesis-related 2	Glpr2	18.985	130.9	5.82E+09	115	0.033	0.036	0.022	0.027	0.011	0.026
Q63135	Complement component receptor 1-like protein	Cr1l	61.68	174.58	1.56E+10	300	0.034	0.040	0.031	0.036	0.014	0.028
Q07205	Eukaryotic translation initiation factor 5	Eif5	48.954	86.768	1.78E+10	364	0.031	0.041	0.024	0.034	0.024	0.042
A0A0G2K890	Ezrin	Ezr	69.287	242.22	2.70E+10	437	0.035	0.039	0.026	0.036	0.016	0.032
Q5I0M1	Apolipoprotein H	ApoH	38.457	81.453	1.80E+10	286	0.031	0.035	0.099	0.112	0.010	0.031
Q62764	Y-box-binding protein 3	Ybx3	38.851	207.02	1.03E+10	184	0.030	0.034	0.019	0.029	0.012	0.028
Q05982	Nucleoside diphosphate kinase A	Nme1	17.193	36.904	6.95E+09	107	0.033	0.026	0.015	0.023	0.019	0.024
G3V7B5	Phosphoribosyl pyrophosphate synthase-associated protein 1	Prpsap1	42.502	155.62	1.71E+10	394	0.032	0.045	0.021	0.045	0.016	0.031
Q5XI60	Receptor expression-enhancing protein 6	Reep6	23.313	20.28	9.52E+09	111	0.036	0.035	0.042	0.078	0.022	0.047
D4A1R8	Copine-1	Cpne1	58.843	195.6	2.49E+10	290	0.031	0.039	0.026	0.038	0.022	0.038
Q5U2S7	Proteasome	Psmc3	60.687	323.31	2.93E+10	524	0.031	0.042	0.027	0.040	0.016	0.034
G3V784	ADP-dependent glucokinase	Adpgk	53.918	140.3	1.02E+10	298	0.030	0.034	0.018	0.024	0.013	0.027
Q5PQK5	Radixin	Rdx	68.543	323.31	2.38E+10	581	0.030	0.030	0.021	0.034	0.023	0.035
Q5BJP3	Ubiquitin-fold modifier 1	Ufm1	9.1175	21.733	2.47E+09	54	0.029	0.036	0.018	0.024	0.010	0.015
Q6AXX6	Redox-regulatory protein FAM213A	Fam213a	25.763	17.718	5.31E+09	110	0.028	0.039	0.007	0.015	0.005	0.011
P11232	Thioredoxin	Txn	11.673	19.898	4.12E+09	82	0.030	0.021	0.019	0.025	0.008	0.025
P00173-2	Cytochrome b5	Cyb5a	11.406	52.698	6.67E+09	75	0.030	0.036	0.050	0.046	0.025	0.033

O88989	Malate dehydrogenase, cytoplasmic	Mdh1	36.483	69.071	7.07E+09	193	0.029	0.029	0.008	0.015	0.010	0.020
A0A0A0MY48	Dynamin-2	Dnm2	97.253	323.31	3.33E+10	713	0.030	0.031	0.031	0.037	0.013	0.028
A0A0A0MY09	Endoplasmic	Hsp90b1	92.899	172.65	1.70E+10	373	0.031	0.037	0.014	0.016	0.007	0.021
F1LQ09	Atlastin GTPase 2	Atl2	66.194	323.31	1.99E+10	454	0.031	0.039	0.031	0.037	0.017	0.039
Q63584	Transmembrane emp24 domain-containing protein 10	Tmed10	24.857	131.36	5.75E+09	133	0.030	0.047	0.023	0.028	0.010	0.030
B0BNK1	RAB5C, member RAS oncogene family	Rab5c	23.425	179.64	1.46E+10	240	0.029	0.012	0.062	0.091	0.032	0.086
P48508	Glutamate--cysteine ligase regulatory subunit	Gclm	30.548	48.465	5.81E+09	162	0.029	0.026	0.017	0.020	0.015	0.032
A0A0G2K7Q7	Insulin-degrading enzyme	Ide	113.16	201.29	2.97E+10	754	0.029	0.032	0.020	0.027	0.012	0.027
A9UMW1	Glutathione S-transferase alpha 4	Gsta4	25.51	61.622	7.11E+09	93	0.030	0.035	0.015	0.027	0.018	0.031
D3ZP29	Intercellular adhesion molecule 4, Landsteiner-Wiener blood	Icam4	28.726	30.962	9.16E+09	103	0.029	0.044	0.024	0.036	0.016	0.054
Q9JL55	Glycerophosphodiester phosphodiesterase 1	Gde1	37.634	123.03	9.85E+09	138	0.028	0.030	0.016	0.020	0.010	0.028
D3Z967	Tetraspanin	Tspan33	31.564	77.639	7.74E+09	109	0.027	0.041	0.035	0.022	0.024	0.061
Q9Z270	Vesicle-associated membrane protein-associated protein A	Vapa	27.841	78.348	1.04E+10	236	0.026	0.026	0.033	0.054	0.013	0.035
G3V6S3	Calumenin	Calu	37.063	177.07	9.46E+09	248	0.026	0.028	0.019	0.028	0.028	0.050
A0A0G2K2V2	AP complex subunit beta	Ap1b1	103.82	323.31	4.00E+10	768	0.024	0.029	0.031	0.050	0.020	0.046
Q7TPB1	T-complex protein 1 subunit delta	Cct4	58.099	323.31	3.56E+10	569	0.027	0.040	0.037	0.058	0.029	0.063
P19944	60S acidic ribosomal protein P1	Rplp1	11.498	61.832	1.98E+09	53	0.028	0.037	0.019	0.044	0.015	0.022
Q6P9X1	Chloride channel, nucleotide-sensitive, 1A	Clns1a	26.591	48.174	6.64E+09	115	0.030	0.038	0.018	0.036	0.009	0.024
O08618	Phosphoribosyl pyrophosphate synthase-associated protein 2	Prpsap2	40.866	158.72	1.56E+10	362	0.027	0.035	0.019	0.024	0.011	0.038
Q80W57	ATP-binding cassette sub-family G member 2	Abcg2	72.96	192.74	1.49E+10	377	0.028	0.035	0.020	0.025	0.008	0.031
P63322	Ras-related protein Ral-A	Rala	23.553	18.873	5.03E+09	93	0.026	0.028	0.020	0.018	0.003	0.024
A0A140TAC3	Epsin-1	Epn1	60.228	49.687	5.62E+09	149	0.024	0.025	0.018	0.027	0.009	0.022
A0A0G2K0P8	CDW92 antigen, isoform CRA b	Slc44a1	73.092	86.064	1.63E+10	288	0.026	0.031	0.012	0.018	0.010	0.028
A0A0G2K4X8	S-phase kinase-associated protein 1	Skp1	18.931	66.849	5.45E+09	128	0.025	0.025	0.017	0.021	0.009	0.022
O35244	Peroxiredoxin-6	Prdx6	24.818	236.02	6.46E+09	232	0.026	0.019	0.007	0.012	0.009	0.021
A0A140TAH5	AP-2 complex subunit mu	Ap2m1	49.526	153.97	2.05E+10	387	0.024	0.027	0.027	0.036	0.019	0.040
P85968	6-phosphogluconate dehydrogenase, decarboxylating	Pgd	53.236	193.46	1.37E+10	267	0.025	0.028	0.009	0.023	0.014	0.029
D3ZZR9	Peptidylprolyl isomerase	Fkbp2	15.388	31.837	3.31E+09	95	0.025	0.031	0.008	0.019	0.007	0.026
A7LNF8	MHC class I antigen	RT1.A	35.574	4.9274	8.03E+09	24	0.025	0.040	0.010	0.023	0.009	0.032
B2GUV5	V-type proton ATPase subunit G	Atp6v1g1	13.71	112.93	2.39E+09	75	0.023	0.026	0.019	0.023	0.010	0.017
Q4L2A2	CD99	Cd99	16.544	143.81	5.68E+09	63	0.022	0.014	0.038	0.037	0.025	0.029
Q63524	Transmembrane emp24 domain-containing protein 2	Tmed2	22.733	67.119	4.43E+09	157	0.026	0.030	0.015	0.031	0.006	0.019
Q66HA6	ADP-ribosylation factor-like protein 8B	Arl8b	21.539	53.931	4.19E+09	87	0.022	0.029	0.011	0.013	0.006	0.018
A0JN30	Canopy 2 homolog	Cnpy2	20.709	44.897	4.66E+09	149	0.025	0.028	0.011	0.014	0.008	0.021
P12346	Serotransferrin	Tf	76.394	323.31	4.19E+10	723	0.024	0.022	0.089	0.112	0.036	0.063
D3ZI16	COP9	Cops6	37.702	184.12	7.74E+09	217	0.025	0.038	0.009	0.030	0.009	0.025
B5DFN4	Prefoldin 5	Pfdn5	17.326	129.43	4.97E+09	159	0.021	0.023	0.019	0.029	0.012	0.032
D4A021	Hemoglobin, theta 1	Hbq1	15.541	118.93	5.08E+09	109	0.023	0.024	0.013	0.015	0.013	0.038
B5DFN0	COP9 signalosome subunit 9	Cops9	6.1966	35.329	7.20E+08	25	0.021	0.048	0.013	0.033	0.004	0.020
G3V9G4	ATP-citrate synthase	Acly	119.71	266.96	2.40E+10	657	0.021	0.026	0.008	0.011	0.007	0.015
Q9ES21	Phosphatidylinositide phosphatase SAC1	Sacm1l	67.038	142.45	1.35E+10	410	0.022	0.022	0.011	0.013	0.007	0.020
A0JPM9	Eukaryotic translation initiation factor 3 subunit J	Eif3j	29.187	172.94	1.17E+10	260	0.021	0.028	0.027	0.052	0.030	0.036
O35547	Long-chain-fatty-acid--CoA ligase 4	Acsl4	74.326	206.6	1.52E+10	399	0.022	0.031	0.013	0.020	0.008	0.020
P06214	Delta-aminolevulinic acid dehydratase	Alad	36.031	129.13	7.60E+09	202	0.022	0.027	0.015	0.022	0.011	0.023
B5DFC6	Glucosamine-6-phosphate isomerase	Gnpda1	32.579	261.58	7.95E+09	247	0.022	0.034	0.019	0.021	0.008	0.022
P20762	Ig gamma-2C chain C region	N/A	36.571	152.81	1.86E+10	271	0.022	0.030	0.065	0.116	0.055	0.157
A0A0H2UI26	Metalloreductase STEAP3	Steap3	55.615	24.459	6.54E+09	123	0.022	0.012	0.010	0.007	0.004	0.025

A0A0G2JTX2	PRA1 family protein	Praf2	19.078	12.908	3.22E+09	53	0.022	0.016	0.021	0.032	0.010	0.032
Q5EB77	Ras-related protein Rab-18	Rab18	22.976	48.527	5.38E+09	189	0.020	0.019	0.015	0.023	0.010	0.019
D3ZS18	Phosphatidylinositol 4-phosphate 5-kinase type-1 alpha	Pip5k1a	60.604	29.854	3.41E+09	91	0.022	0.003	0.004	0.004	0.002	0.005
B2RZ09	Arginine-rich, mutated in early stage tumors	Manf	20.388	29.137	2.69E+09	126	0.019	0.024	0.012	0.014	0.006	0.011
Q5M9H4	Sodium/potassium-transporting ATPase subunit beta	Atp1b2	33.398	97.664	5.11E+09	92	0.021	0.026	0.007	0.012	0.007	0.018
Q52KS1	ATP-dependent 6-phosphofructokinase	Pfkm	85.342	323.31	1.55E+10	440	0.021	0.022	0.015	0.027	0.006	0.023
G3V8G2	Proteasome	Psm5	55.852	248.39	1.14E+10	350	0.021	0.023	0.014	0.015	0.012	0.021
Q6NYB7	Ras-related protein Rab-1A	Rab1A	22.677	147.43	1.44E+10	228	0.022	0.013	0.044	0.075	0.026	0.050
A0A0G2K737	Thioredoxin-like protein 1	Txnl1	32.7	151.9	8.28E+09	218	0.020	0.025	0.016	0.022	0.010	0.024
F1LRP7	Protein argonaute-2	Ago2	99.542	323.31	2.45E+10	646	0.020	0.023	0.013	0.023	0.009	0.028
Q68FW9	COP9 signalosome complex subunit 3	Cops3	47.859	271.56	1.40E+10	262	0.020	0.026	0.019	0.024	0.010	0.024
Q3B8P5	Psm8 protein	Psm8	32.337	183.33	1.01E+10	151	0.020	0.036	0.021	0.040	0.013	0.032
Q5U2P5	C2CD2-like	C2cd2l	76.06	323.31	1.18E+10	310	0.020	0.019	0.012	0.019	0.011	0.028
D3ZRN3	Actin, beta-like 2	Actb2	41.963	52.795	1.02E+10	96	0.019	0.027	0.024	0.027	0.010	0.024
Q99JC6	TAP-binding protein	Tapbp	50.044	22.978	4.00E+09	112	0.017	0.021	0.004	0.007	0.005	0.012
A0A0G2K398	Glutathione peroxidase	Gpx4	22.074	21.402	5.08E+09	102	0.019	0.016	0.013	0.017	0.006	0.021
A0A0G2JSZ5	Protein disulfide-isomerase A6	Pdia6	48.76	102.16	5.17E+09	173	0.020	0.023	0.009	0.009	0.005	0.013
D4A0E8	Protein arginine N-methyltransferase 5	Prmt5	72.694	150.79	1.76E+10	358	0.020	0.032	0.015	0.024	0.011	0.025
A0A0G2JWA3	Exportin 7	Xpo7	123.78	323.31	2.52E+10	618	0.018	0.027	0.015	0.023	0.015	0.027
A0A0G2K7W8	Histidine triad nucleotide-binding protein 3	Hint3	14.317	28.435	1.72E+09	57	0.020	0.019	0.002	0.006	0.002	0.009
A0A0A0MY07	Ubiquitin carboxyl-terminal hydrolase 15	Usp15	109.24	323.31	3.11E+10	721	0.019	0.023	0.019	0.028	0.014	0.028
Q6P4Z9	COP9 signalosome complex subunit 8	Cops8	23.235	295.76	3.94E+09	109	0.019	0.024	0.015	0.016	0.004	0.018
A0A0G2JYD8	Calpain-5	Capn5	73.211	179.16	1.63E+10	373	0.019	0.022	0.015	0.021	0.011	0.025
F1LMI7	E3 ubiquitin-protein ligase RNF123	Rnf123	148.29	323.31	3.28E+10	726	0.019	0.028	0.020	0.024	0.015	0.023
P63259	Actin, cytoplasmic 2	Actg1	41.792	195.78	9.69E+09	123	0.022	0.025	0.019	0.028	0.008	0.017
P48500	Triosephosphate isomerase	Tpi1	26.849	146.98	6.16E+09	211	0.018	0.014	0.011	0.014	0.010	0.020
M0R5N4	Prefoldin subunit 4	Pfdn4	15.783	74.147	1.28E+09	51	0.020	0.016	0.008	0.022	0.016	0.020
P19939	Apolipoprotein C-I	Apoc1	9.8606	5.2914	1.48E+09	25	0.019	0.024	0.042	0.052	0.006	0.014
A0A0G2K562	Disintegrin and metalloproteinase domain-containing protein	Adam10	84.086	199.4	1.51E+10	260	0.018	0.022	0.011	0.015	0.007	0.017
Q4KM69	COP9	Cops5	37.578	114.02	9.60E+09	253	0.019	0.030	0.019	0.026	0.012	0.022
P97532	3-mercaptopyruvate sulfurtransferase	Mpst	32.94	115.44	7.01E+09	209	0.018	0.019	0.011	0.015	0.014	0.032
O70257	Syntaxin-7	Stx7	29.85	126.47	5.20E+09	171	0.016	0.016	0.021	0.027	0.010	0.021
D4A022	GTPase-activating protein and VPS9 domains 1	Gapvd1	165.16	323.31	2.94E+10	670	0.017	0.021	0.020	0.026	0.012	0.022
A0A0G2JW80	COP9 signalosome complex subunit 1	Gps1	55.163	90.94	9.04E+09	233	0.017	0.029	0.018	0.026	0.011	0.021
A0A0H2UHP9	RCG39700, isoform CRA d	Rab6a	23.545	56.515	8.75E+09	102	0.018	0.012	0.029	0.029	0.027	0.041
G3V7L8	ATPase, H+ transporting, V1 subunit E isoform 1, isoform	Atp6v1e1	26.143	114.77	4.51E+09	144	0.016	0.015	0.011	0.017	0.007	0.014
Q5M872	Dipeptidase 2	Dpep2	53.284	323.31	2.11E+10	361	0.017	0.026	0.045	0.054	0.017	0.043
Q9R010	Calcium and integrin-binding protein 1	Cib1	21.8	126.49	4.41E+09	147	0.015	0.018	0.011	0.016	0.004	0.013
Q9QUG4	ATPase 7B	Atp7b	156.03	323.31	2.21E+10	572	0.017	0.016	0.013	0.018	0.006	0.015
Q5XIU9	Membrane-associated progesterone receptor component 2	Pgrmc2	23.403	109.56	4.57E+09	121	0.018	0.023	0.015	0.024	0.007	0.015
F1MAA5	RAN GTPase-activating protein 1	Rangap1	63.142	156.35	1.30E+10	298	0.018	0.021	0.017	0.019	0.009	0.022
G3V7I0	Peroxiredoxin 3	Prdx3	28.299	69.848	6.43E+09	175	0.015	0.010	0.015	0.012	0.017	0.034
P52555	Endoplasmic reticulum resident protein 29	Erp29	28.574	48.947	2.96E+09	109	0.017	0.025	0.008	0.010	0.004	0.011
P60522	Gamma-aminobutyric acid receptor-associated protein-like 2	Gabarapl2	13.667	15.776	4.46E+09	92	0.017	0.026	0.009	0.014	0.029	0.029
D3ZRV0	DCN1-like protein	Dcn1d1	24.059	87.376	4.43E+09	132	0.017	0.020	0.009	0.015	0.007	0.018
P50503	Hsc70-interacting protein	St13	41.279	40.355	8.26E+09	113	0.016	0.020	0.019	0.029	0.021	0.035
D4A133	ATPase H+-transporting V1 subunit A	Atp6v1a	68.264	240.47	1.36E+10	454	0.017	0.020	0.008	0.014	0.008	0.019

B2GUZ5	F-actin-capping protein subunit alpha-1	Capza1	32.909	111.57	4.50E+09	113	0.018	0.024	0.008	0.010	0.007	0.020
D3ZBT9	Protein phosphatase 6, regulatory subunit 3	Ppp6r3	97.513	323.31	2.09E+10	545	0.018	0.021	0.014	0.021	0.007	0.021
F1M7S2	Proteasome inhibitor PI31 subunit	Psmf1	29.882	57.947	5.25E+09	102	0.016	0.012	0.024	0.027	0.009	0.029
Q8R491	EH domain-containing protein 3	Ehd3	60.79	323.31	2.46E+10	549	0.017	0.016	0.027	0.043	0.024	0.042
G3V719	Phospholipid scramblase	Plscr4	36.347	162.67	3.50E+09	102	0.015	0.015	0.009	0.012	0.007	0.010
D4A899	Vacuolar protein sorting 13 homolog A	Vps13a	266.49	323.31	2.90E+10	919	0.015	0.019	0.002	0.004	0.005	0.014
P62815	V-type proton ATPase subunit B, brain isoform	Atp6v1b2	56.55	210.62	9.62E+09	372	0.016	0.023	0.012	0.016	0.009	0.014
Q68FQ9	LanC lantibiotic synthetase component C-like 2	Lancl2	50.968	106.3	7.48E+09	237	0.016	0.016	0.010	0.013	0.005	0.014
D3ZTY0	Cornichon family AMPA receptor auxiliary protein 4	Cnih4	16.091	6.9291	4.74E+08	18	0.014	0.012	0.008	0.009	0.005	0.014
B2GV79	Pdxp protein	Pdxp	31.424	109.76	5.46E+09	187	0.014	0.019	0.008	0.011	0.007	0.014
P20171	GTPase HRas	Hras	21.298	46.391	3.84E+09	117	0.015	0.013	0.012	0.016	0.011	0.019
P50399	Rab GDP dissociation inhibitor beta	Gdi2	50.537	114.12	8.58E+09	247	0.015	0.016	0.007	0.008	0.008	0.015
D3ZC84	Ubiquitin specific peptidase 9, X chromosome	Usp9x	289.44	323.31	4.93E+10	1287	0.014	0.019	0.013	0.018	0.009	0.021
D4ADF5	Programmed cell death 5	Pdcd5	14.204	112.86	5.24E+09	171	0.013	0.013	0.023	0.022	0.015	0.025
D3ZDK7	Glycerol-3-phosphate phosphatase	Pgp	34.6	102.74	5.83E+09	203	0.015	0.020	0.011	0.013	0.006	0.011
Q56R17	Importin subunit alpha	Kpna4	57.922	95.702	5.04E+09	150	0.014	0.019	0.009	0.018	0.005	0.013
D3Z890	Sn1-specific diacylglycerol lipase beta	Daglb	73.623	61.616	7.25E+09	279	0.014	0.015	0.007	0.010	0.004	0.011
Q35820	2'-deoxynucleoside 5'-phosphate N-hydrolase 1	Dnph1	17.781	16.085	2.58E+09	25	0.015	0.017	0.011	0.010	0.009	0.013
A0A0H2UHQ8	40S ribosomal protein S17	Rps17	15.379	21.336	2.71E+09	73	0.018	0.019	0.015	0.031	0.004	0.036
A0A097BVJ5	2',3'-cyclic-nucleotide 3'-phosphodiesterase	Cnp	44.856	92.74	8.63E+09	262	0.014	0.010	0.013	0.019	0.007	0.019
P04639	Apolipoprotein A-I	Apoa1	30.062	74.907	5.42E+09	173	0.015	0.032	0.027	0.039	0.005	0.021
F1M5A4	Katanin p60 ATPase-containing subunit A-like 2	Katnal2	61.035	3.1875	1.01E+10	39	0.014	0.017	0.017	0.016	0.009	0.015
A0A0G2JSS9	Atlastin-3	Atl3	60.249	261.1	8.74E+09	355	0.015	0.019	0.011	0.019	0.008	0.025
A2RUW1	Toll-interacting protein	Tollip	30.314	63.051	4.66E+09	172	0.014	0.017	0.014	0.026	0.009	0.017
D4AAE9	CDGSH iron sulfur domain 2	Cisd2	15.293	21.213	2.14E+09	79	0.016	0.017	0.009	0.009	0.004	0.009
Q5I0E7	Transmembrane emp24 domain-containing protein 9	Tmed9	27.028	121.81	3.77E+09	93	0.016	0.021	0.012	0.018	0.003	0.011
M0RC99	Ras-related protein Rab-5A	Rab5a	23.624	116.91	4.40E+09	90	0.013	0.005	0.015	0.024	0.004	0.023
G3V6D3	ATP synthase subunit beta	Atp5b	56.344	307.68	1.17E+10	340	0.014	0.019	0.012	0.016	0.012	0.038
A0JPL2	Casein kinase 1, alpha 1, isoform CRA d	Csnk1a1	38.914	61.104	6.40E+09	229	0.014	0.015	0.010	0.013	0.003	0.013
Q5HZY3	Ubiquitin carboxyl-terminal hydrolase	Uchl5	37.097	152.64	6.94E+09	196	0.012	0.013	0.013	0.017	0.008	0.017
D4A7L6	Ribose 5-phosphate isomerase A	Rpia	32.472	80.866	3.97E+09	176	0.013	0.012	0.005	0.007	0.006	0.009
Q08163	Adenylyl cyclase-associated protein 1	Cap1	51.588	137.76	1.08E+10	318	0.015	0.019	0.014	0.017	0.008	0.018
F1LM09	Ubiquitin carboxyl-terminal hydrolase 7	Usp7	128.43	319.19	2.11E+10	686	0.013	0.016	0.010	0.015	0.008	0.016
Q62636	Ras-related protein Rap-1b	Rap1b	20.798	192.66	3.30E+09	79	0.013	0.012	0.009	0.014	0.006	0.022
D3ZU52	COP9	Cops7b	35.94	80.57	3.68E+09	101	0.012	0.016	0.011	0.018	0.006	0.008
P19139	Casein kinase II subunit alpha	Csnk2a1	45.073	267.85	8.98E+09	221	0.014	0.020	0.011	0.022	0.008	0.031
M0R608	Reticulon	Rtn1	63.813	3.574	4.54E+09	49	0.013	0.016	0.010	0.014	0.010	0.012
A0A0G2K1C0	Actin-related protein 3	Actr3	47.583	87.953	9.62E+09	237	0.013	0.018	0.014	0.024	0.008	0.021
Q1HAQ0	Lysophosphatidylcholine acyltransferase 1	Lpcat1	59.761	213.36	5.36E+09	133	0.012	0.015	0.010	0.010	0.007	0.010
A7BFV9	Epidermal growth factor receptor pathway substrate 15	N/A	98.612	323.31	1.71E+10	494	0.013	0.016	0.015	0.024	0.009	0.022
Q64620	Serine/threonine-protein phosphatase 6 catalytic subunit	Ppp6c	35.159	63.169	4.30E+09	151	0.012	0.011	0.007	0.015	0.005	0.012
A0A0G2JXK7	F-box only protein 7	Fbxo7	47.144	46.946	2.90E+09	64	0.013	0.007	0.005	0.010	0.004	0.010
D3ZX38	Prefoldin 1	Pfdn1	14.255	147.25	2.63E+09	65	0.013	0.015	0.011	0.019	0.008	0.018
Q9QX80	CARG-binding factor A	Hnrnpab	30.853	8.9957	2.00E+09	25	0.013	0.012	0.010	0.010	0.000	0.004
Q3T1L0	Aldehyde dehydrogenase family 16 member A1	Aldh16a1	85.413	119.1	8.16E+09	234	0.012	0.016	0.010	0.015	0.008	0.018
A0A023IMI6	Proteasome subunit beta type	Psmb8	30.569	98.863	1.31E+10	230	0.014	0.019	0.023	0.039	0.012	0.042
Q5FVI3	Leucine-rich repeat-containing protein 57	Lrrc57	26.724	92.632	7.40E+09	86	0.011	0.013	0.012	0.010	0.010	0.018

G3V709	Nicotinate phosphoribosyltransferase	Naprt	58.603	55.674	4.67E+09	122	0.011	0.015	0.002	0.005	0.006	0.012
Q99ND8	Ppm1b protein	Ppm1b	51.009	89.261	5.47E+09	225	0.012	0.013	0.006	0.009	0.004	0.011
A0A0G2JSM7	Adducin 1	Add1	80.338	11.383	2.17E+10	45	0.012	0.008	0.057	0.067	0.013	0.024
B2RYX0	Naca protein	Naca	23.384	140.11	2.82E+09	107	0.012	0.012	0.018	0.034	0.017	0.023
Q5FVN0	Lysophospholipid acyltransferase 5	Lpcat3	56.017	86.6	4.54E+09	109	0.013	0.014	0.010	0.014	0.005	0.014
Q6IN14	Tetraspanin	Cd82	29.416	20.707	3.14E+09	73	0.012	0.014	0.015	0.014	0.006	0.010
Q88656	Actin-related protein 2/3 complex subunit 1B	Arpc1b	41.056	19.233	4.27E+09	24	0.011	0.011	0.010	0.014	0.010	0.010
B2RZ96	LOC689226 protein	Ube2r2	27.166	11.585	2.10E+09	46	0.011	0.013	0.006	0.012	0.003	0.012
A0A0G2K1N3	Porphobilinogen deaminase	Hmbs	37.794	94.72	4.13E+09	184	0.012	0.011	0.004	0.006	0.006	0.013
Q80U96	Exportin-1	Xpo1	123.04	306.65	1.57E+10	575	0.012	0.015	0.007	0.012	0.005	0.013
Q35264	Platelet-activating factor acetylhydrolase IB subunit beta	Pafah1b2	25.581	52.691	1.85E+09	51	0.010	0.008	0.003	0.006	0.003	0.011
D4ADS4	Microsomal glutathione S-transferase 3	Mgst3	16.732	70.738	2.03E+09	46	0.012	0.009	0.021	0.014	0.013	0.030
B2RYM5	Lys-63-specific deubiquitinase BRCC36	Brcc3	33.015	36.614	5.25E+09	176	0.013	0.016	0.010	0.016	0.006	0.014
A0A0G2K0V0	Sorting nexin 22	Snx22	20.788	13.857	1.85E+09	59	0.012	0.015	0.007	0.008	0.003	0.015
F1LQ81	N-ethylmaleimide sensitive fusion protein, isoform CRA_b	Nsf	82.629	301.65	1.88E+10	508	0.013	0.012	0.018	0.025	0.009	0.017
Q68G11	Casein kinase II subunit beta	Csnk2b	24.942	46.101	3.18E+09	115	0.010	0.013	0.013	0.013	0.009	0.020
B0BN55	Uroporphyrinogen decarboxylase	Urod	40.582	81.838	3.09E+09	124	0.011	0.013	0.005	0.010	0.003	0.008
M0R6L9	Ferritin	RGD1560687	20.743	22.236	1.20E+09	59	0.010	0.012	0.003	0.003	0.001	0.003
P54311	Guanine nucleotide-binding protein G	Gnb1	37.377	120.55	3.58E+09	132	0.011	0.017	0.011	0.012	0.008	0.012
D4A4K4	Vacuolar protein sorting 13C	Vps13c	418.62	323.31	5.47E+10	1742	0.011	0.015	0.010	0.015	0.005	0.012
B1WBY1	Cul1 protein	Cul1	89.69	258.81	1.38E+10	338	0.011	0.014	0.008	0.011	0.004	0.013
Q66HR2	Microtubule-associated protein RP/EB family member 1	Mapre1	30.004	91.15	4.44E+09	104	0.011	0.010	0.014	0.009	0.008	0.016
F1LSQ0	FAS-associated factor 1	Faf1	69.722	194.1	6.90E+09	242	0.011	0.012	0.008	0.012	0.006	0.011
P12785	Fatty acid synthase	Fasn	272.65	323.31	3.65E+10	1083	0.010	0.014	0.011	0.017	0.007	0.015
Q9JLZ1	Glutaredoxin-3	Glrx3	37.849	45.919	4.25E+09	127	0.011	0.011	0.006	0.011	0.004	0.011
P13852	Major prion protein	Prnp	27.804	23.702	2.62E+09	55	0.011	0.015	0.014	0.018	0.010	0.015
B1WC34	Protein kinase C substrate 80K-H	Prkcsh	59.218	45.389	2.76E+09	109	0.010	0.011	0.005	0.006	0.002	0.009
E2RUH2	Ribonuclease inhibitor	Rnh1	49.919	287.13	6.52E+09	301	0.010	0.012	0.008	0.010	0.007	0.012
F1LRA1	Protein ERGIC-53	Lman1	57.985	46.07	4.00E+09	90	0.010	0.012	0.002	0.009	0.002	0.010
Q3MIE4	Synaptic vesicle membrane protein VAT-1 homolog	Vat1	43.118	39.633	2.54E+09	120	0.011	0.011	0.005	0.005	0.002	0.004
Q6MGA6	Proteasome subunit beta type	Psmb9	23.343	104.86	4.93E+09	136	0.014	0.021	0.024	0.016	0.024	0.039
Q5XI32	F-actin-capping protein subunit beta	Capzb	30.628	28.237	3.06E+09	94	0.010	0.014	0.004	0.007	0.004	0.011
Q3ZB97	AP complex subunit beta	Ap2b1	105.69	323.31	1.77E+10	382	0.010	0.013	0.013	0.019	0.008	0.019
Q80Z29	Nicotinamide phosphoribosyltransferase	Nampt	55.437	96.28	4.97E+09	210	0.010	0.010	0.005	0.006	0.003	0.007
Q66HI5	Ferritin	Fth1	21.099	21.645	8.48E+08	42	0.009	0.009	0.001	0.002	0.000	0.002
Q6MGC4	H2-K region expressed gene 2, rat orthologue	Pfdn6	14.497	61.232	2.30E+09	114	0.010	0.017	0.009	0.012	0.006	0.013
Q5M965	Probable tRNA	Thg1l	34.849	38.313	3.66E+09	134	0.010	0.011	0.011	0.013	0.006	0.010
P24090	Alpha-2-HS-glycoprotein	Ahsg	37.982	106.49	7.01E+09	122	0.010	0.016	0.044	0.090	0.008	0.018
P26772	10 kDa heat shock protein, mitochondrial	Hspe1	10.902	14.974	2.89E+09	63	0.011	0.017	0.013	0.019	0.013	0.031
P63004	Platelet-activating factor acetylhydrolase IB subunit alpha	Pafah1b1	46.67	79.499	5.55E+09	189	0.009	0.011	0.005	0.009	0.003	0.013
Q99ME0	CXC chemokine RTCK1	Ppbbp	12.159	3.0859	9.55E+08	18	0.010	0.010	0.005	0.024	0.004	0.015
A0A0G2JY31	Alpha-1-antipeptinase	Serpina1	46.121	44.971	7.83E+09	139	0.010	0.014	0.034	0.057	0.006	0.013
P35213-2	14-3-3 protein beta/alpha	Ywhab	27.822	116.04	4.59E+09	173	0.010	0.013	0.009	0.012	0.007	0.012
Q498D8	Ring-box 1	Rbx1	12.274	7.1795	8.57E+08	21	0.012	0.013	0.010	0.013	0.011	0.011
A0A0G2JWC5	TEX13 family member C2	Tex13c2	62.416	3.3934	3.13E+09	48	0.010	0.014	0.008	0.009	0.003	0.007
Q5M7A4	Ubiquitin-like modifier-activating enzyme 5	Uba5	44.895	108.57	3.02E+09	117	0.010	0.008	0.005	0.010	0.002	0.010
Q9Z1X1	Extended synaptotagmin-1	Esyt1	121.16	258.41	1.37E+10	378	0.010	0.012	0.010	0.016	0.007	0.015

Q3B7L3	XK-related protein	Xk	51.121	67.792	4.36E+09	97	9.42E-03	1.03E-02	7.56E-03	1.17E-02	2.07E-03	9.51E-03
Q66HA8	Heat shock protein 105 kDa	Hsph1	96.417	184.71	1.07E+10	489	8.81E-03	1.03E-02	7.03E-03	1.08E-02	3.84E-03	9.35E-03
F2W8B0	Catechol-O-methyltransferase	Comt	29.597	36.835	2.85E+09	136	8.91E-03	1.09E-02	8.19E-03	1.15E-02	3.56E-03	6.48E-03
B0BNE5	S-formylglutathione hydrolase	Esd	31.363	67.184	3.56E+09	111	1.01E-02	1.45E-02	6.66E-03	6.94E-03	4.88E-03	1.47E-02
F1LQP9	Transportin 1	Tnpo1	101.27	107.76	8.06E+09	195	9.98E-03	1.00E-02	6.95E-03	8.96E-03	3.68E-03	1.70E-02
Q6AYD5	G1 to S phase transition 1	Gspt1	68.751	98.575	7.53E+09	233	9.37E-03	1.50E-02	8.69E-03	1.20E-02	6.12E-03	1.48E-02
P20070-3	NADH-cytochrome b5 reductase 3	Cyb5r3	31.591	82.854	2.50E+09	120	1.04E-02	9.83E-03	7.60E-03	8.22E-03	4.74E-03	1.22E-02
Q6PCT3	Tumor protein D54	Tpd52l2	23.992	73.005	2.71E+09	70	1.07E-02	1.26E-02	4.62E-03	6.38E-03	5.42E-03	7.75E-03
P62959	Histidine triad nucleotide-binding protein 1	Hint1	13.777	59.365	2.02E+09	65	8.70E-03	7.98E-03	7.11E-03	7.06E-03	9.02E-03	1.42E-02
Q6P742	Proteolipid protein 2	Plp2	16.556	23.626	1.34E+09	23	9.38E-03	1.08E-02	1.07E-02	1.38E-02	9.45E-03	1.75E-02
A0A0G2K6J5	Myosin light polypeptide 6	Myl6	16.961	63.228	2.71E+09	99	9.11E-03	9.84E-03	1.30E-02	2.28E-02	2.93E-03	1.36E-02
F1M6C4	ADP-ribosylation factor-like GTPase 15	Arl15	22.906	44.242	1.80E+09	89	9.66E-03	1.08E-02	6.14E-03	8.10E-03	3.05E-03	8.64E-03
Q5M9I2	Alpha-mannosidase 2C1	Man2c1	115.84	209.29	9.26E+09	393	9.50E-03	1.16E-02	5.69E-03	1.00E-02	3.63E-03	9.15E-03
A8WCF8	Tumor protein p63-regulated gene 1-like protein	Tprg1l	29.844	222.47	4.02E+09	134	1.01E-02	1.36E-02	7.54E-03	1.26E-02	5.06E-03	1.58E-02
P20059	Hemopexin	Hpx	51.35	86.273	1.30E+10	287	8.82E-03	1.09E-02	4.60E-02	7.01E-02	9.87E-03	2.26E-02
B2RYG6	Ubiquitin thioesterase OTUB1	Otub1	31.27	60.07	2.36E+09	100	8.42E-03	9.94E-03	4.90E-03	4.85E-03	4.65E-03	5.87E-03
A0A096MJ38	Interferon-induced protein with tetratricopeptide repeats 1B-	Ifit1bl	55.128	323.31	3.21E+10	551	8.84E-03	1.28E-02	2.95E-02	4.16E-02	4.83E-02	8.92E-02
P50398	Rab GDP dissociation inhibitor alpha	Gdi1	50.536	169.59	3.70E+09	187	8.28E-03	9.70E-03	3.48E-03	4.61E-03	1.84E-03	6.72E-03
D4A857	Importin 9	Ipo9	116.01	170.79	8.68E+09	294	8.77E-03	1.12E-02	4.23E-03	7.46E-03	3.64E-03	8.88E-03
Q6QMG6	Multidrug resistance-associated protein 4	Abcc4	148.86	120.21	1.14E+10	363	8.34E-03	1.02E-02	5.31E-03	8.15E-03	2.71E-03	7.54E-03
D4A415	Family with sequence similarity 175, member B	Fam175b	47.936	57.474	3.98E+09	153	8.50E-03	9.22E-03	8.57E-03	1.39E-02	6.05E-03	1.30E-02
D3ZPL2	Uncharacterized protein	N/A	11.325	18.144	6.39E+08	29	8.81E-03	1.01E-02	1.18E-02	2.20E-02	2.30E-03	6.64E-03
Q7TPI7	Ac2-269	LOC100911453	37.728	60.058	2.79E+09	105	7.44E-03	1.59E-02	1.07E-02	1.13E-02	2.84E-03	8.40E-03
Q8R3Z7	EH-domain-containing 4	Ehd4	61.467	112.42	5.38E+09	205	8.71E-03	7.61E-03	7.27E-03	8.33E-03	3.92E-03	7.32E-03
A0A0G2JU89	E3 ubiquitin-protein ligase UBR4	Ubr4	573.87	323.31	6.40E+10	2061	8.76E-03	1.16E-02	8.16E-03	1.26E-02	4.94E-03	1.33E-02
B0K030	DnaJ	Dnajb1	38.147	43.541	4.04E+09	156	8.59E-03	1.01E-02	6.76E-03	1.04E-02	6.01E-03	1.01E-02
P20767	Ig lambda-2 chain C region	N/A	11.318	21.04	5.10E+09	57	9.54E-03	1.34E-02	7.81E-02	9.42E-02	1.16E-02	2.64E-02
A0A0G2JSP3	Cullin-3	Cul3	86.467	171.12	9.04E+09	314	8.89E-03	1.15E-02	6.26E-03	9.36E-03	4.38E-03	9.97E-03
P84100	60S ribosomal protein L19	Rpl19	23.466	13.884	9.45E+08	38	6.45E-03	5.97E-03	3.38E-03	4.92E-03	2.48E-03	2.00E-02
D3ZJ32	Extended synaptotagmin 2	Esy2	93.95	177.44	1.07E+10	396	8.83E-03	9.99E-03	8.71E-03	1.14E-02	5.25E-03	1.41E-02
P09527	Ras-related protein Rab-7a	Rab7a	23.504	165.13	5.90E+09	137	7.61E-03	3.48E-03	1.00E-02	1.65E-02	1.33E-02	3.31E-02
Q09073	ADP/ATP translocase 2	Slc25a5	32.901	35.725	4.44E+09	125	7.44E-03	7.87E-03	6.13E-03	7.63E-03	6.67E-03	2.07E-02
P81795	Eukaryotic translation initiation factor 2 subunit 3, X-linked	Eif2s3	51.079	246.73	7.91E+09	235	8.06E-03	1.08E-02	7.37E-03	1.10E-02	6.97E-03	1.99E-02
A0A140TAE0	Major vault protein	Mvp	96.823	310.7	1.43E+10	580	8.22E-03	1.30E-02	9.69E-03	1.62E-02	1.09E-02	2.56E-02
P50408	V-type proton ATPase subunit F	Atp6v1f	13.37	23.522	1.61E+09	56	8.43E-03	1.51E-02	4.79E-03	9.54E-03	2.33E-03	8.54E-03
D3Z8P1	Ring finger protein 7	Rnf7	12.707	3.9484	1.01E+09	20	8.06E-03	5.17E-03	7.14E-03	8.75E-03	8.74E-03	6.68E-03
G3V9C8	ATP-binding cassette subfamily B member 1A	Abcb4	140.62	308.74	1.49E+10	487	8.37E-03	1.14E-02	7.13E-03	9.37E-03	3.84E-03	1.11E-02
M0RBJ7	Complement C3	C3	186.23	228.4	3.19E+10	568	7.67E-03	8.59E-03	3.57E-02	4.43E-02	4.98E-03	9.46E-03
A0A096MKH2	Similar to RIKEN cDNA 1110059P08	Vta1	33.975	171.94	5.77E+09	150	1.01E-02	5.80E-03	2.13E-02	3.03E-02	1.46E-02	2.50E-02
D3ZBM3	Ferrocyclase	Fech	47.551	48.503	7.82E+09	185	7.83E-03	7.16E-03	9.51E-03	1.21E-02	1.02E-02	3.52E-02
D4A3Z3	Similar to CG9339-PA	Tbc1d24	62.808	167.12	5.12E+09	156	7.71E-03	8.37E-03	8.48E-03	7.73E-03	2.85E-03	8.31E-03
G3V6P6	RNA binding motif protein 3, isoform CRA a	Rbm3	16.983	21.183	2.07E+09	50	7.87E-03	7.27E-03	1.01E-02	1.01E-02	6.95E-03	1.12E-02
Q4V7D6	NIF3-like protein 1	Nif3l1	41.518	198.96	3.71E+09	155	7.54E-03	9.55E-03	4.82E-03	7.26E-03	1.93E-03	7.68E-03
P11505-6	Plasma membrane calcium-transporting ATPase 1	Atp2b1	130.62	179.85	1.77E+10	354	8.47E-03	8.27E-03	1.45E-02	2.06E-02	5.97E-03	1.88E-02
B1WBV1	Axin interactor, dorsalization-associated	Aida	34.86	24.108	1.10E+09	52	7.65E-03	2.63E-03	4.23E-04	3.67E-03	6.88E-04	3.94E-03
F8WFH8	Tryptophan--tRNA ligase, cytoplasmic	Wars	53.426	49.246	3.94E+09	156	7.15E-03	7.15E-03	3.02E-03	5.80E-03	2.50E-03	6.00E-03
Q5UAJ6	Cytochrome c oxidase subunit 2	COX2	25.942	15.744	1.58E+09	67	7.84E-03	8.55E-03	7.30E-03	1.05E-02	7.50E-03	2.18E-02

Q5HZV9	Protein phosphatase 1 regulatory subunit 7	Ppp1r7	41.296	323.31	5.84E+09	251	8.85E-03	1.16E-02	4.96E-03	1.08E-02	5.94E-03	1.55E-02
M0RB60	Leucine-rich repeats and immunoglobulin-like domains 1	Lrig1	101.2	163.57	1.11E+10	435	8.60E-03	1.08E-02	1.02E-02	1.23E-02	4.92E-03	1.14E-02
B0BN18	Prefoldin subunit 2	Pfdn2	16.58	39.006	2.93E+09	124	8.11E-03	1.20E-02	8.42E-03	1.59E-02	6.47E-03	1.80E-02
A0A0G2JTN4	Phosphoribosylformylglycinamide synthase-like	Pfas	144.39	247.12	1.11E+10	399	7.85E-03	9.13E-03	6.27E-03	9.42E-03	2.60E-03	8.59E-03
P08082-2	Clathrin light chain B	Cltb	23.12	14.931	1.57E+09	38	6.92E-03	8.80E-03	8.50E-03	9.77E-03	6.03E-03	8.30E-03
D4A5L9	Similar to Cytochrome c, somatic	LOC679794	11.635	15.85	1.64E+09	41	8.71E-03	9.46E-03	9.16E-03	8.98E-03	7.35E-03	2.42E-02
Q6PDW1	40S ribosomal protein S12	Rps12	14.515	89.714	2.61E+09	108	6.60E-03	7.60E-03	1.23E-02	1.41E-02	1.16E-02	2.47E-02
O55096	Dipeptidyl peptidase 3	Dpp3	83.038	142.55	6.96E+09	236	7.75E-03	9.97E-03	4.98E-03	7.59E-03	2.17E-03	5.69E-03
G3V9P0	26S proteasome non-ATPase regulatory subunit 9	Psm9	24.815	20.85	1.72E+09	68	6.43E-03	6.82E-03	4.29E-03	5.24E-03	2.90E-03	8.13E-03
Q4KM35	Proteasome subunit beta type-10	Psm10	29.038	53.029	3.17E+09	79	9.08E-03	1.32E-02	4.99E-03	9.84E-03	7.23E-03	2.26E-02
D4ABI6	Ubiquitin carboxyl-terminal hydrolase	Uchl3	26.109	28.187	1.67E+09	103	6.65E-03	7.09E-03	2.36E-03	3.70E-03	1.07E-03	6.51E-03
Q641Z6	EH domain-containing protein 1	Ehd1	60.602	208.8	1.12E+10	274	7.24E-03	9.38E-03	1.22E-02	1.81E-02	9.14E-03	2.04E-02
B0BNJ9	RCG44002, isoform CRA a	Tmem14c	11.658	7.3641	7.31E+08	26	8.69E-03	2.87E-03	6.57E-03	1.17E-03	6.74E-03	2.19E-02
G3V6T7	Protein disulfide-isomerase A4	Pdia4	72.747	73.095	3.80E+09	172	6.88E-03	9.72E-03	2.64E-03	3.34E-03	1.64E-03	4.85E-03
O54980	Synaptogyrin-2	Syng2	24.711	26.907	7.01E+08	28	6.56E-03	7.75E-03	1.09E-02	7.24E-03	2.80E-03	9.36E-03
P61227	Ras-related protein Rap-2b	Rap2b	20.504	191.13	2.07E+09	114	8.00E-03	1.22E-02	7.35E-03	1.06E-02	5.07E-03	7.05E-03
A0JN29	Limb and neural patterns	Ln timer	42.169	32.821	3.02E+09	64	7.13E-03	7.45E-03	6.99E-03	9.18E-03	3.83E-03	4.58E-03
P09606	Glutamine synthetase	Glul	42.267	96.626	2.35E+09	67	7.13E-03	6.51E-03	3.47E-03	4.72E-03	3.69E-03	1.02E-02
B0BNG3	Lectin, mannose-binding 2	Lman2	40.392	125.05	3.03E+09	113	8.46E-03	1.19E-02	4.75E-03	9.97E-03	2.12E-03	6.94E-03
O70509	CD44 antigen	Cd44	39.725	17.295	2.39E+09	72	7.16E-03	5.48E-03	4.99E-03	1.00E-02	2.33E-03	7.65E-03
F1M403	Ubiquitin-conjugating enzyme E2O	Ube2o	125.27	323.31	2.95E+10	619	7.48E-03	8.84E-03	2.24E-02	3.80E-02	1.42E-02	2.97E-02
F1M978	Inositol-1-monophosphatase	Impa1	30.495	30.928	2.81E+09	102	7.65E-03	7.60E-03	4.26E-03	3.85E-03	7.18E-03	1.00E-02
A0A0G2JY70	Uncharacterized protein	N/A	12.608	13.039	1.99E+09	56	6.05E-03	7.25E-03	6.83E-03	8.10E-03	8.33E-03	2.39E-02
D3ZW55	Inosine triphosphate pyrophosphatase	Itpa	21.927	31.074	1.49E+09	76	7.62E-03	6.60E-03	1.37E-03	3.55E-03	1.70E-03	5.74E-03
A0A0H2UHG3	Cullin-5	Cul5	98.767	98.68	1.20E+10	352	7.08E-03	8.74E-03	5.12E-03	6.69E-03	2.32E-03	6.36E-03
Q5BK53	TNF receptor superfamily member 14	Tnfrsf14	30.376	63.471	1.82E+09	44	8.32E-03	1.01E-02	6.70E-03	1.17E-02	2.83E-03	1.21E-02
P62744	AP-2 complex subunit sigma	Ap2s1	17.018	25.34	2.55E+09	96	8.26E-03	1.39E-02	8.00E-03	1.82E-02	1.09E-02	2.21E-02
D4A746	GDP-mannose pyrophosphorylase B	Gmpppb	39.902	39.922	2.07E+09	121	7.27E-03	6.15E-03	4.20E-03	3.70E-03	1.46E-03	6.46E-03
A0A0G2K542	UDP-glucose pyrophosphorylase 2	Ugp2	56.885	97.122	5.28E+09	178	7.17E-03	9.71E-03	5.42E-03	6.79E-03	4.06E-03	8.48E-03
P50115	Protein S100-A8	S100a8	10.238	78.698	1.06E+10	142	6.39E-03	1.16E-02	7.63E-02	1.54E-01	9.24E-02	7.21E-02
G3V762	Tissue specific transplantation antigen P35B	Tsta3	35.796	130.15	2.38E+09	96	6.32E-03	8.18E-03	2.59E-03	5.93E-03	1.62E-03	6.33E-03
P97608	5-oxoprolinase	Oplah	137.72	268.32	8.13E+09	382	7.16E-03	8.03E-03	4.00E-03	4.86E-03	2.10E-03	5.83E-03
Q6P769	Uncharacterized protein	Nap1l1	45.345	127.67	5.70E+09	114	6.52E-03	9.67E-03	8.55E-03	2.67E-02	5.73E-03	1.12E-02
B2RYU2	RCG45615, isoform CRA a	Rpl12	17.845	70.875	1.99E+09	90	7.38E-03	9.64E-03	4.58E-03	7.23E-03	6.48E-03	1.88E-02
P83941	Elongin-C	Eloc	12.473	49.44	1.12E+09	37	6.43E-03	7.49E-03	5.80E-03	7.99E-03	1.81E-03	8.74E-03
Q8CGU6	Nicastrin	Ncstn	78.399	96.017	3.64E+09	167	6.93E-03	9.64E-03	5.17E-03	5.96E-03	2.21E-03	5.51E-03
B2RYQ2	Serine/threonine-protein phosphatase 2A activator	Ptpa	36.617	35.394	2.32E+09	71	6.99E-03	4.37E-03	2.43E-03	3.53E-03	2.02E-03	7.22E-03
G3V6I9	60S ribosomal protein L26	Rpl26	17.258	5.7227	5.03E+08	20	6.61E-03	5.83E-03	9.57E-04	1.92E-03	1.94E-03	5.31E-03
Q66H18	Synaptophysin-like 1	Sypl1	28.628	11.441	1.87E+09	38	6.96E-03	7.87E-03	6.91E-03	1.03E-03	4.94E-03	1.16E-02
A0A096MJM1	Ras homolog family member G	Rhog	20.622	72.688	2.57E+09	108	7.90E-03	8.78E-03	1.27E-02	1.47E-02	7.83E-03	1.58E-02
Q499P2	Leukotriene A	Lta4h	69.088	104.13	5.16E+09	185	6.59E-03	7.66E-03	2.43E-03	4.03E-03	2.03E-03	6.38E-03
Q07984	Translocon-associated protein subunit delta	Ssr4	18.979	9.4826	4.85E+08	25	6.62E-03	8.68E-03	1.21E-03	2.99E-03	1.67E-03	3.40E-03
D3ZAN3	Alpha glucosidase 2 alpha neutral subunit	Ganab	90.571	78.839	4.06E+09	187	6.82E-03	8.64E-03	2.52E-03	3.74E-03	1.95E-03	6.71E-03
P19945	60S acidic ribosomal protein P0	Rplp0	34.215	83.632	4.12E+09	162	5.81E-03	1.09E-02	7.95E-03	1.31E-02	1.29E-02	2.61E-02
P62332	ADP-ribosylation factor 6	Arf6	20.082	25.714	1.34E+09	65	7.18E-03	5.40E-03	2.14E-03	6.51E-03	7.19E-03	1.13E-02
B5DFM1	Uncharacterized protein	Tom1l1	52.291	109.94	6.15E+09	93	6.52E-03	6.67E-03	9.25E-03	1.39E-02	4.04E-03	3.25E-02
Q80W92	Protein VAC14 homolog	Vac14	88.067	153.04	6.15E+09	247	6.30E-03	9.61E-03	4.43E-03	7.16E-03	3.31E-03	6.42E-03

Q6IN15	Acyl-CoA synthetase long-chain family member 5	Acsl5	76.372	75.226	4.33E+09	195	6.68E-03	8.56E-03	4.17E-03	6.40E-03	1.76E-03	6.64E-03
B2RYA8	DnaJ heat shock protein family	Dnajb2	30.694	47.106	2.07E+09	82	6.72E-03	2.18E-03	9.25E-03	6.62E-03	6.82E-03	7.82E-03
Q5HZE4	Methylthioribose-1-phosphate isomerase	Mri1	39.587	101.36	3.28E+09	142	6.89E-03	8.50E-03	4.40E-03	6.04E-03	4.07E-03	5.78E-03
Q3SWT7	Nuclear receptor binding protein	Nrbp1	59.792	68.888	2.35E+09	134	5.66E-03	5.78E-03	5.21E-03	9.18E-03	1.60E-03	7.23E-03
P15999	ATP synthase subunit alpha, mitochondrial	Atp5a1	59.753	181.12	7.26E+09	201	6.17E-03	7.16E-03	6.09E-03	9.25E-03	7.92E-03	2.03E-02
P07150	Annexin A1	Anxa1	38.829	54.503	5.50E+09	116	6.39E-03	7.67E-03	1.12E-02	1.09E-02	1.26E-02	1.96E-02
Q6P688	S-adenosylmethionine synthase	Mat2a	39.724	42.096	2.03E+09	83	5.66E-03	7.29E-03	2.69E-03	2.86E-03	2.20E-03	3.25E-03
P62907	60S ribosomal protein L10a	Rpl10a	24.831	83.663	3.11E+09	103	6.50E-03	7.50E-03	7.42E-03	9.51E-03	1.14E-02	2.67E-02
Q5XIJ6	BRISC and BRCA1-A complex member 1	Babam1	36.878	40.264	2.27E+09	89	6.17E-03	7.84E-03	7.52E-03	9.86E-03	3.77E-03	6.02E-03
G3V7Y3	ATP synthase subunit delta, mitochondrial	Atp5d	17.563	13.121	5.74E+08	26	5.89E-03	5.76E-03	5.08E-03	8.08E-03	3.11E-03	1.55E-02
Q6AXX5	Retinol dehydrogenase 11	Rdh11	35.121	56.306	1.65E+09	55	6.10E-03	6.50E-03	2.27E-03	3.65E-03	6.20E-04	7.52E-03
A0A0F7RQJ6	D-dopachrome tautomerase	Ddt	13.133	79.172	1.66E+09	64	6.50E-03	6.14E-03	3.13E-03	3.28E-03	3.62E-03	9.08E-03
Q4KMA2	UV excision repair protein RAD23 homolog B	Rad23b	43.496	74.119	2.90E+09	83	7.08E-03	6.22E-03	6.92E-03	1.18E-02	6.65E-03	8.27E-03
F1M9V7	Aminopeptidase	Npepps	103.34	172.15	6.81E+09	284	6.03E-03	8.50E-03	3.40E-03	5.49E-03	1.94E-03	5.73E-03
A0A0G2JUY4	Uncharacterized protein	N/A	12.42	59.078	2.47E+09	60	5.80E-03	8.60E-03	5.40E-02	4.11E-02	1.35E-02	2.01E-02
Q8CG09	Multidrug resistance-associated protein 1	Abcc1	171.49	268.61	1.19E+10	431	6.61E-03	9.29E-03	5.13E-03	6.95E-03	2.82E-03	8.27E-03
D4A9D6	DEAH	Dhx9	131.73	311.18	6.59E+09	236	5.97E-03	6.85E-03	2.01E-03	3.80E-03	2.36E-03	6.27E-03
Q9R066-2	Coxsackievirus and adenovirus receptor homolog	Cxadr	38.799	31.332	2.22E+09	112	5.57E-03	7.35E-03	3.55E-03	5.28E-03	1.59E-03	4.26E-03
Q5M7U6	Actin-related protein 2	Actr2	44.733	69.782	2.84E+09	101	6.27E-03	7.45E-03	8.45E-03	1.09E-02	6.03E-03	1.14E-02
Q5M9H7	DnaJ	Dnaja2	45.745	45.113	3.18E+09	128	5.67E-03	5.84E-03	4.81E-03	7.25E-03	3.15E-03	6.79E-03
Q99PD4	Actin-related protein 2/3 complex subunit 1A	Arpc1a	41.599	88.393	3.67E+09	116	5.24E-03	5.21E-03	5.46E-03	8.73E-03	2.09E-03	8.20E-03
A0A0G2JSJ3	Solute carrier family 2	Slc2a3	53.562	43.86	1.52E+09	58	5.24E-03	1.01E-02	6.28E-03	8.00E-03	1.79E-03	4.75E-03
A0A0G2QC33	Cysteine protease	Atg4b	44.363	117.47	1.93E+09	105	5.28E-03	5.12E-03	8.47E-04	2.46E-03	1.98E-03	5.57E-03
A0A0H2UHS7	60S ribosomal protein L18	Rpl18	21.786	39.365	1.91E+09	81	6.08E-03	6.32E-03	4.91E-03	6.87E-03	9.13E-03	2.21E-02
P61354	60S ribosomal protein L27	Rpl27	15.798	16.294	1.27E+09	56	5.35E-03	5.12E-03	4.11E-03	6.41E-03	7.46E-03	2.47E-02
G3V637	Syntaxin binding protein 2, isoform CRA b	Stxbp2	66.653	115.27	4.07E+09	221	5.23E-03	5.60E-03	2.20E-03	4.20E-03	2.52E-03	7.60E-03
P06765	Platelet factor 4	Pf4	11.286	24.094	8.95E+08	36	6.54E-03	3.87E-03	1.18E-02	9.18E-03	6.69E-03	1.62E-02
Q6P7Q1	BRISC and BRCA1-A complex member 2	Babam2	43.558	80.131	2.90E+09	112	5.45E-03	8.23E-03	4.33E-03	8.15E-03	2.28E-03	6.79E-03
Q45QK2	Guanine nucleotide binding protein gamma 10	Gng10	4.347	4.1732	2.06E+08	15	5.92E-03	7.76E-03	1.95E-03	3.35E-03	1.66E-03	4.23E-03
B2RZ97	LOC684322 protein	Kcmf1	41.805	14.501	2.21E+09	59	5.97E-03	5.56E-03	4.20E-03	6.63E-03	2.20E-03	5.33E-03
Q88377	Phosphatidylinositol 5-phosphate 4-kinase type-2 beta	Pip4k2b	47.263	35.98	2.86E+09	47	4.26E-03	9.91E-03	9.89E-03	1.05E-02	5.20E-03	7.32E-03
P84817-3	Mitochondrial fission 1 protein	Fis1	16.251	7.1168	5.27E+08	28	5.72E-03	6.68E-03	1.97E-03	2.65E-03	2.03E-03	4.80E-03
B5DEN4	L-lactate dehydrogenase	Ldha	36.45	104.04	6.49E+09	202	6.15E-03	5.46E-03	8.34E-03	2.41E-02	8.39E-03	2.63E-02
D4A832	Solute carrier family 43, member 3	Slc43a3	56.008	11.741	1.82E+09	31	5.95E-03	9.04E-03	4.09E-03	6.92E-03	2.71E-03	5.56E-03
Q5M7T6	V-type proton ATPase subunit	Atp6v0d1	40.301	97.16	3.17E+09	112	6.81E-03	1.04E-02	6.65E-03	8.64E-03	4.35E-03	8.74E-03
Q7TP07	Da1-12	Vps13a	166.62	51.274	7.06E+09	193	5.69E-03	6.10E-03	9.15E-04	1.32E-03	1.89E-03	4.82E-03
F1M1H0	Deoxyribose-phosphate aldolase	Dera	35.124	216.81	3.45E+09	135	5.84E-03	7.33E-03	2.91E-03	7.69E-03	3.79E-03	1.05E-02
P68101	Eukaryotic translation initiation factor 2 subunit 1	Eif2s1	36.108	207.63	5.42E+09	190	6.22E-03	6.43E-03	6.57E-03	9.39E-03	5.35E-03	1.40E-02
M0R919	Prefoldin subunit 3	Vbp1	20.929	101.63	2.08E+09	75	4.74E-03	8.38E-03	6.15E-03	7.24E-03	2.33E-03	7.20E-03
B5DEH2	Erlin-2	Erlin2	37.71	32.761	1.49E+09	61	4.77E-03	5.79E-03	1.20E-03	1.89E-03	1.91E-03	4.38E-03
A0A0G2JX25	GMP reductase	Gmpr2	38.047	43.586	2.91E+09	87	6.85E-03	1.03E-02	5.65E-03	7.35E-03	3.69E-03	7.05E-03
Q32Q05	Ubiquitin thioesterase OTU1	Yod1	37.402	96.662	2.30E+09	105	6.72E-03	7.64E-03	1.21E-03	3.36E-03	3.46E-03	5.79E-03
A0A0G2JXC3	40S ribosomal protein S21	Rps21	8.866	44.273	1.52E+09	48	6.38E-03	5.13E-03	5.20E-03	8.70E-03	9.68E-03	2.54E-02
B5DER3	Hypertrophic agonist responsive protein B64, isoform CRA b	lah1	28.004	35.809	1.15E+09	68	6.04E-03	5.89E-03	1.64E-03	3.71E-03	2.61E-03	4.74E-03
D3ZYR1	F-BAR domain only protein 2	Fcho2	88.711	74.411	4.40E+09	145	5.66E-03	7.94E-03	2.74E-03	6.01E-03	2.13E-03	6.33E-03
A0A0G2JYA3	Signal peptide peptidase-like 2A	Sppl2a	57.917	10.215	1.61E+09	49	5.29E-03	6.54E-03	3.10E-03	4.61E-03	2.28E-03	7.41E-03
Q4V8H5	Aspartyl aminopeptidase	Dnpep	52.555	123.53	4.63E+09	178	5.22E-03	9.41E-03	4.31E-03	6.15E-03	1.16E-02	8.41E-03

B1H264	TBC1 domain family, member 17	Tbc1d17	72.795	73.218	4.82E+09	146	6.43E-03	5.99E-03	5.61E-03	9.43E-03	3.27E-03	8.56E-03
Q62720	Zinc transporter 1	Slc30a1	55.142	76.93	3.40E+09	90	6.25E-03	3.47E-03	3.53E-03	8.75E-03	2.77E-03	1.48E-02
G3V9K0	Cysteinyl-tRNA synthetase	Cars	85.593	168.21	6.21E+09	238	4.94E-03	6.67E-03	5.66E-03	7.73E-03	3.56E-03	6.59E-03
D3ZD11	Signal peptidase complex subunit 2	Spcs2	24.973	10.426	8.03E+08	14	4.47E-03	5.37E-03	1.19E-03	2.29E-03	1.27E-03	2.93E-03
A0A0H2UHE5	Protein phosphatase 1A	Ppm1a	53.464	38.322	3.41E+09	94	5.29E-03	4.96E-03	4.19E-03	7.25E-03	3.73E-03	6.02E-03
Q6IRL3	Reticulon	Rtn4	38.822	29.389	1.09E+09	45	5.24E-03	4.83E-03	3.88E-03	3.83E-03	9.66E-04	6.46E-03
D4AAM0	Transportin 3	Tnpo3	104.18	323.31	6.83E+09	287	5.08E-03	8.37E-03	4.88E-03	7.16E-03	2.21E-03	7.71E-03
P02767	Transthyretin	Ttr	15.72	17.877	2.40E+09	66	6.44E-03	1.07E-02	3.18E-02	4.37E-02	9.32E-03	1.49E-02
Q6AYD3	Proliferation-associated protein 2G4	Pa2g4	43.656	47.183	3.30E+09	152	4.91E-03	5.14E-03	2.48E-03	3.87E-03	4.05E-03	1.18E-02
P34058	Heat shock protein HSP 90-beta	Hsp90ab1	83.28	71.689	5.37E+09	171	5.32E-03	7.10E-03	3.01E-03	6.41E-03	3.84E-03	8.01E-03
A0A0G2K9A2	Arp2/3 complex 34 kDa subunit	Arpc2	34.347	65.404	3.49E+09	148	4.65E-03	4.10E-03	6.97E-03	1.02E-02	4.33E-03	1.03E-02
Q9EPH8	Polyadenylate-binding protein 1	Pabpc1	70.7	68.009	3.90E+09	120	4.66E-03	6.24E-03	4.08E-03	2.47E-03	4.00E-03	9.37E-03
D3ZUC9	Oxidative-stress responsive 1	Oxsr1	58.204	73.388	4.44E+09	192	5.54E-03	5.05E-03	4.27E-03	6.55E-03	1.12E-02	9.89E-03
B6DYQ5	Glutathione S-transferase omega 1	N/A	27.669	59.819	2.09E+09	80	6.08E-03	5.39E-03	1.20E-03	2.82E-03	2.07E-03	8.56E-03
A1L1J8	RAB5B, member RAS oncogene family	Rab5b	23.674	117.85	3.41E+09	98	5.85E-03	2.82E-03	1.20E-02	2.34E-02	5.90E-03	2.04E-02
D3ZKT8	HD domain containing 2	Hddc2	22.988	106.75	1.66E+09	70	6.30E-03	1.27E-02	5.17E-03	4.80E-03	4.17E-03	5.21E-03
P09456	cAMP-dependent protein kinase type I-alpha regulatory	Prkar1a	43.094	48.144	2.41E+09	83	4.93E-03	5.30E-03	4.53E-03	4.75E-03	2.37E-03	5.41E-03
G3V7I2	Raftlin lipid raft linker 1	Rftn1	61.283	20.628	2.75E+09	109	4.90E-03	6.31E-03	5.55E-03	6.92E-03	8.52E-04	3.32E-03
D3ZTX0	Transmembrane emp24 domain-containing protein 7	Tmed7	25.479	23.913	1.76E+09	47	5.00E-03	7.20E-03	4.26E-03	4.54E-03	2.08E-03	9.70E-03
G3V6N2	Transmembrane emp24 protein transport domain containing	Tmed4	26.117	58.686	1.08E+09	61	4.84E-03	6.23E-03	1.62E-03	3.42E-03	1.10E-03	4.22E-03
F7EUK4	Kininogen 1	Kng1	47.928	80.996	6.72E+09	202	5.27E-03	6.52E-03	2.34E-02	3.78E-02	3.66E-03	8.32E-03
D4ABS5	PITH domain-containing 1	Pithd1	13.748	10.779	2.52E+09	27	4.60E-03	2.92E-03	3.40E-03	6.10E-03	1.20E-02	1.70E-02
G3V6P7	Myosin, heavy polypeptide 9, non-muscle	Myh9	226.41	323.31	1.69E+10	769	4.75E-03	5.32E-03	8.50E-03	1.18E-02	3.01E-03	1.03E-02
Q6IN22	Cathepsin B	Ctsb	37.544	31.21	1.58E+09	77	5.37E-03	6.36E-03	2.92E-03	3.59E-03	1.62E-03	6.27E-03
Q6P136	Hyou1 protein	Hyou1	111.22	67.491	2.86E+09	166	4.20E-03	4.75E-03	1.89E-03	2.03E-03	1.35E-03	2.63E-03
Q2PQA9	Kinesin-1 heavy chain	Kif5b	109.53	302.79	7.87E+09	388	4.77E-03	6.44E-03	4.40E-03	5.75E-03	2.63E-03	6.34E-03
F7ESM5	Nitrilase 1, isoform CRA a	Nit1	32.033	48.906	1.51E+09	95	5.06E-03	5.75E-03	1.15E-03	1.44E-03	1.63E-03	3.32E-03
MOR8J3	Junction-mediating and regulatory protein	Jmy	110	9.6316	1.81E+09	12	4.54E-03	1.92E-04	4.83E-05	1.34E-04	3.85E-05	2.49E-03
P47875	Cysteine and glycine-rich protein 1	Csrp1	20.613	40.615	1.89E+09	96	4.52E-03	2.09E-03	1.03E-02	1.48E-02	3.97E-03	8.64E-03
P14046	Alpha-1-inhibitor 3	A1i3	163.77	234.34	1.43E+10	398	4.53E-03	8.25E-03	2.08E-02	3.41E-02	3.80E-03	1.10E-02
Q4V7D1	Signal sequence receptor, alpha	Ssr1	32.207	14.568	7.45E+08	42	4.72E-03	8.77E-03	1.77E-03	3.17E-03	1.56E-03	3.62E-03
D2XV59	GTP-binding protein 1	Gtpbbp1	72.488	171.22	4.10E+09	197	4.26E-03	5.15E-03	3.08E-03	5.37E-03	2.79E-03	7.26E-03
G3V6F4	O-linked N-acetylglucosamine	Ogt	115.73	114.95	4.86E+09	254	4.67E-03	4.76E-03	2.52E-03	4.34E-03	1.33E-03	4.82E-03
G3V8Z9	COP9	Cops7a	30.219	69.035	1.33E+09	62	3.66E-03	4.53E-03	3.44E-03	2.62E-03	1.53E-03	4.71E-03
Q5U2Z3	Nucleosome assembly protein 1-like 4	Nap1l4	43.916	82.22	4.36E+09	96	4.32E-03	4.01E-03	1.02E-02	1.37E-02	4.49E-03	7.29E-03
D4A0T8	Dehydrogenase/reductase 7	Dhrs7	38.493	58.85	2.24E+09	126	3.85E-03	6.28E-03	4.88E-03	6.99E-03	2.98E-03	7.02E-03
A0A0G2K9J2	ATPase H+-transporting V1 subunit H	Atp6v1h	55.868	88.981	3.09E+09	137	4.81E-03	7.72E-03	2.87E-03	5.74E-03	2.02E-03	5.11E-03
G3V6A6	Similar to RIKEN cDNA 2610002M06	RGD1566265	22.161	3.6929	4.49E+08	13	3.82E-03	3.00E-03	1.01E-03	1.61E-03	9.59E-04	3.19E-03
D3ZD23	ATP-binding cassette subfamily E member 1	Abce1	67.3	114.49	4.58E+09	157	4.73E-03	7.66E-03	6.04E-03	8.01E-03	3.65E-03	5.38E-03
A0A0G2K761	Cullin 2	Cul2	86.968	78.458	4.54E+09	229	4.53E-03	6.14E-03	2.97E-03	5.05E-03	2.13E-03	4.86E-03
Q6AZ50	Ubiquitin-like-conjugating enzyme ATG3	Atg3	35.822	28.401	1.46E+09	90	4.68E-03	6.21E-03	3.54E-03	5.52E-03	2.66E-03	6.83E-03
A0A096MJP9	DNA damage-inducible 1 homolog 2	Ddi2	106.03	131.36	4.59E+09	200	4.01E-03	3.44E-03	4.66E-03	5.04E-03	2.45E-03	4.09E-03
B5DF55	RCG55706	Stam	59.591	92.681	2.55E+09	95	3.88E-03	7.70E-03	2.93E-03	6.69E-03	2.15E-03	5.33E-03
COJPT7	Filamin A	Flna	280.49	320.02	1.55E+10	700	4.33E-03	4.24E-03	6.86E-03	7.98E-03	2.51E-03	7.30E-03
P85973	Purine nucleoside phosphorylase	Pnp	32.302	109.57	2.38E+09	150	3.76E-03	3.66E-03	2.42E-03	4.63E-03	4.42E-03	6.69E-03
Q2I6B3	V-type proton ATPase subunit a	Atp6v0a1	96.428	72.827	3.38E+09	172	4.35E-03	5.94E-03	3.56E-03	4.75E-03	2.31E-03	4.92E-03
Q71SY3	Translin	Tsn	26.171	44.941	2.49E+09	78	4.31E-03	7.05E-03	5.97E-03	1.11E-02	5.90E-03	1.26E-02

P61023	Calcineurin B homologous protein 1	Chp1	22.432	21.284	7.82E+08	54	4.02E-03	4.42E-03	3.58E-03	4.10E-03	2.92E-03	4.34E-03
B0BNM0	Tmem222 protein	Tmem222	23.282	11.762	6.61E+08	17	3.76E-03	3.62E-03	2.75E-03	3.75E-03	1.06E-03	3.13E-03
A0A0G2K8F7	Ubiquitin-conjugating enzyme E2A	Ube2a	17.315	4.8314	2.70E+08	3	3.28E-03	2.05E-03	2.50E-03	3.80E-03	2.07E-03	4.96E-03
P38983	40S ribosomal protein SA	Rpsa	32.824	163	2.30E+09	89	3.95E-03	3.49E-03	2.76E-03	4.75E-03	6.23E-03	1.40E-02
P62832	60S ribosomal protein L23	Rpl23	14.865	20.727	1.02E+09	45	3.96E-03	1.10E-03	1.87E-03	3.07E-03	4.46E-03	7.60E-03
A0A0H2UHF6	PRA1 family protein	Arl6ip5	23.639	12.466	5.32E+08	37	3.01E-03	5.14E-03	2.12E-03	5.92E-03	1.27E-03	3.15E-03
A0A0G2JWM2	NAD-dependent protein deacetylase sirtuin-2	Sirt2	43.163	122.56	2.58E+09	84	3.39E-03	3.27E-03	2.67E-03	6.63E-03	1.87E-03	5.85E-03
P05197	Elongation factor 2	Eef2	95.283	221.07	5.67E+09	229	4.07E-03	4.21E-03	3.12E-03	3.55E-03	4.47E-03	9.69E-03
A1L114	Fga protein	Fga	60.504	71.571	4.39E+09	119	3.52E-03	4.53E-03	2.20E-02	2.61E-02	2.63E-03	4.47E-03
Q7TP61	Ab2-076	Acat2	103.31	35.935	2.26E+09	85	3.56E-03	3.79E-03	1.94E-03	2.30E-03	1.58E-03	1.71E-03
G3V7H2	Multiple inositol polyphosphate phosphatase 1	Minpp1	54.599	33.999	1.51E+09	99	3.62E-03	5.07E-03	1.27E-03	1.75E-03	1.43E-03	3.30E-03
D3ZQ02	WD repeat domain 37	Wdr37	49.872	37.116	1.87E+09	69	3.68E-03	3.68E-03	2.48E-03	3.73E-03	1.28E-03	3.85E-03
G3V679	Transferrin receptor protein 1	Tfrc	85.875	178.32	1.64E+10	395	4.02E-03	3.17E-03	1.92E-02	1.78E-02	1.66E-02	2.86E-02
P67779	Prohibitin	Phb	29.82	49.724	1.34E+09	100	3.35E-03	3.43E-03	2.39E-03	2.44E-03	1.70E-03	7.04E-03
D4A6W6	Similar to 60S ribosomal protein L8	RGD1561333	28.156	13.924	1.24E+09	36	3.92E-03	3.29E-03	3.55E-03	3.38E-03	4.65E-03	9.88E-03
P51583	Multifunctional protein ADE2 [Includes:	Paics	47.096	60.501	1.88E+09	84	4.05E-03	4.85E-03	1.14E-03	2.71E-03	1.76E-03	5.88E-03
M0RCP9	Peptidyl-prolyl cis-trans isomerase	Pin4	13.815	19.471	8.60E+08	40	3.63E-03	2.60E-03	4.89E-03	2.67E-03	7.59E-03	1.08E-02
B0BMW0	RAB14, member RAS oncogene family	Rab14	23.897	35.006	2.84E+09	137	4.14E-03	2.98E-03	8.01E-03	1.00E-02	1.20E-02	1.58E-02
Q9EQS0	Transaldolase	Taldo1	37.46	20.418	1.45E+09	65	4.46E-03	3.47E-03	7.22E-04	2.40E-03	2.17E-03	5.12E-03
P38918	Aflatoxin B1 aldehyde reductase member 3	Akr7a3	36.747	35.996	1.95E+09	104	3.57E-03	3.09E-03	1.91E-03	3.68E-03	1.85E-03	5.89E-03
Q5I0D7	Xaa-Pro dipeptidase	Peptd	54.75	65.756	1.81E+09	89	3.68E-03	6.51E-03	1.67E-03	1.59E-03	1.56E-03	3.09E-03
P47942	Dihydropyrimidinase-related protein 2	Dpysl2	62.277	74.383	2.44E+09	134	3.75E-03	4.96E-03	1.17E-03	3.21E-03	1.54E-03	3.18E-03
Q641Y5	Ubiquitin-like modifier-activating enzyme ATG7	Atg7	77.435	99.565	2.72E+09	169	3.94E-03	4.29E-03	1.08E-04	3.51E-04	9.10E-04	2.78E-03
Q5RJS3	Family with sequence similarity 96, member A	Fam96a	18.382	5.4092	6.28E+08	25	4.13E-03	5.55E-03	3.06E-03	3.86E-03	1.53E-03	3.01E-03
A1L1M0	Protein kinase, cAMP-dependent, catalytic, alpha	Prkaca	40.605	27.338	4.89E+09	88	4.23E-03	2.99E-02	3.00E-03	3.25E-02	8.97E-04	5.05E-03
O70377	Synaptosomal-associated protein 23	Snap23	23.235	164.33	1.03E+10	201	4.51E-03	2.56E-03	6.17E-02	7.51E-02	2.02E-02	3.42E-02
Q6AXT5	Ras-related protein Rab-21	Rab21	24.163	49.742	2.65E+09	88	4.19E-03	9.52E-04	1.03E-02	1.70E-02	6.23E-03	1.70E-02
A0JPI7	Obg-like ATPase 1	Ola1	44.535	18.218	1.50E+09	56	4.06E-03	4.78E-03	2.45E-03	1.90E-03	4.06E-03	1.94E-03
D3ZF11	Hepatitis B virus x interacting protein	Lamtor5	16.39	29.22	4.97E+08	20	3.38E-03	2.73E-03	9.44E-04	7.30E-04	7.74E-04	3.73E-03
Z4YNF4	Low molecular weight phosphotyrosine protein phosphatase	Acp1	18.215	33.177	6.26E+08	48	2.60E-03	1.91E-03	2.33E-03	2.37E-03	2.88E-03	3.96E-03
X1WI37	40S ribosomal protein S4	Rps4x	29.466	53.028	2.97E+09	105	3.48E-03	4.17E-03	4.94E-03	4.97E-03	5.89E-03	1.54E-02
A0A0G2JXG3	Cell cycle control protein 50A	Tmem30a	41.095	30.383	1.12E+09	65	3.81E-03	3.43E-03	4.18E-03	3.40E-03	1.79E-03	4.10E-03
P31044	Phosphatidylethanolamine-binding protein 1	Pebp1	20.801	163.34	1.66E+09	72	4.09E-03	3.92E-03	2.59E-03	3.16E-03	4.12E-03	1.02E-02
D4A3E2	Aminopeptidase-like 1	Npepl1	43.682	36.298	1.13E+09	66	3.35E-03	6.46E-03	4.37E-04	1.88E-03	2.84E-04	2.05E-03
P54921	Alpha-soluble NSF attachment protein	Napa	33.192	92.291	1.70E+09	115	3.89E-03	2.80E-03	1.28E-03	2.26E-03	1.98E-03	7.76E-03
Q6P3V8	Eukaryotic translation initiation factor 4A1	Eif4a1	46.153	55.836	2.36E+09	114	3.81E-03	1.70E-03	1.71E-03	2.51E-03	3.99E-03	7.71E-03
Q68FY0	Cytochrome b-c1 complex subunit 1, mitochondrial	Uqcrc1	52.848	39.237	1.52E+09	93	2.97E-03	3.30E-03	2.83E-03	2.89E-03	1.88E-03	5.95E-03
P50475	Alanine--tRNA ligase, cytoplasmic	Aars	106.79	154.67	3.55E+09	251	3.22E-03	2.99E-03	1.21E-03	2.72E-03	1.26E-03	4.41E-03
Q3B7D0	Oxygen-dependent coproporphyrinogen-III oxidase,	Cpox	49.278	121.1	4.96E+09	193	3.41E-03	4.79E-03	4.43E-03	5.08E-03	8.26E-03	1.79E-02
Q6PDV6	40S ribosomal protein S14-like	LOC100911847	16.273	20.989	9.17E+08	53	4.16E-03	3.24E-03	5.77E-03	7.90E-03	1.26E-02	1.78E-02
A0A0H2UHU0	40S ribosomal protein S25	Rps25	13.611	4.9596	4.62E+08	25	3.53E-03	3.98E-03	3.79E-03	2.53E-03	1.69E-03	5.64E-03
P63039	60 kDa heat shock protein, mitochondrial	Hspd1	60.955	199.57	5.30E+09	205	3.79E-03	4.34E-03	9.67E-03	6.16E-03	6.01E-03	1.14E-02
Q6AYS7	Aminoacylase-1A	Acy1a	45.804	29.193	1.25E+09	46	3.66E-03	2.34E-03	2.50E-04	5.44E-04	9.05E-05	7.50E-04
Q4QR73	DnaJ	Dnaja4	61.875	42.9	3.62E+09	179	3.37E-03	5.04E-03	3.76E-03	5.77E-03	2.52E-03	4.56E-03
M0RD75	40S ribosomal protein S6	Rps6	28.421	24.776	9.65E+08	61	3.70E-03	1.14E-03	5.11E-03	3.65E-03	5.83E-03	1.14E-02
P22062	Protein-L-isoaspartate	Pcmt1	24.641	28.559	5.45E+08	37	2.69E-03	2.31E-03	2.23E-03	2.06E-03	1.97E-03	1.91E-03
F1LMT8	Rab3 GTPase-activating protein non-catalytic subunit	Rab3gap2	151.61	77.883	3.37E+09	199	3.41E-03	3.03E-03	1.22E-03	2.60E-03	9.97E-04	2.51E-03

G3V8K7	Signal transducer and activator of transcription	Stat5a	90.793	118.52	6.03E+09	258	3.52E-03	3.53E-03	4.13E-03	5.82E-03	1.85E-03	6.38E-03
F1LVZ9	HECT domain E3 ubiquitin protein ligase 3	Hectd3	97.272	70.966	3.32E+09	191	3.27E-03	3.96E-03	1.91E-03	3.23E-03	1.06E-03	3.17E-03
F1M013	60S ribosomal protein L7a	Rpl7a	29.864	15.425	1.23E+09	46	3.42E-03	2.79E-03	3.20E-03	3.35E-03	7.71E-03	1.14E-02
A0A0G2JV31	X-prolyl aminopeptidase	Xpnpep1	74.667	63.572	3.45E+09	179	3.81E-03	5.14E-03	2.00E-03	4.04E-03	2.04E-03	4.12E-03
P10111	Peptidyl-prolyl cis-trans isomerase A	Ppia	17.874	17.639	1.03E+09	57	3.15E-03	2.64E-03	3.72E-03	4.69E-03	1.21E-03	8.62E-03
D3Z955	Phosphoglucosyltransferase 2-like 1	Pgm2l1	70.234	46.23	1.58E+09	87	2.86E-03	1.70E-03	7.35E-04	1.30E-03	5.79E-04	2.17E-03
B1H267	Sorting nexin-5	Snx5	46.793	44.282	2.21E+09	157	3.35E-03	3.41E-03	2.02E-03	3.56E-03	2.46E-03	5.78E-03
A0A0H2UHM3	Haptoglobin	Hp	38.432	37.555	5.52E+09	131	2.93E-03	2.76E-03	3.14E-02	4.56E-02	4.58E-03	1.13E-02
P68255	14-3-3 protein theta	Ywhaq	27.778	188.98	2.46E+09	137	3.68E-03	6.94E-03	4.08E-03	5.32E-03	6.11E-03	9.73E-03
P04636	Malate dehydrogenase, mitochondrial	Mdh2	35.683	58.622	2.35E+09	127	3.22E-03	4.64E-03	4.46E-03	4.53E-03	4.18E-03	1.28E-02
D4A6G6	Ribosomal protein S19-like	LOC100362339	16.117	30.715	1.80E+09	72	3.12E-03	3.16E-03	3.28E-03	3.29E-03	7.45E-03	1.75E-02
A0A0G2JSK5	Integrin beta	Itgb1	88.344	85.727	2.33E+09	92	2.88E-03	4.17E-03	2.58E-03	2.42E-03	1.95E-03	6.54E-03
Q35263	Platelet-activating factor acetylhydrolase IB subunit gamma	Pafah1b3	25.863	24.541	1.18E+09	50	2.99E-03	1.82E-03	8.23E-04	8.92E-04	8.58E-04	5.04E-03
Q9Z2L0	Voltage-dependent anion-selective channel protein 1	Vdac1	30.755	106.6	1.99E+09	88	2.91E-03	2.64E-03	4.58E-03	4.48E-03	2.76E-03	8.71E-03
Q6P7D2	Arginyl aminopeptidase	Rnpep	72.603	58.96	2.21E+09	140	3.15E-03	4.32E-03	1.88E-03	2.86E-03	6.78E-04	3.49E-03
P84083	ADP-ribosylation factor 5	Arf5	20.529	18.535	8.18E+08	41	2.43E-03	4.38E-03	2.20E-03	4.95E-03	2.77E-03	3.21E-03
A0A0G2K757	Dolichyl-diphosphooligosaccharide--protein	Rpn2	69.122	63.52	8.45E+08	48	3.00E-03	3.57E-03	1.18E-04	2.71E-04	2.22E-04	2.61E-03
P46413	Glutathione synthetase	Gss	52.344	54.12	2.27E+09	81	3.36E-03	4.27E-03	2.67E-03	3.49E-03	1.74E-03	3.59E-03
D3ZN27	DnaJ heat shock protein family	Dnajc13	254.51	323.31	1.24E+10	690	3.41E-03	4.31E-03	3.14E-03	4.94E-03	2.21E-03	6.09E-03
Q6P7S6	Clusterin	Clu	51.464	78.681	1.70E+09	60	2.33E-03	3.93E-03	4.85E-03	6.99E-03	8.17E-04	3.89E-03
D3ZPU3	Very-long-chain 3-oxoacyl-CoA reductase	Hsd17b12	32.129	18.438	6.66E+08	29	2.88E-03	4.16E-03	4.10E-04	1.75E-03	8.25E-04	1.64E-03
A0A0G2K212	Carboxylic ester hydrolase	Ache	58.976	52.236	1.26E+09	86	3.39E-03	3.59E-03	1.50E-03	2.73E-03	9.60E-04	2.63E-03
P09895	60S ribosomal protein L5	Rpl5	34.458	18.838	1.50E+09	48	3.25E-03	1.83E-03	1.60E-03	2.81E-03	2.15E-03	1.55E-02
P81155	Voltage-dependent anion-selective channel protein 2	Vdac2	31.745	16.492	1.71E+09	65	2.78E-03	2.83E-03	2.59E-03	4.14E-03	2.84E-03	8.01E-03
F1LUA1	Early endosome antigen 1	Eea1	161.1	155.26	5.07E+09	320	2.92E-03	4.42E-03	1.59E-03	3.12E-03	7.87E-04	1.99E-03
F1LUT4	Phospholipid-transporting ATPase	Atp8a1	110.95	69.687	2.48E+09	169	3.11E-03	3.56E-03	1.61E-03	2.19E-03	6.36E-04	2.31E-03
M0RCY2	Similar to ribosomal protein S13	LOC683961	17.773	10.8	1.42E+09	24	3.19E-03	5.12E-03	3.46E-03	5.17E-03	8.82E-04	1.12E-02
B2RYR8	40S ribosomal protein S8	Rps8	24.205	24.186	1.04E+09	49	2.10E-03	2.88E-03	1.35E-03	3.57E-03	4.99E-03	6.68E-03
Q68FP1	Gelsolin	Gsn	86.067	166.9	8.36E+09	193	2.91E-03	4.22E-03	2.99E-02	4.05E-02	2.84E-03	7.51E-03
P62909	40S ribosomal protein S3	Rps3	26.674	46.236	3.46E+09	105	3.57E-03	3.06E-03	3.82E-03	4.95E-03	5.55E-03	1.62E-02
I6L9G6	RCG31562, isoform CRA c	Tardbp	32.147	32.064	1.14E+09	62	3.57E-03	4.75E-03	2.36E-03	3.61E-03	1.91E-03	5.67E-03
Q4KLZ3	DAZ associated protein 1, isoform CRA a	Dazap1	43.086	21.756	6.84E+08	47	1.96E-03	2.28E-03	1.70E-03	3.48E-03	4.19E-04	3.46E-03
A0A0A0MXY3	Casein kinase I isoform gamma-3	Csnk1g3	51.309	21.951	1.45E+09	78	3.03E-03	3.46E-03	1.84E-03	1.99E-03	1.24E-03	2.59E-03
B4F7A9	Casein kinase 2 alpha 2	Csnk2a2	41.201	45.308	2.51E+09	120	3.22E-03	3.39E-03	4.07E-03	6.16E-03	1.88E-03	6.08E-03
F1LRJ9	Selenium-binding protein 1	Selenbp1	55.107	121.62	3.21E+09	127	2.79E-03	1.09E-03	2.62E-04	5.48E-04	1.11E-03	2.18E-03
Q66WT9	Clathrin-assembly lymphoid myeloid leukemia protein	Picalm	64.713	45.693	2.62E+09	106	3.04E-03	2.55E-03	4.28E-03	4.21E-03	3.76E-03	6.28E-03
P54319	Phospholipase A-2-activating protein	Plaa	87.083	158.4	4.50E+09	217	3.04E-03	2.50E-03	2.57E-03	3.91E-03	3.15E-03	4.73E-03
Q5U1Z2	Trafficking protein particle complex subunit 3	Trappc3	20.302	11.472	6.13E+08	29	2.72E-03	4.95E-03	2.16E-03	3.37E-03	1.09E-03	2.60E-03
A0A140TAB3	Kinesin light chain 1	Klc1	62.852	79.729	2.72E+09	161	2.95E-03	3.96E-03	2.37E-03	3.49E-03	1.58E-03	3.44E-03
Q9EST6	Acidic leucine-rich nuclear phosphoprotein 32 family member	Anp32b	31.06	53.615	1.96E+09	47	3.05E-03	4.83E-03	7.24E-03	1.11E-02	3.05E-03	1.57E-02
G3V743	Mannosyl-oligosaccharide glucosidase	LOC103692171	81.025	35.747	1.65E+09	113	2.79E-03	3.51E-03	7.01E-04	1.78E-03	7.38E-04	1.94E-03
Q6P790	60S ribosomal protein L6	Rpl6	33.473	21.98	1.67E+09	66	2.80E-03	1.51E-03	2.29E-03	3.43E-03	5.34E-03	1.14E-02
Q6P503	ATPase H+-transporting V1 subunit D	Atp6v1d	28.309	23.713	1.20E+09	68	2.62E-03	5.53E-03	4.02E-03	2.72E-03	1.02E-03	4.69E-03
F7FLB2	Pgm2 protein	Pgm2	69.057	46.602	1.94E+09	136	2.52E-03	2.84E-03	7.12E-04	1.52E-03	1.24E-03	2.29E-03
B2RZ20	SS nuclear autoantigen 1	Ssna1	13.557	13.727	7.21E+08	34	3.22E-03	3.58E-03	2.14E-03	4.68E-03	1.48E-03	4.03E-03
P62845	40S ribosomal protein S15	Rps15	17.04	14.464	6.84E+08	39	2.61E-03	2.04E-03	2.38E-03	4.16E-03	5.56E-03	7.55E-03
P14480-2	Fibrinogen beta chain	Fgb	56.612	90.97	4.28E+09	141	2.72E-03	3.37E-03	1.54E-02	1.89E-02	3.67E-03	4.52E-03

Q3T1K5	F-actin-capping protein subunit alpha-2	Capza2	32.967	31.694	5.64E+08	31	2.88E-03	3.58E-03	4.03E-04	1.18E-03	5.80E-04	2.78E-03
P13221	Aspartate aminotransferase, cytoplasmic	Got1	46.428	37.982	1.02E+09	80	2.76E-03	2.84E-03	1.01E-03	1.41E-03	8.16E-04	1.56E-03
A0A0G2K3A0	Serine/threonine-protein kinase WNK1	Wnk1	229.5	67.734	6.99E+09	167	3.51E-03	3.86E-03	5.09E-03	4.86E-03	2.33E-03	6.76E-03
G3V6H0	RAB1B, member RAS oncogene family-like	LOC100363782	22.177	29.298	2.45E+09	74	2.79E-03	1.43E-03	9.20E-03	1.07E-02	5.72E-03	1.07E-02
A0A0H2UHJ1	Protein S100-A9	S100a9	15.22	15.974	7.72E+09	83	2.94E-03	4.49E-03	6.75E-02	6.76E-02	7.49E-02	6.24E-02
Q9JJ54-4	Heterogeneous nuclear ribonucleoprotein D0	Hnrnpd	30.496	10.657	1.08E+09	22	2.13E-03	2.25E-03	3.94E-03	6.46E-03	6.76E-04	3.85E-03
P70500	CDP-diacylglycerol--inositol 3-phosphatidyltransferase	Cdipt	23.613	6.2255	4.72E+08	11	2.86E-03	2.61E-03	1.24E-03	2.01E-03	1.59E-03	2.78E-03
Q6TXG7	Serine hydroxymethyltransferase	Shmt1	75.373	89.736	4.48E+09	134	2.89E-03	4.44E-03	4.22E-03	6.03E-03	2.01E-03	4.12E-03
B0K031	60S ribosomal protein L7	Rpl7	30.313	22.413	1.75E+09	78	2.92E-03	3.46E-03	4.65E-03	3.32E-03	8.01E-03	1.10E-02
F1M775	Diaphanous-related formin 1	Diaph1	140.3	98.383	3.77E+09	190	2.86E-03	3.72E-03	1.02E-03	1.18E-03	1.55E-03	4.32E-03
B1WC26	N-acetylneuraminase synthase	Nans	40.051	19.497	8.38E+08	68	2.97E-03	2.18E-03	1.03E-03	1.91E-03	9.78E-04	3.43E-03
M0R735	Heterogeneous nuclear ribonucleoprotein Q	Syncrip	62.672	69.478	3.10E+09	153	3.06E-03	2.91E-03	2.76E-03	4.71E-03	2.05E-03	6.23E-03
A0A0G2KB63	Prohibitin-2	Phb2	33.168	24.609	1.16E+09	69	2.31E-03	2.65E-03	1.46E-03	1.99E-03	1.61E-03	4.53E-03
D3ZM69	Erythrocyte membrane protein band 4.1-like 2	Epb41l2	110.71	76.319	5.59E+09	129	2.63E-03	3.86E-03	3.29E-03	3.66E-03	1.15E-03	2.29E-03
Q6TUG0	DnaJ homolog subfamily B member 11	Dnajb11	40.495	19.848	6.84E+08	32	3.24E-03	4.56E-03	1.21E-03	1.52E-03	4.25E-04	9.75E-04
D4A482	Major facilitator superfamily domain-containing 2B	Mfsd2b	52.7	24.569	1.49E+09	62	2.68E-03	4.16E-03	5.48E-03	4.68E-03	3.31E-03	5.81E-03
P61314	60S ribosomal protein L15	Rpl15	24.146	8.813	9.28E+08	53	1.53E-03	1.65E-03	1.67E-03	2.31E-03	1.49E-03	7.06E-03
F1LR16	Serine/threonine-protein kinase TAO3	Taok3	103.68	99.116	4.11E+09	172	2.51E-03	3.33E-03	2.06E-03	5.02E-03	2.38E-03	7.32E-03
D3ZJK8	ATPase phospholipid transporting 8A1	Atp8a1	12.117	4.54	3.33E+08	23	2.53E-03	1.73E-03	1.12E-03	1.42E-03	1.08E-03	8.67E-04
Q4KLZ6	Triokinase/FMN cyclase	Tkfc	59.443	105.49	2.34E+09	108	3.14E-03	3.96E-03	1.44E-03	2.33E-03	2.63E-03	2.94E-03
Q5D059	Heterogeneous nuclear ribonucleoprotein K	Hnrnpk	51.028	82	2.99E+09	164	2.39E-03	3.01E-03	2.73E-03	4.89E-03	2.96E-03	8.10E-03
P24155	Thimet oligopeptidase	Thop1	78.385	84.484	2.82E+09	170	2.63E-03	2.79E-03	2.24E-03	3.96E-03	1.23E-03	3.71E-03
D4A3P0	Y box-binding protein 2	Ybx2	38.094	13.886	7.74E+08	27	2.56E-03	2.42E-03	1.76E-03	2.97E-03	2.58E-04	2.14E-03
A0A140TAA4	Programmed cell death 6-interacting protein	Pdcd6ip	95.881	182.4	2.93E+09	165	2.79E-03	2.13E-03	1.34E-03	1.70E-03	1.20E-03	3.21E-03
Q4G061	Eukaryotic translation initiation factor 3 subunit B	Eif3b	90.91	62.338	1.84E+09	68	1.89E-03	1.58E-03	2.51E-03	1.27E-03	3.44E-04	3.17E-03
A0A0H2UHQ1	60S ribosomal protein L17	Rpl17	21.967	13.252	4.21E+08	46	2.35E-03	1.30E-03	8.86E-04	1.75E-03	4.71E-03	4.25E-03
D4A2D7	Importin 4	Ipo4	118.93	101.53	3.25E+09	214	2.38E-03	4.15E-03	2.98E-03	3.07E-03	1.64E-03	3.70E-03
B2RZ72	Actin-related protein 2/3 complex subunit 4	Arpc4	19.667	56.454	1.42E+09	69	2.69E-03	4.17E-03	6.95E-03	6.43E-03	3.83E-03	6.14E-03
Q99ML5	Prenylcysteine oxidase	Pcyox1	56.287	18.569	1.03E+09	62	1.96E-03	1.67E-03	5.48E-04	1.01E-03	7.88E-04	9.64E-04
Q9QX69	LanC-like protein 1	Lancl1	45.239	16.57	1.11E+09	32	2.86E-03	3.39E-03	1.34E-03	9.88E-04	9.01E-04	2.38E-03
P62268	40S ribosomal protein S23	Rps23	15.807	19.301	4.90E+08	25	1.53E-03	8.47E-04	2.41E-03	3.62E-03	9.75E-04	6.73E-03
Q8R431	Monoglyceride lipase	Mgl1	33.499	10.712	4.22E+08	26	2.72E-03	8.97E-04	5.75E-04	2.65E-04	8.94E-04	1.02E-03
A0A0G2JVW5	E3 ubiquitin-protein ligase HUWE1	Huwe1	447.65	323.31	1.24E+10	552	2.61E-03	3.32E-03	1.74E-03	3.23E-03	1.46E-03	3.32E-03
F1M446	Similar to KIAA0368	RGD1306148	203.92	170.5	8.01E+09	391	2.38E-03	3.76E-03	2.31E-03	4.61E-03	1.21E-03	4.39E-03
A0A0G2JTW1	RAS related protein 2a	Rap2a	20.642	5.0198	4.56E+08	26	2.09E-03	2.54E-03	2.19E-03	2.00E-03	1.52E-03	1.70E-03
P12711	Alcohol dehydrogenase class-3	Adh5	39.575	32.851	1.50E+09	79	2.97E-03	2.23E-03	6.07E-04	1.88E-03	1.39E-03	3.84E-03
Q52KJ9	Thioredoxin domain containing 1	Tmx1	31.434	8.3847	3.91E+08	32	2.34E-03	3.86E-03	9.80E-04	2.11E-03	5.18E-04	2.23E-03
B5DEL9	RCG62292, isoform CRA a	Rps7	22.127	65.897	1.94E+09	82	3.79E-03	3.81E-03	5.93E-03	7.54E-03	6.13E-03	1.21E-02
A0A0G2JYU5	Ubiquitin-conjugating enzyme E2 B	LOC103694902	20.261	12.676	6.22E+08	26	4.03E-03	6.92E-03	1.91E-03	5.78E-03	1.83E-03	6.75E-03
O55215	Ribosomal protein S2	Rps2-ps6	27.231	26.629	2.96E+09	71	3.10E-03	3.43E-03	4.25E-03	6.80E-03	6.03E-03	1.51E-02
A0A0G2K824	Mannose-1-phosphate guanyltransferase alpha	Gmppa	46.648	12.917	7.36E+08	51	1.91E-03	1.76E-03	1.14E-03	1.76E-03	6.55E-04	2.08E-03
P31399	ATP synthase subunit d, mitochondrial	Atp5h	18.763	25.252	9.16E+08	62	2.18E-03	2.03E-03	1.78E-03	1.68E-03	1.95E-03	1.02E-02
M0R5K9	Uncharacterized LOC100912024	LOC100912024	17.654	9.62	8.25E+08	31	2.17E-03	1.46E-03	2.29E-03	2.22E-03	2.77E-03	5.98E-03
Q5M9I5	Cytochrome b-c1 complex subunit 6, mitochondrial	Uqcqh	10.424	5.2267	4.15E+08	18	2.22E-03	2.82E-03	1.82E-03	2.14E-03	2.00E-03	5.77E-03
Q6QI88	LRRG00120	Tmed5	34.592	26.053	1.46E+09	55	3.50E-03	2.96E-03	5.04E-03	6.13E-03	1.99E-03	6.66E-03
D4ACF2	Tripartite motif protein 21	Trim21	54.126	77.374	2.61E+09	113	2.46E-03	3.38E-03	2.97E-03	4.57E-03	5.71E-03	9.92E-03
D3ZLM5	NHL repeat containing 2	Nhlrc2	78.561	71.642	1.90E+09	111	2.52E-03	3.51E-03	4.63E-04	1.64E-03	7.14E-04	2.56E-03

Q5XIM7	Lysine--tRNA ligase	Kars	71.622	59.009	2.02E+09	150	2.13E-03	1.93E-03	7.18E-04	2.41E-03	1.05E-03	4.17E-03
P62282	40S ribosomal protein S11	Rps11	18.431	10.153	9.63E+08	25	2.68E-03	8.16E-04	2.67E-03	1.85E-03	3.95E-03	8.90E-03
M0R6L4	40S ribosomal protein S3a	LOC100365839	29.908	51.166	1.63E+10	80	2.45E-03	7.90E-02	3.87E-03	3.65E-03	8.78E-03	1.14E-02
AOA0G2JZ15	26S proteasome non-ATPase regulatory subunit 10	Psm10	18.965	5.592	7.80E+08	28	2.92E-03	3.75E-03	1.73E-03	4.02E-03	2.06E-03	2.25E-03
P62859	40S ribosomal protein S28	Rps28	7.8409	8.5603	5.03E+08	21	2.31E-03	2.64E-03	3.65E-03	4.13E-03	5.79E-03	1.31E-02
D3ZV50	Similar to 40S ribosomal protein S9	LOC100364509	22.647	14.097	2.29E+09	60	2.96E-03	4.13E-03	3.29E-03	4.83E-03	4.04E-03	1.78E-02
F1LSW7	60S ribosomal protein L14	Rpl14	23.322	11.734	5.61E+08	37	2.12E-03	1.02E-03	2.99E-03	2.97E-03	5.22E-03	7.91E-03
Q6P791	Ragulator complex protein LAMTOR1	Lamtor1	17.721	15.399	4.96E+08	30	2.77E-03	2.13E-03	1.94E-03	1.42E-03	4.71E-04	2.77E-03
D3ZTJ0	RP2, ARL3 GTPase-activating protein	Rp2	39.32	19.698	1.42E+09	76	2.52E-03	2.55E-03	4.39E-03	5.89E-03	2.37E-03	5.48E-03
P06302	Prothymosin alpha [Cleaved into: Prothymosin alpha, N-	Ptma	12.382	9.8007	2.16E+08	34	3.25E-03	2.67E-03	4.35E-03	3.89E-03	1.90E-03	4.26E-03
Q63377	Sodium/potassium-transporting ATPase subunit beta-3	Atp1b3	31.829	31.767	5.60E+08	42	1.80E-03	3.82E-03	1.88E-03	2.69E-03	2.14E-03	6.02E-03
P09495	Tropomyosin alpha-4 chain	Tpm4	28.509	11.93	3.29E+08	15	1.68E-03	1.01E-03	1.13E-03	1.18E-03	4.69E-04	7.98E-04
P63074	Eukaryotic translation initiation factor 4E	Eif4e	25.053	14.955	4.95E+08	23	2.32E-03	2.05E-03	1.18E-03	1.27E-03	9.61E-04	3.54E-03
Q6QBQ4	Phospholipid scramblase 3	Plscr3	31.646	57.154	6.67E+08	43	2.22E-03	4.19E-03	1.69E-03	2.41E-03	8.26E-04	3.43E-03
P62718	60S ribosomal protein L18a	Rpl18a	20.732	16.663	7.91E+08	38	2.02E-03	3.09E-03	1.66E-03	2.74E-03	2.77E-03	8.36E-03
Q3MHS7	GDP-mannose 4, 6-dehydratase	Gm1s	42.094	25.918	1.30E+09	101	2.11E-03	2.20E-03	1.54E-03	2.55E-03	8.69E-04	2.38E-03
P61983	14-3-3 protein gamma [Cleaved into: 14-3-3 protein gamma, N-	Ywhag	28.302	32.344	9.08E+08	55	1.39E-03	1.94E-03	8.96E-04	1.08E-03	9.16E-04	3.21E-03
F1LZX5	HECT domain E3 ubiquitin protein ligase 4	Hectd4	452.5	323.31	1.16E+10	649	2.31E-03	2.35E-03	2.60E-03	3.34E-03	1.70E-03	3.38E-03
D4A3P1	Ubiquilin 4	Ubqln4	63.55	180.29	2.07E+09	112	2.52E-03	2.07E-03	4.32E-03	4.66E-03	1.99E-03	5.78E-03
Q4R1A4	TRK-fused gene protein	Tfg	31.025	7.8339	4.77E+08	19	2.25E-03	2.18E-03	1.56E-03	1.61E-03	1.57E-03	1.26E-03
Q9JLA3	UDP-glucose:glycoprotein glucosyltransferase 1	Uggt1	176.43	107.76	3.51E+09	225	2.57E-03	3.32E-03	1.16E-03	1.76E-03	7.73E-04	2.26E-03
P05545	Serine protease inhibitor A3K	Serpina3k	46.561	133.81	6.69E+09	183	2.66E-03	5.44E-03	3.11E-02	4.31E-02	4.17E-03	1.76E-02
F1LWQ2	Tumor necrosis factor receptor superfamily member 6	Fas	36.774	19.633	6.03E+08	29	2.21E-03	1.48E-03	1.48E-03	1.82E-03	3.17E-04	1.49E-03
F1M1L9	Copine 2	Cpne2	61.023	27.163	1.92E+09	96	2.16E-03	2.99E-03	2.05E-03	4.33E-03	1.04E-03	6.09E-03
Q4V8F6	Pcbp2 protein	Pcbp2	35.346	45.204	1.27E+09	56	1.61E-03	1.56E-03	1.35E-03	9.45E-04	3.50E-03	7.74E-03
P16617	Phosphoglycerate kinase 1	Pgk1	44.538	81.82	1.63E+09	110	2.11E-03	1.50E-03	3.26E-04	2.11E-03	1.05E-03	3.71E-03
B5DEJ5	Eefsec protein	Eefsec	63.659	41.694	1.58E+09	49	2.11E-03	1.50E-03	1.37E-03	1.75E-03	1.00E-03	3.26E-03
P62870	Elongin-B	Elob	13.17	10.056	7.73E+08	41	2.30E-03	2.94E-03	2.60E-03	3.92E-03	3.90E-03	2.91E-03
Q9QYM0	Multidrug resistance-associated protein 5	Abcc5	160.85	87.004	3.15E+09	216	2.23E-03	2.84E-03	1.59E-03	2.60E-03	8.85E-04	3.08E-03
Q5PQZ8	Selenoprotein T	Selenot	15.844	9.6483	4.30E+08	25	1.83E-03	2.37E-03	8.16E-04	8.41E-04	1.42E-03	6.47E-03
Q6P9X2	Signal peptidase complex catalytic subunit SEC11	Sec11a	20.626	8.6922	5.24E+08	43	2.57E-03	3.74E-03	1.07E-03	2.04E-03	5.69E-04	3.33E-03
P08009	Glutathione S-transferase Yb-3	Gstm3	25.68	20.758	5.66E+08	37	1.81E-03	1.88E-03	5.03E-04	1.03E-03	4.67E-04	1.68E-03
Q4G022	Arsenical pump-driving ATPase	Asna1	36.946	16.403	4.73E+08	21	1.66E-03	1.63E-03	4.92E-04	1.48E-03	2.65E-04	1.49E-03
B5DEZ6	Glucosamine-6-phosphate isomerase	Gnpda2	31.006	32.1	2.98E+08	14	1.08E-03	1.36E-03	5.77E-04	1.13E-03	3.25E-04	2.08E-04
Q6P685	Eukaryotic translation initiation factor 2 subunit beta	Eif2s2	38.243	49.348	2.23E+09	71	1.97E-03	3.27E-03	3.30E-03	7.36E-03	3.54E-03	5.64E-03
D3ZFC5	Phospholipid-transporting ATPase	Atp11c	129.15	54.35	3.39E+09	135	2.23E-03	2.94E-03	1.15E-03	2.58E-03	3.70E-04	2.22E-03
F1LP59	Rab3 GTPase-activating protein catalytic subunit	Rab3gap1	85.88	69.689	1.66E+09	103	1.87E-03	2.05E-03	1.50E-03	1.96E-03	7.41E-04	1.65E-03
AOA0G2JXI4	Signal transducer and activator of transcription	Stat5b	86.974	129.75	2.32E+09	95	1.84E-03	2.39E-03	1.82E-03	2.88E-03	4.39E-04	2.21E-03
F1LQI1	Hydroxyacyl glutathione hydrolase	Hagh	34.158	24.998	1.12E+09	74	2.35E-03	2.55E-03	1.91E-03	2.70E-03	4.37E-03	7.15E-03
G3V8D5	6-phosphogluconolactonase	Pgls	30.821	16.274	5.29E+08	34	1.57E-03	1.44E-03	8.25E-04	1.09E-03	8.22E-04	2.17E-03
Q5XI86	Peptidyl-tRNA hydrolase 2	Pthr2	19.529	10.141	4.36E+08	32	2.31E-03	2.97E-03	1.62E-03	2.52E-03	3.81E-04	2.63E-03
Q68G16	Serine/threonine-protein phosphatase	Ppp5c	56.902	53.132	1.00E+09	56	1.81E-03	1.95E-03	2.47E-04	6.96E-04	6.51E-04	2.13E-03
Q4KM74	Vesicle-trafficking protein SEC22b	Sec22b	24.74	144.08	3.20E+09	122	2.28E-03	2.32E-03	2.25E-02	3.13E-02	1.63E-03	9.88E-03
AOA0H2UHV4	Eukaryotic translation initiation factor 5B	Eif5b	136.41	30.693	1.07E+09	35	1.84E-03	8.71E-04	1.79E-03	5.33E-04	6.51E-04	5.22E-04
Q68FR9	Elongation factor 1-delta	Eef1d	31.33	86.557	3.15E+09	86	2.13E-03	1.55E-03	3.22E-03	5.97E-03	3.15E-03	9.85E-03
Q6P766	Lipid phosphate phosphohydrolase 1	Plpp1	32	4.9231	4.81E+08	21	2.14E-03	2.18E-03	2.54E-03	3.80E-03	7.66E-04	1.97E-03
F1LT35	Similar to 60S ribosomal protein L23a	RGD1564606	17.734	5.7099	4.18E+08	19	1.61E-03	1.52E-03	2.65E-03	2.47E-03	3.13E-03	3.83E-03

P45592	Cofilin-1	Cfl1	18.532	8.6638	2.26E+08	23	1.98E-03	1.19E-03	1.27E-04	2.82E-04	1.03E-04	1.71E-03
F1LYY6	Uncharacterized protein	N/A	11.247	19.345	3.95E+08	30	2.27E-03	2.89E-03	2.24E-03	3.49E-03	2.06E-03	9.21E-03
Q5XIE1	Protein THEM6	Them6	23.747	19.473	8.32E+08	46	2.49E-03	3.67E-03	1.20E-03	1.56E-03	1.66E-03	6.89E-03
D4ADS9	EFR3 homolog A	Efr3a	92.523	62.621	2.46E+09	131	1.91E-03	2.43E-03	1.65E-03	3.04E-03	3.73E-04	3.15E-03
A0A0G2K875	Actin-binding LIM protein family, member 3	Ablim3	66.54	2.9982	1.92E+09	15	2.02E-03	1.53E-03	1.95E-03	2.00E-03	1.57E-02	1.87E-03
Q63581	Uncharacterized protein	N/A	47.618	33.509	2.03E+09	39	1.83E-03	2.41E-03	7.66E-03	1.26E-02	1.06E-03	2.29E-03
M0RCH6	Uncharacterized protein	N/A	24.812	55.167	4.25E+08	33	1.79E-03	6.60E-04	1.01E-03	1.38E-03	8.38E-04	2.54E-03
D4A9Y0	RCG36668	Sdf2l1	23.403	7.9282	2.50E+08	21	1.83E-03	2.10E-03	3.70E-05	2.01E-04	4.44E-04	1.37E-03
Q569B3	Igh-6 protein	Igh-6	68.361	38.905	2.12E+09	78	2.07E-03	1.86E-03	6.38E-03	1.07E-02	2.36E-03	4.28E-03
G3V8T4	DNA damage-binding protein 1	Ddb1	126.94	60.424	2.83E+09	207	2.00E-03	2.84E-03	8.33E-04	2.22E-03	6.90E-04	3.42E-03
A0A0G2JSQ4	Tropomyosin 1, alpha, isoform CRA p	Tpm1	28.556	3.7889	5.72E+08	21	1.88E-03	2.20E-03	1.05E-03	1.77E-03	1.26E-03	1.38E-03
P11348	Dihydropteridine reductase	Qdpr	25.552	41.158	8.89E+08	51	1.58E-03	4.59E-04	1.68E-03	1.95E-03	1.59E-03	4.51E-03
F1MAA3	Serine/threonine-protein phosphatase 2A 56 kDa regulatory	LOC100909464	69.183	34.105	1.23E+09	77	1.82E-03	1.11E-03	9.63E-04	1.53E-03	5.49E-04	1.83E-03
Q6P3V9	60S ribosomal protein L4	Rpl4	47.3	14.186	1.49E+09	46	2.37E-03	9.84E-04	3.69E-03	3.65E-03	4.41E-03	6.31E-03
Q6AXM8	Serum paraoxonase/arylesterase 2	Pon2	39.617	14.839	3.98E+08	30	2.19E-03	3.09E-03	1.74E-04	9.35E-04	3.38E-04	1.23E-03
A0A0G2K9V6	Threonine--tRNA ligase, cytoplasmic	Tars	83.388	83.66	2.62E+09	119	1.93E-03	2.45E-03	2.00E-03	3.04E-03	7.81E-04	2.83E-03
Q4V896	Sorting nexin-15	Snx15	37.905	28.449	5.62E+08	40	1.37E-03	1.39E-03	1.19E-03	1.52E-03	4.75E-04	1.29E-03
Q5U2R0	Methionine adenosyltransferase 2 subunit beta	Mat2b	37.374	16.677	5.27E+08	14	2.02E-03	1.90E-03	2.66E-04	8.93E-04	8.07E-04	1.91E-03
A0A0G2K7B6	Dysferlin	Dysf	242.46	222.27	6.73E+09	370	1.96E-03	2.33E-03	2.58E-03	4.48E-03	1.35E-03	5.68E-03
Q63355	Unconventional myosin-1c	Myo1c	119.81	75.982	2.38E+09	177	2.03E-03	2.02E-03	1.48E-03	1.81E-03	6.60E-04	2.06E-03
Q6AYQ1	Golgin subfamily A member 7	Golga7	15.778	11.402	4.22E+08	38	1.18E-03	1.86E-03	1.21E-03	1.36E-03	1.13E-03	2.83E-03
A0A0H2UHQ0	4F2 cell-surface antigen heavy chain	Slc3a2	61.874	55.891	2.57E+09	140	1.77E-03	2.21E-03	4.34E-03	6.61E-03	2.82E-03	6.97E-03
A0A0G2K477	Immunoglobulin heavy constant mu	Ighm	51.136	51.583	7.80E+09	136	1.89E-03	2.96E-03	3.25E-02	6.21E-02	3.59E-03	8.94E-03
P51593	E3 ubiquitin-protein ligase HUWE1	Huwe1	37.36	20.037	6.86E+08	38	1.82E-03	1.94E-03	1.42E-03	1.92E-03	9.34E-04	2.31E-03
Q794E4	Heterogeneous nuclear ribonucleoprotein F	Hnrnpf	45.729	80.085	2.29E+09	124	2.00E-03	2.06E-03	5.16E-03	8.78E-03	6.26E-03	7.71E-03
D3ZFO8	Cytochrome c-1	Cyc1	35.434	9.2095	7.33E+08	38	1.90E-03	2.02E-03	1.56E-03	1.16E-03	1.57E-03	5.73E-03
Q63781	Myosin regulatory light chain	Myl12b	19.867	10.773	5.36E+08	29	1.69E-03	3.08E-03	2.24E-03	4.17E-03	8.88E-04	3.37E-03
Q71SA3	Thrombospondin 1	Thbs1	129.67	72.875	3.38E+09	155	1.86E-03	1.31E-03	3.74E-03	4.49E-03	1.51E-03	4.09E-03
D4ACD3	Ubiquitin specific protease 25	Usp25	121.59	179.91	3.75E+09	256	1.55E-03	1.89E-03	1.51E-03	2.33E-03	9.52E-04	3.23E-03
B0BNF8	HIV-1 tat interactive protein 2, homolog	Htatip2	26.856	18.414	3.35E+08	26	1.63E-03	1.51E-03	3.82E-04	3.19E-04	5.08E-04	1.83E-03
Q6MGA3	Antigen peptide transporter 2	Tap2	77.749	30.053	9.63E+08	61	1.53E-03	1.31E-03	3.60E-04	5.94E-04	1.08E-03	1.99E-03
Q68G33	Golgi reassembly-stacking protein 2	Gorasp2	47.309	9.4872	3.66E+08	19	1.72E-03	6.16E-04	1.70E-03	1.85E-03	5.96E-04	7.47E-04
G3V6I1	Lethal	Llg1	115.84	64.085	2.11E+09	126	2.55E-03	2.57E-03	1.80E-03	1.92E-03	1.14E-03	1.83E-03
Q6IMZ3	Annexin	Anxa6	75.755	98.224	2.85E+09	162	2.54E-03	1.58E-03	1.91E-03	1.90E-03	1.61E-03	2.76E-03
F7EZ89	TBC1 domain family, member 15	Tbc1d15	78.698	77.278	2.94E+09	129	1.62E-03	2.08E-03	2.40E-03	4.06E-03	1.49E-03	2.96E-03
Q6AYG3	Exopolyphosphatase PRUNE1	Prune1	49.998	17.445	7.06E+08	58	1.39E-03	1.84E-03	8.66E-04	1.98E-03	3.86E-05	1.43E-03
A0A0G2JWS3	Piezo-type mechanosensitive ion channel component	Piezo1	290.33	180.61	4.20E+09	226	1.77E-03	2.30E-03	1.23E-03	2.26E-03	7.71E-04	2.16E-03
Q566D5	Eukaryotic translation initiation factor 1A	Eif1a	16.512	6.8625	3.91E+08	19	1.67E-03	1.85E-03	1.23E-03	6.97E-04	3.99E-03	4.28E-03
Q68FU1	Pleckstrin homology domain-containing family F member 1	Plekhf1	31.441	2.7945	3.28E+08	9	1.72E-03	1.34E-03	9.00E-04	5.69E-04	3.72E-04	6.85E-04
Q6P6V0	Glucose-6-phosphate isomerase	Gpi	62.826	37.765	1.14E+09	93	1.82E-03	8.84E-04	2.20E-04	6.28E-04	8.60E-04	2.43E-03
D4ADD7	Glutaredoxin 5	Glr5	16.432	22.026	7.54E+08	20	1.73E-03	1.81E-03	4.03E-03	2.14E-03	2.29E-03	8.64E-03
A0A0G2K470	Integrin subunit alpha 2	Itga2	128.84	91.922	2.30E+09	131	1.73E-03	2.35E-03	6.24E-04	1.50E-03	1.89E-03	6.88E-03
Q4V8I6	60S ribosomal protein L11	Rpl11	19.024	13.122	6.13E+08	27	2.01E-03	1.55E-03	2.46E-03	2.40E-03	4.58E-03	8.62E-03
D3ZKU5	Similar to ribosomal protein L31	RGD1564839	14.275	5.5734	6.72E+08	45	2.51E-03	3.01E-03	2.26E-03	4.40E-03	2.21E-03	7.54E-03
Q6YDN8	BWK-1	Gid8	26.778	33.95	7.13E+08	44	2.23E-03	2.48E-03	1.21E-03	2.60E-03	4.13E-04	2.96E-03
A0A0G2K2Y3	Aminopeptidase	Erap1	100.74	30.422	1.02E+09	58	1.73E-03	1.58E-03	4.11E-04	7.39E-04	5.80E-04	1.54E-03
Q5BKA1	Methionine aminopeptidase 2	Metap2	52.952	27.291	1.45E+09	63	1.60E-03	1.81E-03	1.98E-03	2.48E-03	1.00E-03	3.90E-03

Q5U2Q7	Eukaryotic peptide chain release factor subunit 1	Etf1	49.03	42.738	2.13E+09	111	2.04E-03	3.78E-03	1.96E-03	3.79E-03	1.34E-03	5.75E-03
B0BN81	40S ribosomal protein S5	Rps5	22.906	56.73	1.12E+09	61	1.55E-03	1.61E-03	2.08E-03	1.83E-03	6.67E-03	8.14E-03
D4AEH9	Amylo-1, 6-glucosidase, 4-alpha-glucanotransferase	Agl	174.33	98.49	3.83E+09	225	1.51E-03	2.14E-03	1.08E-03	1.95E-03	7.50E-04	2.37E-03
D3ZRM9	60S ribosomal protein L13	LOC100360491	24.202	11.884	5.32E+08	32	1.61E-03	1.59E-03	2.24E-03	3.05E-03	1.33E-03	3.82E-03
A0A0H2UHG0	Tyrosine--tRNA ligase	Yars	63.025	39.919	2.37E+09	123	1.08E-03	8.77E-04	1.97E-03	3.76E-03	2.17E-03	3.62E-03
G3V7K3	Ceruloplasmin	Cp	120.66	95.239	4.06E+09	218	1.50E-03	2.49E-03	7.94E-03	1.24E-02	8.32E-04	3.02E-03
Q6PAH0	Apolipoprotein E	Apoe	35.763	26.056	6.88E+08	33	1.07E-03	1.78E-03	4.08E-03	6.55E-03	5.18E-04	6.39E-04
Q9ER34	Aconitate hydratase, mitochondrial	Aco2	85.432	63.114	2.25E+09	72	1.91E-03	2.53E-03	1.99E-03	1.74E-03	1.99E-03	5.66E-03
D3ZYS7	G3BP stress granule assembly factor 1	G3bp1	51.786	30.503	1.22E+09	58	1.42E-03	1.19E-03	8.37E-04	1.23E-03	1.58E-03	4.60E-03
E9PTW1	Secretory carrier-associated membrane protein	Scamp3	38.497	44.464	9.87E+08	54	1.55E-03	8.23E-04	4.05E-03	6.73E-03	2.38E-03	8.06E-03
G3V9J7	Rab GTPase-binding effector protein 1	Rabep1	99.384	55.592	1.62E+09	109	1.58E-03	2.12E-03	8.14E-04	1.20E-03	3.09E-04	1.11E-03
Q6IRS6	Fetub protein	Fetub	43.169	21.038	9.59E+08	54	1.53E-03	9.97E-04	4.06E-03	6.85E-03	7.45E-04	2.96E-03
Q6PDV1	Lysozyme	Lyz2	16.73	51.468	1.66E+09	50	1.42E-03	2.11E-03	7.72E-03	3.25E-02	5.76E-03	1.71E-02
F1LQX9	Nuclear protein localization protein 4 homolog	Nploc4	68.125	108.3	1.40E+09	84	1.39E-03	1.59E-03	1.34E-03	1.43E-03	1.06E-03	2.55E-03
Q6MFY9	RCG58628	Trim10	55.737	37.872	9.43E+08	67	1.37E-03	7.69E-04	9.41E-04	1.20E-03	5.98E-04	2.00E-03
B1WBP4	Glutamine-dependent NAD	Nadsyn1	81.546	41.363	1.26E+09	58	1.34E-03	2.13E-03	2.00E-03	1.84E-03	1.46E-03	2.28E-03
Q5XID1	Anamorsin	Ciapin1	33.041	27.604	1.17E+09	58	1.48E-03	2.39E-03	2.31E-03	3.16E-03	1.81E-03	3.62E-03
P32551	Cytochrome b-c1 complex subunit 2, mitochondrial	Uqcrc2	48.396	52.936	8.02E+08	60	1.21E-03	1.54E-03	5.10E-04	6.90E-04	1.42E-03	4.85E-03
Q6P7A7	Dolichyl-diphosphooligosaccharide--protein	Rpn1	68.4	32.278	7.84E+08	56	1.30E-03	2.64E-03	3.30E-04	4.63E-04	6.10E-04	1.19E-03
A0A0G2JU40	C2 calcium-dependent domain-containing 2	C2cd2	69.056	42.619	1.16E+09	72	1.10E-03	1.34E-03	2.01E-03	2.36E-03	3.19E-04	2.56E-03
P21531	60S ribosomal protein L3	Rpl3	46.135	31.257	1.84E+09	51	2.02E-03	1.67E-03	2.54E-03	3.38E-03	4.14E-03	7.89E-03
Q6P756	Adaptin ear-binding coat-associated protein 2	Necap2	28.404	43.656	1.45E+09	44	1.32E-03	1.38E-03	3.55E-03	7.02E-03	3.43E-03	7.98E-03
A0A140TAI1	Ubiquilin 1, isoform CRA a	Ubqln1	62.014	33.83	6.24E+08	46	8.65E-04	8.67E-04	8.68E-04	1.38E-03	1.06E-03	2.40E-03
A0A0H2UI18	40S ribosomal protein S10	Rps10	18.182	8.4957	7.62E+08	69	1.63E-03	2.06E-03	2.81E-03	3.92E-03	4.38E-03	6.55E-03
Q5M7T1	Probable cytosolic iron-sulfur protein assembly protein CIAO1	Ciao1	37.617	28.955	7.01E+08	42	1.38E-03	1.31E-03	9.68E-04	1.72E-03	7.80E-04	2.14E-03
P07340	Sodium/potassium-transporting ATPase subunit beta-1	Atp1b1	35.201	6.1516	3.38E+08	11	1.46E-03	1.86E-03	5.46E-04	1.07E-03	4.84E-04	1.12E-03
Q5U313	Ankyrin repeat domain 13a	Ankrd13a	67.319	34.928	8.30E+08	107	1.37E-03	8.41E-04	5.21E-04	1.09E-03	3.71E-04	1.37E-03
D3ZCM3	ATP-binding cassette subfamily G member 4	Abcg4	72.491	18.969	7.78E+08	47	1.50E-03	2.26E-03	8.89E-04	1.15E-03	4.22E-04	7.94E-04
A2RRT6	RCG27903, isoform CRA b	Zc3hav1	86.819	125.62	2.14E+09	110	1.33E-03	1.61E-03	1.35E-03	1.95E-03	1.57E-03	3.13E-03
Q60587	Trifunctional enzyme subunit beta, mitochondrial	Hadhb	51.414	15.316	6.78E+08	21	1.54E-03	1.79E-03	8.47E-04	1.53E-03	3.52E-04	1.89E-03
P11240	Cytochrome c oxidase subunit 5A, mitochondrial	Cox5a	16.129	6.9443	3.53E+08	21	1.43E-03	8.27E-04	1.77E-03	1.83E-03	2.53E-03	3.52E-03
Q88777	Presenilin-2	Psen2	50.051	5.0099	2.76E+08	18	1.35E-03	8.00E-04	1.17E-03	1.26E-03	8.18E-04	4.33E-04
D4ADI9	Similar to WD repeat domain 53	Wdr53	38.772	6.0101	3.46E+08	4	8.66E-04	1.79E-03	4.41E-04	1.67E-03	1.23E-03	1.62E-03
P63245	Receptor of activated protein C kinase 1	Rack1	35.076	158.15	1.43E+09	87	1.36E-03	1.63E-03	1.16E-03	2.27E-03	1.34E-03	8.35E-03
Q99MI7	NEDD8-activating enzyme E1 catalytic subunit	Uba3	51.723	30.685	8.32E+08	59	1.15E-03	2.04E-03	4.64E-04	8.90E-04	5.81E-04	1.34E-03
B5DEP1	#H/Д	#H/Д	21.7	27.177	4.59E+08	31	1.35E-03	1.17E-03	1.79E-03	2.28E-03	1.19E-03	3.90E-03
D4A5Q2	Structural maintenance of chromosomes protein	Smc2	134.28	90.168	6.19E+09	156	1.28E-03	1.13E-03	9.61E-04	2.13E-02	9.71E-04	2.01E-03
G3V8P5	Similar to cDNA sequence BC017158	RGD1310127	50.838	46.367	5.81E+08	37	1.25E-03	1.14E-03	7.21E-04	1.19E-03	6.64E-04	2.15E-03
O35303-2	Dynamin-1-like protein	Dnm1l	79.95	58.739	1.30E+09	139	1.34E-03	1.35E-03	2.51E-04	4.93E-04	3.73E-04	1.44E-03
M0RB67	Peptidylprolyl isomerase D-like 1	Ppidl1	44.812	13.653	6.14E+08	45	1.37E-03	1.34E-03	1.72E-04	6.57E-04	1.51E-03	2.28E-03
A0A0G2JY22	Disco-interacting protein 2 homolog B	Dip2b	170.92	87.688	2.15E+09	163	1.41E-03	1.23E-03	6.16E-04	9.58E-04	4.58E-04	1.47E-03
A9CMB7	Aspartyl-tRNA synthetase	Dars	57.126	34.087	1.08E+09	59	1.17E-03	1.34E-03	5.53E-04	9.68E-04	1.58E-03	2.16E-03
D3ZRE7	SWAP complex protein	Swap70	68.773	30.46	1.02E+09	59	1.28E-03	1.31E-03	3.75E-04	7.35E-04	1.12E-03	1.17E-03
D3ZUY8	Adaptor protein complex AP-2, alpha 1 subunit	Ap2a1	107.67	128	3.04E+09	195	1.23E-03	9.00E-04	1.68E-03	3.04E-03	1.53E-03	3.80E-03
F1LML0	Asparaginyl-tRNA synthetase	Nars	58.303	7.4353	7.64E+08	25	1.09E-03	1.88E-03	1.10E-03	2.94E-03	4.86E-04	1.23E-03
D3ZD72	Non-SMC condensin I complex, subunit G	Ncapg	112.55	49.176	2.07E+09	130	1.42E-03	1.36E-03	1.08E-03	1.78E-03	4.39E-04	1.93E-03
D4ACG2	IlvB	Ilvbl	72.269	21.413	6.25E+08	40	1.32E-03	1.71E-03	6.16E-04	6.43E-04	2.61E-04	1.46E-03

B5DEN5	Eukaryotic translation elongation factor 1 beta 2	Eef1b2	24.675	64.822	8.99E+08	41	9.17E-04	9.47E-04	2.23E-03	2.80E-03	1.57E-03	4.47E-03
AOA0G2JSR1	Chitinase domain-containing protein 1	LOC100911881	45.203	12.92	4.43E+08	30	1.24E-03	1.47E-03	7.33E-04	7.59E-04	3.02E-04	1.23E-03
B2RYP4	Sorting nexin 2	Snx2	58.53	45.027	1.51E+09	105	1.06E-03	2.94E-03	2.73E-03	3.86E-03	1.15E-03	2.48E-03
Q5M887	Trafficking protein particle complex subunit 13	Trappc13	46.519	18.533	5.70E+08	38	1.31E-03	1.97E-03	3.18E-04	1.03E-03	3.52E-04	1.83E-03
D3ZHI8	Trafficking protein particle complex 11	Trappc11	128.37	29.55	8.69E+08	44	8.96E-04	9.04E-04	4.81E-04	6.45E-04	2.14E-04	9.08E-04
D4AE96	Importin 7	Ipo7	119.49	62.72	3.29E+09	160	1.14E-03	2.63E-03	1.47E-03	3.75E-03	1.01E-03	5.52E-03
AOA140TAA5	WD repeat domain phosphoinositide-interacting protein 4	Wdr45	39.8	13.08	4.18E+08	36	9.84E-04	1.10E-03	7.51E-04	6.42E-04	1.54E-04	1.22E-03
P62138	Serine/threonine-protein phosphatase PP1-alpha catalytic	Ppp1ca	37.512	38.093	1.09E+09	75	1.22E-03	1.52E-03	2.68E-03	1.84E-03	2.23E-03	3.60E-03
AOA0G2JY08	Myosin XVIIIa	Myo18a	233.38	114.82	3.97E+09	210	1.20E-03	1.73E-03	1.59E-03	3.16E-03	2.90E-04	1.48E-03
B2GV73	Actin-related protein 2/3 complex subunit 3	Arpc3	20.535	14.352	7.42E+08	39	1.43E-03	1.53E-03	1.49E-03	3.92E-03	6.26E-04	5.22E-03
AOA0G2KAY8	Selenoprotein 15	Selenof	17.672	5.3673	1.56E+08	18	1.28E-03	1.60E-03	2.48E-04	6.41E-04	2.75E-04	5.40E-04
F1M400	Ankyrin repeat domain 28	Ankrd28	116	51.765	8.92E+08	61	9.73E-04	1.59E-03	4.78E-04	7.50E-04	1.92E-04	1.01E-03
F1LPG6	Guanine nucleotide exchange factor for Rab-3A	Rab3il1	41.84	6.8155	4.47E+08	14	8.43E-04	1.02E-03	2.00E-04	7.52E-04	3.97E-04	1.15E-03
M0RC57	Small ArfGAP 1	Smap1	47.661	12.741	2.72E+08	16	9.86E-04	2.47E-04	7.54E-04	1.40E-03	4.27E-04	1.54E-03
Q06647	ATP synthase subunit O, mitochondrial	Atp5o	23.397	13.221	4.02E+08	31	9.14E-04	1.48E-03	6.23E-04	1.98E-03	1.33E-03	2.86E-03
Q3B8N7	TSC22 domain family protein 4	Tsc22d4	40.04	50.577	1.09E+09	49	1.68E-03	9.26E-04	3.81E-03	1.99E-03	1.22E-03	1.76E-03
Q01177	Plasminogen	Plg	90.535	93.395	7.37E+09	196	1.40E-03	2.86E-03	1.80E-02	2.73E-02	2.75E-03	5.77E-03
F1M8L1	Kinesin-like protein	Kif2a	79.688	25.55	1.41E+09	91	1.07E-03	1.50E-03	4.93E-04	2.11E-03	1.56E-03	2.85E-03
AOA0G2K5C7	NIMA-related kinase 1	Nek1	115.31	3.5769	4.34E+09	13	1.05E-03	4.87E-04	1.60E-03	4.28E-04	1.98E-04	6.36E-03
Q5RKH9	Derlin	Der1	28.834	5.1149	3.23E+08	17	1.09E-03	1.38E-03	1.69E-03	1.50E-03	1.14E-03	1.98E-03
Q9EQX9	Ubiquitin-conjugating enzyme E2 N	Ube2n	17.124	17.042	5.31E+08	30	1.09E-03	9.54E-04	1.26E-03	1.34E-03	2.51E-03	3.63E-03
B0BNM1	NAD	Naxe	30.89	6.3906	1.83E+08	10	6.73E-04	9.92E-04	2.69E-04	2.03E-04	7.56E-04	6.22E-04
D4AE06	Peptidylprolyl isomerase	Fkbp15	131.17	37.167	1.07E+09	71	1.13E-03	1.32E-03	5.45E-04	7.85E-04	3.92E-04	7.93E-04
P27867	Sorbitol dehydrogenase	Sord	38.234	14.607	5.74E+08	25	1.10E-03	3.85E-04	1.81E-04	2.12E-04	2.47E-04	1.21E-03
Q5U2Q5	Ribonucleoside-diphosphate reductase	Rrm1	90.292	37.903	1.23E+09	78	1.22E-03	1.11E-03	5.48E-04	9.98E-04	5.58E-04	2.00E-03
AOA0G2QC41	Histone deacetylase	Hdac6	125.49	55.307	1.89E+09	116	9.88E-04	1.38E-03	2.78E-03	3.12E-03	1.21E-03	2.00E-03
D3ZG78	Zinc finger ZZ-type and EF-hand domain-containing 1	Zzef1	332.37	154.87	4.79E+09	297	1.08E-03	1.79E-03	9.20E-04	1.64E-03	6.20E-04	1.78E-03
D3ZAZ0	Eukaryotic translation initiation factor 3 subunit M	Eif3m	42.516	27.901	6.45E+08	45	8.46E-04	6.74E-04	3.82E-04	8.32E-04	7.40E-04	3.17E-03
F1LN96	Bridging integrator 3	Bin3	29.442	25.73	8.00E+08	78	1.02E-03	1.68E-03	1.47E-03	2.88E-03	7.40E-04	2.61E-03
AOA0G2K724	Malignant T-cell-amplified sequence	Mcts1	20.555	8.1879	1.88E+08	18	4.41E-04	6.87E-04	1.08E-03	7.75E-04	1.82E-04	2.13E-03
Q5XIPO	DnaJ	Dnajb4	37.822	17.474	5.44E+08	35	6.83E-04	1.15E-03	5.92E-04	9.20E-04	6.36E-04	2.21E-03
D3Z8C7	WD repeat domain 48	Wdr48	76.079	25.733	7.14E+08	66	9.55E-04	9.25E-04	4.57E-04	1.05E-03	2.74E-04	1.02E-03
D3ZUV3	Eukaryotic translation initiation factor 2A	Eif2a	65.348	89.574	2.92E+09	111	8.03E-04	1.38E-03	2.57E-03	4.92E-03	2.44E-03	7.63E-03
G3V741	Phosphate carrier protein, mitochondrial	Slc25a3	39.531	14.5	7.04E+08	49	7.28E-04	6.25E-04	1.54E-03	1.01E-03	1.03E-03	3.79E-03
O35802	Inter-alpha-inhibitor H4 heavy chain	ITIH4	103.61	43.491	1.99E+09	102	9.31E-04	1.39E-03	3.71E-03	7.31E-03	4.63E-04	1.27E-03
P10888	Cytochrome c oxidase subunit 4 isoform 1, mitochondrial	Cox4i1	19.514	7.5528	5.50E+08	30	1.03E-03	5.89E-04	8.95E-04	1.28E-03	2.79E-03	5.80E-03
Q6MG79	Complement component 4, gene 1	C4a	192.19	155.67	4.42E+09	197	1.05E-03	1.30E-03	3.69E-03	5.84E-03	1.23E-03	2.48E-03
E9PSU5	Uncharacterized protein	N/A	36.886	20.466	1.19E+09	32	7.16E-04	4.56E-03	3.71E-03	1.73E-03	1.33E-03	3.32E-03
Q642E2	60S ribosomal protein L28	Rpl28	15.733	4.9757	2.31E+08	17	9.27E-04	5.80E-04	4.81E-04	7.20E-04	1.50E-03	2.93E-03
D3ZLA3	Copine 3	Cpne3	59.685	16.952	6.20E+08	32	7.45E-04	7.93E-04	8.31E-04	9.57E-04	3.74E-04	1.50E-03
D4AEK9	Coiled-coil domain-containing 6	Ccdc6	52.973	19.9	6.17E+08	51	6.71E-04	1.52E-03	1.89E-03	2.12E-03	2.10E-04	3.98E-04
Q4QQT4	Serine/threonine-protein phosphatase 2A 65 kDa regulatory	Ppp2r1b	66.006	28.583	9.17E+08	49	1.31E-03	1.50E-03	1.18E-03	1.68E-03	3.43E-04	5.97E-04
AOA0G2K5Z4	Amphiphysin-like	LOC100910792	66.926	14.487	3.89E+08	23	8.51E-04	1.60E-03	2.46E-04	3.33E-04	1.99E-04	5.77E-04
A1L122	NEDD8-activating enzyme E1 regulatory subunit	Nae1	60.351	21.975	5.47E+08	40	5.75E-04	9.57E-04	8.05E-04	6.27E-04	3.93E-04	1.33E-03
Q5XFV9	Rps16 protein	Rps16	17.9	5.28	1.93E+08	14	6.78E-04	5.46E-04	8.92E-04	9.55E-04	1.15E-03	4.05E-04
B0BNI9	Slc22a23 protein	Slc22a23	61.905	16.567	9.63E+08	52	1.07E-03	1.20E-03	1.18E-03	2.08E-03	5.01E-04	1.81E-03
Q1AAU6-3	Arf-GAP with SH3 domain, ANK repeat and PH domain-	Asap1	120.15	43.291	1.48E+09	105	1.21E-03	9.42E-04	7.37E-04	1.38E-03	4.44E-04	1.61E-03

Q32Q06	AP-1 complex subunit mu-1	Ap1m1	48.556	14.541	6.02E+08	33	8.10E-04	1.30E-03	4.59E-04	4.06E-04	8.09E-04	1.10E-03
Q5RKG9	Eukaryotic translation initiation factor 4B	Eif4b	69.063	147.07	4.12E+09	157	8.93E-04	9.54E-04	8.12E-03	8.77E-03	2.45E-03	8.57E-03
F1MAA1	Ubiquitin-specific peptidase 47	Usp47	154.69	121.59	1.68E+09	146	8.78E-04	1.31E-03	6.10E-04	1.09E-03	2.95E-04	1.26E-03
P05712	Ras-related protein Rab-2A	Rab2a	23.535	61.549	1.86E+09	106	9.93E-04	7.46E-04	6.79E-03	1.20E-02	2.26E-03	7.72E-03
Q6MG55	Protein ABHD16A	Abhd16a	63.037	14.725	5.18E+08	34	1.00E-03	9.12E-04	3.71E-04	6.89E-04	1.63E-04	1.14E-03
P56574	Isocitrate dehydrogenase [NADP], mitochondrial	Idh2	50.967	23.377	9.31E+08	76	6.97E-04	9.84E-04	9.58E-04	1.86E-03	1.39E-03	4.08E-03
A0A0G2JYK0	Serine protease inhibitor	LOC299282	67.982	135	3.06E+09	108	6.61E-04	6.21E-04	8.12E-03	1.41E-02	1.73E-03	4.06E-03
A0A0G2JV49	Protein phosphatase 6, regulatory subunit 2	Ppp6r2	96.963	42.449	9.88E+08	51	8.60E-04	7.06E-04	4.34E-04	1.21E-04	1.83E-04	1.42E-03
D4A3M7	BSD domain-containing 1	Bsdc1	47.016	20.823	6.07E+08	47	8.01E-04	4.26E-04	4.40E-04	7.83E-04	5.28E-04	2.18E-03
F1LSC5	E3 ubiquitin-protein ligase TRIM23	Trim23	63.971	3.9322	5.75E+08	26	9.44E-04	1.53E-03	5.35E-04	1.08E-03	7.75E-04	9.58E-04
B0BN63	Activator of Hsp90 ATPase activity 1	Ahsa1	38.104	70.809	1.02E+09	57	1.06E-03	8.61E-04	8.44E-04	1.15E-03	7.20E-04	2.54E-03
D3ZQI6	Exportin 4	Xpo4	129.66	117.68	1.56E+09	124	8.02E-04	9.84E-04	6.02E-04	1.08E-03	3.83E-04	1.04E-03
D4AC36	Eukaryotic translation initiation factor 3 subunit F	Eif3f	37.997	17.048	6.79E+08	41	9.39E-04	3.68E-04	2.09E-04	1.37E-03	6.37E-04	3.42E-03
F1LPH1	Calpastatin	Cast	77.296	195.32	6.32E+09	204	9.62E-04	1.57E-03	1.29E-02	2.11E-02	3.89E-03	6.78E-03
B2RYI0	WD repeat-containing protein 91	Wdr91	83.145	21.748	7.05E+08	49	8.47E-04	8.22E-04	1.54E-04	2.49E-04	1.29E-04	4.66E-04
Q5U2V2	Serine incorporator 3	Serinc3	52.321	7.2129	2.73E+08	6	8.50E-04	1.01E-03	5.87E-04	9.06E-04	4.88E-04	9.92E-04
M0RDG7	Cytokine receptor-like factor 3	Crif3	44.276	25.941	5.20E+08	39	9.31E-04	2.19E-03	1.80E-03	1.12E-03	1.24E-03	2.09E-03
Q91Y81	Septin-2	Sept2	41.592	6.4393	3.56E+08	15	7.78E-04	1.11E-03	7.15E-04	1.11E-03	7.26E-04	9.15E-04
F1LP52	Transmembrane protein 231	Tmem231	29.714	5.8269	6.30E+08	27	1.69E-03	3.32E-03	1.54E-03	1.84E-03	5.30E-04	1.99E-03
D3ZER6	Transportin 2	Tnpo2	102.88	23.275	3.93E+08	25	5.55E-04	5.16E-04	1.61E-04	6.03E-04	7.76E-05	3.09E-04
F1LUS1	Uncharacterized protein	N/A	11.939	7.3422	4.05E+08	17	9.42E-04	1.64E-03	1.10E-02	7.28E-03	1.74E-03	5.16E-03
D4A1J6	Ankyrin repeat and FYVE domain-containing 1	Ankfy1	128.66	159.67	1.88E+09	101	9.64E-04	1.77E-03	1.21E-03	1.63E-03	6.04E-04	1.97E-03
B2RYG2	Pck2 protein	Pck2	73.271	82.704	1.89E+09	129	6.22E-04	3.18E-04	1.77E-03	1.57E-03	1.97E-03	6.02E-03
A0A0G2JTG7	Heterogeneous nuclear ribonucleoprotein H	Hnrnp1	49.199	28.048	4.84E+08	30	7.29E-04	7.91E-04	4.65E-04	9.31E-04	1.01E-03	1.61E-03
D4A8M7	Condensin complex subunit 2	Ncaph	82.134	40.563	8.97E+08	61	7.87E-04	7.63E-04	1.01E-03	1.55E-03	5.48E-04	1.01E-03
M0RE13	Transmembrane channel-like protein	Tmc8	82.125	20.57	5.08E+09	75	8.86E-03	1.05E-02	1.17E-02	1.33E-02	6.27E-03	6.24E-03
Q9Z2S9	Flotillin-2	Flot2	47.037	323.31	3.84E+10	458	9.76E-04	1.99E-03	8.30E-02	1.18E-01	4.92E-02	8.72E-02
A0A0G2JZH0	Calcium-binding protein 39	Cab39	39.873	17.391	8.27E+08	32	7.62E-04	7.34E-04	2.25E-03	1.68E-03	5.72E-04	1.73E-03
F1LQ74	Rho guanine nucleotide exchange factor 37	Arhgef37	76.436	51.76	1.47E+09	88	7.71E-04	7.98E-04	1.12E-03	1.54E-03	6.23E-04	3.22E-03
Q9R0V0	BM1c	BM1	38.936	16.915	5.10E+08	47	1.56E-03	2.12E-03	5.48E-04	1.25E-03	6.79E-04	3.38E-03
D4A8A0	Carbamoyl-phosphate synthetase 2, aspartate	Cad	243.37	195.08	3.95E+09	265	7.69E-04	1.14E-03	9.30E-04	1.61E-03	9.93E-04	1.88E-03
Q68FY4	Group specific component	Gc	53.518	54.816	2.54E+09	105	9.79E-04	1.49E-03	1.01E-02	1.67E-02	9.04E-04	3.32E-03
D4A9D8	Oxysterol-binding protein	Osbp	77.806	29.816	6.49E+08	39	9.56E-04	6.59E-04	4.41E-04	8.67E-04	1.76E-04	8.46E-04
O54902-2	Natural resistance-associated macrophage protein 2	Slc11a2	61.31	13.406	3.75E+08	38	6.07E-04	8.97E-04	1.56E-03	1.36E-03	3.05E-03	2.59E-03
D4A7N7	Tetratricopeptide repeat domain 39D	Ttc39d	70.016	8.5268	3.03E+11	265	1.38E-03	3.45E-01	4.98E-01	3.86E-01	9.45E-01	5.02E-01
A0A0G2K8D1	Motile sperm domain-containing 2	Mospd2	59.742	15.673	3.72E+08	34	9.28E-04	1.09E-03	3.94E-04	6.98E-04	9.58E-05	5.75E-04
Q56R18	Importin subunit alpha	Kpna3	57.772	9.0493	3.98E+08	13	1.20E-03	1.53E-03	8.60E-04	1.96E-03	4.90E-04	8.64E-04
A0A0G2JWH3	Condensin complex subunit 1	Ncapd2	155.46	53.212	1.77E+09	135	1.01E-03	5.69E-04	8.18E-04	8.10E-04	2.80E-04	1.10E-03
A0A0G2K6G2	Adipocyte plasma membrane-associated protein	Apmap	46.446	15.56	3.38E+08	42	9.24E-04	1.28E-03	1.89E-04	5.19E-04	6.76E-05	9.92E-04
A0A0G2KAK2	Erythrocyte membrane protein band 4.1	Epb41	72.372	6.3297	3.92E+09	30	1.40E-03	3.95E-03	1.33E-02	1.43E-02	1.56E-03	1.26E-03
A0A0G2KA14	C-type lectin domain-containing 16A	Clec16a	110.35	38.775	1.08E+09	73	8.54E-04	5.90E-04	6.10E-04	1.04E-03	4.19E-04	1.26E-03
G3V936	Citrate synthase	Cs	51.83	36.436	8.49E+08	51	7.46E-04	1.39E-03	1.22E-03	1.62E-03	1.47E-03	4.42E-03
D4AE31	Family with sequence similarity 126, member A	Fam126a	57.154	26.732	4.82E+08	36	7.73E-04	8.11E-04	8.93E-04	1.19E-03	2.31E-04	6.54E-04
D3ZII8	SET and MYND domain containing 5	Smyd5	47.068	12.378	2.62E+08	26	8.16E-04	1.06E-03	4.28E-04	3.82E-04	1.76E-04	1.92E-04
D3ZE26	Similar to RIKEN cDNA 1110063G11	Tmcc2	77.142	49.872	6.91E+08	57	6.92E-04	8.79E-04	6.80E-04	3.44E-04	2.21E-04	1.23E-03
G3V826	Transketolase	Tkt	71.158	20.035	8.50E+08	54	7.99E-04	3.97E-04	2.22E-04	5.93E-04	5.38E-04	1.85E-03
Q499N6	UBX domain-containing protein 1	Ubxn1	33.581	20.804	3.47E+08	39	9.34E-04	1.54E-03	9.84E-04	2.27E-03	2.41E-04	1.13E-03

Q5U2R9	Sec1 family domain-containing 2	Scfd2	74.794	19.044	5.22E+08	28	7.78E-04	1.02E-03	5.95E-04	1.48E-03	9.17E-05	3.19E-04
A0A0G2JXD0	60S ribosomal protein L9 pseudogene	LOC103692829	21.424	13.314	4.64E+08	30	5.35E-04	5.62E-04	7.61E-04	6.51E-04	5.19E-04	6.67E-03
F1MAD9	Structural maintenance of chromosomes protein	Smc4	146.8	42.62	1.36E+09	108	6.06E-04	5.88E-04	5.88E-04	1.01E-03	2.06E-04	1.05E-03
F7F1Y3	Vacuolar protein sorting-associated protein 4A	Vps4a	56.113	23.202	7.13E+08	60	5.67E-04	1.35E-04	9.88E-04	1.86E-03	9.13E-04	1.01E-03
P02680-2	Fibrinogen gamma chain	Fgg	49.651	41.259	3.38E+09	92	8.76E-04	1.52E-03	1.90E-02	2.11E-02	3.91E-03	5.69E-03
D3ZT64	Autophagy-related 2A	Atg2a	211.36	56.688	1.46E+09	96	6.70E-04	1.09E-03	3.92E-04	8.55E-04	3.41E-04	5.45E-04
B2GV97	O-phosphoserine-tRNA	Sepsecs	55.331	14.502	4.51E+08	34	6.25E-04	2.97E-04	3.90E-04	9.43E-04	1.78E-04	6.09E-04
F1M9W9	Similar to TRS85 homolog	Trappc8	160.35	25.449	1.03E+09	47	7.02E-04	7.70E-04	2.89E-04	5.39E-04	1.67E-04	5.81E-04
A0A0G2K6E2	Thioredoxin reductase 2, isoform CRA a	Txnrd2	56.367	19.248	4.04E+08	23	5.43E-04	7.62E-04	5.72E-04	9.82E-04	1.48E-04	8.59E-04
F1LUG5	Transmembrane protein 94	Tmem94	151.53	3.5273	1.22E+09	8	6.13E-04	9.56E-04	1.38E-03	2.55E-03	1.14E-05	1.27E-03
A0A0G2JUT0	Heat shock-related 70 kDa protein 2	Hspa2	66.055	9.6004	2.62E+08	24	7.39E-04	7.82E-04	7.46E-05	3.34E-04	1.13E-04	1.07E-04
A0A0G2K5K3	NmrA-like family domain-containing protein 1	Nmral1	33.109	18.297	8.89E+08	20	7.67E-04	1.75E-03	4.15E-03	4.15E-03	2.51E-04	4.52E-04
D3Z7Z5	RAN-binding protein 10	Ranbp10	77.815	20.785	5.93E+08	42	6.57E-04	7.54E-04	2.00E-04	7.65E-04	4.39E-04	1.27E-03
R9PXW3	Multiple epidermal growth factor-like domains protein 8	Megf8	297.61	2.9367	1.19E+09	4	6.48E-04	6.75E-04	2.47E-04	3.54E-04	2.17E-04	1.09E-03
A0A0G2JX07	Death-associated protein kinase 2	Dapk2	42.332	8.8097	2.07E+08	20	5.89E-04	5.58E-04	2.60E-04	6.65E-04	8.82E-05	4.29E-04
P31211	Corticosteroid-binding globulin	Serpina6	44.67	5.6179	2.19E+08	25	6.09E-04	7.22E-04	8.44E-04	1.08E-03	9.83E-05	3.11E-04
Q64303	Serine/threonine-protein kinase PAK 2	Pak2	57.96	30.095	6.19E+08	28	8.39E-04	8.44E-04	2.87E-04	8.52E-04	2.75E-04	1.79E-03
Q5XI21	Target of myb1 homolog	Tom1	54.088	43.446	7.37E+08	51	6.85E-04	6.65E-04	9.82E-04	2.27E-03	5.12E-04	1.38E-03
B1WC71	Aspscr1 protein	Aspscr1	51.116	36.378	7.81E+08	58	5.34E-04	5.75E-04	9.52E-04	2.30E-03	5.73E-04	2.58E-03
Q9R1S6	CD1 antigen	Cd1d1	38.641	4.8576	1.44E+08	12	3.62E-04	1.31E-03	3.54E-04	1.97E-04	1.10E-04	2.74E-04
D3ZR79	Transmembrane protein 245	Tmem245	97.654	9.665	3.08E+08	16	5.49E-04	7.14E-04	2.99E-04	5.11E-04	4.10E-04	7.21E-04
Q6TUH0	2',5'-phosphodiesterase 12	Pde12	78.885	16.65	3.24E+08	36	5.78E-04	6.49E-04	3.86E-04	5.38E-04	3.73E-04	2.55E-04
O08662	Phosphatidylinositol 4-kinase alpha	Pi4ka	236.92	84.029	3.31E+09	255	8.50E-04	1.12E-03	9.35E-04	1.63E-03	5.34E-04	1.38E-03
A0A0G2JSR0	Voltage-dependent anion-selective channel protein 3	Vdac3	30.783	15.031	7.95E+08	29	8.81E-04	8.38E-04	1.07E-03	1.79E-03	1.00E-03	5.54E-03
D4A3X9	Zinc finger protein 192	Zfp192	66.998	3.16	4.31E+08	12	5.91E-04	6.91E-04	4.94E-04	6.61E-04	2.31E-04	4.44E-04
A0A0G2K7S6	WD repeat-containing protein 44	Wdr44	101.6	34.527	7.67E+08	49	4.40E-04	5.81E-04	6.66E-04	1.14E-03	2.73E-04	7.56E-04
G3V940	Coronin	Coro1b	53.938	33.875	5.42E+08	33	6.36E-04	3.92E-04	1.31E-03	1.45E-03	3.55E-04	1.26E-03
B2GVB9	Fermitin family member 3	Fermt3	75.622	47.955	8.03E+08	83	3.91E-04	5.43E-04	5.89E-04	9.72E-04	5.42E-04	1.86E-03
B2GV38	Ubiquitin-like protein 4A	Ubl4a	17.79	12.34	2.58E+08	29	5.81E-04	4.82E-04	4.28E-04	9.69E-04	6.42E-04	2.09E-03
G3V9W6	Aldehyde dehydrogenase	Aldh3a2	54.107	8.4466	2.02E+08	31	6.41E-04	7.77E-04	1.45E-04	3.76E-04	6.19E-05	6.06E-04
Q8CJG5	Gene	Dlst	48.613	12.642	4.82E+08	28	6.47E-04	6.49E-04	8.08E-04	7.42E-04	8.93E-04	2.26E-03
Q03626	Murinoglobulin-1	Mug1	165.32	106.88	2.31E+09	83	6.20E-04	1.28E-03	4.18E-03	4.90E-03	4.18E-04	2.05E-03
A0A0G2K7W6	Similar to 60S ribosomal protein L27a	RGD1562402	16.587	9.8039	7.98E+08	33	1.57E-03	1.87E-03	3.17E-03	3.07E-03	4.12E-03	1.37E-02
D3ZNQ6	Ubiquitin-conjugating enzyme E2M	Ube2m	20.9	4.7059	1.71E+08	11	7.41E-04	6.47E-04	1.24E-03	5.58E-04	1.05E-03	1.02E-03
Q6IRF8	ATPase, H+ transporting, lysosomal accessory protein 1	Atp6ap1	51.103	4.8231	4.38E+08	21	1.30E-03	1.91E-03	1.66E-03	2.30E-03	2.52E-04	1.34E-03
D3ZLK9	ATP-dependent	Naxd	38.73	12.18	1.78E+08	25	4.55E-04	5.41E-04	2.54E-04	1.46E-04	1.66E-04	2.10E-04
G3V700	Nardilysin	Nrdc	133	71.106	2.08E+09	179	4.95E-04	7.84E-04	1.12E-03	2.28E-03	1.26E-03	2.18E-03
A0A0G2K6R8	EH domain-binding protein 1-like 1	Ehbp11	182.51	131.86	2.02E+09	143	5.27E-04	5.67E-04	6.43E-04	1.22E-03	5.43E-04	1.04E-03
P00507	Aspartate aminotransferase, mitochondrial	Got2	47.314	14.734	5.05E+08	20	6.17E-04	7.90E-04	6.12E-04	8.44E-04	5.02E-04	1.91E-03
A0A0G2JTS3	Vacuolar protein sorting-associated protein 29	Vps29	23.602	2.9275	2.18E+08	24	7.43E-04	6.28E-04	6.91E-04	7.73E-04	5.99E-04	1.06E-03
A0A0G2JW28	Gamma-adducin	Add3	74.963	10.113	5.18E+08	19	6.60E-04	5.21E-04	5.11E-04	1.10E-03	1.49E-04	6.36E-04
B5DEI0	Pcyox1l protein	Pcyox1l	54.633	2.892	2.62E+08	19	6.62E-04	9.86E-04	3.34E-04	5.71E-04	2.69E-04	4.30E-04
B2GUZ9	Fam49b protein	Fam49b	36.776	43.547	3.38E+08	28	7.21E-04	7.59E-04	5.28E-04	8.59E-04	2.24E-04	8.64E-04
Q5FVL8	ATP-binding cassette subfamily B member 10	Abcb10	77.393	35.122	9.13E+08	37	4.78E-04	2.23E-03	4.17E-04	9.24E-04	8.15E-04	1.75E-03
P97949	Antigen peptide transporter 1	Tap1	79.123	15.195	3.48E+08	34	5.03E-04	4.52E-04	1.10E-04	2.47E-04	1.21E-04	3.47E-04
A0A0G2JYC2	Metal transporter CNNM4	Cnm4	84.061	48.347	9.77E+08	74	5.66E-04	5.01E-04	1.18E-03	1.83E-03	4.64E-04	2.07E-03
A0A0G2K941	Chloride channel accessory 5	Clca5	100.06	10.911	4.85E+08	28	5.71E-04	4.58E-04	1.03E-03	1.13E-03	7.32E-05	3.59E-04

F1M0U5	Neuroblastoma-amplified sequence	Nbas	265.8	45.843	1.12E+09	89	5.54E-04	5.67E-04	6.37E-04	9.23E-04	3.18E-05	1.59E-04
A0A0G2K7C4	Casein kinase I isoform gamma-1	Csnk1g1	49.252	8.5821	2.35E+08	34	4.06E-04	3.77E-04	3.01E-04	4.07E-04	2.30E-04	6.19E-04
A0A0G2K6T0	RCG27287, isoform CRA b	Slc12a6	122.01	9.9625	4.67E+08	24	4.01E-04	7.82E-04	4.10E-04	4.44E-04	2.01E-04	1.73E-04
Q6AYU3	DnaJ homolog subfamily B member 6	Dnajb6	38.922	3.9128	1.75E+08	10	4.18E-04	2.66E-04	5.63E-04	1.33E-03	4.78E-04	6.30E-04
Q68FT9	Selenocysteine lyase	Scly	47.255	11.041	1.77E+08	26	3.94E-04	3.58E-04	3.33E-04	1.12E-04	7.54E-05	2.49E-04
B0BNA7	Eukaryotic translation initiation factor 3 subunit I	Eif3i	36.46	60.518	4.56E+08	49	3.01E-04	5.05E-04	2.26E-04	4.01E-04	8.06E-04	2.13E-03
A0A0G2K2P6	HBS1-like protein	Hbs1l	74.799	23.177	6.38E+08	58	4.14E-04	5.27E-04	4.94E-04	1.10E-03	5.53E-04	1.11E-03
P60123	RuvB-like 1	Ruvbl1	50.213	45.308	8.43E+08	51	6.99E-04	1.08E-03	6.55E-04	1.56E-03	7.03E-04	2.90E-03
B1WBS4	Similar to Vacuolar protein sorting 26 homolog	Vps26b	39.124	11.508	2.51E+08	19	5.28E-04	3.03E-04	3.24E-04	4.66E-04	7.87E-04	8.34E-04
MOR851	Similar to Ubiquitin carboxyl-terminal hydrolase 4	Usp4	103.71	25.515	9.78E+08	42	5.62E-04	6.40E-04	1.44E-03	1.56E-03	1.22E-03	8.38E-04
D3ZN37	Rho-associated protein kinase	Rock1	158.03	48.927	9.52E+08	82	4.00E-04	4.78E-04	3.82E-04	6.18E-04	2.74E-04	5.91E-04
O08700	Vacuolar protein sorting-associated protein 45	Vps45	64.893	34.908	7.14E+08	54	3.69E-04	3.51E-04	1.15E-03	1.82E-03	3.95E-04	1.26E-03
G3V9P7	Huntingtin	Htt	344.74	85.446	1.87E+09	166	5.72E-04	6.81E-04	3.51E-04	4.85E-04	2.00E-04	6.13E-04
Q6IRS8	Eukaryotic translation initiation factor 2B, subunit 2 beta	Eif2b2	38.842	10.461	1.50E+08	11	2.19E-04	7.03E-05	1.76E-04	2.16E-04	2.17E-04	7.41E-04
Q9JMB5	Proteasomal ubiquitin receptor ADRM1	Adrm1	42.102	70.131	6.56E+08	49	4.46E-04	1.53E-03	2.32E-03	3.69E-03	8.53E-04	3.10E-03
F7F707	Enhancer of mRNA-decapping protein 4	Nrn1l	163.25	19.008	5.04E+08	29	4.95E-04	1.73E-04	1.11E-04	4.52E-04	7.78E-05	4.90E-04
F1M2P8	Protein kinase C	Prkca	72.77	15.944	4.99E+08	31	5.53E-04	1.05E-03	4.39E-04	1.06E-03	2.91E-04	9.13E-04
A0A0G2JUB3	Optineurin	Optn	67.044	13.225	5.28E+08	28	3.81E-04	5.73E-04	5.72E-05	4.06E-04	1.86E-04	6.67E-04
P05708	Hexokinase-1	Hk1	102.41	24.143	7.40E+08	45	4.00E-04	5.55E-04	2.17E-04	4.71E-04	1.66E-04	1.11E-03
Q08602	Geranylgeranyl transferase type-2 subunit alpha	Rabggta	64.904	22.143	3.81E+08	46	3.63E-04	5.69E-04	1.88E-04	5.78E-04	2.05E-04	2.84E-04
Q68G41	Dodecenoyl-Coenzyme A delta isomerase	Eci1	32.264	9.213	2.30E+08	5	3.27E-04	4.01E-04	5.41E-04	3.62E-04	6.13E-04	1.35E-03
Q4QQV4	Dead end homolog 1	Hars	57.36	37.456	6.54E+08	49	3.37E-04	4.75E-04	1.36E-04	3.13E-04	3.75E-04	2.09E-03
Q6MG08	ATP-binding cassette sub-family F member 1	Abcf1	95.251	65.218	1.12E+09	78	5.05E-04	3.98E-04	8.50E-04	1.35E-03	5.16E-04	1.69E-03
Q4QQS4	RuvB-like helicase	Ruvbl2	51.146	22.322	5.28E+08	36	1.70E-04	1.64E-04	3.34E-04	1.01E-03	5.46E-04	1.82E-03
Q5PPM8	Type 1 phosphatidylinositol 4,5-bisphosphate 4-phosphatase	Tmem55b	29.993	19.565	1.96E+08	16	6.90E-04	7.92E-04	3.22E-04	4.07E-04	5.31E-04	2.98E-04
Q68FR6	Elongation factor 1-gamma	Eef1g	50.06	58.138	3.52E+09	157	2.43E-04	3.59E-04	5.72E-03	4.53E-03	1.80E-03	5.79E-03
D5MTG9	UBR1 protein	Ubr1	200.16	57.928	7.85E+08	50	4.28E-04	4.04E-04	2.02E-04	4.02E-04	1.39E-04	3.59E-04
B5DFF4	VPS37C, ESCRT-I subunit	Vps37c	38.44	12.293	1.37E+08	14	3.33E-04	2.55E-04	2.51E-04	6.79E-04	1.02E-04	9.15E-04
A0A0H2UHF4	RCG62278	Rsad2	41.443	24.684	5.13E+08	39	3.08E-04	1.21E-04	6.00E-04	1.25E-03	5.22E-04	3.23E-03
A0A0G2JXJ7	Extended synaptotagmin-1	Esyt1	121.1	4.0855	3.74E+08	18	3.73E-04	3.19E-04	7.31E-04	5.49E-04	3.59E-04	2.38E-04
A0A140TAG9	Hsp90 co-chaperone Cdc37	Cdc37	44.182	7.3221	1.87E+08	20	4.65E-04	6.30E-04	2.77E-04	2.85E-04	3.15E-04	5.56E-04
Q8CF97	Deubiquitinating protein VCIP135	Vcpip1	134.56	37.046	7.83E+08	49	3.20E-04	4.41E-04	3.36E-04	7.48E-04	1.35E-04	5.48E-04
Q4V8C2	Centromere/kinetochore protein zw10 homolog	Zw10	87.966	22.216	5.49E+08	56	4.17E-04	5.25E-04	7.57E-04	1.17E-03	5.09E-05	2.87E-04
A0A140TAH1	Hepatocyte growth factor-regulated tyrosine kinase substrate	Hgs	101.12	37.639	1.51E+09	101	4.50E-04	5.24E-04	2.17E-03	3.39E-03	2.58E-04	2.06E-03
P41542	General vesicular transport factor p115	Uso1	107.16	44.64	1.05E+09	79	4.13E-04	7.81E-04	6.93E-04	9.04E-04	4.57E-04	1.45E-03
Q5M964	Fumarate hydratase 1	Fh	54.464	45.83	6.96E+08	56	4.42E-04	2.53E-04	7.93E-04	1.11E-03	2.95E-04	1.51E-03
A0A0H2UHF8	Alpha-1-acid glycoprotein	Orm1	26.711	11.932	1.14E+09	33	7.24E-04	1.49E-03	1.08E-02	1.55E-02	1.67E-03	2.46E-03
Q63016	Large neutral amino acids transporter small subunit 1	Slc7a5	55.903	11.733	6.04E+08	48	4.56E-04	4.16E-04	2.92E-03	2.38E-03	1.58E-03	1.75E-03
B3GS92	Gephyrin isoform	N/A	79.131	18.879	3.02E+08	23	3.45E-04	5.61E-04	1.17E-04	5.90E-04	7.73E-05	1.42E-04
Q07936	Annexin A2	Anxa2	38.678	29.831	5.71E+08	62	2.95E-04	3.97E-04	8.73E-04	1.14E-03	2.71E-04	3.71E-03
F1MA87	Cyclin-dependent kinase 6	Cdk6	36.952	19.309	3.34E+08	24	3.74E-04	3.26E-04	2.15E-04	3.87E-04	7.91E-05	8.89E-04
F1LN88	Aldehyde dehydrogenase, mitochondrial	Aldh2	56.516	58.776	1.06E+09	63	4.80E-04	2.27E-04	1.01E-03	1.00E-03	2.03E-03	5.88E-03
D3ZYB4	Lipin 2	Lpin2	99.708	12.822	3.34E+08	40	3.05E-04	2.97E-04	1.39E-04	2.99E-04	1.27E-04	6.40E-04
D3ZE49	Trafficking protein particle complex 12	Trappc12	87.546	41.792	6.82E+08	38	5.04E-04	9.11E-04	2.23E-04	6.68E-04	6.35E-04	1.25E-03
A0A0G2JVI4	Fucokinase	Fuk	119.55	10.741	1.87E+08	21	2.73E-04	2.46E-04	8.94E-05	1.58E-04	2.07E-05	2.43E-04
Q5XIP1	Protein pelota homolog	Pelo	43.407	11.176	2.71E+08	28	3.35E-04	1.58E-04	2.94E-04	2.95E-04	6.06E-04	1.40E-03
P85515	Alpha-centractin	Actr1a	42.613	7.2276	2.30E+08	11	2.11E-04	2.68E-04	3.01E-04	4.32E-04	2.13E-04	9.25E-04

D3ZJG4	Phosphofurin acidic cluster sorting protein 2	Pacs2	95.971	39.045	4.62E+08	41	2.70E-04	2.19E-04	6.91E-04	8.62E-04	7.39E-05	5.71E-04
Q6IRE4	Tumor susceptibility gene 101 protein	Tsg101	44.077	15.14	8.91E+08	38	3.96E-04	2.55E-03	3.25E-04	3.13E-03	5.08E-04	4.45E-03
A0A0H2UHV9	Coatomer subunit gamma	Copg2	97.569	19.071	3.38E+08	26	3.16E-04	1.59E-04	2.63E-04	1.98E-04	1.62E-04	3.82E-04
F7FF45	Nuclear mitotic apparatus protein 1	Numa1	234.94	48.841	8.31E+08	90	4.04E-04	7.10E-04	1.17E-04	2.49E-04	9.13E-05	3.35E-04
D3ZJB8	Ariadne RBR E3 ubiquitin protein ligase 2	Arih2	57.74	50.59	1.04E+09	67	4.62E-04	4.09E-04	1.47E-03	2.51E-03	1.29E-03	2.32E-03
Q56R15	Importin subunit alpha	Kpna6	59.531	37.671	1.05E+09	58	6.66E-04	1.16E-03	5.08E-04	1.07E-03	3.60E-04	2.58E-03
P23514	Coatomer subunit beta	Copb1	107.01	19.818	4.01E+08	41	2.15E-04	3.55E-04	4.44E-04	3.22E-04	2.44E-04	8.81E-05
A0A0G2QC53	Epidermal growth factor receptor pathway substrate 15-like 1	Eps15l1	96.445	59.25	4.59E+08	44	3.22E-04	2.80E-04	4.64E-04	6.61E-04	2.48E-04	3.77E-04
G3V6T1	Coatomer subunit alpha	Copa	138.36	8.841	2.50E+08	15	1.44E-04	1.57E-04	1.39E-04	2.59E-04	1.32E-04	5.31E-05
R9PXU6	Vinculin	Vcl	116.57	91.382	1.91E+09	146	3.87E-04	7.09E-04	7.78E-04	1.42E-03	4.27E-04	9.81E-04
P41499-2	Tyrosine-protein phosphatase non-receptor type 11	Ptpn11	68.032	20.062	3.64E+08	35	4.41E-04	1.97E-04	9.43E-05	2.75E-04	2.85E-04	5.04E-04
Q02759	Arachidonate 15-lipoxygenase	Alox15	75.377	138.08	6.80E+09	192	3.71E-04	2.35E-04	2.21E-02	3.70E-02	1.17E-03	2.57E-03
Q5U2P1	Metal transporter CNNM2	Cnm2	96.608	21.32	4.78E+08	61	2.39E-04	1.73E-04	3.20E-04	7.43E-04	1.58E-04	5.69E-04
P62749	Hippocalcin-like protein 1	Hpcal1	22.338	7.6782	1.54E+08	18	2.54E-04	3.88E-04	1.32E-04	7.77E-04	2.00E-04	6.79E-04
A0A0G2JV04	Golgi-associated, gamma adaptin ear-containing, ARF-binding	Gga3	78.758	4.174	2.05E+08	8	3.08E-04	3.30E-04	2.30E-04	4.37E-04	1.28E-04	4.38E-04
F1LTR1	WD repeat domain 26	Wdr26	58.49	35.863	7.98E+08	55	7.17E-04	1.27E-03	6.71E-04	9.74E-04	8.02E-04	1.50E-03
Q62910-4	Synaptojanin-1	Synj1	171.26	55.122	1.48E+09	94	2.70E-04	3.63E-04	5.40E-04	1.07E-03	5.27E-04	1.23E-03
D3ZXL1	Ariadne RBR E3 ubiquitin protein ligase 1	Arih1	64.016	40.161	8.14E+08	49	2.88E-04	4.28E-04	1.56E-03	1.37E-03	6.98E-04	1.62E-03
A0A0G2K1K8	Exocyst complex component 2	LOC103689971	79.555	8.4863	1.44E+08	15	1.88E-04	1.65E-04	2.39E-04	1.66E-04	1.14E-04	2.15E-04
D4A2N1	Arginyl-tRNA--protein transferase 1	Ate1	58.216	7.9492	1.84E+08	17	1.98E-04	8.91E-04	2.25E-04	3.92E-04	1.46E-04	3.25E-04
Q66H15	Regulator of microtubule dynamics protein 3	Rmdn3	52.311	10.553	2.97E+08	24	4.21E-04	7.40E-04	2.70E-04	6.77E-04	3.28E-04	7.89E-04
G3V8I4	Syntaxin 4A	Stx4	34.195	6.0946	1.66E+08	5	2.66E-04	2.94E-04	3.99E-04	4.43E-04	1.74E-04	8.67E-04
D4AD15	Eukaryotic translation initiation factor 4 gamma, 1	Eif4g1	175.09	29.725	8.56E+08	79	2.89E-04	3.13E-04	4.67E-04	7.09E-04	3.92E-04	7.79E-04
A0A0G2K9K9	Eukaryotic translation initiation factor 2-alpha kinase 1	Eif2ak1	72.446	35.919	3.70E+08	28	2.81E-04	2.73E-04	6.98E-05	1.88E-04	2.10E-04	7.61E-04
Q5FVK6	Coiled-coil and C2 domain-containing protein 1B	Cc2d1b	93.533	23.983	6.77E+08	38	1.52E-04	3.73E-04	8.13E-04	1.01E-03	2.57E-04	1.12E-03
D4A9J4	Histone-lysine N-methyltransferase	Nsd2	150.41	2.8202	1.40E+09	7	4.04E-04	1.49E-03	8.10E-04	2.53E-04	6.27E-04	6.91E-04
Q6P9V9	Tubulin alpha-1B chain	Tuba1b	50.151	10.653	2.17E+08	16	3.34E-04	2.73E-04	3.43E-04	5.15E-04	1.56E-04	8.04E-04
A0A0G2JVN4	RCG25629, isoform CRA a	Usp19	146.2	11.994	2.63E+08	13	2.24E-04	2.02E-04	1.53E-04	2.17E-04	6.18E-05	2.99E-04
F1LSM0	Ubiquitin-specific peptidase 24	Usp24	294.03	51.268	1.43E+09	126	2.66E-04	4.64E-04	2.24E-04	5.84E-04	1.14E-04	6.00E-04
Q6QI45	LRRGT00163	Slfn14	140.25	41.473	1.25E+09	49	2.61E-04	4.21E-04	3.57E-04	4.80E-04	3.00E-04	1.36E-03
Q5QJC9	BAG family molecular chaperone regulator 5	Bag5	51.03	10.722	1.92E+08	7	2.48E-04	2.40E-04	1.72E-04	5.24E-04	1.49E-04	2.74E-04
P11507-2	Sarcoplasmic/endoplasmic reticulum calcium ATPase 2	Atp2a2	109.68	21.91	3.75E+08	28	2.94E-04	3.08E-04	2.09E-04	5.25E-04	1.40E-04	6.39E-04
Q9QX38	Neuropilin	Nrp1	103.05	73.768	2.03E+09	115	2.82E-04	1.25E-04	3.65E-03	4.81E-03	6.76E-04	2.02E-03
D3ZUV2	Mindbomb E3 ubiquitin protein ligase 1	Mib1	110.1	17.134	5.19E+08	42	1.63E-04	1.44E-04	2.12E-04	1.21E-03	1.50E-04	3.86E-04
D3ZX82	Cytoplasmic FMR1 interacting protein 2	Cyfp2	68.678	3.7713	1.47E+08	16	1.97E-04	1.67E-04	1.92E-04	2.12E-04	9.94E-05	2.38E-04
F1M9N7	Arf-GAP domain and FG repeat-containing protein 1	Agfg1	58.054	10.403	1.98E+08	27	2.18E-04	3.48E-04	3.46E-04	4.87E-04	6.07E-04	8.13E-04
Q6P6R2	Dihydrolipoyl dehydrogenase, mitochondrial	Dld	54.037	17.297	2.58E+08	33	2.27E-04	2.61E-04	3.68E-04	4.17E-04	1.03E-03	1.15E-03
F1LV01	WD repeat domain 19	Wdr19	151.47	2.9554	9.62E+08	5	2.14E-04	1.41E-03	1.05E-03	6.80E-04	6.98E-05	6.21E-04
A0A0G2JXC9	Iron-responsive element-binding protein 2	Ireb2	105.03	26.475	4.29E+08	23	2.04E-04	2.65E-04	1.97E-04	4.99E-04	1.06E-04	7.01E-04
Q6XDA0	Spectrin beta chain	Sptb	246.33	4.2688	2.36E+09	28	1.87E-04	5.79E-05	1.63E-03	2.05E-03	2.37E-04	2.72E-04
Q5PPG7	Eukaryotic translation initiation factor 2D	Eif2d	62.669	29.75	5.50E+08	48	1.17E-04	1.86E-04	5.18E-04	9.59E-04	2.45E-04	1.26E-03
A0A0G2K3P7	Phospholipid-transporting ATPase	Atp11b	127.23	11.637	2.99E+08	19	1.93E-04	2.05E-04	2.49E-04	2.85E-04	1.49E-04	3.84E-04
Q5FWU3	Autophagy-related protein 9A	Atg9a	94.487	19.792	2.77E+08	41	1.82E-04	1.90E-04	2.44E-04	3.33E-04	7.12E-05	1.35E-04
F1M7M4	BMP2 inducible kinase	Bmp2k	118.71	19.356	5.78E+08	33	2.42E-04	1.82E-04	7.52E-04	1.37E-03	3.91E-04	7.30E-04
A0A0G2K862	Trichohyalin	Tchh	203.64	2.4856	1.40E+08	2	1.62E-04	1.36E-04	1.49E-04	1.50E-04	9.66E-05	1.49E-04
D4ABD3	ArfGAP with coiled-coil, ankyrin repeat and PH domains 1	Acap1	81.68	67.849	3.00E+08	18	1.19E-04	7.76E-05	2.20E-04	4.25E-04	1.30E-04	4.97E-04
Q64428	Trifunctional enzyme subunit alpha, mitochondrial	Hadha	82.664	32.266	6.05E+08	70	1.55E-04	4.81E-05	2.18E-04	1.36E-04	4.18E-04	2.06E-03

Q6DGF2	Clathrin interactor 1	Clint1	52.139	10.726	2.99E+08	26	1.48E-04	2.48E-04	7.05E-04	1.53E-03	2.65E-04	1.23E-03
D3ZHG7	Septin 14	SEPT14	51.448	3.189	3.80E+08	16	1.08E-04	1.33E-04	2.00E-04	2.26E-04	1.37E-02	1.50E-04
Q4KLG9	AN1-type zinc finger protein 2B	Zfand2b	27.925	3.4225	1.80E+08	5	1.09E-04	3.48E-04	4.48E-04	1.17E-03	3.52E-04	1.00E-03
G3V7I8	RCG57812, isoform CRA b	Slk	137.64	26.096	2.40E+08	14	1.42E-04	9.76E-05	1.27E-04	2.05E-04	6.49E-05	2.67E-04
B2RYJ3	Cullin 4A	Cul4a	87.773	19.186	3.46E+08	46	2.14E-04	4.20E-04	1.13E-04	1.18E-04	1.68E-04	4.63E-04
B5DFC8	Eukaryotic translation initiation factor 3 subunit C	Eif3c	105.43	30.689	1.03E+09	54	1.63E-04	1.65E-04	3.04E-04	3.90E-04	6.05E-04	2.25E-03
D3ZYF5	Tripartite motif-containing 58	Trim58	55.31	18.617	6.49E+08	41	6.00E-04	3.55E-04	1.39E-04	2.60E-04	6.45E-04	2.04E-03
P0C5Y8	Alsin	Als2	182.45	5.5033	9.95E+07	12	8.71E-05	8.28E-05	5.19E-05	6.38E-05	3.42E-05	4.69E-05
A0A0G2K365	MICAL-like protein 2	Micall2	107.68	8.6595	1.91E+08	28	1.25E-04	1.87E-04	5.48E-05	1.93E-04	5.48E-05	9.70E-05
G3V852	RCG55135, isoform CRA b	Tln1	269.67	69.235	7.92E+08	71	1.52E-04	9.86E-05	1.44E-04	2.71E-04	1.70E-04	6.69E-04
D4A8L4	DDB1 and CUL4-associated factor 6	Dcaf6	105.16	5.1761	1.49E+08	17	2.17E-04	3.22E-04	6.61E-05	9.74E-05	3.31E-05	8.82E-05
B4F772	Heat shock 70kDa protein 4-like	Hspa4l	94.22	5.6204	9.81E+07	9	1.15E-04	1.38E-04	8.98E-05	7.96E-05	2.26E-05	6.03E-05
Q5XI38	Lymphocyte cytosolic protein 1	Lcp1	70.121	19.975	2.49E+08	36	5.37E-05	1.06E-04	5.83E-05	1.37E-04	9.45E-05	2.48E-04
A0A0G2K2V5	Exocyst complex component 1	Exoc1	81.995	12.726	2.45E+08	16	8.61E-05	1.49E-04	4.95E-05	2.90E-04	1.02E-04	4.10E-04
A0A0G2JU01	Rho guanine nucleotide exchange factor 1	Arhgef1	96.684	17.221	2.58E+08	22	9.15E-05	1.38E-04	7.96E-05	1.21E-04	4.53E-05	3.03E-04
A0A0G2K273	Eukaryotic translation initiation factor 3 subunit E	LOC100909481	52.228	27.088	5.34E+08	55	8.18E-05	6.93E-05	2.09E-04	3.43E-04	4.12E-04	1.51E-03
E9PSJ4	Sperm-associated antigen 9	Spag9	146	15.181	1.70E+08	37	9.37E-05	7.77E-05	7.48E-05	1.28E-04	2.01E-05	1.44E-04
Q63041	Alpha-1-macroglobulin	A1m	167.12	48.283	1.64E+09	85	1.07E-04	1.88E-04	1.80E-03	3.11E-03	1.58E-03	1.03E-03
D4A648	Serine/threonine kinase 4	Stk4	55.37	13.192	2.50E+08	27	1.05E-04	2.15E-04	1.14E-04	2.82E-04	1.09E-04	7.05E-04
M0R9T2	ErbB2-interacting protein	Erbin	140.13	10.494	2.52E+08	24	9.87E-05	2.87E-05	1.15E-04	2.16E-04	1.18E-05	1.78E-04
Q924S5	Lon protease homolog, mitochondrial	Lonp1	105.79	16.33	2.90E+08	26	7.10E-05	1.91E-04	1.73E-04	5.22E-05	1.16E-04	8.49E-04
F1LQB2	Structural maintenance of chromosomes protein	Smc3	138.7	20.357	3.08E+08	22	1.23E-04	1.75E-04	1.84E-04	3.20E-04	1.13E-04	3.13E-04
A0A0G2JZM2	Sec23 homolog A, coat complex II component	Sec23a	84.712	6.5354	8.90E+07	13	1.22E-04	1.72E-04	2.64E-05	1.14E-04	6.36E-06	1.54E-04
F1M953	Stress-70 protein, mitochondrial	Hspa9	73.744	37.214	1.00E+09	73	1.82E-04	3.34E-04	6.73E-04	7.29E-04	9.42E-04	3.33E-03
Q5M7T5	Serine	Serpinc1	52.233	26.944	7.49E+08	62	3.02E-04	3.96E-04	2.08E-03	4.03E-03	1.13E-03	1.24E-03
A0A0G2JZY6	Spectrin beta chain	Sptbn1	267.9	15.913	2.77E+08	17	7.20E-05	6.60E-05	3.25E-05	2.36E-04	1.31E-05	1.64E-04
Q66H61	Glutamine--tRNA ligase	Qars	87.699	54.413	3.57E+08	33	8.26E-05	1.28E-04	4.48E-05	1.22E-04	1.47E-04	9.21E-04
Q9EPT7	Prothrombinase FGL2	Fgl2	40.965	4.1924	9.05E+07	13	1.53E-04	1.74E-04	1.19E-04	4.66E-04	1.48E-04	4.18E-04
Q66X93	Staphylococcal nuclease domain-containing protein 1	Snd1	101.95	19	3.19E+08	30	3.55E-05	1.41E-04	1.15E-04	2.65E-04	8.85E-05	6.32E-04
Q5BKC4	C9 protein	C9	63.774	36.826	9.56E+08	81	6.33E-05	1.46E-04	3.94E-03	6.74E-03	3.25E-04	8.98E-04
Q68FT7	Phenylalanyl-tRNA synthetase, beta subunit	Farsb	65.651	10.442	1.76E+08	19	8.27E-05	2.82E-04	7.16E-05	1.30E-04	1.82E-04	6.65E-04
F1LY70	Baculoviral IAP repeat-containing 6	Birc6	433.19	24.878	3.02E+08	33	6.87E-05	1.17E-04	2.28E-05	7.19E-05	2.07E-05	8.41E-05
F1LQT3	Rho-associated protein kinase	Rock2	159.44	12.414	2.92E+08	19	6.53E-05	2.02E-04	7.61E-05	1.52E-04	8.71E-05	2.60E-04
Q6TXE9	Glutamyl-prolyl-tRNA synthetase	Eprs	166.78	22.221	5.92E+08	22	7.98E-05	4.87E-04	3.68E-04	4.51E-04	1.40E-04	5.59E-04
A1L1K9	Ring finger and SPRY domain containing 1	Rspry1	64.375	10.368	1.24E+08	18	6.64E-05	1.19E-04	5.02E-05	3.57E-04	1.05E-04	2.74E-04
F1LSS1	Structural maintenance of chromosomes protein	Smc1a	142.95	14.994	2.51E+08	25	5.85E-05	1.08E-04	9.81E-05	2.28E-04	3.59E-05	1.70E-04
A0A140TAG5	MICOS complex subunit MIC60	Immt	67.048	27.127	3.18E+08	31	5.83E-05	7.15E-05	6.41E-05	1.53E-04	3.48E-04	1.38E-03
D3ZV52	Intersectin-1	Itsn1	194.19	56.652	5.63E+08	42	4.04E-05	1.22E-04	2.93E-04	1.49E-04	1.68E-04	5.63E-04
A0A0G2K472	Cytoplasmic FMR1-interacting protein 1	Cyfp1	144.93	8.5933	1.09E+08	22	8.84E-05	6.76E-05	3.18E-05	4.56E-05	2.55E-05	9.15E-05
Q3B8Q2	Eukaryotic initiation factor 4A-III	Eif4a3	46.84	5.027	1.03E+08	7	7.06E-05	1.23E-04	1.81E-04	2.15E-04	1.34E-04	9.19E-05
Q6IRK8	Spectrin alpha chain, non-erythrocytic 1	Sptan1	282.38	17.475	2.78E+08	28	4.79E-05	4.64E-05	7.42E-05	1.27E-04	3.47E-05	1.71E-04
E9PTB2	Transcription elongation factor SPT5	Supt5h	121.04	72.997	1.02E+09	68	2.16E-04	3.39E-04	3.87E-04	3.97E-04	5.41E-04	1.75E-03
A0A0G2K1U4	Ubiquitin protein ligase E3 component n-recognin 2	Ubr2	181.43	13.308	2.19E+08	21	4.12E-05	1.02E-04	8.20E-05	9.22E-05	1.33E-05	1.37E-04
Q1JU68	Eukaryotic translation initiation factor 3 subunit A	Eif3a	163.19	38.013	7.16E+08	49	4.17E-05	9.02E-05	1.45E-04	2.24E-04	2.26E-04	1.14E-03
A0A0G2JUM4	1-acylglycerol-3-phosphate O-acyltransferase 1	Agpat1	19.822	2.4697	6.53E+07	3	3.35E-04	7.65E-04	3.23E-04	5.46E-04	2.36E-04	6.97E-04
A0A0G2K7C1	Large proline-rich protein BAG6	Bag6	112.88	21.272	5.00E+08	40	1.74E-04	4.22E-04	1.09E-04	4.28E-04	4.37E-04	1.97E-03
D3ZVH0	STE20-related kinase adaptor beta	Stradb	46.898	10.988	5.00E+08	22	1.58E-04	8.63E-04	7.78E-04	9.21E-04	6.37E-05	2.13E-03

Q5M7X1	Coatomer subunit beta'	Copb2	102.46	11.182	3.74E+09	18	2.77E-03	4.43E-03	2.08E-03	8.15E-03	6.02E-05	5.76E-03
Q5PQN1	Probable E3 ubiquitin-protein ligase HERC4	Herc4	118.54	33.01	4.40E+08	38	6.25E-05	3.44E-04	1.40E-04	1.44E-04	6.26E-05	2.36E-04
Q5RK09	Eukaryotic translation initiation factor 3 subunit G	Eif3g	35.651	15.647	4.45E+08	24	1.21E-04	1.60E-04	2.91E-04	3.70E-04	5.90E-04	1.17E-03
Q5RKH2	Galactokinase 1	Galk1	42.376	7.9281	1.42E+08	16	2.22E-04	4.12E-04	8.40E-05	3.19E-04	5.79E-04	8.08E-04
Q6P6T4-2	Echinoderm microtubule-associated protein-like 2	Eml2	69.109	16.764	4.17E+08	20	1.65E-04	5.14E-04	1.07E-04	1.27E-04	4.20E-04	7.47E-04